# В Е С Т Н И К травматологии и ортопедии

ИМЕНИ Н.Н. ПРИОРОВА 2023 том 30 №3

N.N. Priorov Journal of Traumatology and Orthopedics

2023 Volume 30 Issue 3



#### УЧРЕДИТЕЛЬ:

Федеральное государственное бюджетное учреждение «Национальный медицинский исследовательский центр травматологии и ортопедии им. Н.Н. Приорова» Министерства здравоохранения Российской Федерации

Журнал зарегистрирован Федеральной службой по надзору в сфере связи, информационных технологий и массовых коммуникаций (Роскомнадзор), свидетельство о регистрации СМИ ПИ № ФС 77 - 76249 от 19 июля 2019 г.

#### **ИЗДАТЕЛЬ**

000 «Эко-Вектор Ай-Пи» Адрес: 191186, г. Санкт-Петербург, Аптекарский переулок, д. 3, литера А, помещение 1Н

E-mail: info@eco-vector.com WEB: https://eco-vector.com

#### **РЕКЛАМА**

Отдел рекламы Тел.: +7 (968) 545 78 20 E-mail: adv2@eco-vector.com

#### **РЕДАКЦИЯ** Зав. редакцией

Трухина Диана Аршалуйсовна E-mail: vto@eco-vector.com Тел: +7 (967) 153-70-05

#### АДРЕС РЕДАКЦИИ

127299, г. Москва, ул. Приорова, д. 10

#### ПОДПИСКА

Подписка на печатную версию через интернет

www.journals.eco-vector.com/ www.pressa-rf.ru

#### **ИНДЕКСАЦИЯ**

- РИНЦ
- · Google Scholar
- · Ulrich's International Periodicals Directory
- WorldCat

Оригинал-макет изготовлен 000 «Эко-Вектор». Корректор: С.И. Яли Верстка: Ф.А. Игнащенко Обложка: Ф.А. Игнащенко

Отпечатано в 000 «Типография Фурсова». 196105, Санкт-Петербург, ул. Благодатная, д. 69.



© 000 «Эко-Вектор Ай-Пи», 2023

ISSN 0869-8678 (Print) ISSN 2658-6738 (Online)

### Вестник

#### травматологии и ортопедии им. Н.Н. Приорова

Том 30 | Выпуск 3 | 2023 ЕЖЕКВАРТАЛЬНЫЙ РЕЦЕНЗИРУЕМЫЙ НАУЧНЫЙ **МЕДИЦИНСКИЙ ЖУРНАЛ** 

#### ГЛАВНЫЙ РЕДАКТОР

**Назаренко Антон Герасимович** — профессор РАН, д-р мед. наук, директор ФГБУ «Национальный медицинский исследовательский центр травматологии и ортопедии имени Н.Н. Приорова» Минздрава России, Москва, Россия

#### ЗАМЕСТИТЕЛЬ ГЛАВНОГО РЕЛАКТОРА

Ветрилэ Марчел Степанович — канд. мед. наук, ФГБУ «Национальный медицинский исследовательский центр травматологии и ортопедии им. Н.Н. Приорова» Минздрава России, Москва, Россия

**Цыкунов Михаил Борисович** — д-р мед. наук, проф., ФГБУ «Национальный медицинский исследовательский центр травматологии и ортопедии им. Н.Н. Приорова» Минздрава России, Москва, Россия

**Крупаткин Александр Ильич** — д-р мед. наук, проф., ФГБУ «Национальный медицинский исследовательский центр травматологии и ортопедии имени Н.Н. Приорова» Минздрава России, Москва, Россия

#### РЕДАКЦИОННАЯ КОЛЛЕГИЯ

**Алиев М.Б.Д.** — акад. РАН, д-р мед. наук, проф., ФГБУ «НМИЦ радио-логии» Минэдрава России, Москва, Россия

Баиндурашвили А.Г. — акад. РАН, д-р мед. наук, проф., ФГБУ «Научно-исследовательский детский ортопедический институт им. Г.И. Турнера» Мин-здрава России, Санкт-Петербург, Россия

Бодрова Р.А. — д-р мед. наук, доцент, КГМА — филиал ФГБОУ ДПО РМАНПО Минздрава России, Казань, Россия

Буйлова Т.В. — д-р мед. наук, Национальный исследовательский Ни-егородский государственный университет им. Н.И. Лобачевского, Нижний Новгород, Россия

Виссарионов С.В. — чл.-корр. РАН, д-р мед. наук, проф., ФГБУ «Нацио-нальный медицинский исследовательский центр детской травматологии и ортопедии им. Г.И. Турнера» Минздрава России, Санкт-Петербург, Россия

**Голубев И.О.** — д-р мед. наук, проф., ФГАОУ ВО «Российский университет дружбы народов», Москва, Россия Губин А.В. — д-р мед. наук, ФГБУ «Национальный медицинский исследо-вательский центр травматологии и ортопедии им. Н.Н. Приорова» Минздрава

России, Москва, Россия Гуща А.О. — д-р мед. наук, ФГБНУ «Научный центр неврологии», Москва,

**Дубров В.З.** — д-р мед. наук, проф., МГУ им. М.В. Ломоносова, Москва, Россия Еськин Н.А. — д-р мед. наук, проф., ФГБУ «Национальный медицинский исследовательский центр травматологии и ортопедии им. Н.Н. Приорова» Минздрава России, Москва, Россия

Загородний Н.В. — чл.-корр. РАН, д-р мед. наук, проф., ФГБУ «Нацио-нальный медицинский исследовательский центр травматологии и ортопедии им. Н.Н. Приорова» Минздрава России, Москва, Россия

Иванов П.А. — д-р мед. наук, проф., ГБУЗ г. Москвы «Научно-исследовательский институт скорой помощи им. Н.В. Склифосовского» Департамента здравоохранения города Москвы, Москва, Россия

Каграманов С.В. — д-р мед. наук, проф., ФГБУ «Национальны ский исследовательский центр травматологии и ортопедии им. Н.Н. Приоро-ва» Минздрава России, Москва, Россия

Карпенко В.Ю. — д-р мед. наук, ФГБУ «Национальный медицинский исследовательский центр травматологии и ортопедии им. Н.Н. Приорова» Мин-здрава России, Москва, Россия

Коновалов Н.А. — чл.-корр. РАН, д-р мед. наук, проф., ФГАУ «НМИЦ ней-рохирургии им. ак. Н.Н. Бурденко» Минздрава России, Москва, Россия

крупаткин А.И. — д-р мед. наук, проф., ФГБУ «Национальный медицин-ский исследовательский центр травматопогии и ортопедии им. Н.Н. Приоро-ва» Минздрава России, Москва, Россия Кулешов А.А. — д-р мед. наук, проф., ФГБУ «Национальный медицинский

исследовательский центр травматологии и ортопедии им. Н.Н. Приорова» Минздрава России, Москва, Россия

Лежнев Д.А. — д-р мед. наук, проф., ФГБОУ ВО МГМСУ им. А.И. Евдоки-мова Минэдрава России, Москва, Россия Мачак Г.А. — д-р мед. наук, ФГБУ «Национальный медицинский исследо-

вательский центр травматологии и ортопедии им. Н.Н. Приорова» Минздрава России, Москва, Россия

Михайлова Л.К. — д-р мед, наук, проф., ФГБУ «Национальный медицин-ский исследовательский центр травматологии и ортопедии им. Н.Н. Приоро-ва» Минздрава России, Москва, Россия

Морозов А.К. — д-р мед. наук, ФГБУ «Национальный медицинский ис-следовательский центр травматологии и ортопедии им. Н.Н. Приорова» Мин-здрава России, Москва, Россия

Мурылев В.Ю. — д-р мед. наук, проф. ФГАОУ ВО «Первый Московский государственный медицинский университет им. И.М. Сеченова» Минздрава России (Сеченовский университет), Москва, Россия

Мушкин А.Ю. — д-р мед. наук, проф., ФГБУ «Санкт-Петербургский научо-исследовательский институт фтизиопульмонологии» Минздрава России, Санкт-Петербург. Россия

Назаренко А.Г. — проф. РАН, д-р мед. наук, ФГБУ «Национальный меди цинский исследовательский центр травматологии и ортопедии им. Н.Н. При-орова» Минздрава России, Москва, Россия

**Орлецкий А.К.** — д-р мед. наук, проф., ФГБУ «Национальный медицин-ский исследовательский центр травматологии и ортопедии им. Н.Н. Приорова» Минздрава России. Москва. Россия

**Очкуренко А.А.** — д-р мед. наук, проф., ФГБОУ ДПО «Российская меди-цинская академия непрерывного профессионального образования» Минздрава России, Москва, Россия

Попков Д.А. — д-р мед. наук, проф., чл.-корр. Французской Академии медицинских наук, ФГБУ «Национальный медицинский исследовательский центр травматологии и ортопедии им. академика Г.А. Илизарова» Минздрава России, Курган, Россия

Родионова С.С. — д-р мед. наук, проф., ФГБУ «Национальный м ский исследовательский центр травматологии и ортопедии им. Н.Н. Приорова» Минздрава России. Москва. Россия

Рябых С.О. — д-р мед. наук, проф., ФГБУ «Национальный медицинский исследовательский центр травматологии и ортопедии им. академика Г.А. Или-зарова» Минэдрава России, Курган, Россия

Салтыкова В.Г. — д-р мед. наук, проф., ФГБОУ ДПО РМАНПО Минздрава

Сергеев Н.И. — д-р мед. наук, проф., ФГБУ «РНЦРР» Минздрава России,

Снетков А.И. — д-р мед. наук, проф., ФГБУ «Национальный медицинский исследовательский центр травматологии и ортопедии им. Н.Н. Приорова» Минздрава России, Москва, Россия Солод З.И. — д-р мед. наук, проф., ФГБОУ ДПО «Российская медицин

ская академия непрерывного профессионального образования» Минздрава России. Москва. Россия Тихилов Р.М. — д-р мед. наук. проф., ФГБУ «Российский научно-исследо-

вательский институт травматологии и ортопедии им. Р.Р. Вредена» Минздрава России, Санкт-Петербург, Россия

Хубутия М.Ш. — акад. РАН, д-р мед. наук, проф., ГБУЗ «Научно-исследо-вательский институт скорой помощи им. Н.В. Склифосовского» Департамента здравоохранения города Москвы, Москва, Россия

**Черкашин А.** — д-р мед. наук, Техасский детский госпиталь, Даллас, США Хосни Г.А. — Университет Бенха, Бенх, Египет

**Иванов М.** — д-р мед. наук, Образовательные больницы Шеффилда Фонда NHS, Великобритания

Кириенко А. — Клинический институт, Роццано, Италия

**Чаудхари М.** — Госпиталь Чодри, Акола, Индия Миткович М.Б. — проф, Нишский университет, Ниш, Сербия

Мадан С.С. — д-р мед. наук, Детский госпиталь, Шеффилд, Великобри-

**Глэд В.** — д-р мед. наук, Университет здравоохранения Сан-Антонио, Сан-Антонио, США

Кавагути Е. — Университет Тоямы. Япония



Редакция не несёт ответственности за содержание рекламных материалов. Точка зрения авторов может не совпадать с мнением редакции. К публикации принимаются только статьи, подготовленные в соответствии с правилами для авторов. Направляя статью в редакцию, авторы принимают условия договора публичной оферты. С правилами для авторов и договором публичной оферты можно ознакомиться на сайте: https://journals.eco-vector.com/0869-8678/. Полное или частичное воспроизведение материалов, опубликованных в журнале, допускается только с письменного разрешения издателя — издательства «Эко-Вектор»

#### **FOUNDER:**

National Medical Research Center of Traumatology and Orthopedics N.N. Priorov

#### **PUBLISHER**

**Eco-Vector** 

Address: 3 liter A, 1H, Aptekarsky pereulok, 191186, Saint Petersburg,

Russian Federation

E-mail: info@eco-vector.com WEB: https://eco-vector.com

#### **ADVERTISE**

#### Adv. department

Phone: +7 (968) 545 78 20 E-mail: adv2@eco-vector.com

#### **EDITORIAL OFFICE**

Executive editor Diana A. Trukhina

Email: vto@eco-vector.com Phone: +7 (967) 153-70-05

#### **EDITORIAL OFFICE ADDRESS**

10, Priorova str., 127299, Moscow, Russian Federation

#### **SUBSCRIPTION**

For print version: www.journals.eco-vector.com

#### **INDEXATION**

- · Russian Science Citation Index
- · Google Scholar
- · Ulrich's International Periodicals Directory
- WorldCat

#### **TYPESET**

compleate in Eco-Vector Proofreader: S.I. Yali

Layout editor: *Ph. Ignashchenko* Cover: *Ph. Ignashchenko* 

ISSN 0869-8678 (Print) ISSN 2658-6738 (Online)

### N.N. Priorov

# Journal of Traumatology and Orthopedics

Volume 30 | Issue 3 | 2023 QUARTERLY PEER-REVIEW MEDICAL JOURNAL

#### EDITOR-IN-CHIEF

Anton G. Nazarenko — professor of the Russian Academy of Sciences, MD, Professor, Head of N.N. Priorov National Medical Research Center of Traumatology and Orthopedics, Moscow, Russia.

#### DEPUTY EDITOR-IN-CHIEF

Marchel S. Vetrile — MD, N.N. Priorov National Medical Research Center of Traumatology and Orthopedics, Moscow Russia

Mikhail B. Tsykunov — MD, Professor the Department "Medical Rehabilitation" at N.N. Priorov National Medical Research Center of Traumatology and Orthopedics, Moscow, Russia.

#### EXECUTIVE SECRETARY

**Aleksandr I. Krupatkin** — MD, Professor, N.N. Priorov National Medical Research Center of Traumatology and Orthopedics, Moscow, Russia.

#### EDITORIAL BOARD

Aliev M.B.D. — M.D., Professor, academician of the Russian Academy of Sciences, National Medical Research Center for Radiology, Moscow, Russia.

**Baindurashvili A.G.** — corresponding member of RAS, MD, Professor, Research children's orthopedic Institute G.I. Turner, Saint-Petersburg, Russia.

**Buylova T.V.** — MD, N.I. Lobachevsky National Research Nizhny Novgorod State University (UNN), Nizhny Novgorod, Russia

Vissarionov S.V. — corresponding member of RAS, MD, Professor, G.I. Turner National Medical Research Center of Pediatric Traumatology and Orthopedics, St. Petersburg, Russia.

 $\begin{tabular}{ll} \textbf{Vorotnikov A.A.} & -- \textbf{MD}, \textbf{Professor}, \textbf{Stavropol State Medical University}, \textbf{Stavropol}, \textbf{Russia}. \end{tabular}$ 

Golubev I.O. — MD, Professor, RUDN University, Moscow, Russia.

Gubin A.V. — MD, Professor, N.N. Priorov National Medical Research
Center of Traumatology and Orthopedics, Moscow, Russia.

Gushcha A.O. — Research Center of Neurology, Moscow, Russia.

Dubrov V.E. — MD, Professor, Lomonosov Moscow State University,
Moscow, Russia.

Eskin N.A. — MD, Professor, N.N. Priorov National Medical Research Center of Traumatology and Orthopedics, Moscow, Russia.

Zagorodny N.V. — corresponding member of RAS, Professor, MD, N.N. Priorov National Medical Research Center of Traumatology and Orthopedics, Moscow, Russia.

Ivanov P.A. — MD, docent, Scientific Research Institute for Emergency Medicine named after N.V. Sklifosovsky of the Moscow City Health Department, Moscow, Russia.

Kagramanov S.V. — MD, Professor, N.N. Priorov National Medical Research Center of Traumatology and Orthopedics, Moscow, Russia.

Karpenko V.Y. — MD, Professor, N.N. Priorov National Medical Research Center of Traumatology and Orthopedics, Moscow, Russia.

Konovalov N.A. — MD, Professor, corresponding member of the Russian Academy of Sciences, N.N. Burdenko National Medical Research Center of Neurosurgery, Moscow, Russia.

**Krupatkin A.I.** — MD, Professor, N.N. Priorov National Medical Research Center of Traumatology and Orthopedics, Moscow, Russia.

**Kuleshov A.A.** — MD, Professor, N.N. Priorov National Medical Research Center of Traumatology and Orthopedics, Moscow, Russia.

**Lezhnev D.A.** — MD, Professor, Moscow State University of Medicine and Dentistry named after A.I.Evdakimov, Moscow, Russia.

Machak G.N. — MD, Professor, N.N. Priorov National Medical Research Center of Traumatology and Orthopedics, Moscow, Russia.

Mikhailova L.K. — MD, Professor, N.N. Priorov National Medical Research Center of Traumatology and Orthopedics, Moscow, Russia.

 $\label{eq:morozov} \textbf{A.K.} \ -- \ \text{MD, N.N.} \ \text{Priorov National Medical Research Center}$  of Traumatology and Orthopedics, Moscow, Russia.

**Murylev V.Yu.** — MD, Professor, I.M. Sechenov First Moscow State Medical University, Moscow, Russia.

Mushkin A.Yu. — MD, Professor, St. Petersburg National Medical Research Institute for Phthisiopulmonology, St. Petersburg, Russia.

Orletskiy A.K. — MD, Professor, N.N. Priorov National Medical Research Center of Traumatology and Orthopedics, Moscow, Russia.

**Ochkurenko A.A.** — MD, Professor, Russian Medical Academy of Continuing Professional Education, Moscow, Russia.

Popkov D.A. — MD, Professor, corresponding member of French Academy of Medicine, G.A. Ilizarov National Medical Research Center of Traumatology and Orthopedics, Kurgan, Russia.

Rodionova S.S. — MD, Professor, N.N. Priorov National Medical Research Center of Traumatology and Orthopedics, Moscow, Russia.

 $\label{eq:Ryabykh S.0.} \textbf{MD}, \textbf{Professor}, \textbf{G.A.} \textbf{Ilizarov} \textbf{National Medical} \\ \textbf{Research Center of Traumatology and Orthopedics, Kurgan, Russia.} \\$ 

Saltykova V.G. — MD, Professor, Russian Medical Academy of Continuous Professional Education, Moscow, Russia.

 $\label{eq:Sergev N.I.} \textbf{MD, Professor, Russian Scientific Center} of Roentgenoradiology (RSCRR), Moscow, Russia.$ 

Snetkov A.I. — MD, Professor, N.N. Priorov National Medical Research Center of Traumatology and Orthopedics, Moscow, Russia.

**Solod E.I.** — MD, Professor, Russian Medical Academy of Continuing Professional Education, Moscow, Russia.

 $\label{eq:Tikhilov R.M.} \textbf{--} \text{ MD, Professor, Vreden Russian Research Institute} of Traumatology and Orthopedics, St. Petersburg, Russia.$ 

Khubutiya M.S. — MD, Professor, academician of the Russian Academy of Sciences, Scientific Research Institute for Emergency Medicine named after N.V. Sklifosovsky of the Moscow City Health Department, Moscow, Russia.

 $\label{eq:Cherkashin A.} \textbf{ ---} \ \text{MD, Texas Scottish Rite Hospital for Children,} \\ \textbf{Dallas, USA.}$ 

Hosny G.A. — Benha University, Benha, Egypt.

 $\label{eq:local_problem} \textbf{Ivanov M.} \longrightarrow \text{MD}, \text{PhD}, \text{MSc}, \text{FRCS}, \text{Sheffield Teaching Hospitals NHS} \\ \textbf{Foundation Trust}, \text{Sheffield}, \textbf{United Kingdom}.$ 

 $\textbf{Kirienko A.} \leftarrow \textbf{Clinical Institute, Rozzano, Italy.}$ 

Chaudhary M. — Chaudhary Trust Hospital, Akola, India.

Mitkovic M.B. — University of Nis, Nis, Serbia.

Madan S.S. — MBBS, FRCS, MCh, MBA, FInstLM, Sheffield Children's Hospital, Sheffield, United Kingdom.

Glad V. — PhD, UT Health San Antonio, San Antonio, USA.

Kawaguchi Y. — Toyama University, Toyama, Japan.



The editors are not responsible for the content of advertising materials. The point of view of the authors may not coincide with the opinion of the editors. Only articles prepared in accordance with the guidelines are accepted for publication. By sending the article to the editor, the authors accept the terms of the public offer agreement. The guidelines for authors and the public offer agreement can be found on the website: https://journals.eco-vector.com/0869-8678/. Full or partial reproduction of materials published in the journal is allowed only with the written permission of the publisher — the Eco-Vector publishing house.

#### СОДЕРЖАНИЕ

#### 

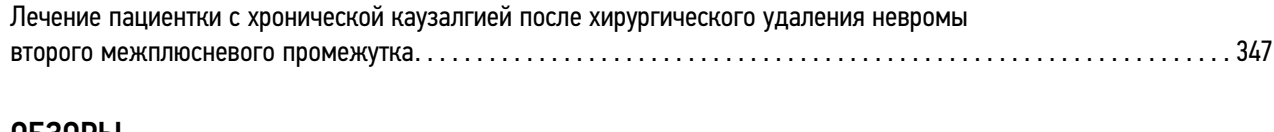
А.А. Кулешов, А.В. Губин, В.А. Шаров, М.С. Ветрилэ, И.Н. Лисянский, С.Н. Макаров

И.В. Маркин, К.С. Александров, Н.В. Варламова, П.К. Потапов, Е.А. Журбин,

Д.А. Большакова, А.А. Карданов, М.Н. Майсигов, А.В. Королёв

#### 

#### КЛИНИЧЕСКИЕ СЛУЧАИ



# ОБЗОРЫ А.А. Агафонова, А.И. Крупаткин, А.И. Дорохин Клинико-патогенетическое значение микрососудистого компонента костной ткани. 357 А.С. Золотов, Е.А. Зинькова, В.А. Атоян Тело Гоффа, болезнь Гоффа, перелом Гоффа: история эпонимов. 367

#### 

#### **CONTENTS**

#### **ORIGINAL STUDY ARTICLES**

3	Anatoliy R. Urletskiy, Dmitriy U. Timchenko, Nikolay A. Gordeev, Vladislav A. Zharikov,  Dmitriy O. Vasiliev, Igor S. Kosov  Surgical treatment of post-traumatic instability of the shoulder joint in athletes.  Arthroscopic Latarjet procedure or free bone autograft?
	Igor O. Golubev, Maksim V. Merkulov, Vasily D. Kusnetsov, Oleg M. Bushuev, Ilya A. Kutepov, Grigoriy G. Baliura
9	Modern aspects in the treatment of intra-articular fractures and fractures of the proximal interphalangeal joints of the three-phalangeal fingers of the hand, as well as their consequences
3	Ivan K. Eremin, Egor V. Ogarev, Armen A. Daniliyants, Kirill A. Zhandarov, Nikolai V. Zagorodniy  Advantage of the anterior approach in total hip arthroplasty  (topographic-anatomical and computed tomography substantiation)
3	Alexander V. Skrebtsov, Victoria K. Nikitina, Victor G. Protsko, Sargon K. Tamoev, Vladimir V. Skrebtsov, Denis S. Yakushev Analysis of medium-term outcomes after surgical correction hallux valgus deformity
3	Alexander A. Kuleshov, Alexander V. Gubin, Vladislav A. Sharov, Marchel S. Vetrile, Igor N. Lisyansky, Sergey N. Makarov  Screening examination of the cervical spine in patients with Down syndrome
	Ilya V. Markin, Konstantin S. Alexandrov, Natalya V. Varlamova, Petr K. Potapov, Evgeniy A. Zhurbin, Anton N. Matytsin, Alexandr V. Shirshin, Elena S. Shchelkanova Medical simulator for the training of radiologists: experimental work
	CLINICAL CASE
	Daria A. Bolshakova, Andrey A. Kardanov, Musa N. Maysigov, Andrey V. Korolev
9	Treatment of a patient with chronic causalgia after surgical removal of the neuroma in the second interdigital space
	REVIEWS
	Anastasia A. Agafonova, Alexandr I. Krupatkin, Alexandr I. Dorokhin
	Clinical and pathogenetic significance of the microvascular component of bone tissue
	Aleksandr S. Zolotov, Ekaterina A. Zinkova, Varsik A. Atoian Hoffa's fat pad, Hoffa's disease, Hoffa's fracture: the history of eponyms
	nona stat paa, nona stalease, nona stractare. the history of eponymis
	OBITUARY
9	Sergey Pavlovich Mironov, Academician of the Russian Academy of Sciences (06.08.1948–14.08.2023)

DOI: https://doi.org/10.17816/vto321282

# Оперативное лечение посттравматической нестабильности плечевого сустава у спортсменов. Артроскопическая операция Латарже или свободный костный аутотрансплантат?

А.К. Орлецкий, Д.О. Тимченко, Н.А. Гордеев, В.А. Жариков, Д.О. Васильев, И.С. Косов

Национальный медицинский исследовательский центр травматологии и ортопедии им. Н.Н. Приорова, Москва, Российская Федерация

#### *RN*ШАТОННА

**Введение.** Оперативное лечение посттравматической нестабильности плечевого сустава подразумевает использование различных хирургических техник: операции Латарже, Банкарта, а также применение свободного костного аутотрансплантата. У каждого из предложенных методов есть свои преимущества и недостатки, вследствие чего в последние 10 лет развиваются методики пластики суставной поверхности лопатки.

**Цель.** Комплексная оценка результатов биомеханических исследований плечевого сустава в послеоперационном периоде после артроскопической операции Латарже и артроскопической стабилизации с использованием свободного костного трансплантата у профессиональных спортсменов.

Материалы и методы. За период с 2017 по 2022 год в Клинике спортивной, балетной и цирковой травмы им. З.С. Мироновой (ФГБУ «НМИЦ ТО им. Н.Н. Приорова») было выполнено 27 артроскопических операций у пациентов с посттравматической нестабильностью плечевого сустава.

**Результаты.** По результатам сравнительного исследования биомеханики плечевого сустава в послеоперационном периоде у 27 спортсменов, проведённого нами в научном отделе медицинской реабилитации НМИЦ ТО им. Н.Н. Приорова под руководством И.С. Косова, было выявлено, что применение артроскопической операции Латарже снижает силовые характеристики плечевого сустава, а также нарушает проприоцептивную чувствительность и, как следствие, тонкую координацию движений.

Заключение. Выбор методики хирургического лечения посттравматической нестабильности плечевого сустава у спортсменов зависит от специфики спорта. Применение свободного костного блока позволяет сохранить тонкие координированные движения, что важно в гимнастике, синхронном плавании и т.д., также свободный аутотрансплантат не снижает силовые характеристики после операции. Операцию Латарже можно использовать при командных видах спорта (баскетбол, волейбол и т.д.) без потери спортивного результата.

**Ключевые слова:** посттравматическая нестабильность; артроскопия плеча; операция Латарже; свободный костный блок.

#### Как цитировать:

Орлецкий А.К., Тимченко Д.О., Гордеев Н.А., Жариков В.А., Васильев Д.О., Косов И.С. Оперативное лечение посттравматической нестабильности плечевого сустава у спортсменов. Артроскопическая операция Латарже или свободный костный аутотрансплантат? // Вестник травматологии и ортопедии им. Н.Н. Приорова. 2023. Т. 30, № 3. С. 271–285. DOI: https://doi.org/10.17816/vto321282

Рукопись получена: 12.03.2023 Рукопись одобрена: 17.07.2023 Опубликована: 20.09.2023



DOI: https://doi.org/10.17816/vto321282

# Surgical treatment of post-traumatic instability of the shoulder joint in athletes. Arthroscopic Latarjet procedure or free bone autograft?

Anatoliy K. Orletskiy, Dmitriy O. Timchenko, Nikolay A. Gordeev, Vladislav A. Zharikov, Dmitriy O. Vasiliev, Igor S. Kosov

Priorov National Medical Research Center, Moscow, Russian Federation

#### **ABSTRACT**

**BACKGROUND:** Surgical therapy for post-traumatic shoulder includes a variety of procedures, such as the Latarjet operation, Bankart, and the use of free bone autograft. Each of the offered approaches has advantages and disadvantages. As a result, techniques for plastic surgery of the articular surface of the scapula have been developed in the last 10 yr.

**OBJECTIVE:** To comprehensively evaluate the outcomes of biomechanical studies of the shoulder joint in the postoperative period after arthroscopic Latarjet operation and arthroscopic stabilization using a free bone graft in professional athletes.

**MATERIALS AND METHODS:** From 2017 to 2022, the Clinic for Sports, Ballet, and Circus Trauma, named after Z.S. Mironova (N.N. Priorov National Medical Research Center for Traumatology and Orthopedics), performed 27 arthroscopic procedures on patients with post-traumatic shoulder joint instability.

**RESULT:** According to the results of a comparative study of the biomechanics of the shoulder joint in the postoperative period in 27 athletes, conducted by us in the scientific department of medical rehabilitation of the N.N. Priorov, under the guidance of I.S. Kosov, it was revealed that the use of arthroscopic Latarjet operation reduces the strength characteristics of the shoulder joint and violates proprioceptive sensitivity, resulting to fine coordination of movements.

**CONCLUSIONS:** The surgical treatment of post-traumatic shoulder joint instability in athletes is determined by the sport. A free bone block allows you to maintain fine coordinated movements, which is vital in gymnastics, synchronized swimming, and other sports, and a free autograft does not reduce strength characteristics after surgery. The Latarjet operation can be used in team sports (basketball and volleyball) without affecting the outcome of the game.

Keywords: post-traumatic instability; shoulder arthroscopy; Latarjet operation; free bone block.

#### To cite this article:

Orletskiy AK, Timchenko DO, Gordeev NA, Zharikov VA, Vasiliev DO, Kosov IS. Surgical treatment of post-traumatic instability of the shoulder joint in athletes. Arthroscopic Latarjet procedure or free bone autograft? *N.N. Priorov Journal of Traumatology and Orthopedics*. 2023;30(3):271–285. DOI: https://doi.org/10.17816/vto321282

Received: 12.03.2023 Accepted: 17.07.2023 Published: 20.09.2023



#### **ВВЕДЕНИЕ**

По данным В. Waterman и соавт. (2016), нестабильность плечевого сустава у спортсменов составляет до 24 случаев на 1000 человек и является актуальной проблемой на современном этапе. Плечевой сустав имеет наибольшую функциональную значимость в следующих видах спорта высших достижений [1–3]:

- контактные виды: борьба, самбо, бокс, смешанные виды единоборств и т.д.;
- командные дисциплины: баскетбол, волейбол, гандбол;
- гимнастика (как спортивная, так и художественная);
- лёгкая атлетика: метание молота, копья, диска, ядра.

На сегодняшний день предложено множество хирургических методик лечения посттравматической нестабильности плечевого сустава. У каждого метода лечения есть свои преимущества и недостатки. Наиболее распространёнными хирургическими техниками на современном этапе являются [4–6]:

- артроскопическая мягкотканная операция Банкарта;
- открытая операция Бристоу-Латарже;
- артроскопическая операция Бристоу-Латарже;
- открытая операция с использованием свободного костного аутотрансплантата;
- артроскопическая стабилизация с использованием костного аутотрансплантата.

Наиболее сложной в плане прогнозов и результатов лечения считается посттравматическая нестабильность плечевого сустава с потерей костной массы суставной впадины лопатки, вследствие чего в последнее десятилетие наблюдается активное развитие оперативных методик костной пластики гленоида [7–9].

**Цель исследования** — комплексная оценка результатов биомеханических исследований плечевого сустава в послеоперационном периоде после артроскопической операции Латарже и артроскопической стабилизации с использованием свободного костного аутотрансплантата у профессиональных спортсменов.

#### **МАТЕРИАЛЫ И МЕТОДЫ**

#### Дизайн исследования

Проведено описательное наблюдательное исследование.

#### Критерии включения

В исследование были включены профессиональные спортсмены и спортсмены-любители с дефицитом костной массы суставной поверхности лопатки более 20%; рецидивирующей нестабильностью плечевого сустава; потерей костной массы головки плечевой кости более 3×3 см.

#### Условия проведения

Исследование проводилось на базе лаборатории биомеханики ФГБУ «НМИЦ ТО им. Н.Н. Приорова».

#### Продолжительность исследования

Исследование проводилось с 2017 по 2022 г.

#### Описание медицинского вмешательства

Пациентам с посттравматической нестабильностью плечевого сустава выполнялись:

- артроскопическая операция Латарже;
- артроскопическая стабилизация плечевого сустава с использованием свободного костного аутотрансплантата.

#### Этический комитет

Исследование одобрено локальным этическим комитетом 26.12.2022, протокол № 1.

#### РЕЗУЛЬТАТЫ

#### Участники исследования

В исследовании участвовали профессиональные спортсмены и спортсмены-любители с посттравматической нестабильностью плечевого сустава, сопровождающейся потерей костной массы суставной впадины лопатки ≥20%, разделённые на 2 группы в зависимости от типа проведённого оперативного вмешательства [10—14]:

- артроскопическая операция Латарже;
- артроскопическая стабилизация с применением свободного костного аутотрансплантата.

За период с 2017 по 2022 год в Клинике спортивной, балетной и цирковой травмы им. З.С. Мироновой (ФГБУ «НМИЦ ТО им. Н.Н. Приорова») было выполнено 27 артроскопических операций у пациентов с посттравматической нестабильностью плечевого сустава. Артроскопическая операция Латарже была выполнена в 19 случаях (70,4%), в 8 случаях (29,6%) пациентам выполнялась артроскопическая стабилизация с использованием костного аутотрансплантата. Средний возраст пациентов составил 29,4±1,4 года, среди них было 23 мужчины (86,9%) и 4 женщины (13,1%). Что касается видов спорта, преобладали представители силовых видов: 12 пациентов занимались дзюдо (46,1%), 9 пациентов — самбо и смешанными единоборствами (33,3%), и 6 пациентов занимались художественной гимнастикой, баскетболом и метанием копья (22,2%) [2, 3, 15, 16].

На сегодняшний день, согласно исследованиям Y.W. Known с соавт. при отсутствии противопоказаний всем пациентам активного возраста с посттравматическими патологиями плечевого сочленения показано оперативное лечение [5, 17–20].

Артроскопическая стабилизация с использованием свободного костного трансплантата является одним из возможных вариантов лечения пациентов

с посттравматической нестабильностью плечевого сустава [21–24]. Применение данной методики подразумевает забор аутотрансплантата из гребня подвздошной кости и его транспозицию в область передненижнего отдела суставной поверхности лопатки с целью восполнения костного дефекта [5, 25, 26].

В результате динамического наблюдения и обследования наших пациентов в лаборатории биомеханики НМИЦ ТО им. Н.Н. Приорова в течение 1,5 года после оперативного вмешательства были выявлены следующие отличия функциональных показателей плечевого сустава в группе лиц, которым выполнялась артроскопическая операция Латарже:

- удлинение сроков восстановления в течение предтренировочного периода;
- жалобы на потерю навыков спортивной работоспособности — мышечной силы, выносливости, скорости реакции (согласно результатам опроса по визуально-аналоговой шкале боли ВАШ, шкалам USES, UCLA).

#### Аспекты биомеханики плечевого сустава

Стабилизация «висячего» плечевого сустава обеспечивается пассивными (капсульно-связочный аппарат) и активными (околосуставные мышцы) стабилизаторами. Особой отличительной чертой является необходимость компенсировать гравитационную составляющую [27—30].

#### Биокинематическая цепь «лопатка-плечо-предплечье»

Моменты силы:

- антигравитационный;
- приводящий;
- крутящий внутриротационный.

Двуглавая мышца плеча в данной биокинетической цепи формирует вектор силы, направленный от места прикрепления общего сухожилия на бугристости лучевой кости к месту прикрепления сухожилия короткой головки на клювовидном отростке лопатки [16, 31, 32].

При этом результирующие силы, действующие снизу вверх и снаружи внутрь, обусловливают антигравитационный, приводящий и крутящий внутриротационный моменты (рис. 1).

#### Рецепторная функция мышц-стабилизаторов сустава

Регуляция активности мышц-стабилизаторов сустава производится рефлекторно (рис. 2):

- сухожильные органы Гольджи рецепторы системы регуляции напряжения мышцы;
- мышечные веретёна рецепторы системы регуляции длины мышцы.

Нормальное анатомическое положение точек прикрепления мышц является одним из компонентов нормальной

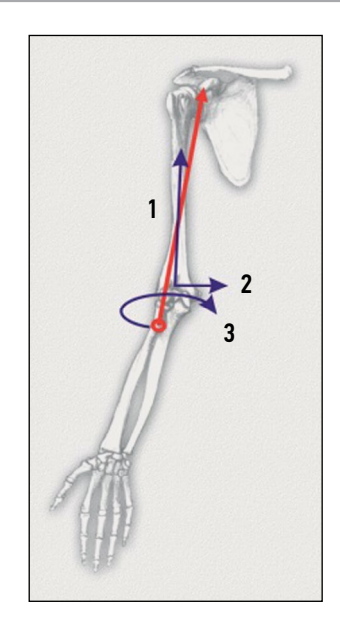
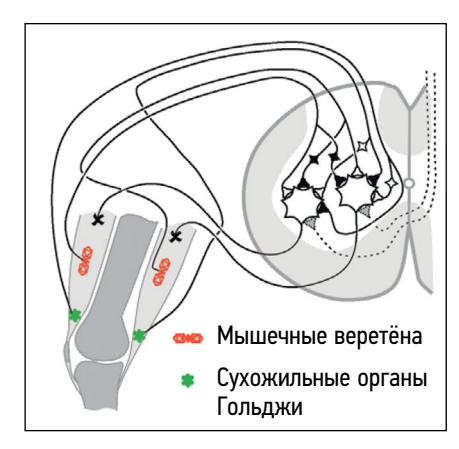


Рис. 1. Биокинематическая цепь «лопатка-плечо-предплечье».

Fig. 1. Biokinematic chain "scapula-shoulder-forearm".



**Рис. 2.** Регуляция активности мышц-стабилизаторов сустава производится рефлекторно.

Fig. 2. The activity of joint stabilizing muscles is regulated reflexively.

физиологической системы биоуправления тонической активностью мышц-стабилизаторов [19, 20].

#### Интактные точки фиксации мышцы, обеспечивающие её физиологическую длину

Оперативное сближение пунктов фиксации мышцы (при транспозиции короткой головки бицепса во время операции Латарже) может способствовать расстройству рефлекторных реакций и вызывать дисбаланс в системе активно-динамической стабилизации плечевого сустава, что негативно сказывается на восстановлении спортивной работоспособности (рис. 3).

#### Плечелопаточный аппаратный тест

С целью качественной и количественной оценки кинезиологического профиля отведения плеча использовали оригинальный плечелопаточный аппаратный тест (рис. 4).



**Рис. 3.** Интактные точки фиксации мышцы, обеспечивающие её физиологическую длину.

Fig. 3. Intact points of muscle fixation, ensuring its physiological length.

Этапы тестирования пациента:

- гониограмма m. deltoideus в отведении;
- спектрограмма m. trapezius;
- · спектрограмма m. deltoideus;
- · спектрограмма m. biceps;
- электромиограмма m. deltoideus.

Аппарат Pocket EMG с помощью цифровых гониометров оценивает углы отведения и регистрирует произвольную биоэлектрическую активность дельтовидных, трапециевидных и двуглавых мышц плечевого сустава в концентрической (отведение), изометрической (удержание) и эксцентрической (приведение) фазах (рис. 5–7).

Оценка электромиографии включала:

- учёт формы и амплитуды сигнала;
- цифровой спектральный анализ записей определение функционального типа исследуемых мышц (медленные и быстрые функциональные волокна) и их характеристик (рис. 8, 9).

После комплексного анализа кинезиологического профиля оперированной верхней конечности результаты сравнивали с контрлатеральной конечностью.

#### Основные результаты исследования

По результатам сравнительного исследования биомеханики плечевого сустава в послеоперационном периоде у 27 спортсменов, проведённого нами в научном отделе медицинской реабилитации НМИЦ ТО им. Н.Н. Приорова под руководством И.С. Косова, было выявлено следующее:

- в группе пациентов, которым была выполнена артроскопическая операция Латарже, отмечено снижение силовых характеристик на 14,9% на оперированной конечности вследствие отсечения клювовидного отростка лопатки, что привело к снижению спортивных результатов (штангисты, спортсмены, занимавшиеся единоборствами, боксом и др.);
- происходило снижение проприоцептивной функции плечевого сустава на 18,7%, что вызывало нарушение тонкой координации движений, которая имеет чрезвычайно важное значение в таких видах спорта, как художественная гимнастика, фигурное катание, а также в балете;
- артроскопическая стабилизация с использованием свободного костного блока не влияла на проприоцепцию плеча и в послеоперационном периоде позволила сохранить тонкую мышечную координацию, что весьма важно в гимнастике, фигурном катании, балете и т.д.;
- операция с применением свободного костного блока является более щадящей в сравнении с операцией Латарже, поскольку сухожилия короткой головки m. biceps, m. subscapularis и m. teres minor



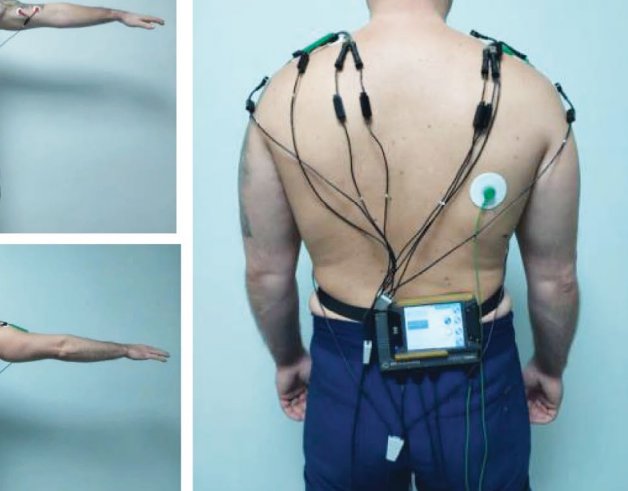
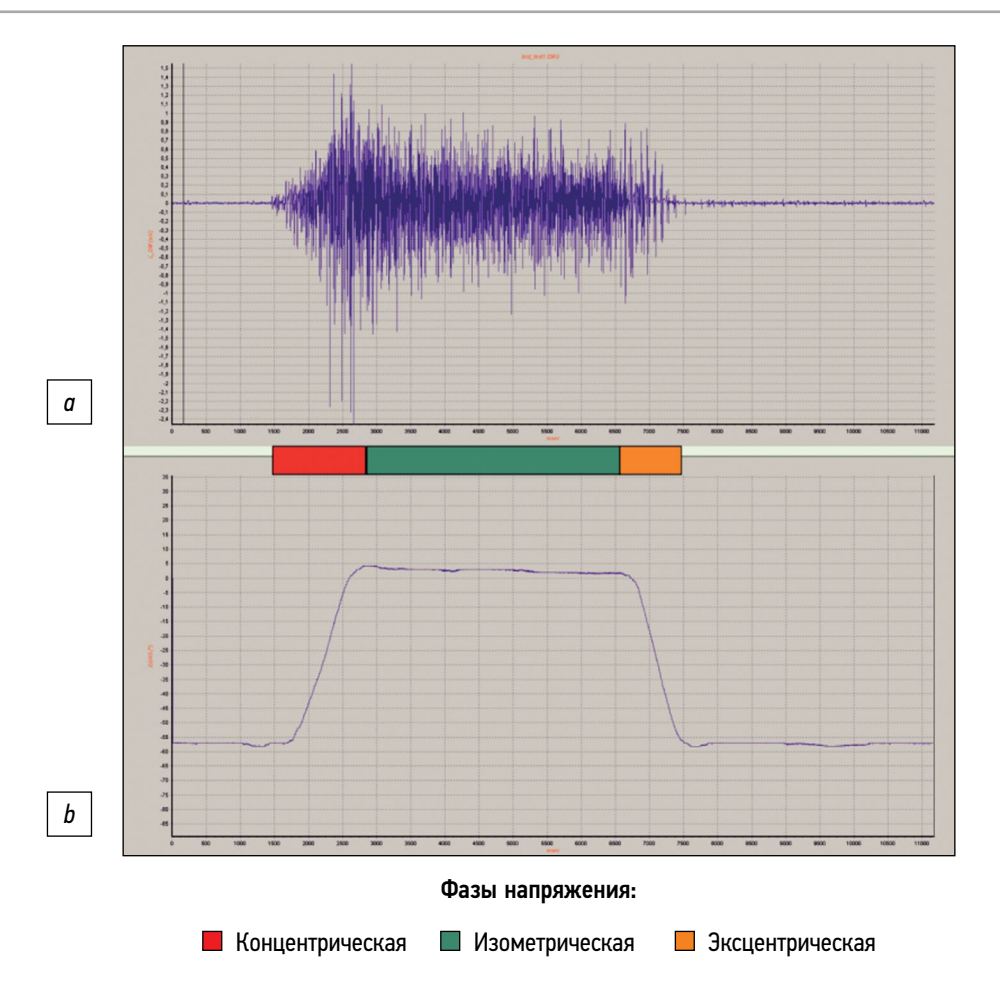


Рис. 4. Демонстрация плечелопаточного тестирования с помощью аппарата.

Fig. 4. Demonstration of scapulohumeral testing using the device.



**Рис. 5.** Пример протокола обработки полученных данных: a — электромиография m. deltoideus, b — гониограмма (отведение). **Fig. 5.** An example of a protocol for processing the obtained data: a — electromyography of m. deltoideus, b — goniogram (lead).

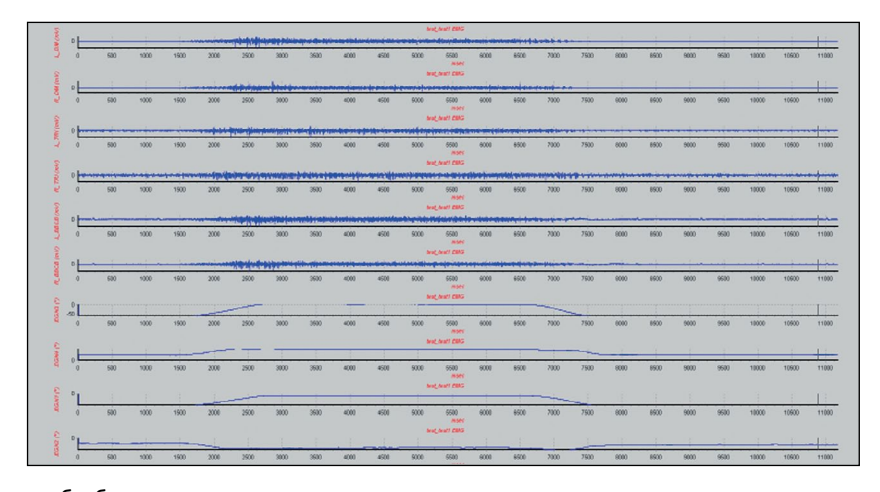


Рис. 6. Пример протокола обработки полученных данных.

Fig. 6. Example of a protocol for processing received data.

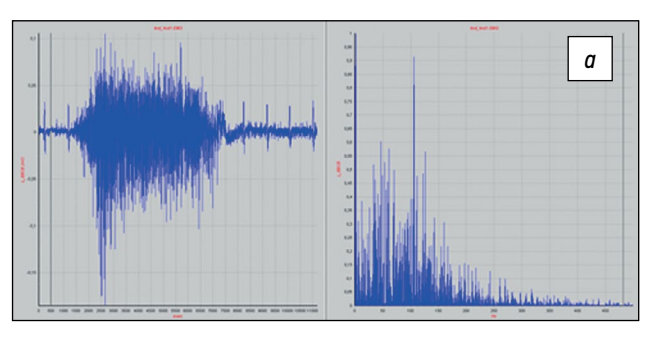
остаются интактными, что приводит к сокращению сроков функционально-восстановительного лечения на 3–4 недели.

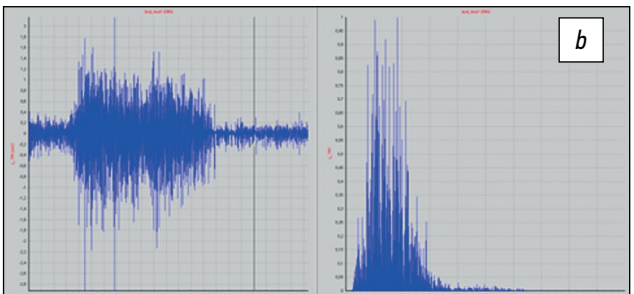
#### Клинический пример 1

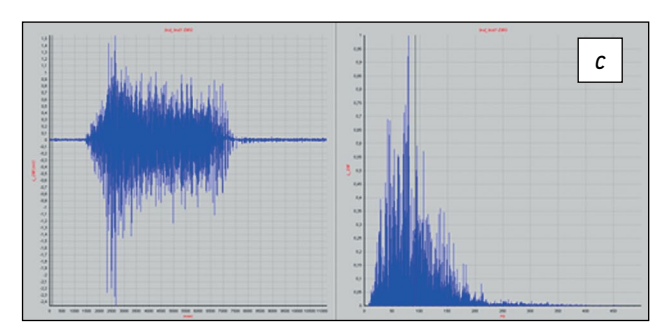
Пациент Д., 30 лет, с диагнозом «рецидивирующая нестабильность левого плечевого сустава» (мастер спорта

международного класса по самбо). В 2022 году выполнена артроскопическая операция Латарже левого плечевого сустава.

Проведена компьютерная томография до операции и рентгенография через 6 мес после вмешательства. Исследование спустя 7 месяцев после хирургического лечения. Клиническая оценка результата хорошая, рецидивов нет, имеется небольшое ограничение наружной ротации плеча (рис. 10).

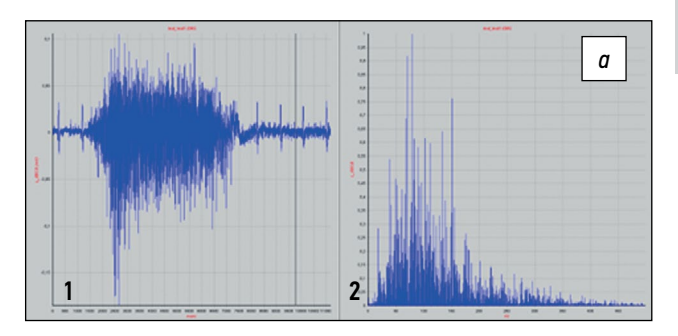


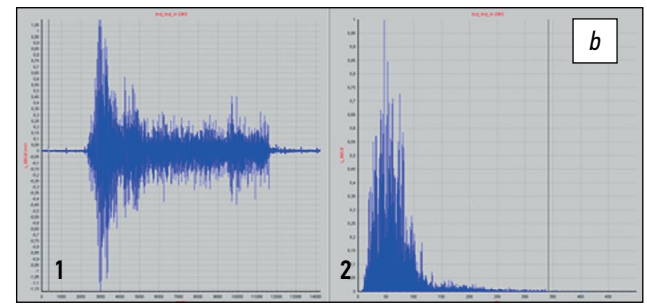




**Рис. 7.** Плечелопаточный тест, показатели нормы: a — спектрограмма m. deltoideus, b — спектрограмма m. trapezius, c — спектрограмма m. biceps [11, 21, 22].

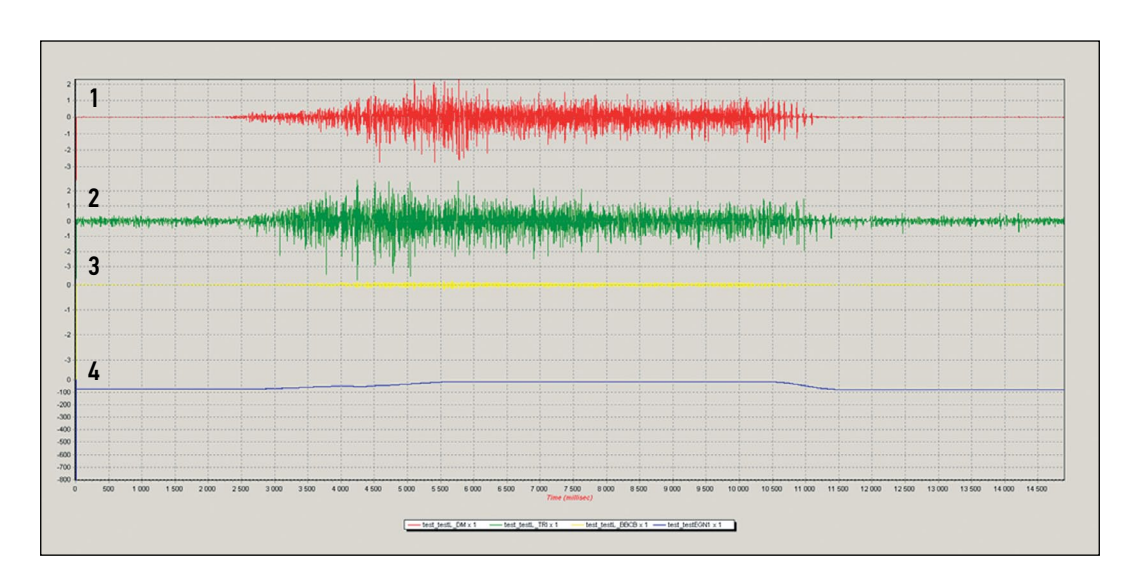
**Fig. 7.** Shoulder test, normal indicators: a — spectrogram of m. deltoideus, b — spectrogram of m. trapezius, c — spectrogram of m. biceps [11, 21, 22].





**Рис. 8.** Цифровой спектральный анализ: a — отведение плеча в тесте: 1 — электромиография m. biceps (средняя амплитуда 42 мкВ), 2 — спектральная плотность; b — сгибание предплечья: 1 — электромиография m. biceps (средняя амплитуда 237 мкВ), 2 — спектральная плотность [8].

Fig. 8. Digital spectral analysis: a — shoulder abduction in the test: 1 — electromyography of m. biceps (average amplitude 42  $\mu$ V), 2 — spectral density; b — forearm flexion: 1 — electromyography of m. biceps (average amplitude 237  $\mu$ V), 2 — spectral density [8].



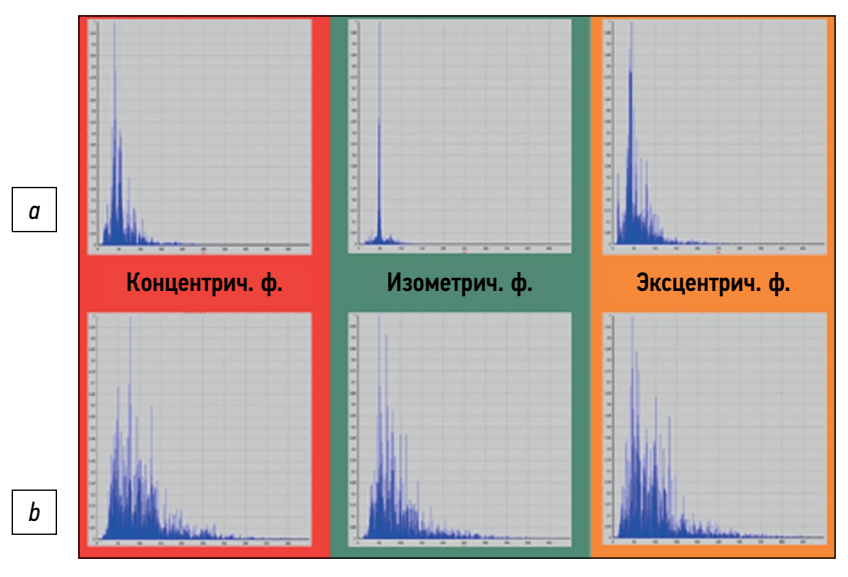
**Рис. 9.** 1 — электромиография m. deltoideus (529 мкВ), 2 — электромиография m. trapezius (481 мкВ), 3 — электромиография m. biceps (42 мкВ), 4 — гониограмма [9].

Fig. 9. 1 — electromyography of m. deltoideus (529  $\mu$ V), 2 — electromyography of m. trapezius (481  $\mu$ V), 3 — electromyography of m. biceps (42  $\mu$ V), 4 — goniogram [9].



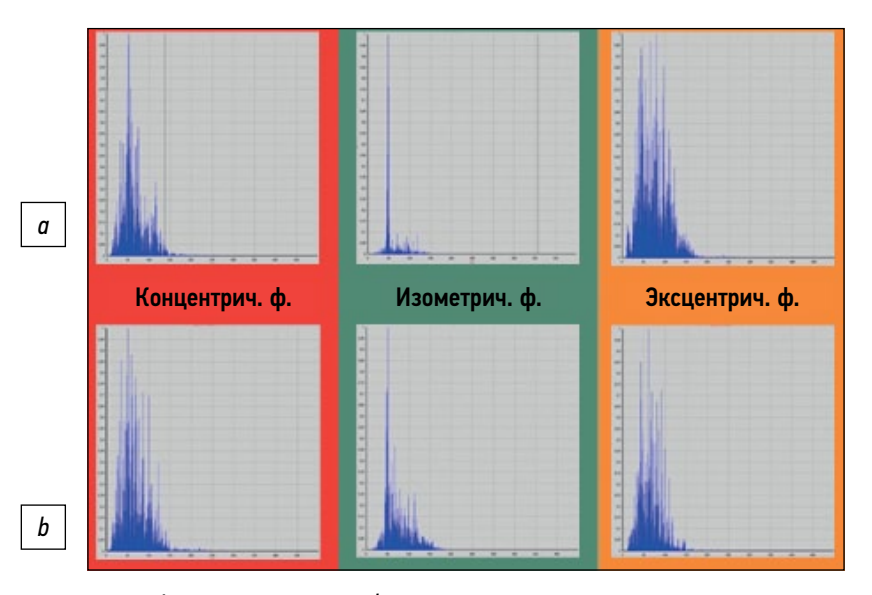
**Рис. 10.** Костный дефект гленоида на предоперационной компьютерной томографии, контрольная рентгенография через 6 месяцев после операции.

Fig. 10. Bone defect of the glenoid on preoperative computed tomography, control radiography 6 months after surgery.



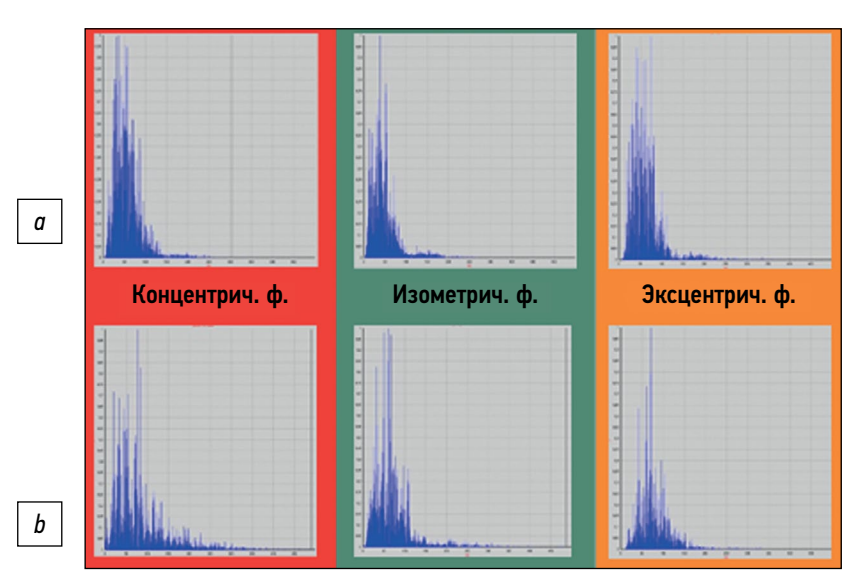
**Рис. 11.** Спектрограммы m. deltoideus: a — левая рука, b — правая рука.

Fig. 11. Spectrograms of m. deltoideus: a — left hand, b — right hand.



**Рис. 12.** Спектрограммы m. trapezius: a — левая рука, b — правая рука.

**Fig. 12.** Spectrograms of m. trapezius: a — left hand, b — right hand.



**Рис. 13.** Спектрограммы m. biceps: a — левая рука, b — правая рука.

**Fig. 13.** Spectrograms of m. biceps: a — left hand, b — right hand.

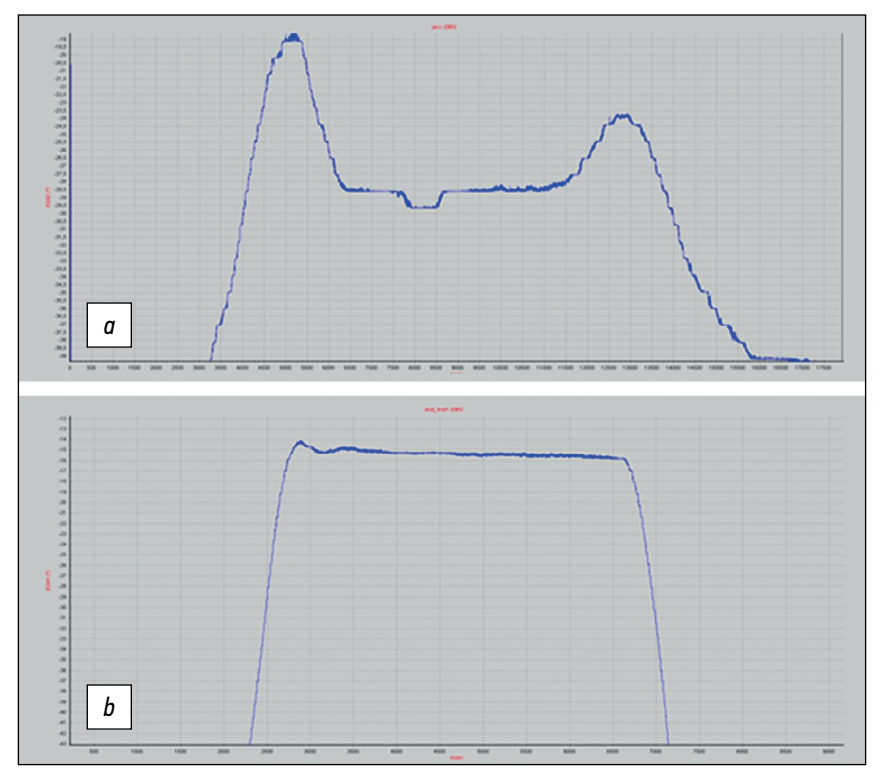
У данного пациента отмечается сужение спектральной мощности на левой оперированной руке, наиболее выраженное в изометрической фазе (удержание) (рис. 11).

Максимальные изменения в виде сужения спектра наблюдаются также слева в изометрической фазе. В концентрической и эксцентрической фазах отличия от правой стороны минимальны (рис. 12).

Изменения спектральной мощности двуглавой мышцы на поражённой стороне свидетельствуют о большей, чем

справа, её вовлечённости в двигательный паттерн отведения плеча и повышении моторной активности (рис. 13).

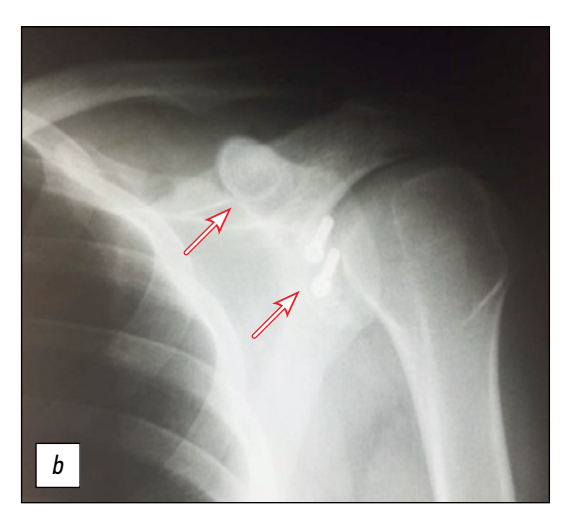
Гониометрические данные определяют провал плато в изометрической фазе на 10 градусов. Интересен тот факт, что в начале эксцентрической фазы угол отведения увеличился на 5 градусов. Приведённые изменения мы связываем с дефицитом проприоцептивной чувствительности и нарушением системы биоуправления мышечной активностью (рис. 14).



**Рис. 14.** Гониограммы: *а* — левая рука, *b* — правая рука.

Fig. 14. Goniograms: a — left hand, b — right hand.





**Рис. 15.** Рентгенография правого плечевого сустава: *а* — до операции, *b* — через 6 месяцев после неё.

Fig. 15. X-ray of the right shoulder joint: a — before surgery, b — 6 months after it.

#### Клинический пример 2

Пациент Н., 27 лет, с рецидивирующей нестабильностью левого плечевого сустава (заслуженный мастер спорта по спортивной гимнастике).

В 2022 году выполнена артроскопическая стабилизация с использованием свободного костного аутотрансплантата правого плечевого сустава (рис. 15).

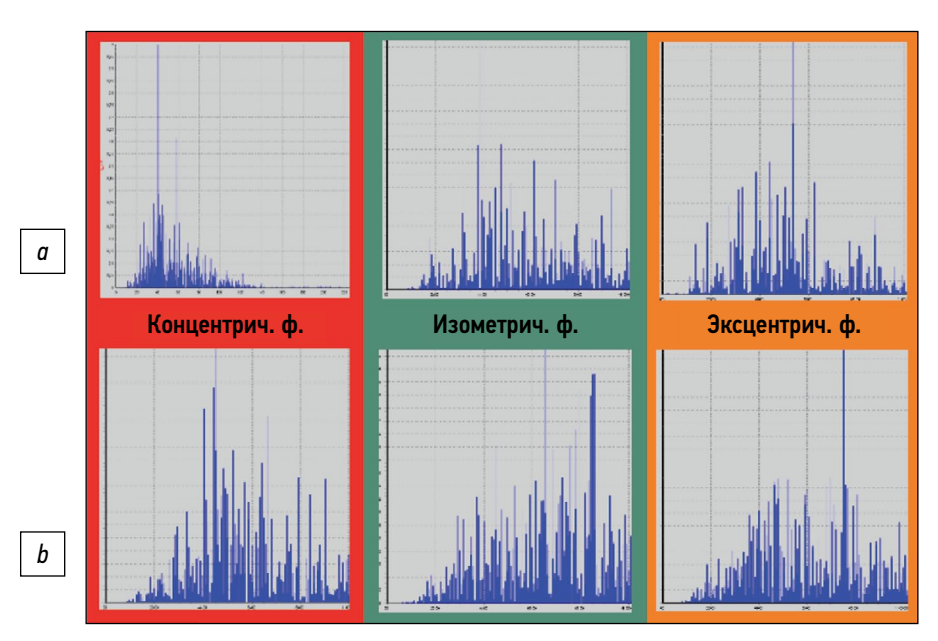
Положение костного аутотрансплантата через 6 мес после операции. Тестирование функционального состояния мышц через 6 месяцев после операции для оценки спектральной мощности на левой руке (рис. 16—18).

Результаты исследований через 6 мес после операции на m. deltoideus. Данные гониометрии свидетельствуют об адекватном позиционном удержании

плечевого сустава в изометрической фазе и проприоцептивном контроле (рис. 19).

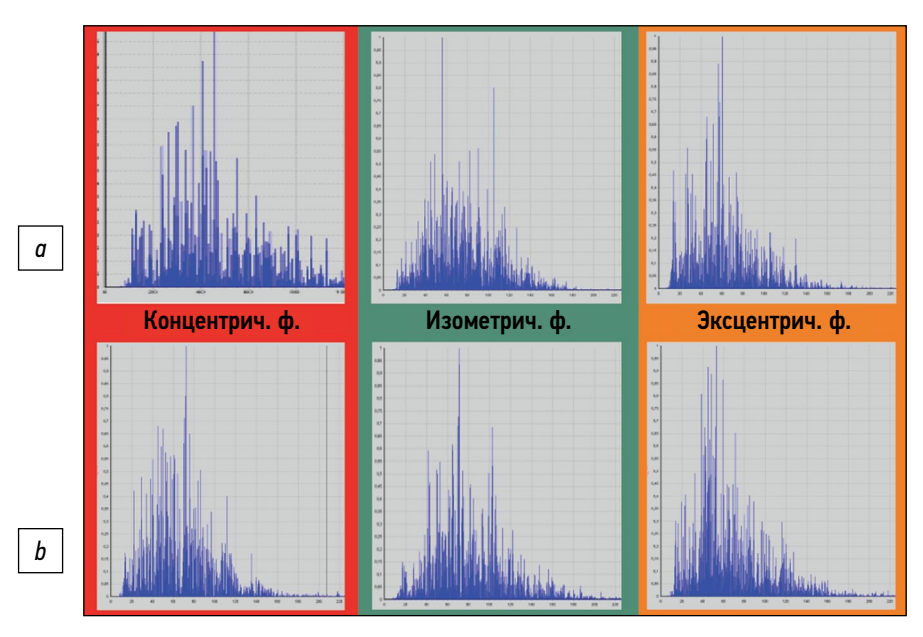
#### ОБСУЖДЕНИЕ

На основании проведённого сравнительного анализа качественного и количественного кинезиологического профиля плечевого сустава у профессионалов и спортсменовлюбителей мы пришли к выводу, что при использовании различных вариантов артроскопической стабилизации необходимо учитывать специфику спорта. Применение свободного трансплантата при стабилизации плечевого сустава следует осуществлять у пациентов, которым необходимо сохранить тонкую координацию движений (гимнастика,



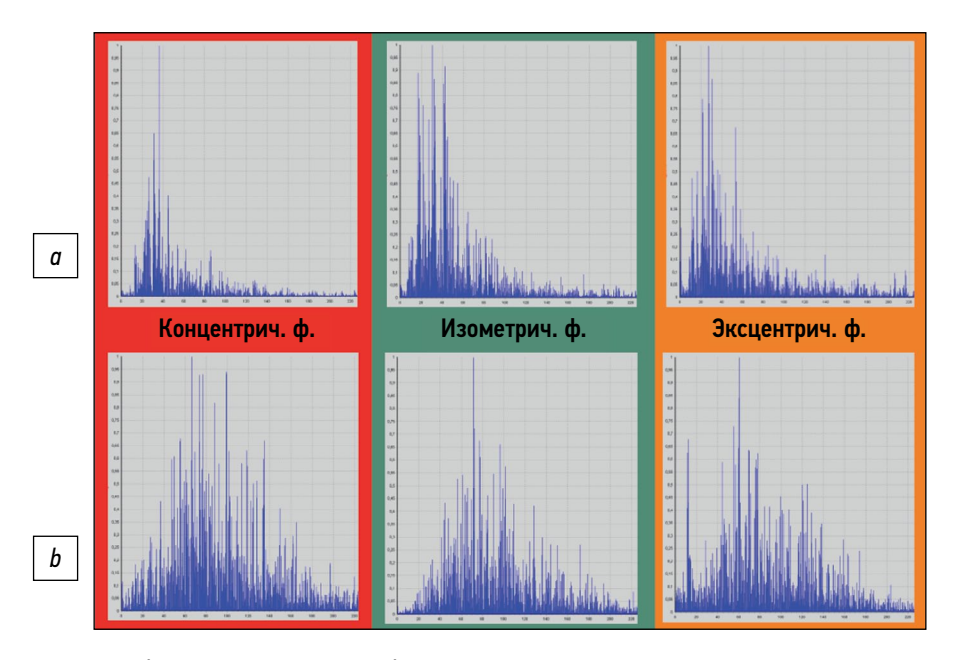
**Рис. 16.** Спектрограммы m. deltoideus: a — левая рука, b — правая рука.

**Fig. 16.** Spectrograms of m. deltoideus: *a* — left hand, *b* — right hand.



**Рис. 17.** Спектрограммы m. trapezius: a — левая рука, b — правая рука.

**Fig. 17.** Spectrograms of m. trapezius: a — left hand, b — right hand.



**Рис. 18.** Спектрограммы m. biceps: a — левая рука, b — правая рука.

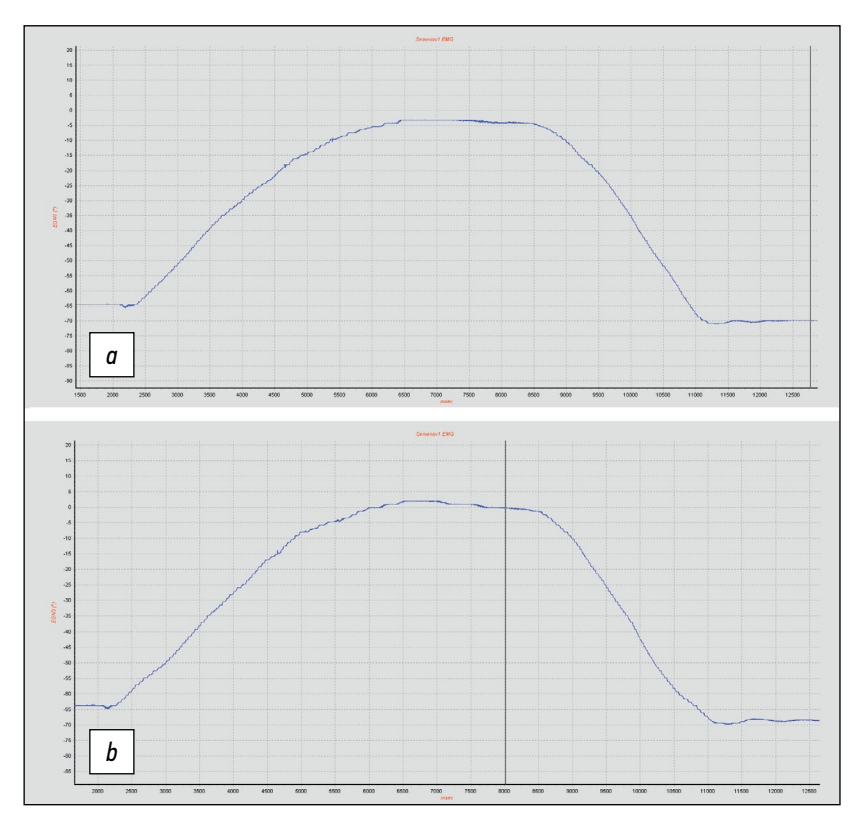
**Fig. 18.** Spectrograms of m. biceps: *a* — left hand, *b* — right hand.

балет, фигурное катание и т.д.), а также при силовых видах спорта (бокс, самбо, борьба), где снижение показателей мышечной силы негативно скажется на результатах во время соревнований. Командные вида спорта с игровым положением верхней конечности над головой позволяют осуществлять артроскопическую операцию Латарже без значимой потери спортивного результата.

#### **ЗАКЛЮЧЕНИЕ**

Преимущество стабилизации с использованием свободного костного блока заключается в том, что можно

выполнить забор трансплантата с учётом костного дефекта суставной поверхности лопатки. Применение свободного костного блока в меньшей степени влияет на биокинематические аспекты и проприорецепцию плечевого сустава, что не нарушает мелкую моторику верхней конечности. В спорте высших достижений применение свободного трансплантата рекомендуется спортсменам художественной и спортивной гимнастики, синхронного плавания, при которых чрезвычайно важны тонко координированные движения верхней конечности для выполнения спортивных элементов во время выступлений. Также артроскопическую



**Рис. 19.** Гониограммы, плато: a — левая рука, b — правая рука.

Fig. 19. Goniograms, plateau: a — left hand, b — right hand.

стабилизацию со свободным костным блоком применяют при ревизионных вмешательствах после операции Латарже.

#### **ДОПОЛНИТЕЛЬНО**

**Вклад авторов.** Все авторы подтверждают соответствие своего авторства международным критериям ICMJE (все авторы внесли существенный вклад в разработку концепции и подготовку статьи, прочли и одобрили финальную версию перед публикацией).

Источник финансирования. Не указан.

**Конфликт интересов.** Авторы декларируют отсутствие явных и потенциальных конфликтов интересов, связанных с публикацией настоящей статьи.

#### СПИСОК ЛИТЕРАТУРЫ

- **1.** Миронова З.С., Меркулова Р.И., Богуцкая Е.В., Баднин И.А. Перенапряжение опорно-двигательного аппарата у спортсменов. Москва: Физкультура и спорт, 1982. 96 с.
- 2. Крылов С.В., Пасечник И.Н., Орлецкий А.К., Тимченко Д.О. Современное состояние проблемы обеспечения безопасности пациента в положении шезлонга при артроскопических операциях на плечевом суставе // Кремлёвская медицина. 2021. № 2. С. 43—49.
- **3.** Орлецкий А.К., Тимченко Д.О., Гордеев Н.А., Жариков В.А., Козлова Е.С., Крылов С.В. Оперативное лечение посттравматиче-

**Информированное согласие на публикацию.** Авторы получили письменное согласие пациентов на публикацию медицинских данных и фотографий.

#### ADDITIONAL INFO

**Author's contribution.** Thereby, all authors made a substantial contribution to the conception of the work, drafting and revising the work, final approval of the version to be published and agree to be accountable for all aspects of the work.

Funding source. Not specified.

**Competing interests.** The authors declare that they have no competing interests.

**Consent for publication.** Written consent was obtained from the patient for publication of relevant medical information and all of accompanying images within the manuscript.

- ской нестабильности плечевого сустава у спортсменов // Вестник травматологии и ортопедии им. Н.Н. Приорова. 2022. Т. 29,  $N^0$  1. С. 5–18. doi: 10.17816/vto105227
- **4.** Hardy A., Sabatier V., Laboudie P., Schoch B., Nourissat G., Valenti P., Kany J., Deranlot J., Solignac N., Hardy P., Vigan M., Werthel J.D. Outcomes After Latarjet Procedure: Patients With First-Time Versus Recurrent Dislocations // Am J Sports Med. 2020. Vol. 48,  $N^{\circ}$  1. P. 21-26. doi: 10.1177/0363546519879929
- **5.** Songy C.E., Siegel E.R., Stevens M., Wilkinson J.T., Ahmadi S. The effect of the beach-chair position angle on cerebral oxygenation

- during shoulder surgery // Journal of shoulder and elbow surgery. 2017. Vol. 26, № 9. P. 1670–1675. doi: 10.1016/j.jse.2017.03.018
- **6.** Pavlov H., Warren R.F., Weiss C.B. Jr, Dines D.M. The roentgenographic evaluation of anterior shoulder instability // Clin Orthop Relat Res. 1985. № 194. P. 153–158.
- **7.** Bliven K.C.H., Parr G.P. Outcomes of the Latarjet Procedure Compared With Bankart Repair for Recurrent Traumatic Anterior Shoulder Instability // J Athl Train. 2018. Vol. 53, № 2. P. 181–183. doi: 10.4085/1062-6050-232-16
- **8.** Patte D., Bernageau J., Rodineau J., Gardes J.C. Unstable painful shoulders // Rev Chir Orthop Reparatrice Appar Mot. 1980. Vol. 66,  $N^{\circ}$  3. P. 157–165.
- **9.** Thamyongkit S., Wanitchanont T., Chulsomlee K., Tuntiyatorn P., Vasaruchapong S., Vijittrakarnrung C., Saengpetch N. The University of California—Los Angeles (UCLA) shoulder scale: translation, reliability and validation of a Thai version of UCLA shoulder scale in rotator cuff tear patients // BMC Musculoskelet Disord. 2022. Vol. 23,  $N^0$  1. P. 65. doi: 10.1186/s12891–022–05018–0
- **10.** Coyner K.J., Arciero R.A. Shoulder Instability: Anterior, Posterior, Multidirectional, Arthroscopic Versus Open, Bone Block Procedures // Sports Med Arthrosc Rev. 2018. Vol. 26, Nº 4. P. 168–170. doi: 10.1097/JSA.000000000000011
- **11.** Hohmann E., Tetsworth K., Glatt V. Open versus arthroscopic surgical treatment for anterior shoulder dislocation: a comparative systematic review and meta-analysis over the past 20 years // J Shoulder Elbow Surg. 2017. Vol. 26, № 10. P. 1873–1880. doi: 10.1016/j.jse.2017.04.009
- **12.** Burrus C., Deriaz O., Luthi F., Konzelmann M. Role of pain in measuring shoulder strength abduction and flexion with the Constant–Murley score // Ann Phys Rehabil Med. 2017. Vol. 60,  $\mathbb{N}^{2}$  4. P. 258–262. doi: 10.1016/j.rehab.2016.09.005
- **13.** Niedzielski K.R., Malecki K., Flont P., Fabis J. The results of an extensive soft-tissue procedure in the treatment of obligatory patellar dislocation in children with ligamentous laxity: a post-operative isokinetic study // Bone Joint J. 2015. Vol. 97-B, № 1. P. 129–133. doi: 10.1302/0301-620X.97B1.33941
- **14.** Pauzenberger L., Dyrna F., Obopilwe E., Heuberer P.R., Arciero R.A., Anderl W., Mazzocca A.D. Biomechanical Evaluation of Glenoid Reconstruction With an Implant-Free J-BoneGraft for Anterior Glenoid Bone Loss // Am J Sports Med. 2017. Vol. 45, № 12. P. 2849–2857. doi: 10.1177/0363546517716927
- **15.** Bishop J.Y., Sprague M., Gelber J., et al. Interscalene regional anesthesia for shoulder surgery // J Bone Joint Surg Am. 2005. Vol. 87,  $\mathbb{N}^9$  5. P. 974–979. doi: 10.2106/JBJS.D.02003
- **16.** Chahal J., Marks P.H., Macdonald P.B., et al. Anatomic Bankart repair compared with nonoperative treatment and/or arthroscopic lavage for first-time traumatic shoulder dislocation // Arthroscopy. 2012. Vol. 28, № 4. P. 565–575. doi: 10.1016/j.arthro.2011.11.012
- **17.** Tie T.A., Hong C.K., Chua I., Kuan F.C., Su W.R., Hsu K.L. The Chinese version of the American shoulder and elbow surgeons standardized shoulder assessment form questionnaire, patient self-report section: a cross-cultural adaptation and validation study // BMC Musculoskelet Disord. 2021. Vol. 22,  $N^{\circ}$  1. P. 382. doi: 10.1186/s12891-021-04255-z
- **18.** Nixon M.F., Keenan O., Funk L. High recurrence of instability in adolescents playing contact sports after arthroscopic shoulder

- stabilization // J Pediatr Orthop B. 2015. Vol. 24, № 3. P. 173–177. doi: 10.1097/BPB.000000000000135
- **19.** Paz D.A., Chang G.H., Yetto J.M. Jr, Dwek J.R., Chung C.B. Upper extremity overuse injuries in pediatric athletes: clinical presentation, imaging findings, and treatment // Clin Imaging. 2015. Vol. 39,  $N^{\circ}$  6. P. 954–964. doi: 10.1016/j.clinimag.2015.07.028
- **20.** Provencher M.T., Frank R.M., Leclere L.E., Metzger P.D., Ryu J.J., Bernhardson A., Romeo A.A. The Hill-Sachs lesion: diagnosis, classification, and management // J Am Acad Orthop Surg. 2012. Vol. 20,  $N^{\circ}$  4. P. 242–252. doi: 10.5435/JAAOS-20-04-242
- **21.** Popchak A., Burnett T., Weber N., Boninger M. Factors related to injury in youth and adolescent baseball pitching, with an eye toward prevention // Am J Phys Med Rehabil. 2015. Vol. 94, № 5. P. 395–409. doi: 10.1097/PHM.0000000000000184
- **22.** Porcellini G., Campi F., Pegreffi F., Castagna A., Paladini P. Predisposing factors for recurrent shoulder dislocation after arthroscopic treatment // J Bone Joint Surg Am. 2009. Vol. 91, № 11. P. 2537–2542. doi: 10.2106/JBJS.H.01126
- **23.** Vangsness C.T. Jr, Ennis M. Neural anatomy of the human glenoid labrum and shoulder ligaments. Proceedings of the American Academy of Orthopaedic Surgeons 59<sup>th</sup> Annual Meeting, Washington, DC. Park Ridge, Il, American Academy of Orthopaedic Surgeons; 1992. 205 p.
- **24.** Miniaci A., Gish M. Management of anterior glenohumeral instability associated with large Hill-Sachs defects // Techiques in Shoulder and Elbow Surgery. 2004. Vol. 5. P. 170–175. doi: 10.1097/01.bte.0000137216.70574.ba
- **25.** Netter F.H. Atlas of human anatomy. 6<sup>th</sup> edition. Saunders Elsevier, USA; 2014. 417 p.
- **26.** Pacey V., Nicholson L.L., Adams R.D., Munn J., Munns C.F. Generalized joint hypermobility and risk of lower limb joint injury during sport: a systematic review with meta-analysis // Am J Sports Med. 2010. Vol. 38, № 7. P. 1487–1497. doi: 10.1177/0363546510364838
- **27.** Moerman A.T., De Hert S.G., Jacobs T.F., De Wilde L.F., Wouters P.F. Cerebral oxygen desaturation during beach chair position // European Journal of Anaesthesiology. 2012. Vol. 29, № 2. P. 82–87. doi: 10.1097/EJA.0b013e328348ca18
- **28.** Khiami F., Gerometta A., Loriaut P. Management of recent first-time anterior shoulder dislocations // Orthop Traumatol Surg Res. 2015. Vol. 101, № 1 (Suppl). P. S51–7. doi: 10.1016/j.otsr.2014.06.027
- **29.** Pribicevic M. The epidemiology of shoulder pain: A narrative review of the literature // Pain in Perspective. 2012. Vol. 3. P. 45–49. doi: 10.5772/52931
- **30.** Minns L.C.J., Moser J., Barker K. Living with a symptomatic rotator cuff tear 'bad days, bad nights': a qualitative study // BMC Musculoskelet Disord. 2014. Vol. 15. P. 228. doi: 10.1186/1471-2474-15-228
- **31.** Boileau P., Thélu C.É., Mercier N., Ohl X., Houghton-Clemmey R., Carles M., Trojani C. Arthroscopic Bristow–Latarjet combined with bankart repair restores shoulder stability in patients with glenoid bone loss // Clin Orthop Relat Res. 2014. Vol. 472, № 8. P. 2413–24. doi: 10.1007/s11999-014-3691-x
- **32.** Auffarth A., Schauer J., Matis N., Kofler B., Hitzl W., Resch H. The J-bone graft for anatomical glenoid reconstruction in recurrent posttraumatic anterior shoulder dislocation // Am J Sports Med. 2008. Vol. 36, № 4. P. 638–647. doi: 10.1177/0363546507309672

#### REFERENCES

- **1.** Mironova ZS, Merkulova RI, Boguckaya EV, Badnin IA. *Perenapryazhenie oporno-dvigatel'nogo apparata u sportsmenov.* Moskva: Fizkul'tura i sport; 1982. 96 s. (In Russ).
- **2.** Krylov SV, Pasechnik IN, Orleckij AK, Timchenko DO. Sovremennoe sostoyanie problem obespecheniya bezopasnosti pacienta v polozhenii shezlonga pri artroskopicheskih operaciyah na plechevom sustave. *Kremlyovskaya medicina*. 2021;(2):43–49. (In Russ).
- **3.** Orletskiy AK, Timchenko DO, Gordeev NA, Zharikov VA, Kozlova ES, Krylov SV. Surgical treatment of post-traumatic instability of the shoulder joint in athletes. *N.N. Priorov Journal of Traumatology and Orthopedics*. 2022;29(1):5–18. (In Russ). doi: 10.17816/vto105227
- **4.** Hardy A, Sabatier V, Laboudie P, Schoch B, Nourissat G, Valenti P, Kany J, Deranlot J, Solignac N, Hardy P, Vigan M, Werthel JD. Outcomes After Latarjet Procedure: Patients With First-Time Versus Recurrent Dislocations. *Am J Sports Med.* 2020;48(1):21–26. doi: 10.1177/0363546519879929
- **5.** Songy CE, Siegel ER, Stevens M, Wilkinson JT, Ahmadi S. The effect of the beach-chair position angle on cerebral oxygenation during shoulder surgery. *Journal of shoulder and elbow surgery*. 2017;26(9):1670–1675. doi: 10.1016/j.jse.2017.03.018
- **6.** Pavlov H, Warren RF, Weiss CB Jr, Dines DM. The roentgenographic evaluation of anterior shoulder instability. *Clin Orthop Relat Res.* 1985;(194):153–158.
- **7.** Bliven KCH, Parr GP. Outcomes of the Latarjet Procedure Compared With Bankart Repair for Recurrent Traumatic Anterior Shoulder Instability. *J Athl Train*. 2018;53(2):181–183. doi: 10.4085/1062-6050-232-16
- **8.** Patte D, Bernageau J, Rodineau J, Gardes JC. Unstable painful shoulders. *Rev Chir Orthop Reparatrice Appar Mot*. 1980;66(3):157–165.
- **9.** Thamyongkit S, Wanitchanont T, Chulsomlee K, Tuntiyatorn P, Vasaruchapong S, Vijittrakarnrung C, Saengpetch N. The University of California-Los Angeles (UCLA) shoulder scale: translation, reliability and validation of a Thai version of UCLA shoulder scale in rotator cuff tear patients. *BMC Musculoskelet Disord*. 2022;23(1):65. doi: 10.1186/s12891-022-05018-0
- **10.** Coyner KJ, Arciero RA. Shoulder Instability: Anterior, Posterior, Multidirectional, Arthroscopic Versus Open, Bone Block Procedures. *Sports Med Arthrosc Rev.* 2018;26(4):168–170. doi: 10.1097/JSA.0000000000000011
- **11.** Hohmann E, Tetsworth K, Glatt V. Open versus arthroscopic surgical treatment for anterior shoulder dislocation: a comparative systematic review and meta-analysis over the past 20 years. *J Shoulder Elbow Surg.* 2017;26(10):1873–1880. doi: 10.1016/j.jse.2017.04.009
- **12.** Burrus C, Deriaz O, Luthi F, Konzelmann M. Role of pain in measuring shoulder strength abduction and flexion with the Constant-Murley score. *Ann Phys Rehabil Med.* 2017;60(4):258–262. doi: 10.1016/j.rehab.2016.09.005
- **13.** Niedzielski KR, Malecki K, Flont P, Fabis J. The results of an extensive soft-tissue procedure in the treatment of obligatory patellar dislocation in children with ligamentous laxity: a post-operative isokinetic study. *Bone Joint J.* 2015;97-B(1):129–133. doi: 10.1302/0301-620X.97B1.33941
- **14.** Pauzenberger L, Dyrna F, Obopilwe E, Heuberer PR, Arciero RA, Anderl W, Mazzocca AD. Biomechanical Evaluation of Glenoid Reconstruction With an Implant-Free J-BoneGraft for Anterior

- Glenoid Bone Loss. *Am J Sports Med.* 2017;45(12):2849–2857. doi: 10.1177/0363546517716927
- **15.** Bishop JY, Sprague M, Gelber J, et al. Interscalene regional anesthesia for shoulder surgery. *J Bone Joint Surg Am.* 2005;87(5):974–979. doi: 10.2106/JBJS.D.02003
- **16.** Chahal J, Marks PH, Macdonald PB, et al. Anatomic Bankart repair compared with nonoperative treatment and/or arthroscopic lavage for first-time traumatic shoulder dislocation. *Arthroscopy*. 2012;28(4):565–575. doi: 10.1016/j.arthro.2011.11.012
- **17.** Tie TA, Hong CK, Chua I, Kuan FC, Su WR, Hsu KL. The Chinese version of the American shoulder and elbow surgeons standardized shoulder assessment form questionnaire, patient self-report section: a cross-cultural adaptation and validation study. *BMC Musculoskelet Disord*. 2021;22(1):382. doi: 10.1186/s12891-021-04255-z
- **18.** Nixon MF, Keenan O, Funk L. High recurrence of instability in adolescents playing contact sports after arthroscopic shoulder stabilization. *J Pediatr Orthop B.* 2015;24(3):173–177. doi: 10.1097/BPB.0000000000000135
- **19.** Paz DA, Chang GH, Yetto JM Jr, Dwek JR, Chung CB. Upper extremity overuse injuries in pediatric athletes: clinical presentation, imaging findings, and treatment. *Clin Imaging*. 2015;39(6):954–964. doi: 10.1016/j.clinimag.2015.07.028
- **20.** Provencher MT, Frank RM, Leclere LE, Metzger PD, Ryu JJ, Bernhardson A, Romeo AA. The Hill-Sachs lesion: diagnosis, classification, and management. *J Am Acad Orthop Surg.* 2012;20(4):242–252. doi: 10.5435/JAAOS-20-04-242
- **21.** Popchak A, Burnett T, Weber N, Boninger M. Factors related to injury in youth and adolescent baseball pitching, with an eye toward prevention. *Am J Phys Med Rehabil*. 2015;94(5):395–409. doi: 10.1097/PHM.0000000000000184
- **22.** Porcellini G, Campi F, Pegreffi F, Castagna A, Paladini P. Predisposing factors for recurrent shoulder dislocation after arthroscopic treatment. *J Bone Joint Surg Am.* 2009;91(11):2537–2542. doi: 10.2106/JBJS.H.01126
- **23.** Vangsness CT Jr, Ennis M. Neural anatomy of the human glenoid labrum and shoulder ligaments. Proceedings of the American Academy of Orthopaedic Surgeons 59<sup>th</sup> Annual Meeting, Washington, DC. Park Ridge, Il, American Academy of Orthopaedic Surgeons; 1992. 205 p.
- **24.** Miniaci A, Gish M. Management of anterior glenohumeral instability associated with large Hill-Sachs defects. *Techiques in Shoulder and Elbow Surgery*. 2004;5(3):170–175. doi: 10.1097/01.bte.0000137216.70574.ba
- **25.** Netter FH. Atlas of human anatomy.  $6^{th}$  edition. Saunders Elsevier; USA. 2014. 417 p.
- **26.** Pacey V, Nicholson LL, Adams RD, Munn J, Munns CF. Generalized joint hypermobility and risk of lower limb joint injury during sport: a systematic review with meta-analysis. *Am J Sports Med.* 2010;38(7):1487–1497. doi: 10.1177/0363546510364838
- **27.** Moerman AT, De Hert SG, Jacobs TF, De Wilde LF, Wouters PF. Cerebral oxygen desaturation during beach chair position. *European Journal of Anaesthesiology*. 2012;29(2):82–87. doi: 10.1097/EJA.0b013e328348ca18
- **28.** Khiami F, Gerometta A, Loriaut P. Management of recent first-time anterior shoulder dislocations. *Orthop Traumatol Surg Res.* 2015;101(1 Suppl):S51–7. doi: 10.1016/j.otsr.2014.06.027

29. Pribicevic M. The epidemiology of shoulder pain: A narrative review of the literature. *Pain in Perspective*. 2012;3:45–49. doi: 10.5772/52931 30. Minns LCJ, Moser J, Barker K. Living with a symptomatic rotator cuff tear 'bad days, bad nights': a qualitative study. *BMC Musculoskelet Disord*. 2014;15:228. doi: 10.1186/1471-2474-15-228 31. Boileau P, Thélu CÉ, Mercier N, Ohl X, Houghton-Clemmey R, Carles M, Trojani C. Arthroscopic Bristow-Latarjet combined

with bankart repair restores shoulder stability in patients with glenoid bone loss. *Clin OrthopRelat Res.* 2014;472(8):2413–24. doi: 10.1007/s11999-014-3691-x

**32.** Auffarth A, Schauer J, Matis N, Kofler B, Hitzl W, Resch H. The J-bone graft for anatomical glenoid reconstruction in recurrent posttraumatic anterior shoulder dislocation. *Am J Sports Med.* 2008;36(4):638–647. doi: 10.1177/0363546507309672

#### ОБ АВТОРАХ

Орлецкий Анатолий Корнеевич, д.м.н., профессор,

врач травматолог-ортопед; e-mail: nova495@mail.ru

\* Тимченко Дмитрий Олегович, к.м.н.,

врач травматолог-ортопед:

адрес: Россия, Москва, 115172, Новоспасский переулок, д. 9;

eLibrary SPIN: 6626-2823; e-mail: d.o.Timchenko@mail.ru

Гордеев Николай Александрович,

врач травматолог-ортопед; e-mail: nikolas095@mail.ru

Жариков Владислав Алексеевич,

врач травматолог-ортопед;

e-mail: vladislav.zharikov1996@yandex.ru

Васильев Дмитрий Олегович, к.м.н.,

врач травматолог-ортопед;

e-mail: Vasiliev DO@cito-priorov.ru

Косов Игорь Семёнович, д.м.н.,

врач травматолог-ортопед; eLibrary SPIN: 3260-8950; e-mail: KosovIS@cito-priorov.ru

#### **AUTHORS' INFO**

Anatoliy K. Orletskiy, MD, Dr. Sci. (Med.),

traumatologist-orthopedist;

e-mail: nova495@mail.ru

\* Dmitriy O. Timchenko, MD, Cand. Sci. (Med.),

traumatologist-orthopedist;

address: 9 Novospasskiy pereulok, 115172, Moscow, Russia;

eLibrary SPIN: 6626-2823;

e-mail: d.o.Timchenko@mail.ru

#### Nikolay A. Gordeev,

traumatologist-orthopedist;

e-mail: nikolas095@mail.ru

#### Vladislav A. Zharikov,

traumatologist-orthopedist;

e-mail: vladislav.zharikov1996@yandex.ru

Dmitriy O. Vasiliev, MD, Cand. Sci. (Med.),

traumatologist-orthopedist, senior researcher;

e-mail: VasilievDO@cito-priorov.ru

Igor S. Kosov, MD, Dr. Sci. (Med.),

traumatologist-orthopedist;

eLibrary SPIN: 3260-8950;

e-mail: KosovIS@cito-priorov.ru

<sup>\*</sup> Автор, ответственный за переписку / Corresponding author

DOI: https://doi.org/10.17816/vto321379

# Современные аспекты в лечении внутрисуставных переломов и переломовывихов проксимальных межфаланговых суставов трёхфаланговых пальцев кисти, а также их последствий

И.О. Голубев, М.В. Меркулов, В.Д. Кузнецов, О.М. Бушуев, И.А. Кутепов, Г.Г. Балюра

Национальный медицинский исследовательский центр травматологии и ортопедии им. Н.Н. Приорова, Москва, Российская Федерация

#### *RN*ШАТОННА

Обоснование. Внутрисуставные переломы в проксимальном межфаланговом суставе — достаточно распространённая проблема в травматологии и ортопедии. Наиболее часто повреждение происходит в основании средней фаланги в результате соударения с головкой проксимальной фаланги. Вследствие этого критично страдает подвижность пальца, что, естественно, сказывается на функции всей кисти. Лечение пациентов с данной патологией в остром периоде травмы более благоприятно для восстановления функции конечности по сравнению с застарелыми повреждениями. При недооценке или пропуске внутрисуставного перелома на ранних сроках с течением времени врач сталкивается с постоянным болевым синдромом, контрактурой сустава и/или тугоподвижностью, а также с более трудоёмкими методами лечения. Существует множество методов лечения как при острой травме, так и при застарелых повреждениях, каждый из которых имеет свои преимущества и недостатки.

**Цель.** Описать наиболее подходящие, на наш взгляд, методы лечения пациентов с данными повреждениями на ранних сроках (до 4 недель с момента травмы) и в отдалённом периоде (более 4 недель).

Материалы и методы. При лечении 26 пациентов с переломовывихами основания средней фаланги трёхфаланговых пальцев кисти в остром периоде травмы применялся метод чрескостного остеосинтеза с применением спицевого аппарата наружной фиксации Suzuki. В лечении 23 пациентов с неправильно сросшимися внутрисуставными переломами основания средней фаланги трёхфаланговых пальцев кисти использовалась артропластика основания средней фаланги трансплантатом крючковидной кости (гемиартропластика) с её модификациями. Для диагностики и подтверждения/уточнения характера повреждения всем пациентам проводились физикальное обследование, рентгенологическое и/или компьютерно-томографическое исследование. В послеоперационном периоде все пациенты проводили раннюю разработку пассивных/активных движений в оперированном сегменте.

**Результаты.** По визуально-аналоговой шкале ВАШ болевой синдром оценивался пациентом в 4–6 баллов, через 6–8 недель этот показатель составлял 0–1 балл. Амплитуда движений в проксимальном межфаланговом суставе пальцев в среднем составляла 30–50°, через 6–8 недель достигая в среднем 15–95°. В двух случаях оставалась сгибательная контрактура в 15–20°.

Заключение. Лечение пациентов с внутрисуставными переломами и переломовывихами в проксимальном межфаланговом суставе трёхфаланговых пальцев кисти, а также их последствиями является сложной и актуальной проблемой в травматологии и ортопедии, не имеющей однозначного универсального решения. Для выбора тактики лечения необходимы проведение многофакторного обследования пациента, правильное верифицирование и трактование существующего повреждения, возможное при глубоком понимании анатомии пальцев и кисти в целом.

**Ключевые слова:** гемиартропластика; переломовывихи; проксимальный межфаланговый сустав; дистракционный аппарат.

#### Как цитировать:

Голубев И.О., Меркулов М.В., Кузнецов В.Д., Бушуев О.М., Кутепов И.А., Балюра Г.Г. Современные аспекты в лечении внутрисуставных переломов и переломовывихов проксимальных межфаланговых суставов трёхфаланговых пальцев кисти, а также их последствий // Вестник травматологии и ортопедии им. Н.Н. Приорова. 2023. Т. 30, № 3. С. 287–300. DOI: https://doi.org/10.17816/vto321379

Рукопись получена: 15.03.2023 Рукопись одобрена: 17.07.2023 Опубликована: 28.09.2023



DOI: https://doi.org/10.17816/vto321379

#### Modern aspects in the treatment of intraarticular fractures and fractures of the proximal interphalangeal joints of the three-phalangeal fingers of the hand, as well as their consequences

Igor O. Golubev, Maksim V. Merkulov, Vasily D. Kusnetsov, Oleg M. Bushuev, Ilya A. Kutepov, Grigoriy G. Baliura

Priorov National Medical Research Center of Traumatology and Orthopedics, Moscow, Russian Federation

#### **ABSTRACT**

**BACKGROUND:** Proximal interphalangeal joint intra-articular fractures are a prevalent problem in traumatology and orthopedics. Damage typically develops at the base of the middle phalanx due to a collision with the head of the proximal phalanx. As a result, the finger's function declines significantly, which inevitably impacts the function of the entire brush. Compared with long-standing injuries, treating patients with this pathology in the acute period of injury is more likely to result in limb function restoration. Suppose an intra-articular fracture is underestimated or missed in the early stages. In that case, the doctor may eventually encounter chronic pain syndrome, joint and/or stiffness, and more time-consuming treatment procedures. There are many methods of treatment for both "acute" and long-standing injuries, each with advantages and disadvantages.

**OBJECTIVE:** To describe, in our opinion, the most effective modalities of therapy for patients with these injuries in the early stages (up to 4 weeks from the time of injury) and long-term periods (more than 4 weeks).

MATERIALS AND METHODS: The Suzuki external fixation spoke device (pins and rubber traction system [PRTS]) was used to treat 26 patients with fractures and dislocations of the base of the middle phalanx of the three-phalangeal fingers of the hand in the acute period of injury. Arthroplasty of the base of the middle phalanx with a hook bone graft (hemihamate) with its modifications was used in the treatment of 23 patients with inadequately fused intra-articular fractures of the base of the middle phalanx of the three-phalangeal fingers of the hand. All patients underwent physical examinations, X-rays, and/or CT scans to diagnose and confirm or clarify the nature of the damage. All patients developed passive/active movements early in the operated section during the postoperative period.

**RESULTS:** The patient estimated the VAS pain syndrome at 4-6 points on the scale; however, after 6-8 weeks, this indicator was 0-1 points. After 6-8 weeks, the amplitude of movements in the proximal interphalangeal joint of the fingers from the average of  $30-50^{\circ}$  after 6-8 weeks, was reached the average of  $15-95^{\circ}$ . There was a  $15-20^{\circ}$  extensor contracture in two patients.

**CONCLUSION:** The treatment of patients with intra-articular fractures and fracture-dislocations in the proximal interphalangeal joint of the three-phalangeal fingers of the hand, as well as their consequences, is a complex current problem in traumatology and orthopedics with no one-word universal solution. To select treatment strategies, a comprehensive evaluation of the patient, correct verification and interpretation of the existing damage, and a thorough understanding of the anatomy of the fingers and the hand are required.

**Keywords:** hemihamate; proximal interphalangeal joint; fracture dislocation; Suzuki; pins and rubber traction system; intraarticular fractures.

#### To cite this article:

Golubev IO, Merkulov MV, Kuznetsov VD, Bushuev OM, Kutepov IA, Baliura GG. Modern aspects in the treatment of intra-articular fractures and fractures of the proximal interphalangeal joints of the three-phalangeal fingers of the hand, as well as their consequences. *N.N. Priorov Journal of Traumatology and Orthopedics*. 2023;30(3):287–300. DOI: https://doi.org/10.17816/vto321379

Received: 15.03.2023 Accepted: 17.07.2023 Published: 28.09.2023



#### ОБОСНОВАНИЕ

Кисть человека является органом, отличающимся особой сложностью дифференцированных движений. Любая травма с нарушением анатомического строения кисти приводит к изменениям её биомеханики и тем самым ограничивает трудоспособность больного [1]. Повреждения кисти составляют 30% от всех травм опорно-двигательного аппарата [2]. Лечение переломов фаланг и пястных костей остаётся сложным разделом хирургии кисти [3]. Проксимальный межфаланговый сустав (ПМФС) наиболее часто подвержен травматизации в суставах кисти. Повреждения ПМФС трудно поддаются лечению из-за склонности сустава к формированию ранней тугоподвижности и позднего выявления повреждений, так как они часто игнорируются или недооцениваются при первичном обращении пациента. Ошибки в диагностике и лечении этих повреждений наблюдаются в 28-70% случаев, а частота неудовлетворительных исходов достигает 16-30% [3]. Главной задачей лечения пациентов с переломовывихами межфаланговых суставов пальцев кисти являются стабилизация и ранняя разработка активных движений [4]. При лечении лиц со сложными переломовывихами часто наблюдаются отдалённые последствия, такие как болевой синдром, тугоподвижность и ограничение движений. Наиболее часто в категоризации подвидов данного типа повреждений, равно как и в выборе метода лечения [5], применяется классификация Eaton, предложенная Eaton и Malerich в 1980 г. [6]. Существует множество методов лечения, однако ни один из них не гарантирует стабильно хорошего результата [7]. Выбор метода лечения зависит от степени стабильности анатомических структур в повреждённом суставе, размера костного фрагмента и направления его смещения, а также от наличия сопутствующих повреждений мягких тканей, преимущественно стабилизаторов сустава [4].

**Цель исследования** — описание методов лечения внутрисуставных переломов и переломовывихов проксимальных межфаланговых суставов трёхфаланговых пальцев кисти, а также их последствий.

#### **МАТЕРИАЛЫ И МЕТОДЫ**

#### Дизайн исследования

Данное исследование является обсервационным, одноцентровым, проспективным, сплошным, контролируемым, рандомизированным, простым слепым. Пациенты получали лечение исходя из клинических показаний необходимым хирургическим методом для достижения наилучшего результата лечения.

#### Критерии соответствия

В исследование включены пациенты с внутрисуставными переломами, переломовывихами ладонного и тыльного краёв основания средней фаланги, а также

с последствиями вышеуказанных повреждений в застарелом периоде травмы.

#### Условия проведения

В исследовании участвовали пациенты, проходившие лечение в 3-м травматолого-ортопедическом отделении микрохирургии и травм кисти ФГБУ «НМИЦ ТО им. Н.Н. Приорова» МЗ РФ, г. Москва.

Специфических факторов включения не было.

#### Продолжительность исследования

Промежуток времени от момента травмы до обращения за медицинской помощью до 4 недель считается острым периодом травмы, при промежутке более 4 недель отмечались застарелые повреждения (последствия острой травмы). Предоперационный период составлял в среднем 1 сутки. Ранний послеоперационный период стационарного наблюдения за пациентом обычно составлял 4—5 дней. Контрольные осмотры осуществлялись в амбулаторном режиме на сроках 4, 6, 8 недель и 4, 6, 8, 12, 18 месяцев.

#### Описание медицинского вмешательства

В предоперационном периоде все пациенты были комплексно обследованы: собран анамнез травмы, проведены клинический осмотр с определением амплитуд пассивных/активных движений в суставах конечности при помощи гониометра, пальпация, определение степени выраженности болевого синдрома по визуально-аналоговой шкале ВАШ. Применялись лучевые методы обследования, такие как рентгенография и/или компьютерная томография. При наличии сопутствующей соматической патологии проводились консультации анестезиолога и врачей-специалистов.

Объём анестезиологического пособия устанавливался на основании возраста пациента, наличия и количества предшествующих операций, наличия сопутствующей патологии, аллергического анамнеза и других соматических заболеваний, если таковые были отмечены. Предпочтение отдавалось комбинации проводниковой анестезии и седации. Под контролем ультразвуковой навигации выполнялся аксиллярный блок на стороне оперируемой конечности раствором ропивакаина 0,375–0,5% в разовой дозировке, не превышающей 2 мг/кг. Седация осуществлялась в результате применения препарата пропофол внутривенно: индукция 1–2 мг/кг (болюс) и поддержание постоянной инфузии 2–5 мг/кг/час.

В послеоперационном периоде все пациенты получали комплексную антибактериальную, анальгезивную и симптоматическую терапию по показаниям. В период пребывания в стационаре проводились ежедневные перевязки послеоперационных ран с растворами антисептиков.

Ход операций и тактика послеоперационной реабилитации подробно описаны в тексте применительно к каждой конкретной методике.

### Метод гемиартропластики из крючковидной кости кисти при повреждении ладонного края основания средней фаланги

В положении пациента на спине кисть уложена на приставной стол, наложена пневматическая манжета. Операционное поле трёхкратно обработано растворами антисептиков. Выполнен трапециевидный разрез по ладонной поверхности в проекции ПМФС повреждённого пальца с отведением кожного лоскута. Осуществлён доступ к каналу сухожилий сгибателей, последний П-образно рассечён в промежутке между кольцевыми связками А2 и А4, отогнут лоскут канала. Сухожилия поверхностного и глубокого сгибателей выделены, отведены. Ладонная пластинка отсечена дистально от рубцовой ткани и фрагмента неправильно сросшегося ладонного края основания средней фаланги, а коллатеральные связки отсечены проксимально от головки проксимальной фаланги. Выполнено вывихивание ПМФС к тылу, иссечены рубцовые ткани. Обнаружена зона повреждения суставной поверхности ладонного края основания средней фаланги, выполнена экономная резекция повреждённой части фаланги. Произведены измерения дефекта средней фаланги. Выполнен отдельный линейный кожный разрез по тыльной поверхности кисти в области IV-V запястно-пястного сустава (ЗПС). Капсула сустава рассечена продольно. Выделено сочленение крючковидной кости с основаниями IV-V пястных костей. Выполнена тангенциальная остеотомия тыльной поверхности оснований пястных костей при помощи долота. По размерам дефекта средней фаланги размечен и выделен трансплантат из крючковидной кости. Трансплантат фиксирован к фаланге костодержателем, поочерёдно просверлен в тыльном направлении, проведены два 1,5-мм винта для фиксации трансплантата с тыльным

краем средней фаланги. Выполнены вправление вывиха фаланги, контроль с применением электронно-оптического преобразователя (ЭОП), положение фаланг и винтов правильное. Капсула в области ЗПС ушита с оставлением пассивного дренажа. Дистальный край ладонной пластинки и проксимальные концы коллатеральных связок сшиваются между собой, укрывая винты. Лоскут капсулы сухожилий сгибателей проводится под сухожилиями и ушивается от места отсечения. Шов кожного лоскута выполняется узловыми швами. Наложена асептическая повязка. Фиксация в задней гипсовой лонгете в положении сгибания в ПМФС под 30° (рис. 1–8).

### Модификация метода гемиартропластики при лечении пациентов с повреждением ладонного края основания средней фаланги трёхфаланговых пальцев кисти

В предоперационном периоде методом многослойной спиральной компьютерной томографии определяются пространственная визуализация поражённых костных анатомических структур пальцев кисти и особенности неправильно сросшихся переломовывихов ладонного края основания средней фаланги трёхфаланговых пальцев кисти пациента. Результаты многослойной спиральной компьютерной томографии сохраняются в формате DICOM и переносятся в Dolphin Imaging с образованием файлов DICOM. Выполняется формирование твердотельной 3D-модели STL фаланги повреждённого пальца пациента и необходимого костного аутотрансплантата с отображением поражённых костных анатомических структур и аномалий повреждённой фаланги из биологически совместимого и нетоксичного полимерного материала. При этом в качестве биологически совместимого и нетоксичного



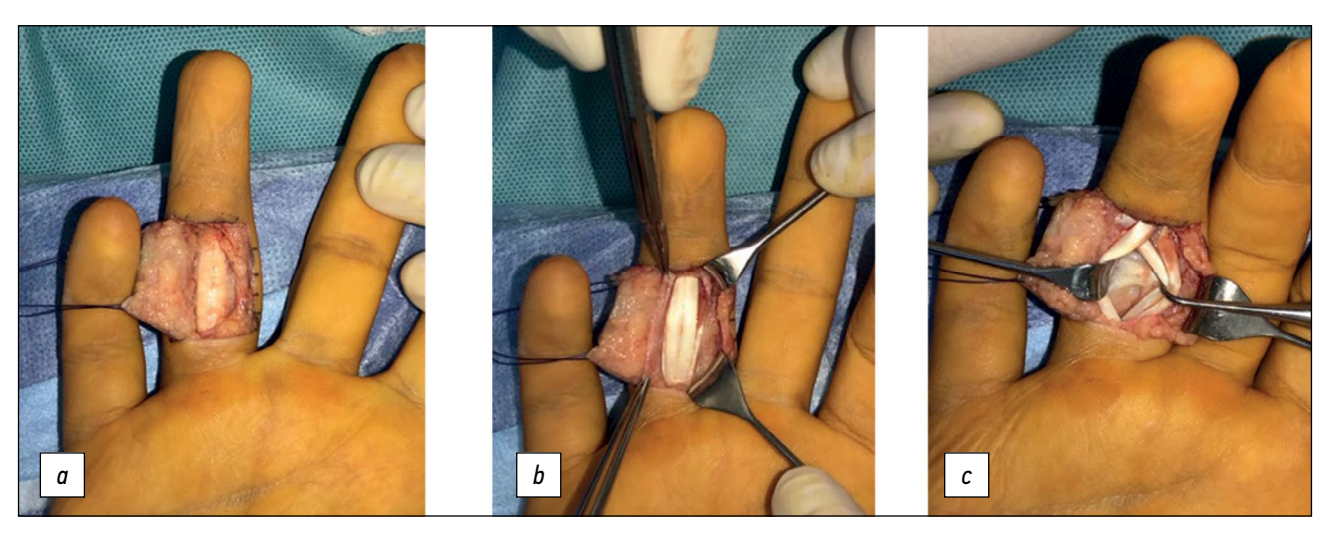
Рис. 1. Внешний вид конечности.

Fig. 1. The appearance of the limb.



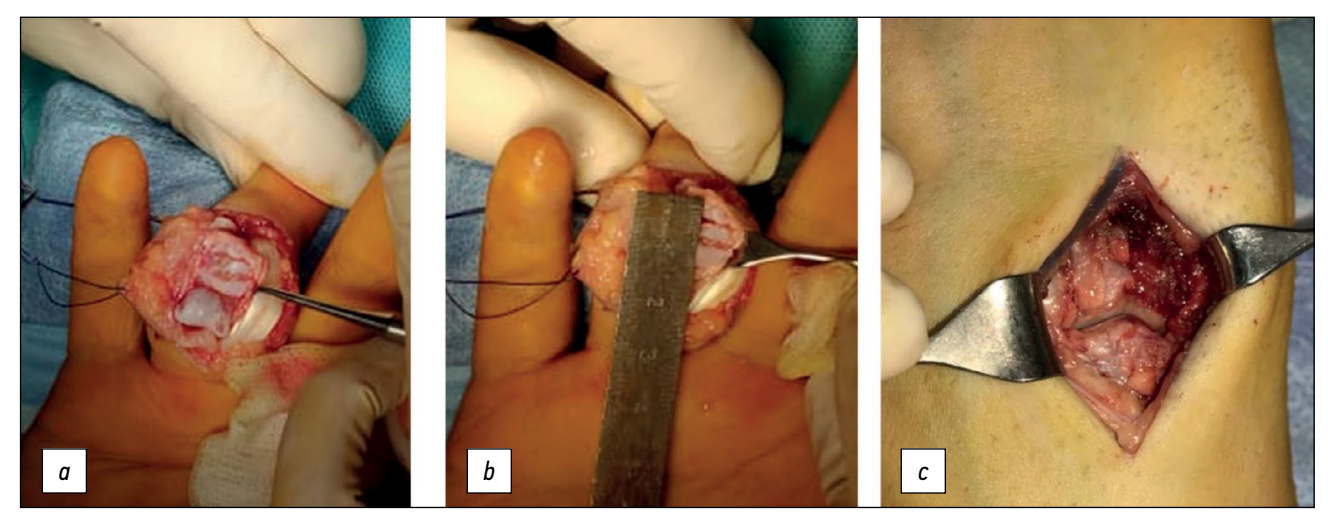
Рис. 2. Рентгенологическая картина.

Fig. 2. X-ray picture.



**Рис. 3.** *а* — кожный разрез с формированием лоскута, *b* — рассечена капсула сухожилий сгибателей, *c* — сухожилия сгибателей отведены, визуализирована ладонная пластинка.

Fig. 3. a — skin incision with flap formation, b — the flexor tendons sheath is dissected, c — flexor tendons are withdrawn, the palmar plate is visualized.



**Рис. 4.** a — вывихивание проксимального межфалангового сустава после отсечения ладонной пластинки и коллатеральных связок, b — разметка зоны резекции, c — доступ к IV–V запястно–пястному суставу.

**Fig. 4.** a — dislocation of the proximal interphalangeal joint after cutting off the palmar plate and collateral ligaments ("shotgunning"), b — marking of the resection zone, c — approach to the IV–V carpometacarpal joints.



**Рис. 5.** Выделенный костный аутотрансплантат крючковидной кости.

Fig. 5. Isolated bone autograft of the hamate.



**Рис. 6.** Контроль с применением электронно-оптического преобразователя после остеосинтеза трансплантата винтами. **Fig. 6.** X-ray control after fixation of the graft with screws.



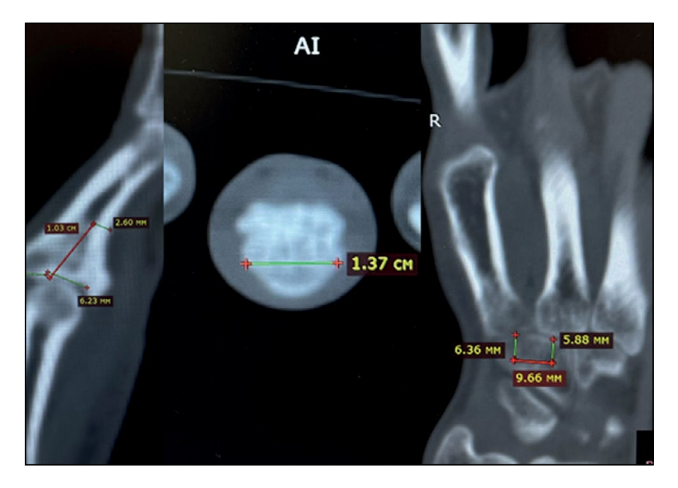
**Рис. 7.** Интраоперационная картина после остеосинтеза трансплантата винтами.

Fig. 7. Intraoperative picture after fixation of the graft with screws.

полимерного материала используется акрилонитрилбутадиенстирол ABS, или полиэтилентерефталат с гликолем PET-G, или полилактид PLA.

С использованием изготовленной 3D-модели фаланги повреждённого пальца и модели костного аутотрансплантата выполняется виртуальное планирование этапов хирургического лечения. Интраоперационно проводятся те же этапы гемиартропластики, только с применением индивидуального примерочного шаблона, который позволяет наиболее точно произвести резекцию повреждённой части фаланги и выделить костный аутотрансплантат крючковидной кости, что даёт возможность в разы улучшить результат лечения, ускорить саму операцию и сделать её более комфортной для оперирующего хирурга.

Имеется патент на изобретение № 2785748 «Способ хирургического лечения неправильно сросшихся переломовывихов ладонного края основания средней фаланги трёхфаланговых пальцев» от 12.12.2022 г. (рис. 9–13).



**Рис. 9.** Анализ и разметка компьютерных томограмм. **Fig. 9.** Analysis and marking of computed tomography.

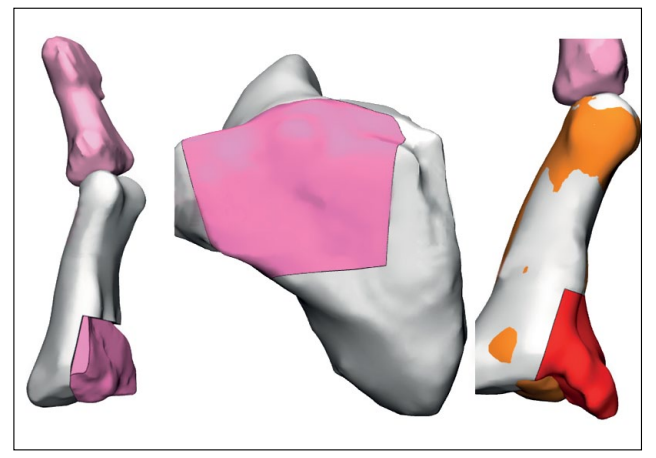


**Рис. 8.** Результат через 2 месяца после операции. **Fig. 8.** The result in 2 months after the operation.

Метод лечения пациентов с повреждением тыльного края основания средней фаланги, сопровождающимся несостоятельностью центрального пучка сухожилия общего разгибателя трёхфаланговых пальцев кисти

В предоперационном периоде производится компьютерно-томографическое исследование повреждённой кисти и контралатеральной стопы пациента. Выполняется пространственная визуализация повреждённой средней фаланги и средней фаланги II пальца стопы. Создаётся твердотельный шаблон из полиакрилата, соответствующий размерам будущей резекции зоны повреждённого основания средней фаланги, сопоставимый с размерами будущего костного аутотрансплантата из тыльного края основания средней фаланги II пальца стопы.

В положении пациента на спине кисть уложена на приставной стол, наложена пневматическая манжета. Выполнен дугообразный разрез по тыльной поверхности в проекции ПМФС повреждённого пальца кисти с отведением кожного лоскута. Тупо и остро осуществлён доступ



**Рис. 10.** Цифровая визуализация зоны резекции и будущего аутотрансплантата крючковидной кости.

**Fig. 10.** Digital visualization of the resection zone and the future autograft of the hamate.

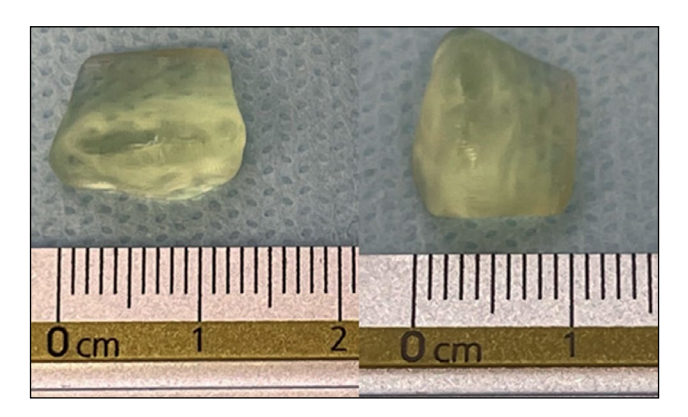
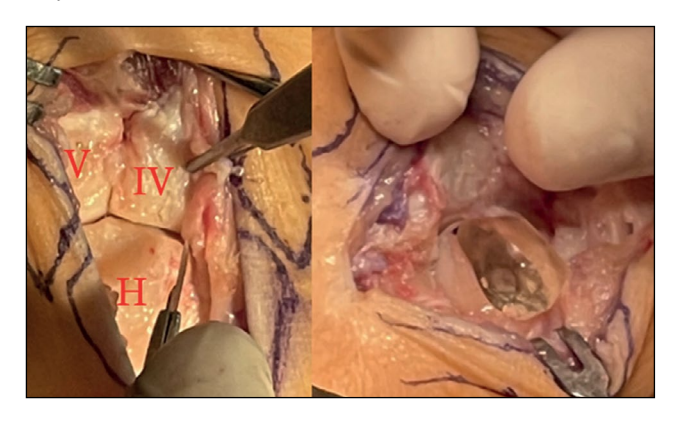


Рис. 11. Созданный твердотельный индивидуальный примерочный шаблон из полиакрилата.

Fig. 11. Created solid-state individual fitting template made of polyacrylate.



**Рис. 12.** Примерка шаблона во время операции. IV — 4-я пястная кость, V — 5-я пястная кость, H — крючковидная кость. **Fig. 12.** Fitting the template during the operation. IV —  $4^{th}$  metacarpal bone, V —  $5^{th}$  metacarpal bone, H — hamate bone.



**Рис. 13.** Сравнение шаблона с выделенным костным аутотрансплантатом.

Fig. 13. Comparison of the template with the selected bone autograft.

к сухожилию разгибателя и капсуле сустава. Выделены боковые ножки сухожилия разгибателя, отведены. Капсула сустава рассечена поперечно. Выполнено вывихивание ПМФС к тылу, иссечены рубцовые ткани. Обнаружена зона повреждения суставной поверхности тыльного края основания средней фаланги, выполнена экономная резекция повреждённой части фаланги с использованием

заранее созданного 3D-шаблона. Приложен заранее созданный индивидуальный шаблон из полиакрилата для визуализации необходимых параметров будущего трансплантата из средней фаланги II пальца левой стопы. Выполнен отдельный линейный кожный разрез по тыльной поверхности области ПМФС II пальца контралатеральной стопы. Выполнено выделение центрального пучка сухожилия длинного разгибателя пальца. Размечена фаланга по размерам дефекта средней фаланги с применением 3D-шаблона. Выполнена остеотомия очерченного участка средней фаланги II пальца осцилляторной пилой, и при помощи долота выделен фрагмент из раны с отсечением центрального пучка сухожилия длинного разгибателя на протяжении 4 см от места прикрепления. Трансплантат фиксирован к фаланге костодержателем, поочерёдно просверлен в ладонном направлении, проведены два 1,5-мм винта для фиксации трансплантата с ладонным краем средней фаланги. Выполнены вправление вывиха фаланги, ЭОП-контроль, положение фаланг и винтов правильное. Осуществлён артродез спицами ПМФС II пальца стопы. Выполнен послойный шов раны II пальца левой стопы, резиновый дренаж. Шов сухожильного конца трансплантата с центральным пучком общего разгибателя пальца кисти осуществлён П-образными швами с адаптационными швами краёв сухожилий. Шов кожного лоскута выполнен узловыми швами. Наложена асептическая повязка. Фиксация в ладонной гипсовой лонгете в положении сгибания в ПМФС под 30°.

Имеется патентная заявка на изобретение № 2022133417 «Способ хирургического лечения неправильно сросшихся переломовывихов тыльного края основания средней фаланги трёхфаланговых пальцев кисти с использованием аутотрансплантата из средней фаланги ІІ пальца контрлатеральной стопы пациента» от 20.12.2022 г. (рис. 14–23).

Благодаря данным шаблонам удалось интраоперационно с точностью оценить дефект основания средней фаланги, произвести резекцию зоны неправильного сращения, разметить и выделить костный аутотрансплантат.

В течение 2 недель с момента операции производится полная иммобилизация в условиях лонгеты. На 2-е—3-и сутки с момента операции выполняется рентгенологический и/или томографический контроль прооперированного сегмента конечности. На 3-й и 4-й неделе пациентам рекомендовано разрабатывать пассивные/активные движения от 3 до 5 раз в день.

На контрольных осмотрах оценивается увеличение амплитуды пассивных/активных движений в суставе.

#### Методы регистрации исходов

Для регистрации исходов лечения применялись клинические методы обследования: опрос, пальпация, определение амплитуды движений в суставах при помощи гониометра и оценка выраженности болевого синдрома по ВАШ; лучевые методы обследования: рентгенография и/или компьютерная томография.

Vol. 30 (3) 2023

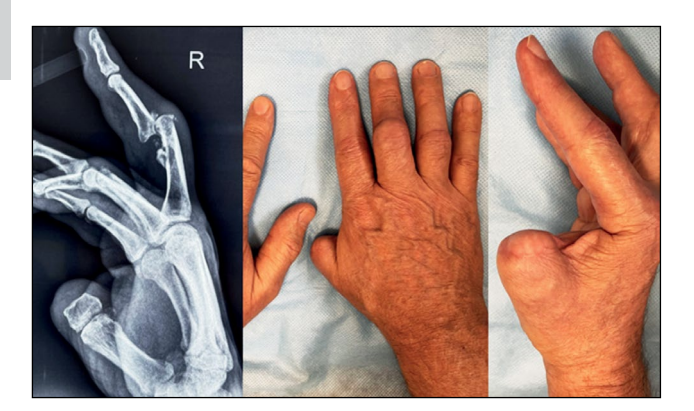


Рис. 14. Внешний вид и рентген-картина.

Fig. 14. Appearance and X-ray picture.

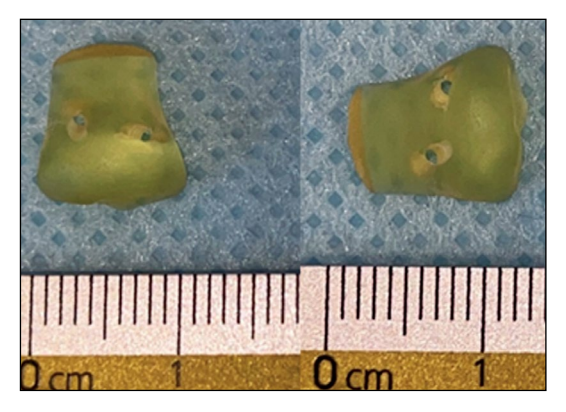


Рис. 16. Созданный твердотельный шаблон из полиакрилата.

Fig. 16. Created solid-state template made of polyacrylate.

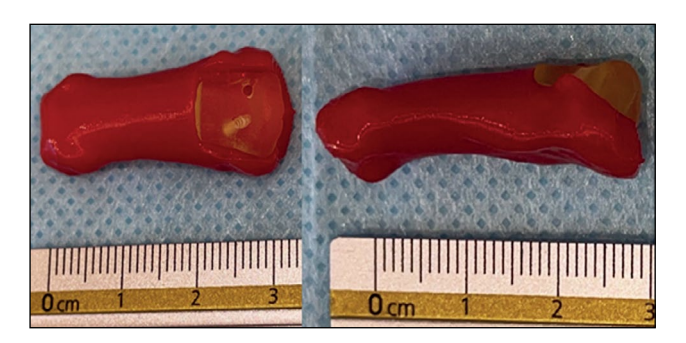


Рис. 18. Сопоставление шаблона трансплантата с моделью фаланги.

Fig. 18. Comparison of the graft template with the phalanx model.

#### Этическая экспертиза

Не проводилась.

#### РЕЗУЛЬТАТЫ

#### Лечение пациентов с переломовывихом основания средней фаланги трёхфаланговых пальцев кисти в остром периоде травмы

За период 2021-2022 гг. с переломовывихом основания средней фаланги трёхфаланговых пальцев кисти в остром периоде травмы за помощью обратились



Рис. 15. Разметка компьютерных томограмм.

Fig. 15. Marking of computed tomography.

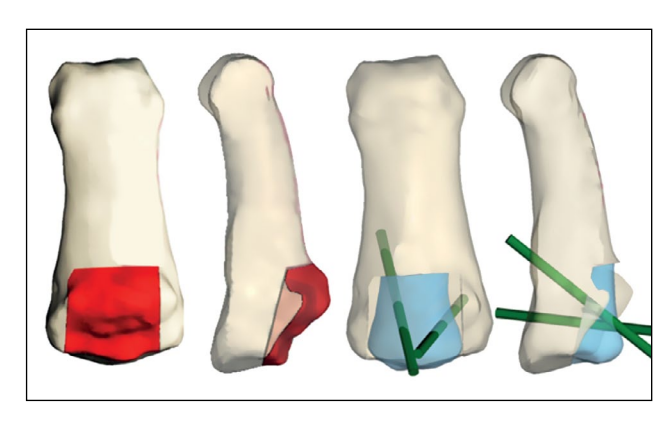


Рис. 17. Цифровое моделирование.

Fig. 17. Digital modeling.



Рис. 19. Выделение аутотрансплантата пальца стопы с сухожилием разгибателя.

Fig. 19. Isolation of autograft of the toe with extensor tendon.

26 пациентов: 23 мужчины и 3 женщины, средний возраст — 31 год (от 16 до 46 лет). Механизм травмы осевое направление силы (удара) с тыльным отклонением. Всем пациентам была проведена предоперационная диагностика: рентгенография, клиническая оценка амплитуды движения в суставе. По рентгенологическим признакам определялись авульсивные (отрывные) переломы ладонного края основания средней фаланги с её тыльным подвывихом. По классификации Eaton они отнесены к группе IIIa. Амплитуда движений в ПМФС во всех случаях резко ограничена болевым синдромом. Болевой синдром в момент попытки сгибания в суставе



**Рис. 20.** Взаимоотношения трансплантата и модели фаланги. **Fig. 20.** The relationship of the graft and the phalanx model.



**Рис. 21.** Контроль с применением электронно-оптического преобразователя после остеосинтеза трансплантата и артродеза проксимального межфалангового сустава пальца стопы.

**Fig. 21.** X-ray control after osteosynthesis of the graft and arthrodesis of the proximal interphalangeal joint of the toe.



Рис. 22. Рентген-контроль через 2 месяца с момента операции.

Fig. 22. X-ray control 2 months after the operation.

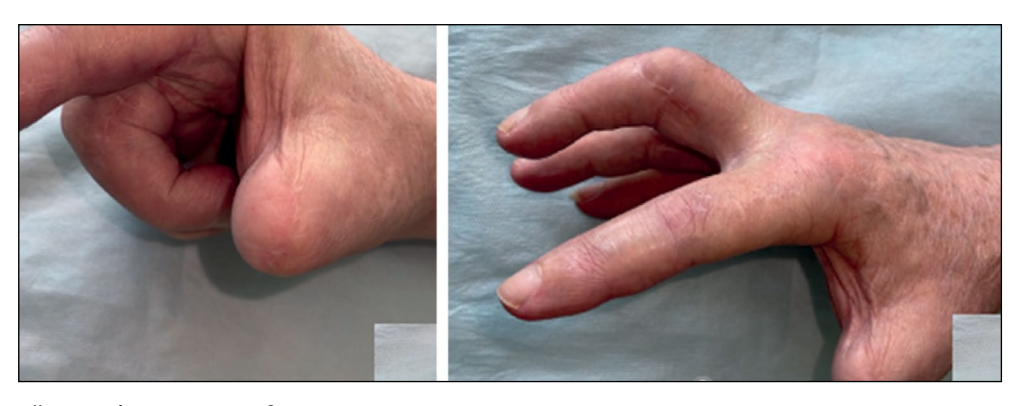


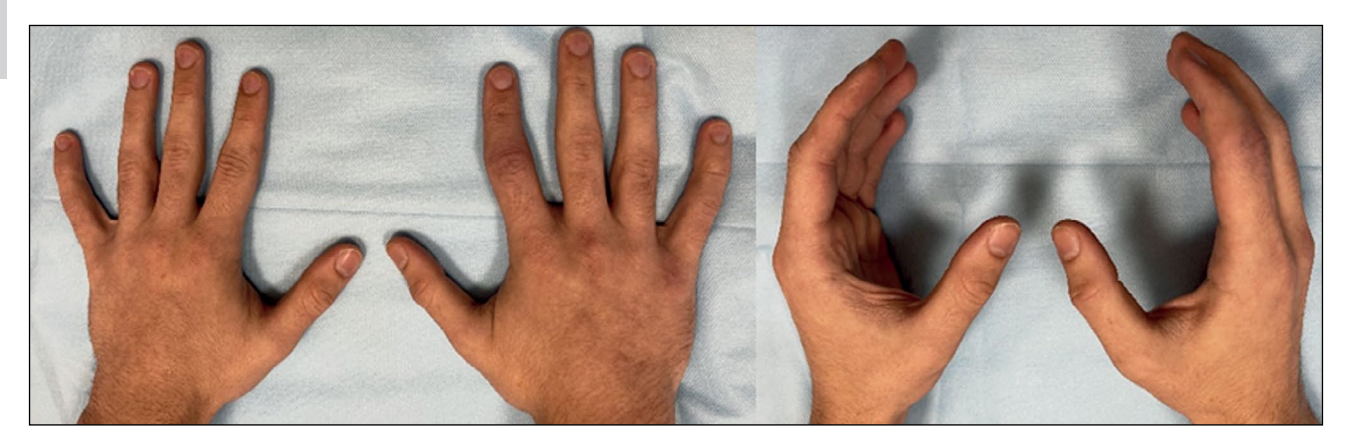
Рис. 23. Внешний вид и функция через 2 месяца с момента операции.

Fig. 23. Appearance and function 2 months after the operation.

оценивался пациентами в диапазоне от 6 до 8 баллов по ВАШ. Было принято решение провести всем указанным пациентам лечение в виде фиксации повреждённого пальца кисти в спицевом аппарате наружной фиксации дистракционно-репозиционной компоновки Suzuki (рис. 24—29). Данный аппарат описан Y. Suzuki в 1994 г. и представляет собой систему интраоперационно

моделируемых 3 спиц Киршнера, связанных между собой резиновыми стяжками [8].

Интраоперационно: проведена 1,2-мм спица Киршнера через головку проксимальной фаланги по оси вращения в ПМФС (осевая), концы спицы согнуты под 90°. Следующая подобная спица проведена через головку средней фаланги по оси вращения в дистальном



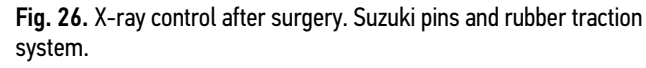
**Рис. 24.** Внешний вид до операции. **Fig. 24.** Appearance before surgery.

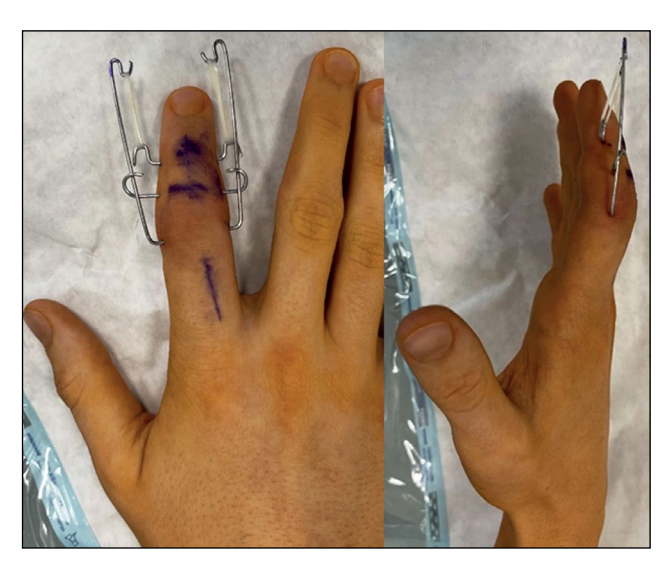


**Puc. 25.** Рентгенологическая картина до операции. **Fig. 25.** X-ray picture before surgery.



**Рис. 26.** Рентген-контроль после операции. Спицевой дистракционный аппарат Suzuki.





**Рис. 27.** Внешний вид после операции. Спицевой дистракционный аппарат Suzuki.

**Fig. 27.** Appearance after surgery. Suzuki pins and rubber traction system.



**Рис. 28.** Разработка активных движений в условиях спицевого дистракционного аппарата Suzuki.

Fig. 28. Development of active movements in Suzuki pins and rubber traction system.

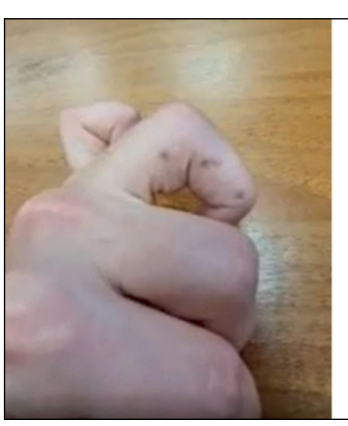








Рис. 29. Результаты лечения через 3 месяца с момента операции.

Fig. 29. The results of treatment after 3 months from the date of surgery.

межфаланговом суставе, концы спицы также загнуты под 90°. На концах изогнутых плеч проведённых спиц создаются противопоставленные друг другу изгибы (петли) — так, чтобы между ними образовалось расстояние в 2,5 см. Далее через основание средней фаланги проводится 3-я (репозиционная) спица как можно проксимальнее к зоне перелома; она смещена к тылу относительно оси фаланги и должна проходить под плечами осевой спицы. На изгибы двух первых предизогнутых спиц натягиваются эластичные кольца, вырезанные из резинового инъекционного узла внутривенной инфузионной системы, толщиной 1 мм. Степень натяжения (дистракции) спицевой системы (количеством эластичных колец) определяется интраоперационно рентгенологически по размеру межсуставной щели. Репозиционный компонент системы осуществляется за счёт захождения смещённой к тылу спицы основания средней фаланги под осевую спицу. Последняя проведённая спица загибается вокруг осевой так, чтобы исключить смещения из-под осевой спицы, но не ограничивать скольжение между ними.

Фиксация в данной системе проводилась в течение 4 недель. На 1-е сутки пациент обучается пассивной разработке движений в ПМФС. На 2-е сутки пациент начинает осуществлять активные движения в суставе, а также выполняется рентгенологическое контрольное исследование с целью определения степени дистракции и необходимости её коррекции; допустимо увеличение суставной щели до 4–5 мм, но наиболее желательными являются показатели в 2–3 мм. На амбулаторном этапе лечения пациенту рекомендовано разрабатывать пассивные/активные движения от 3 до 5 раз в день.

На контрольных осмотрах оцениваются увеличение амплитуды пассивных/активных движений в суставе и регресс болевого синдрома.

У одного из пациентов при контрольном осмотре на сроках, приближающихся к 4 неделям, отмечались признаки поверхностного воспалительного процесса в местах прохождения осевой спицы, не повлиявшие на процесс и результат лечения.

## Лечение пациентов с неправильно сросшимся внутрисуставным переломом основания средней фаланги трёхфаланговых пальцев кисти в отсроченном периоде

За период 2021—2022 гг. проведено оперативное лечение 23 пациентов с неправильно сросшимися переломовывихами ладонного края основания средней фаланги трёхфаланговых пальцев кисти с применением метода гемиартропластики и его модификации. Троим пациентам с повреждением тыльного края основания средней фаланги, сопровождающимся повреждением центрального пучка сухожилия общего разгибателя, лечение проводилось в объёме артропластики аутотрансплантатом из основания средней фаланги II пальца стопы. Все пациенты — мужчины, средний возраст — 51 год (от 36 до 68 лет).

Всем пациентам была проведена предоперационная диагностика: рентгенография, компьютерно-томографическое исследование, клиническая оценка амплитуды движения в суставе. По рентгенологическим и томографическим признакам определялись неправильно сросшиеся переломы ладонного края основания средней фаланги с её тыльным подвывихом, и в 3 случаях — тыльного края основания средней фаланги с ладонным подвывихом, сопровождающиеся несостоятельностью центрального пучка сухожилия общего разгибателя пальца. По классификации Eaton они отнесены к группам Illa и Illb. Амплитуда движений в ПМФС во всех случаях резко ограничена, сгибание до 30°. Болевой синдром в момент попытки сгибания в суставе оценивался пациентами в диапазоне от 3 до 4 баллов по ВАШ.

На этапе предоперационной подготовки для каждого из пациентов были созданы индивидуальные примерочные 3D-шаблоны из полимерного материала из группы полиакрилатов (MED610), повторяющие точные

анатомические ориентиры и размеры нормального участка повреждённого края основания средней фаланги пальца, воссозданного по той же фаланге контралатеральной кисти и, в случае повреждения тыльного края, — из средней фаланги II пальца контралатеральной стопы.

У всех отмеченных пациентов на сроках 6—8 недель с момента операции наблюдалось увеличение амплитуды движений в ПМФС до 80—95°. Болевой синдром по ВАШ снижен до 0—1 балла. Болевой синдром в донорской зоне кисти на сроках 6 недель пациенты отрицали. На контрольных рентгенограммах отмечается консолидация фрагмента ладонного края основания средней фаланги.

#### Основной исход исследования

Основными критериями исхода лечения являлись оценка суммарной амплитуды движений в оперированном суставе и степень выраженности болевого синдрома, оцениваемая по ВАШ.

#### Анализ в подгруппах

Пациенты разделены на группы исходя из давности травмы до момента оперативного лечения. Первая группа — пациенты в остром периоде травмы, давностью до 4 недель. Вторая группа — пациенты с застарелыми внутрисуставными повреждениями (последствиями острой травмы), превышающими 4-недельный срок.

#### Нежелательные явления

У 4 пациентов, получавших лечение в остром периоде травмы с применением дистракционно-репозиционно-го аппарата Suzuki, отмечался поверхностный воспалительный процесс в местах прохождения спиц аппарата; у 1 пациента получена чрезмерная дистракция в ПМФС в условиях аппарата.

#### ОБСУЖДЕНИЕ

В остром периоде травмы при применении метода фиксации пальца в спицевом дистракционно-репозиционном аппарате Suzuki получены хорошие результаты лечения. Отмечены снижение показателей интенсивности болевого синдрома по ВАШ в 5 раз и увеличение в 3,7 раза суммарной амплитуды движений в проксимальном межфаланговом суставе к 4–6 месяцам после лечения с применением аппарата Suzuki в сравнении с консервативными методами терапии (р <0,01).

При лечении пациентов с застарелой травмой методом гемиартропластики достигнуты снижение показателей интенсивности болевого синдрома по ВАШ в 6 раз и увеличение в 3 раза суммарной амплитуды движений в проксимальном межфаланговом суставе к 12 месяцам после гемиартропластики (р <0,01).

Предложенная тактика, усовершенствовавшая метод гемиартропластики, позволяет наиболее точно спланировать и интраоперационно выделить костно-хрящевой

аутотрансплантат крючковидной кости, обеспечивает точное его сопоставление в реципиентной зоне, тем самым улучшая показатели суммарной амплитуды движений ПМФС в отдалённом послеоперационном периоде, а также сокращает время операционной сессии.

Разработанный метод лечения пациентов с повреждением или дефектом тыльного края основания средней фаланги, сопровождающимся повреждением центрального пучка сухожилия общего разгибателя, позволяет провести реконструкцию основания средней фаланги и выполнить пластику сухожилия разгибателя одномоментно единым блоком.

#### **ЗАКЛЮЧЕНИЕ**

Лечение пациентов с внутрисуставными переломами и переломовывихами в проксимальном межфаланговом суставе трёхфаланговых пальцев кисти, а также их последствиями является сложной и актуальной проблемой в травматологии и ортопедии, не имеющей однозначного универсального решения. Для выбора тактики лечения необходимо проведение многофакторного обследования пациента, правильное верифицирование и трактование существующего повреждения, возможное при глубоком понимании анатомии пальцев и кисти в целом. При лечении пациентов с внутрисуставными переломами и переломовывихами основания средней фаланги в остром периоде травмы получены отличные и хорошие результаты при использовании спицевого дистракционно-репозиционного аппарата Suzuki. При лечении пациентов с последствиями внутрисуставных повреждений хорошие результаты получены при применении метода гемиартропластики костно-хрящевым аутотрансплантатом крючковидной кости. Представлен метод лечения пациентов с дефектом тыльного края основания средней фаланги, сопровождающимся повреждением центрального пучка сухожилия общего разгибателя пальцев кисти.

#### **ДОПОЛНИТЕЛЬНО**

Вклад авторов. Все авторы подтверждают соответствие своего авторства международным критериям ICMJE (все авторы внесли существенный вклад в разработку концепции и подготовку статьи, прочли и одобрили финальную версию перед публикацией). Наибольший вклад распределён следующим образом: В.Д. Кузнецов — курация, хирургическое лечение пациента, обзор литературы, сбор и анализ литературных источников, подготовка и написание текста статьи; И.О. Голубев, М.В. Меркулов, О.М. Бушуев, И.А. Кутепов, Г.Г. Балюра — курация, хирургическое лечение пациента, обзор литературы, сбор и анализ литературных источников.

Источник финансирования. Не указан.

**Конфликт интересов.** Авторы декларируют отсутствие явных и потенциальных конфликтов интересов, связанных с публикацией настоящей статьи.

**Информированное согласие на публикацию.** Авторы получили письменное согласие пациентов на публикацию медицинских данных и фотографий.

#### **ADDITIONAL INFO**

**Author's contribution.** Thereby, all authors made a substantial contribution to the conception of the work, drafting and revising the work, final approval of the version to be published and agree to be accountable for all aspects of the work. V.D. Kuznetsov — curation, surgical treatment of the patient, literature review, collection

and analysis of literary sources, designed the study, wrote the manuscript with input from all authors; I.O. Golubev, M.V. Merkulov, O.M. Bushuev, I.A. Kutepov, G.G. Baliura — curation, surgical treatment of the patient, literature review, collection and analysis of literary sources.

Funding source. Not specified.

**Competing interests.** The authors declare that they have no competing interests.

**Consent for publication.** Written consent was obtained from the patient for publication of relevant medical information and all of accompanying images within the manuscript.

#### СПИСОК ЛИТЕРАТУРЫ

- **1.** Коршунов В.Ф., Магдиев Д.А., Барсук В.И. Удлинение культей пальцев кисти и устранение укорочений фаланг и пястных костей // Вестник травматологии и ортопедии им. Н.Н. Приорова. 2004. № 1. С. 66–70.
- **2.** Гильмутдинова Л.Т., Кутлиахметов Н.С., Сахабутдинова А.Р. Медицинская реабилитация больных с травмами верхних конечностей // Фундаментальные исследования. 2014. Т. 10, № 4. С. 647–650.
- 3. Коршунов В.Ф., Магдиев Д.А., Барсук В.И. Стабильный интрамедуллярный остеосинтез при переломах пястных костей и фаланг пальцев кисти // Вестник травматологии и ортопедии им. Н.Н.Приорова. 2000. № 2. С. 22—26. doi: 10.17816/vto101596
- **4.** Caggiano N.M., Harper C.M., Rozental T.D. Management of Proximal Interphalangeal Joint Fracture Dislocations // Hand Clinics. 2018. Vol. 34, № 2. P. 149–165. doi: 10.1016/j.hcl.2017.12.005
- **5.** Jha P., Bell D., Hacking C. Keifhaber-Stern classification of volar plate avulsion injuries of hand // Radiopaedia.org. Дата

- обращения: 26.09.2023. Доступ по ссылке: https://radiopaedia.org/articles/47255
- **6.** Jha P., Weerakkody Y., Hacking C., et al. Eaton classification of volar plate avulsion injury // Radiopaedia.org. Дата обращения: 26.09.2023. Доступ по ссылке: doi: 10.53347/rID-47254
- **7.** Lo C.H., Nothdurft S.H., Park H.-S., Paul E., Leong J. Distraction ligamentotaxis for complex proximal interphalangeal joint fracture dislocations: a clinical study and the modified pins rubber band traction system revisited // Burns Trauma. 2018. Vol. 6. P. 23. doi: 10.1186/s41038-018-0124-1
- **8.** Suzuki Y., Matsunaga T., Sato S., Yokoi T. The pins and rubbers traction system for treatment of comminuted intraarticular fractures and fracture-dislocations in the hand // Journal of Hand Surgery (British and European Volume). 1994. Vol. 19,  $N^{\circ}$  1. P. 98–107. doi: 10.1016/0266-7681(94)90059-0

#### REFERENCES

- **1.** Korshunov VF, Magdiev DA, Barsuk VI. Udlinenie kul'tej pal'cev kisti i ustranenie ukorochenij falang i pyastnyh kostej. *Vestnik travmatologii i ortopedii im. N.N. Priorova.* 2004;(1):66–70. (In Russ).
- **2.** Gil'mutdinova LT, Kutliahmetov NS, Sahabutdinova AR. Medicinskaya reabilitaciya bol'nyh s travmami verhnih konechnostej. *Fundamental'nye issledovaniya*. 2014;10(4):647–650. (In Russ).
- **3.** Korshunov VF, Magdiev DA, Barsuk VI. Stabil'nyj intramedullyarnyj osteosintez pri perelomah pyastnyh kostej i falang pal'cev kisti. *Vestnik travmatologii i ortopedii im. N.N. Priorova*. 2000;(2):22–26. (In Russ). doi: 10.17816/vto101596
- **4.** Caggiano NM, Harper CM, Rozental TD. Management of Proximal Interphalangeal Joint Fracture Dislocations. *Hand Clinics*. 2018;34(2):149–165. doi: 10.1016/j.hcl.2017.12.005

- **5.** Jha P, Bell D, Hacking C. Keifhaber-Stern classification of volar plate avulsion injuries of hand. *Radiopaedia.org* [cited 2023 Sep 26]. Available from: https://radiopaedia.org/articles/47255
- **6.** Jha P, Weerakkody Y, Hacking C, et al. Eaton classification of volar plate avulsion injury. *Radiopaedia.org* [cited 2023 Sep 26]. Available from: doi: 10.53347/rlD-47254
- **7.** Lo CH, Nothdurft SH, Park H-S, Paul E, Leong J. Distraction ligamentotaxis for complex proximal interphalangeal joint fracture dislocations: a clinical study and the modified pins rubber band traction system revisited. *Burns Trauma*. 2018;6:23. doi: 10.1186/s41038-018-0124-1
- **8.** Suzuki Y, Matsunaga T, Sato S, Yokoi T. The pins and rubbers traction system for treatment of comminuted intraarticular fractures and fracture-dislocations in the hand. *Journal of Hand Surgery (British and European Volume)*. 1994;19(1):98–107. doi: 10.1016/0266-7681(94)90059-0

#### ОБ АВТОРАХ

**Голубев Игорь Олегович,** д.м.н., врач травматолог-ортопед; ORCID: 0000-0002-1291-5094; eLibrary SPIN: 2090-0471; e-mail: iog305@mail.ru

#### **AUTHORS' INFO**

Igor O. Golubev, MD, Dr. Sci. (Med.), traumatologist-orthopedist; ORCID: 0000-0002-1291-5094; eLibrary SPIN: 2090-0471; e-mail: iog305@mail.ru

#### Меркулов Максим Владимирович, д.м.н.,

врач травматолог-ортопед; ORCID: 0009-0004-9362-3449; eLibrary SPIN: 4695-3570;

e-mail: mailmerkulovmv@cito-priorov.ru

#### \* Кузнецов Василий Дмитриевич, аспирант,

врач травматолог-ортопед; ORCID: 0000-0003-1745-8010; eLibrary SPIN: 4093-7566;

e-mail: Dr.kuznetsovvd@gmail.com

#### Бушуев Олег Михайлович, к.м.н.,

врач травматолог-ортопед; ORCID: 0009-0002-0051-2666; eLibrary SPIN: 9793-5486;

e-mail: bushuevom@cito-priorov.ru

#### Кутепов Илья Александрович, к.м.н.,

врач травматолог-ортопед; ORCID: 0009-0001-3802-2577; eLibrary SPIN: 6598-7387; e-mail: kutepovia@cito-priorov.ru

#### Балюра Григорий Григорьевич, к.м.н.,

врач травматолог-ортопед; ORCID: 0000-0002-1656-1406; eLibrary SPIN: 6581-4371; e-mail: balyuragg@cito-priorov.ru

#### Maksim V. Merkulov, MD, Dr. Sci. (Med.),

traumatologist-orthopedist; ORCID: 0009-0004-9362-3449; eLibrary SPIN: 4695-3570; e-mail: mailmerkulovmv@cito-priorov.ru

\* Vasily D. Kusnetsov, post-graduate student,

traumatologist-orthopedist; ORCID: 0000-0003-1745-8010; eLibrary SPIN: 4093-7566; e-mail: Dr.kuznetsovvd@gmail.com

Oleg M. Bushuev. MD. Cand. Sci. (Med.). traumatologist-orthopedist;

ORCID: 0009-0002-0051-2666; eLibrary SPIN: 9793-5486;

e-mail: bushuevom@cito-priorov.ru

Ilya A. Kutepov, MD, Cand. Sci. (Med.), traumatologist-orthopedist; ORCID: 0009-0001-3802-2577; eLibrary SPIN: 6598-7387;

e-mail: kutepovia@cito-priorov.ru

Grigoriy G. Baliura, MD, Cand. Sci. (Med.),

traumatologist-orthopedist; ORCID: 0000-0002-1656-1406; eLibrary SPIN: 6581-4371; e-mail: balyuragg@cito-priorov.ru

<sup>\*</sup> Автор, ответственный за переписку / Corresponding author

DOI: https://doi.org/10.17816/vto430270

# Преимущество переднего доступа при тотальном эндопротезировании тазобедренного сустава (топографо-анатомическое и компьютернотомографическое обоснование)

И.К. Ерёмин<sup>1</sup>, Е.В. Огарёв<sup>2</sup>, А.А. Данильянц<sup>3</sup>, К.А. Жандаров<sup>4</sup>, Н.В. Загородний<sup>2,5</sup>

- <sup>1</sup>000 «Нейро-клиника», Москва, Российская Федерация;
- <sup>2</sup> Национальный медицинский исследовательский центр травматологии и ортопедии им. Н.Н. Приорова, Москва, Российская Федерация;
- <sup>3</sup> Российский национальный исследовательский медицинский университет им. Н.И. Пирогова, Москва, Российская Федерация;
- <sup>4</sup> Первый Московский государственный медицинский университет им. И.М. Сеченова, Москва, Российская Федерация;
- 5 Российский университет дружбы народов, Москва, Российская Федерация

#### *RNJATOHHA*

Обоснование. Эндопротезирование тазобедренного сустава не только выполняется пожилому населению, но и успешно проводится молодым людям, продолжающим работать и вести активный образ жизни. Росту числа операций способствуют повышение распространённости остеоартроза, гиподинамия, ведущая к увеличению индекса массы тела и, соответственно, нагрузки на суставы нижних конечностей. Увеличение объёма эндопротезирований тазобедренного сустава, расширение показаний, снижение среднего возраста пациентов, которым выполняется вмешательство, и связанный с этим рост требований к операции приводят к необходимости совершенствовать способы хирургического лечения. В странах СНГ прямой передний доступ применяется редко, хотя, на наш взгляд, он является малотравматичным.

**Цель исследования.** Провести топографо-анатомическое и компьютерно-томографическое обоснование преимуществ использования прямого переднего доступа при выполнении эндопротезирования тазобедренного сустава.

Материалы и методы. Настоящее исследование включало два этапа. Первый: а) послойное анатомическое препарирование области тазобедренного сустава на 5 секционных комплексах с целью установления точных анатомо-топографических связей структур передней области бедра и проектирования выполнения доступов; б) эндопротезирование тазобедренного сустава на 10 биоманекенах с применением двух доступов: 5 операций — прямым передним доступом и 5 — прямым боковым. Второй этап: анализ доступов к тазобедренному суставу с точки зрения критериев, разработанных А.Ю. Сазон-Ярошевичем для оценки оперативных доступов.

**Результаты.** Данное исследование подтвердило, что прямой передний доступ является малотравматичным, его использование сохраняет мягкие ткани. Однако применение прямого переднего доступа требует дополнительной подготовки хирургов-эндопротезистов. С целью снижения рисков возникновения осложнений, а также для закрепления хирургических навыков в начале кривой обучения авторы советуют выполнить первые 10–20 эндопротезирований на биоманекенах. При прямом переднем доступе к тазобедренному суставу глубина раны на 20–25% меньше, чем при доступе по Хардингу — 101 и 136 мм соответственно.

Заключение. 1. Прямой передний доступ является малотравматичным, поскольку подход к суставу осуществляется по межмышечному промежутку, что позволяет избежать повреждения мягких тканей, сосудов и нервов. 2. По своим характеристикам прямой передний доступ является оптимальным для выполнения эндопротезирования тазобедренного сустава. 3. Сохранение целостности мышц при выполнении прямого переднего доступа позволяет начать раннюю активизацию и реабилитацию пациентов. 4. Применение прямого переднего доступа ассоциировано с улучшением функциональных результатов тазобедренного сустава в раннем послеоперационном периоде.

**Ключевые слова:** тазобедренный сустав; тотальное эндопротезирование; прямой передний доступ; прямой боковой доступ; задний доступ; топографическая анатомия; мультиспиральная компьютерная томография.

#### Как цитировать:

Ерёмин И.К., Огарёв Е.В., Данильянц А.А., Жандаров К.А., Загородний Н.В. Преимущество переднего доступа при тотальном эндопротезировании тазобедренного сустава (топографо-анатомическое и компьютерно-томографическое обоснование) // Вестник травматологии и ортопедии им. Н.Н. Приорова. 2023. Т. 30, № 3. С. 301–313. DOI: https://doi.org/10.17816/vto430270

Рукопись получена: 17.05.2023 Рукопись одобрена: 21.06.2023 Опубликована: 11.09.2023



DOI: https://doi.org/10.17816/vto430270

# Advantage of the anterior approach in total hip arthroplasty (topographic-anatomical and computed tomography substantiation)

Ivan K. Eremin<sup>1</sup>, Egor V. Ogarev<sup>2</sup>, Armen A. Daniliyants<sup>3</sup>, Kirill A. Zhandarov<sup>4</sup>, Nikolai V. Zagorodniy<sup>2,5</sup>

- <sup>1</sup> LLC "Neuro-clinic", Moscow, Russian Federation;
- <sup>2</sup> Priorov National Medical Research Center for Traumatology and Orthopedics, Moscow, Russian Federation;
- <sup>3</sup> Pirogov Russian National Research Medical University, Moscow, Russian Federation;
- <sup>4</sup> Sechenov First Moscow State Medical University, Moscow, Russian Federation;
- <sup>5</sup> Russian Peoples' Friendship University, Moscow, Russian Federation

#### **ABSTRACT**

**BACKGROUND:** Hip arthroplasty is effectively performed for the elderly population and young people who continue to work and have an active lifestyle. An increase in the number of operations is facilitated by an increase in the prevalence of osteoarthritis and physical inactivity, leading to an increase in BMI and, accordingly, the load on the joints of the lower extremities. The increased volume of hip arthroplasty, the expansion of indications, the decrease in the average age of patients undergoing the intervention, and the related increase in surgical needs point to the need to improve surgical treatment approaches. In the CIS countries, the direct anterior approach is rarely used; in our opinion, it is less traumatic.

**OBJECTIVE:** To conduct a topographic-anatomical and computed tomographic study to support the advantages of using a direct anterior approach when performing hip arthroplasty.

**MATERIALS AND METHODS:** The present study included two stages: First, (a) layer-by-layer anatomical preparation of the hip joint area on five sectional complexes to establish accurate anatomical and topographic relationships of the structures of the anterior thigh region and design accesses and (b) hip arthroplasty on 10 biomannequins using two approaches: five operations (direct anterior approach) and five operations (direct lateral approach), and second, evaluation of access to the hip joint in terms of criteria developed by A.Yu. Sazon-Yaroshevich to assess online access.

**RESULTS:** This study confirmed that the direct anterior approach is less traumatic; its use preserves soft tissues. However, the use of a direct anterior approach requires additional training of endoprosthetic surgeons. The authors recommend executing the first 10–20 endoprostheses on biomanikins to link the risk of problems and to solidify surgical skills at the beginning of the learning curve. The depth of the wound is 20–25% less with the direct anterior approach to the hip joint than with the Harding approach — 101 and 136 mm, respectively.

**CONCLUSION:** Because the approach to the joint is carried out along the intermuscular gap, no soft tissues, blood vessels, or nerves are damaged during the direct anterior approach. According to its characteristics, the direct anterior approach is optimal for performing hip arthroplasty. Maintaining muscles during the performance of the direct anterior approach allows you to begin early activation and rehabilitation of patients. The adoption of a direct anterior approach is related to improved hip joint functional results in the early postoperative period.

**Keywords:** hip joint; total arthroplasty; direct anterior approach; direct lateral approach; posterior approach; topographic anatomy; multispiral computed tomography.

#### To cite this article:

Eremin IK, Ogarev EV, Daniliyants AA, Zhandarov KA, Zagorodniy NV. Advantage of the anterior approach in total hip arthroplasty (topographic-anatomical and computed tomography substantiation). N.N. Priorov Journal of Traumatology and Orthopedics. 2023;30(3):301–313. DOI: https://doi.org/10.17816/vto430270

Received: 17.05.2023 Accepted: 21.06.2023 Published: 11.09.2023



## **ВВЕДЕНИЕ**

В современном мире эндопротезирование тазобедренного сустава (ЭТС) не только выполняется пожилому населению, но и успешно проводится молодым людям, которые продолжают работать и вести активный образ жизни. Кроме того, частота выполняемых эндопротезирований неуклонно растёт: так, в США к 2030 году количество указанных операций увеличится на 71% и достигнет 635 000 процедур в год [1]. В Российской Федерации, согласно отчёту НМИЦ ТО им. Н.Н. Приорова, в 2018 году было выполнено 116 597 артропластик, из них на долю тазобедренного сустава пришлось 70 316 случаев [2]. А уже в 2019 году число артропластик увеличилось на 20% [3]. Росту числа операций способствуют повышение распространённости в популяции остеоартроза, изменение образа жизни, ведущее к увеличению индекса массы тела и, соответственно, нагрузки на суставы нижних конечностей. Кроме того, согласно ряду исследований и наблюдениям авторов статьи, увеличение числа пациентов с асептическим некрозом головки бедренной кости напрямую ассоциировано с распространением новой коронавирусной инфекции [4-6].

Увеличение объёма проводимых ЭТС, расширение показаний, снижение среднего возраста пациентов, которым выполняется артропластика тазобедренного сустава, и связанный с этим рост требований к операции (таких как ранняя выписка, более низкое использование анальгетиков, экономичность, раннее функциональное восстановление и более короткая иммобилизация) приводят к необходимости совершенствовать имеющиеся на данный момент способы хирургического лечения больных.

Как известно, при выполнении тотального эндопротезирования тазобедренного сустава наиболее часто используются прямой боковой (по Хардингу), передний боковой (по Уотсону—Джонсу) и задний доступы [7]. В Европе и США за последние 20 лет особую популярность приобрёл прямой передний доступ (ППД) [8]. Однако в странах СНГ ППД применяется достаточно редко, хотя, на наш взгляд, он является наименее травматичным, что согласуется с многочисленными исследованиями зарубежных авторов.

Каждый из указанных способов обладает рядом преимуществ и недостатков. Так, согласно данным литературы [7], применение заднего доступа связано с более высоким риском послеоперационного вывиха, поскольку во время операции повреждается задняя капсула сустава, тогда как использование прямого бокового доступа ассоциировано с повышенным риском повреждения верхнего ягодичного нерва, послеоперационной слабости отводящей группы мыщц и хромоты. Из-за длительного переднего отведения было высказано предположение о том, что переднебоковой доступ повреждает верхний ягодичный нерв. Использование ППД ассоциировано с риском повреждения латерального кожного нерва бедра. Согласно ряду исследований, при применении ППД с кривой обучения выше 50 случаев риски послеоперационных осложнений как минимум сопоставимы с таковыми при использовании классических хирургических доступов [9]. При этом такие интраоперационные показатели, как длительность операции и кровопотеря, а также такие послеоперационные показатели, как ранняя реабилитация, длительность нахождения в стационаре, функция тазобедренного сустава, выраженность болевого синдрома, риск послеоперационного вывиха, во многих исследованиях были лучше при использовании ППД, чем при применении классических доступов, на фоне одинаковых показаний [10–13].

При этом основным осложнением при проведении ЭТС с выполнением ППД считается повреждение латерального кожного нерва бедра. Однако ряд хирургов говорят о том, что ввиду тяжёлой технической составляющей начальные этапы кривой обучения ассоциированы с высоким риском осложнений, что сказывается на отсутствии у хирургов интереса учиться выполнению ППД даже при наличии его доказанных преимуществ [14, 15].

Согласно опыту зарубежных коллег, преодоление начала кривой обучения под руководством наставника кратно снижает риски интра- и послеоперационных осложнений [16, 17].

Вышеизложенное побудило авторов статьи провести исследование, целью которого будут топографо-анатомическое обоснование преимуществ использования ППД, компьютерно-томографическая визуализация, отработка техники на кадаверном материале и предложение этого способа в качестве платформы для оттачивания хирургических навыков.

**Цель исследования:** провести топографо-анатомическое и компьютерно-томографическое обоснование преимуществ использования прямого переднего доступа при выполнении эндопротезирования тазобедренного сустава.

## **МАТЕРИАЛЫ И МЕТОДЫ**

## Дизайн исследования

На первом этапе проводилось доклиническое экспериментальное исследование на биологических объектах, на втором — когортное клиническое исследование.

## Условия проведения

Первый этап исследования проведён на базе кадаверцентра г. Екатеринбурга, второй этап — на базе отделения лучевой диагностики Юсуповской больницы.

## Критерии соответствия

Критерии включения для участия во втором этапе исследования: возраст (18–79 лет); пол (женский — с целью снижения вариабельности выборки); отсутствие предшествующих вмешательств на тазобедренном суставе.

Критерии исключения из участия во втором этапе исследования: предшествующее хирургическое лечение по поводу коксартроза; гнойная инфекция мягких тканей в области поражённого сустава; наличие рубцов в предполагаемой области оперативного вмешательства, затрагивающих костные компоненты поражённого сустава; острый тромбофлебит поверхностных вен; тромбоз глубоких вен нижних конечностей.

## Методы оценки целевых показателей

Настоящее исследование включало два этапа. На первом, экспериментальном, этапе мы осуществляли:

- послойное анатомическое препарирование области тазобедренного сустава в кадавер-центре г. Екатеринбурга на 5 секционных комплексах тазобедренных суставов с целью установления точных анатомо-топографических связей структур передней области бедра и проектирования выполнения доступов (на этапе подготовки кадаверный материал проверялся на наличие инфекций (сифилис, гепатит В и С, ВИЧ), после чего выполнялось бальзамирование исследуемой области для сохранения прижизненной окраски и эластических свойств анатомических структур при моделировании оперативных вмешательств; непосредственно перед послойным анатомическим препарированием сосуды накачивались гуашь-желатином для сохранения их объёма и придания естественного цвета);
- ЭТС на 10 биоманекенах с применением двух доступов: при 5 операциях — прямого переднего и при 5 — прямого бокового. При этом во всех случаях операция проводилась на правом тазобедренном суставе с целью точного сравнения результатов эндопротезирования с точки зрения анатомической целостности мягких тканей.

На втором этапе исследования все оперативные доступы к тазобедренному суставу были проанализированы с точки зрения критериев, разработанных А.Ю. Сазон-Ярошевичем для оценки оперативных доступов (ось операционного действия, угол отклонения оси операционного действия, угол операционного действия, глубина раны). Для этого использовались данные мультиспиральной компьютерной томографии (МСКТ), выполненной 30 пациентам при заболеваниях тазобедренного сустава и таза. Чаще всего это были пациенты с деформирующим коксартрозом. МСКТ выполнялась на спиральном компьютерном томографе LightSpeed VCT. Исследование осуществлялось по стандартной программе для тазобедренного сустава с толщиной срезов 0,6 мм.

## Этическая экспертиза

Все манипуляции, выполненные в исследовании с участием людей, соответствовали стандартам локального этического комитета, а также Хельсинкской декларации 1964 г. и более поздним поправкам к ней или сопоставимым этическим стандартам. Для исследования этого типа

формального согласия локального этического комитета не требуется.

## РЕЗУЛЬТАТЫ

## Топографо-анатомическое обоснование прямого переднего доступа к тазобедренному суставу

Как известно, на передней поверхности тазобедренного сустава располагаются сосудисто-нервные образования, приходящие сюда из подбрюшинного этажа таза через мышечную и сосудистую лакуны. Через мышечную лакуну (исходя из её названия) на бедро опускается прежде всего подвздошно-поясничная мышца, которая прикрепляется к малому вертелу бедренной кости. А также через мышечную лакуну на бедро выходят бедренный нерв и латеральный кожный нерв бедра (рис. 1).

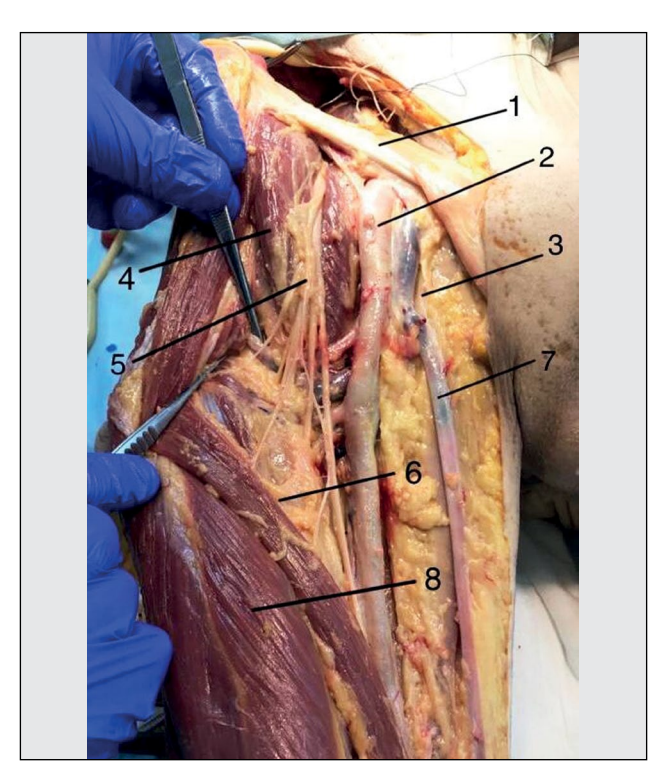


Рис. 1. Анатомия передней области бедра (здесь и в рис. 2–8: фото сделано при использовании кадаверного материала, предоставленного «Ekb\_Cadaver\_Lab» при АНО ДПО «Научно-образовательный медицинский центр», г. Екатеринбург): 1 — паховая связка (lig. inguinale), 2 — бедренная артерия (а. femoralis), 3 — бедренная вена (v. femoralis), 4 — подвздошно-поясничная мышца (m. iliopsoas), 5 — бедренный нерв (п. femoralis), 6 — портняжная мышца (m. sartorius), 7 — большая подкожная вена (v. saphena magna), 8 — прямая мышца бедра (m. rectus femoris).

Fig. 1. Anatomy of the anterior region of the thigh (here and in Fig. 2–8: the photo was taken using cadaver material provided by Ekb\_Cadaver\_Lab at the Scientific and Educational Medical Center, Yekaterinburg): 1 — inguinal ligament (lig. inguinale), 2 — femoral artery (a. femoralis), 3 — femoral vein (v. femoralis), 4 — iliopsoas muscle (m. iliopsoas), 5 — femoral nerve (n. femoralis), 6 — sartorius muscle (m. sartorius), 7 — great saphenous vein (v. saphena magna), 8 — rectus femoris (m. rectus femoris).

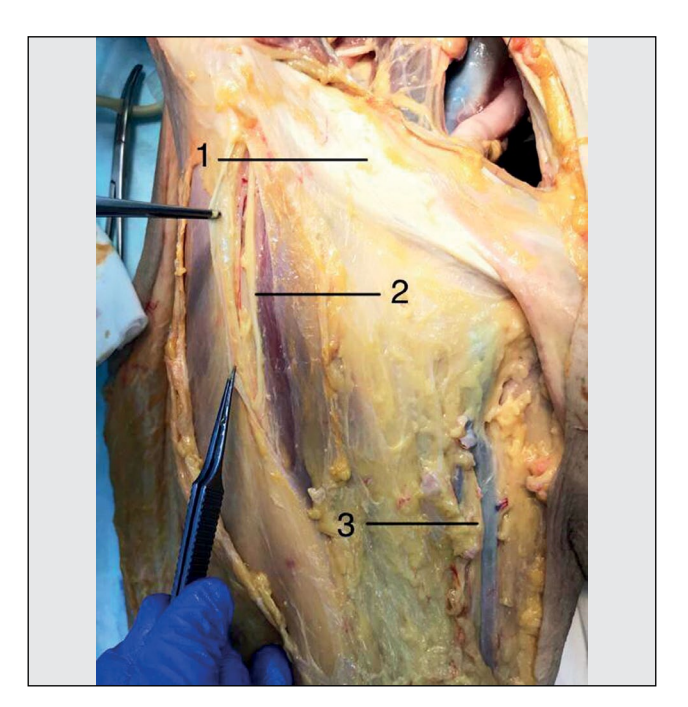
Латеральный кожный нерв бедра выходит на бедро через самый латеральный отдел мышечной лакуны и располагается субфасциально вдоль латерального края портняжной мышцы (портняжная мышца начинается от передней верхней подвздошной ости и находится поверхностно в собственном фасциальном футляре, образованном собственной (широкой) фасцией бедра). Ниже паховой связки на 2–3 см латеральный кожный нерв бедра у латерального края портняжной мышцы прободает собственную (широкую) фасцию и выходит в слой подкожной жировой клетчатки — идёт вниз по переднелатеральной поверхности бедра, осуществляя чувствительную иннервацию (рис. 2).

Бедренный нерв выходит на бедро через мышечную лакуну по передней поверхности подвздошно-поясничной мышцы и сразу распадается на свои конечные ветви: мышечные порции к передней группе мышц бедра (четырёхглавая и портняжная мышцы), передние кожные ветви к передней поверхности бедра (чувствительная иннервация) и подкожный нерв (направляется к бедренным сосудам и далее в приводящий канал) (рис. 3). Чтобы дойти до своих зон иннервации, ветви бедренного нерва прободают фасцию подвздошно-поясничной мышцы (глубокий листок собственной фасции бедра, переходящий в подвздошно-гребенчатую фасцию) — мышечные ветви достигают четырёхглавой и портняжной мышц прямым путём; передние кожные ветви прободают поверхностный

листок собственной (широкой) фасции бедра и выходят в слой подкожной жировой клетчатки; подкожный нерв выходит на переднюю поверхность бедренной артерии и вены и опускается с ними по передней борозде бедра в приводящий канал.

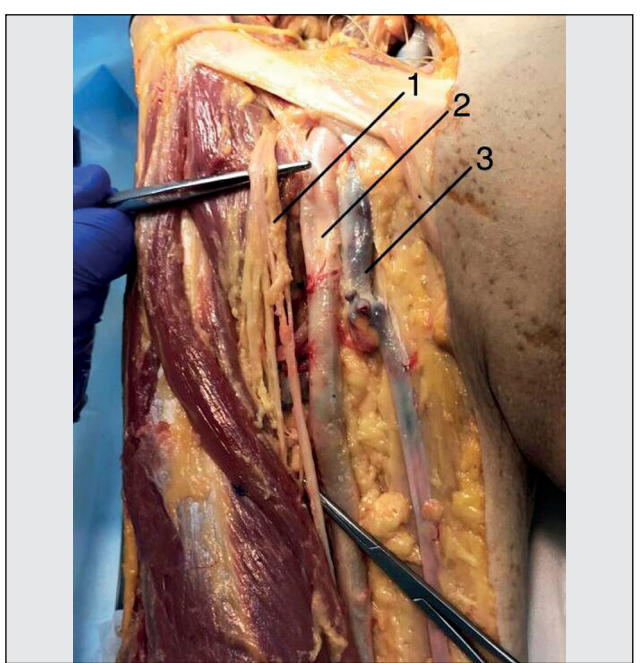
Бедренная артерия и вены выходят на бедро через сосудистую лакуну как продолжение наружных подвздошных сосудов, причём бедренная вена располагается медиальнее артерии. Бедренные сосуды располагаются сначала в подвздошно-гребенчатой борозде, затем идут вниз в передней борозде бедра в направлении приводящего канала, где к ним подходит подкожный нерв по передней поверхности. На расстоянии 3–4 см дистальнее паховой связки от бедренной артерии отходит глубокая артерия бедра, которая отдаёт свои ветви: медиальная артерия, огибающая бедренную кость; латеральная артерия, огибающая бедренную кость, прободающие артерии (рис. 4).

Только латеральная артерия, огибающая бедренную кость, уходит латерально, проходя под прямой мышцей бедра, далее её восходящая ветвь проходит под прямой и портняжной мышцами и распространяется по переднелатеральной поверхности кверху в ягодичную область, где анастомозирует с верхней ягодичной артерией (рис. 5). Следует отметить, что латеральная артерия, огибающая бедренную кость, проходит позади ветвей бедренного нерва практически в поперечном направлении.



**Рис. 2.** Анатомия передней области бедра: 1 — паховая связка (lig. inguinale), 2 — латеральный кожный нерв бедра (lateral femoral cutaneous nerve), 3 — большая подкожная вена (v. saphena magna).

**Fig. 2.** Anatomy of the anterior thigh: 1 — inguinal ligament (lig. inguinale), 2 — lateral cutaneous nerve of the thigh (lateral femoral cutaneous nerve), 3 — great saphenous vein (v. saphena magna).



**Рис. 3.** Сосудисто-нервный пучок передней области бедра: 1 — разветвление бедренного нерва, 2 — бедренная артерия (a. femoralis), 3 — бедренная вена (v. femoralis).

**Fig. 3.** The neurovascular bundle of the anterior region of the thigh: 1 — branching of the femoral nerve, 2 — femoral artery (a. femoralis), 3 — femoral vein (v. femoralis).



**Рис. 4.** Анатомия бедренной артерии: 1 — бедренная артерия (a. femoralis), 2 — глубокая артерия бедра (a. femoralis profunda), 3 — латеральная артерия, огибающая бедренную кость (a. circumflexa femoris lateralis).

**Fig. 4.** Anatomy of the femoral artery: 1 — femoral artery (a. femoralis), 2 — deep femoral artery (a. femoralis profunda), 3 — lateral artery that circumflexes the femur (a. circumflexa femoris lateralis).

Таким образом, бедренный треугольник (ограничен портняжной мышцей снаружи, паховой связкой сверху и длинной приводящей мышцей медиально) является сосредоточением значительного количества сосудисто-невральных структур, через которые не стоит планировать оперативный доступ к тазобедренному суставу. Наиболее удобно осуществлять оперативный доступ кнаружи от портняжной мышцы и прямой мышцы бедра, которые как бы отграничивают зону оперативного вмешательства от ветвей бедренного нерва и ветвей глубокой артерии бедра.

## Техника выполнения прямого переднего доступа с кожным разрезом «бикини»

Поперечный разрез кожи производится по передней поверхности бедра дистальнее передней верхней подвадошной ости на 3 см и латеральнее также на 3 см (что соответствует центру оси вращения головки бедренной кости), всего длина разреза составляет 9 см, из них 1/3 разреза находится медиальнее портняжной мышцы бедра и 2/3 — латеральнее этой мышцы. Собственная фасция бедра рассекается продольно по латеральному краю портняжной мышцы. Далее тупо раздвигается межмышечный промежуток между напрягателем широкой фасции и средней ягодичной мышцей латерально и портняжной мышцей и прямой мышцей бедра медиально — таким образом осуществляется выход на переднюю поверхность

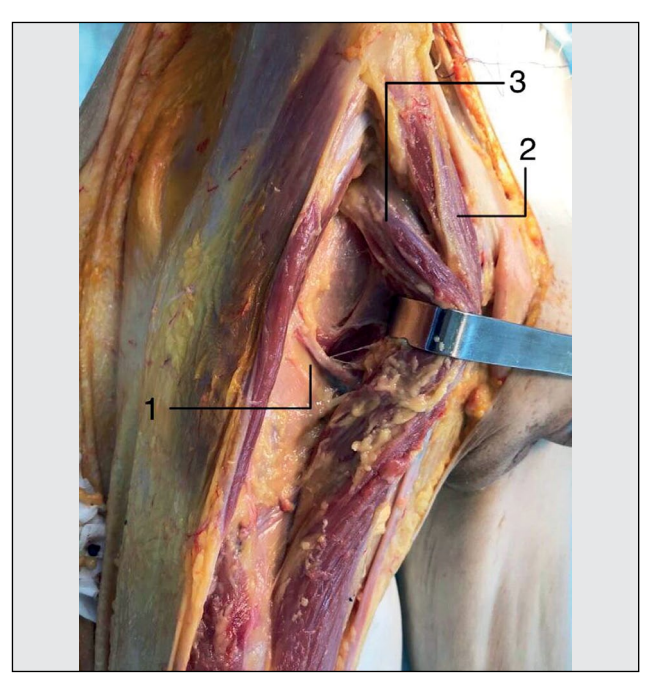


Рис. 5. Анатомия передней области бедра, глубокие слои: 1 — латеральная артерия, огибающая бедренную кость (a. circumflexa femoris lateralis), 2 — портняжная мышца (m. sartorius), 3 — прямая мышца бедра (m. rectus femoris).

**Fig. 5.** Anatomy of the anterior region of the thigh, deep layers: 1 — lateral artery that circumflexes the femur (a. circumflexa femoris lateralis), 2 — tailor muscle (m. sartorius), 3 — rectus femoris (m. rectus femoris).

тазобедренного сустава. В вышеописанном межмышечном промежутке встречается только латеральная артерия бедра, огибающая бедренную кость, которую следует коагулировать. Поскольку при тотальном эндопротезировании тазобедренного сустава головка и шейка бедренной кости удаляются, коагуляция восходящей ветви латеральной артерии, огибающей бедренную кость, не имеет никаких последствий. Далее относительно капсулы тазобедренного сустава устанавливаются защитники и осуществляется оперативное вмешательство на самом суставе: рассечение капсулы, остеотомия шейки бедренной кости, удаление головки бедренной кости, обработка вертлужной впадины и проксимального конца бедренной кости, установка эндопротеза, ушивание раны. По мнению авторов, наиболее сложной частью операции является элевация бедренной кости.

Стратегию подъёма можно разделить на две отдельные части: манёвр элевации бедра и релиз капсулы. Вопрос в том, какой будет наиболее оптимальная последовательность для безопасного обнажения бедренной кости. Мягкие ткани являются важными ограничениями для мобилизации бедренной кости. В случае если проксимальный отдел бедренной кости не может быть аккуратно извлечён из таза, существует повышенный риск переломов, поскольку либо применяются силовые манипуляции, либо вертел может остаться за краем вертлужной впадины. В результате могут возникнуть проксимальные

или спиральные переломы. Кроме того, доступ к бедренной кости может быть неадекватным и приводить к повышенному риску неправильного расположения компонента или перфорации бедренной кости. Поэтому мы считаем более логичным нивелировать ограничения в виде мягких тканей перед подъёмным манёвром. Кроме того, элевация бедренной кости подразумевает не только переднее, но и латеральное смещение кончика большого вертела за пределы заднего края вертлужной впадины. Поэтому мы предлагаем следующую последовательность: сначала хирург проводит ступенчатое освобождение мягких тканей с последующим плавным смещением бедренной кости в латеральном и кпереди направлении. Это сведёт к минимуму силы, действующие на бедренную кость, и позволит перевести бедренную кость в правильное положение без лишнего давления на ткани. Таким образом, минимизируется риск силовых манёвров и последующих переломов.

Капсулэктомия (авторы советуют данный способ на начальном уровне кривой обучаемости в целях улучшения визуализации ацетабулярной впадины) или капсулотомия выполняется для визуализации шейки бедра. Авторы предпочитают выполнять капсулотомию с последующим сохранением и восстановлением капсулы.

Выделение капсулы осуществляется с помощью 3-4 ретракторов с целью максимально визуализировать переднюю капсулу. Во время процедуры ретракторы должны оставаться в стабильном положении, чтобы свести к минимуму повреждение мягких тканей. Высвобождение капсулы начинается с передней капсулотомии и формирования L-образного лоскута: капсула рассекается от головки бедренной кости до большого вертела, далее от большого вертела разрез продолжается по передней поверхности шейки до малого вертела. При этом необходимо следить за тем, чтобы капсула под подвздошнопоясничной мышцей оставалась неповреждённой. Слой капсулы является своего рода защитой от инструментов во время препарирования кости. После этого выполняется остеотомия шейки бедренной кости и извлечение головки вкручиваемым штопором, далее осуществляют нижнюю и верхнюю капсулотомии. Для нижней капсулотомии (или освобождения лобково-бедренной связки) ипсилатеральную ногу кладут поверх контрлатеральной ноги, чтобы обеспечить небольшую внешнюю ротацию. В результате в поле зрения хирурга попадают малый вертел и лобково-бедренная связка. Для верхней капсулотомии ногу оставляют в нейтральном положении, а костный крючок надевают на Calcar, чтобы вытянуть бедренную кость в боковом и переднем направлении. Это позволяет хирургу чётко чувствовать, что освобождение завершено. Когда бедренная кость правильно освобождена, кончик большого вертела может быть поднят за край вертлужной впадины без гиперэкстензии. Отличительной интраоперационной находкой является капсульный «перевёрнутый знак». Задне-верхняя капсула переворачивается через кончик большого вертела, когда бедренную кость тянут в латеральном и переднем направлении. Это явное указание на достаточный капсульный релиз.

Таким образом, данное исследование подтвердило, что ППД действительно является малотравматичным, его использование максимально сохраняет мягкие ткани. Однако применение ППД требует дополнительной подготовки хирургов-эндопротезистов. С целью снижения рисков возникновения интра- и послеоперационных осложнений, а также для закрепления хирургических навыков в начале кривой обучения при осуществлении ППД авторы советуют выполнить первые 10–20 эндопротезирований на биоманекенах.

## Топография ягодичной области

Топография ягодичной области достаточно сложна, мышцы располагаются в 3 слоя: первый слой — большая ягодичная мышца (рис. 6), второй слой — сверху вниз идут средняя ягодичная мышца, грушевидная мышца, верхняя близнецовая мышца, внутренняя запирательная мышца, нижняя близнецовая мышца и квадратная мышца бедра (рис. 7), третий слой — малая ягодичная мышца и наружная запирательная мышца (рис. 8). Через нади подгрушевидные отверстия ягодичная область связана с подбрюшинным этажом таза. Через надгрушевидное отверстие в ягодичную область выходит верхний ягодичный сосудисто-нервный пучок, который далее распространяется в межмышечном промежутке между средней ягодичной мышцей и малой ягодичной мышцей сзади наперёд, проходя перпендикулярно ходу волокон этих мышц примерно на середине между местом их начала от тазовой кости и местом их прикрепления к бедренной кости (верхний ягодичный нерв иннервирует среднюю и малую ягодичные мышцы, напрягатель широкой фасции бедра).



**Рис. 6.** Анатомия ягодичной области: 1 — большая ягодичная мышца (m. gluteus maximus), 2 — подвздошно-большеберцовый тракт (tractus ilio-tibialis).

**Fig. 6.** Anatomy of the gluteal region: 1 — gluteus maximus (m. gluteus maximus), 2 — ilio-tibial tract (tractus ilio-tibialis).

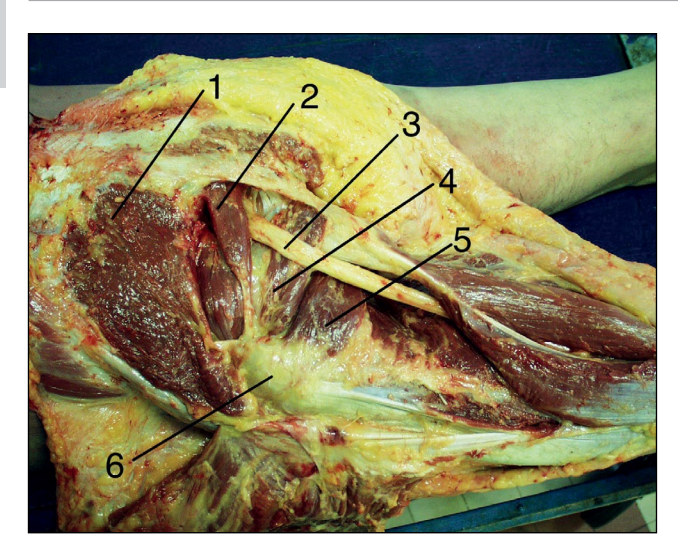


Рис. 7. Анатомия ягодичной области: 1 — средняя ягодичная мышца (m. gluteus medius), 2 — грушевидная мышца (m. piriformis), 3 — седалищный нерв (n. ischiadicus), 4 — мышечный пласт, состоящий из верхней близнецовой, внутренней запирательной и нижней близнецовой мышц (mm. gemmeli sup. et inf., m. obturatorius internus), 5 — квадратная мышца (m. quadratus), 6 — большой вертел (trochanter major).

**Fig. 7.** Anatomy of the gluteal region: 1 — gluteus medius (m. gluteus medius), 2 — piriformis (m. piriformis), 3 — sciatic nerve (n. ischiadicus), 4 — muscle layer, consisting of the upper twin, internal obturator and lower twin muscles (mm. gemmeli sup. et inf., m. obturatorius internus), 5 — square muscle (m. quadratus), 6 — large trochanter (trochanter major).

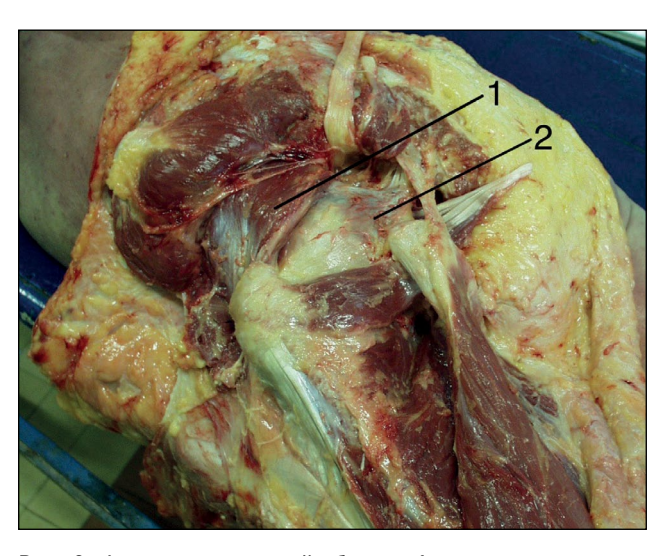


Рис. 8. Анатомия ягодичной области: 1 — малая ягодичная мышца (m. gluteus minimus), 2 — капсула тазобедренного сустава.

Fig. 8. Anatomy of the gluteal region: 1 — small gluteal muscle (m. gluteus minimus), 2 — capsule of the hip joint.

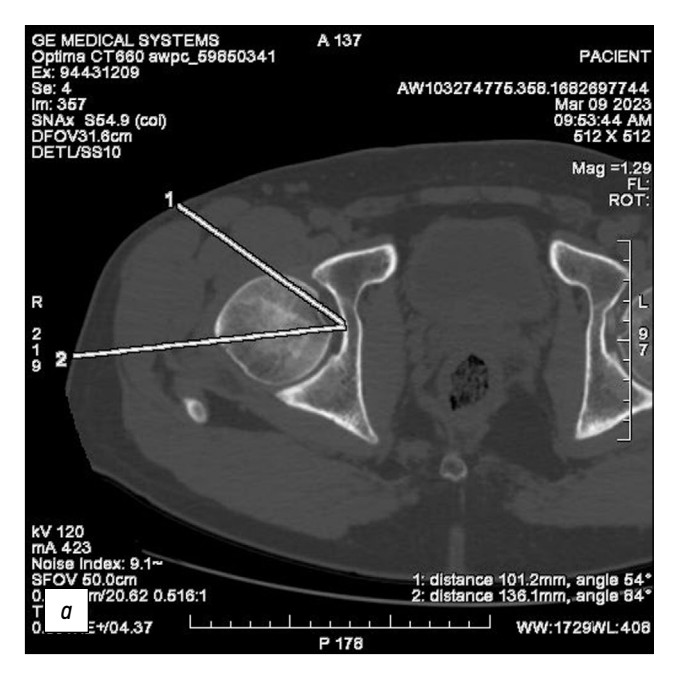
Через подгрушевидное отверстие в ягодичную область выходят седалищный нерв, задний кожный нерв бедра, нижний ягодичный сосудисто-нервный пучок, половой сосудисто-нервный пучок. Подгрушевидное отверстие проецируется на 4 см медиальнее и на 3 см выше задней поверхности тазобедренного сустава, и практически все

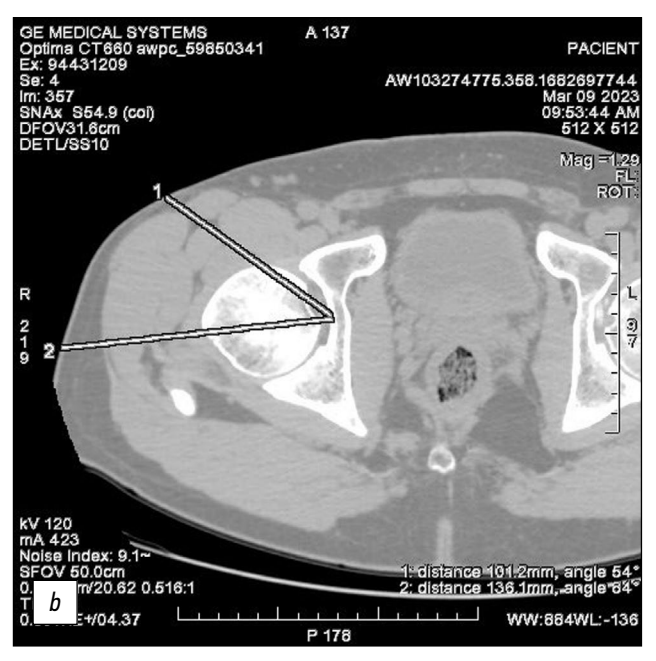
вышеперечисленные сосудисто-нервные образования далее проходят позади тазобедренного сустава, отделяясь от него лишь слоем внутренней запирательной мышцы с близнецовыми мышцами и квадратной мышцей бедра.

При заднем доступе (по сути, задне-боковом) производится рассечение большой ягодичной мышцы по ходу её волокон, отсечение комплекса наружных ротаторов бедра единым лоскутом с капсулой тазобедренного сустава (верхняя близнецовая мышца, внутренняя запирательная мышца, нижняя близнецовая мышца, квадратная мышца бедра). Это позволяет избежать повреждения седалищного нерва (нерв отделён от капсулы сустава вторым слоем мышц ягодичной области), однако при этом увеличиваются сроки заживления раны и отодвигаются сроки начала реабилитации.

Боковой доступ по Хардингу подразумевает рассечение средней и малой ягодичных мышц по ходу их волокон по верхнелатеральной поверхности тазобедренного сустава с отсечением передней порции этих мышц от большого вертела бедренной кости, что, на наш взгляд, также будет увеличивать сроки активизации и реабилитации пациентов после тотального эндопротезирования тазобедренного сустава.

При тотальном эндопротезировании тазобедренного сустава дном операционной раны является вертлужная впадина. Вертлужная впадина отклонена книзу и кпереди, что также следует учитывать при выборе оперативного доступа к тазобедренному суставу. Пространственная ориентация вертлужной впадины характеризуется углом вертикального наклона впадины (угол её отклонения книзу относительно фронтальной плоскости) и углом фронтальной инклинации или антеверсии (угол её отклонения кпереди относительно сагиттальной плоскости). У взрослого человека истинный угол вертикального наклона вертлужной впадины составляет 50-52°, угол фронтальной инклинации — 18–25°. Если мы проведём перпендикуляр от плоскости входа в вертлужную впадину на мультипланарных и трёхмерных реконструкциях изображений на рабочей станции МСКТ, ось этого перпендикуляра будет проецироваться на верхние отделы шейки бедра кпереди от большого вертела. Таким образом, при прямом переднем доступе к тазобедренному суставу, когда подход осуществляется по межмышечному промежутку между напрягателем широкой фасции бедра и средней ягодичной мышцей латерально и портняжной мышцей и прямой мышцей бедра медиально в вертикальном направлении, мы получаем наилучший обзор вертлужной впадины. Это облегчает как обработку самой вертлужной впадины, так и правильную установку чашки эндопротеза во впадине. Кроме того, из переднего доступа удобнее проводить и остеотомию шейки бедра в необходимой плоскости, поскольку ось операционного действия при таком доступе будет оптимальной, а угол наклонения оси операционного действия приближается к 90°.





**Рис. 9.** Снимки мультиспиральной компьютерной томографии, аксиальные срезы: *а* — костный режим, *b* — мягкотканный режим, 1 — измерение глубины раны при доступе, 2 — измерение глубины раны при доступе по Хардингу.

Fig. 9. Images of multislice computed tomography, axial sections: a — bone mode, b — soft tissue mode, 1 — measurement of the wound depth in the anterior approach, 2 — measurement of the wound depth in the Harding approach.

При выполнении заднего оперативного доступа к тазобедренному суставу угол наклонения оси операционного действия не будет превышать 60°, поскольку при таком доступе хирург выходит на задние отделы тазобедренного сустава, а сама вертлужная впадина развёрнута кпереди на 18–25°.

При переднем доступе к тазобедренному суставу глубина раны на 20–25% меньше, чем при доступе по Хардингу — 101 и 136 мм соответственно (рис. 9).

## ОБСУЖДЕНИЕ

ЭТС является единственным способом лечения при таких заболеваниях, как поздние стадии коксартроза, асептический некроз головки бедренной кости, диспластический коксартроз и др. По мере распространения эндопротезирования снижается средний возраст оперируемых пациентов, что неминуемо приводит к росту требований и ожиданий со стороны больных; так, более важными становятся увеличение срока службы эндопротеза и результатов функционального состояния тазобедренного сустава, восстановление походки и в целом максимально быстрое возвращение к активному образу жизни. Безусловно, классические доступы, используемые при ЭТС, показывают отличные результаты в течение большого количества времени. Кроме того, традиционные подходы в эндопротезировании имеют больший объём показаний, и поэтому трудно представить, что наравне с ними может применяться какой-либо другой доступ. Ввиду отсутствия крупных исследований считается, что риски и осложнения после применения малоинвазивных доступов изучены не до конца [18].

Возможно, небольшое нарушение походки и осанки не всегда имеет значение для лиц пожилого возраста, но указанные показатели могут стать клинически важными для молодых и активных пациентов, ведущих подвижный образ жизни на протяжении многих лет. Несмотря на успех эндопротезирования с точки зрения облегчения боли и улучшения физической функции, у некоторых пациентов нормальная походка не достигается и через 1 год и более после операции.

В последние десятилетия в странах Европы и США особой популярностью стал пользоваться ППД [19, 20]. Так, согласно ежегодному голландскому отчёту, распространение ППД в Нидерландах в 2010 году составляло 5% от общего числа применяемых доступов, а уже в 2020 году значение данного показателя выросло до 49% [21]. Сторонники этого метода проводят исследования, в которых подтверждаются тезисы о том, что в первые 3–6 месяцев применение ППД характеризуется ускоренной послеоперационной реабилитацией, сопровождается меньшей выраженностью болевого синдрома, приводит к улучшению показателей шкал ННS, WOMAC, теста «Встань и иди» [22—24]. Данные факты напрямую связаны с тем, что ППД является наименее травматичным методом.

Однако литературные данные свидетельствуют о крутой кривой обучения и связанном с ней высоким риском осложнений на начальном этапе кривой. Согласно ряду исследований, первые 20 случаев ЭТС с применением ППД должны быть выполнены под руководством опытного хирурга [25]. При опыте от 50 до 100 случаев хирург считается учащимся. А при выполнении более 100 случаев ЭТС с применением ППД

риск возникновения осложнений сопоставим с любым хирургическим доступом. Согласно исследованию китайских коллег Z. Xu с соавт., опыт хирурга, составляющий свыше 2000 случаев, значительно расширит возможности применения ППД и позволит использовать его при оперативном лечении дисплазии 3–4-й степени по классификации Crowe, при ревизионных случаях и в целом увеличит список показаний [26, 27]. Также указанные авторы в другом исследовании успешно проводили подвертельную остеотомию с применением ППД и получили отличные результаты [28].

С учётом того, что среди хирургов-эндопротезистов стран СНГ применение ППД практически не распространено, в том числе ввиду крутой кривой обучения, авторы данной статьи после практической оценки преимуществ использования ППД находят целесообразным популяризацию указанного доступа и проведение данного исследования, целью которого являются анатомо-топографическое обоснование малотравматичности указанного метода, поиск приемлемого способа оттачивания хирургических навыков и, таким образом, снижение риска осложнений.

В научном сообществе до сих пор нет единого мнения касательно научной обоснованности преимуществ использования ППД. Существуют противоречивые сведения о том, действительно ли ППД является щадящим в отношении мягких тканей и ассоциирован с низким риском послеоперационного вывиха [29-32]. Согласно последним исследованиям, пациенты, которым ЭТС выполнялось с применением ППД, меньше нуждаются в опиоидной анальгезии по сравнению с лицами, которым ЭТС выполнялось с использованием других доступов. Функциональное состояние тазобедренного сустава после ЭТС с применением ППД лучше в раннем послеоперационном периоде (0-6 мес), однако через 6-12 месяцев результаты становятся сопоставимыми с таковыми при использовании других доступов [33]. Авторы данного исследования считают, что молодому пациенту важно вернуться к активному образу жизни как можно быстрее, поэтому достижение достаточного опыта применения ППД впоследствии позволит расширить хирургические возможности врача и подобрать оптимальный доступ индивидуально каждому пациенту соответственно показаниям. Тем не менее сторонники утверждают, что ППД связан с улучшением ранних функциональных результатов, но это никогда не было научно обосновано. В результате в настоящее время ведётся много споров о том, является ли передний доступ безопасным, воспроизводимым и повышает ли он эффективность хирургического лечения. Так, в исследовании с использованием МРТ-визуализации тканей после проведённых эндопротезирований пришли к выводу, что ППД связан с меньшей травматизацией мягких тканей по сравнению с прямым боковым и задним доступами [34].

Таким образом, несмотря на имеющуюся на данный момент информацию о ППД, большинство вопросов остаются неосвещёнными.

## **ЗАКЛЮЧЕНИЕ**

Выполнив данное исследование, авторы пришли к следующим выводам:

- прямой передний доступ является наименее травматичным, поскольку подход к тазобедренному суставу осуществляется строго по анатомическому межмышечному промежутку, что позволяет избежать повреждения мягких тканей, сосудов и нервов;
- по своим характеристикам (ось операционного действия, угол наклонения оси операционного действия, угол операционного действия) передний доступ является наиболее оптимальным для выполнения хирургических манипуляций при тотальном эндопротезировании тазобедренного сустава;
- сохранение целостности всех мышц при выполнении переднего доступа к тазобедренному суставу позволяет начать раннюю активизацию и реабилитацию пациентов после его тотального эндопротезирования;
- применение прямого переднего доступа ассоциировано с улучшением функциональных результатов тазобедренного сустава в раннем послеоперационном периоде.

## **ДОПОЛНИТЕЛЬНО**

**Вклад авторов.** Все авторы подтверждают соответствие своего авторства международным критериям ICMJE (все авторы внесли существенный вклад в разработку концепции, проведение исследования и подготовку статьи, прочли и одобрили финальную версию перед публикацией).

**Источник финансирования.** Авторы заявляют об отсутствии внешнего финансирования при проведении исследования и подготовке публикации.

**Конфликт интересов.** Авторы декларируют отсутствие явных и потенциальных конфликтов интересов, связанных с проведённым исследованием и публикацией настоящей статьи.

**Информированное согласие на публикацию.** Авторы получили письменное согласие пациентов на публикацию их медицинских данных и фотографий (дата подписания: 01.05.2023).

## **ADDITIONAL INFO**

**Author contribution.** All authors made a substantial contribution to the conception of the work, acquisition, analysis, interpretation of data for the work, drafting and revising the work, final approval of the version to be published and agree to be accountable for all aspects of the work.

**Funding source.** This study was not supported by any external sources of funding.

**Competing interests.** The authors declare that they have no competing interests.

**Consent for publication.** On May 1, 2023, the patients gave their written consents for publication of their medical data and images.

## СПИСОК ЛИТЕРАТУРЫ

- **1.** Sloan M., Premkumar A., Sheth N.P. Projected volume of primary total joint arthroplasty in the U.S., 2014 to 2030 // J Bone Joint Surg Am. 2018. Vol. 100, № 17. P. 1455–1460. doi: 10.2106/jbjs.17.01617
- 2. Травматизм, ортопедическая заболеваемость, состояние травматолого-ортопедической помощи населению России в 2018 году: ежегодный статистический сборник. Москва: ЦИТО, 2019. Режим доступа: http://kbf.cito-priorov.ru/#s/9NnN-qlq
- 3. Травматизм, ортопедическая заболеваемость, состояние травматолого-ортопедической помощи населению России в 2019 году: ежегодный статистический сборник. Москва: ЦИТО, 2020. Режим доступа: https://www.cito-priorov.ru/science/ezhegodnyy-statisticheskiy-sbornik-travmatizm-ortopedicheskaya-zabolevaemost-organizatsiya-travmatol/2019/
- **4.** Allen K.D., Thoma L.M., Golightly Y.M. Epidemiology of osteoarthritis // Osteoarthritis Cartilage. 2022. Vol. 30, № 2. P. 184–195. doi: 10.1016/j.joca.2021.04.020
- **5.** Agarwala S.R., Vijayvargiya M., Pandey P. Avascular necrosis as a part of 'long COVID-19' // BMJ Case Rep. 2021. Vol. 14,  $N^{o}$  7. P. e242101. doi: 10.1136/bcr-2021-242101
- **6.** Zhang S., Wang C., Shi L., et al. Beware of steroid-induced avascular necrosis of the femoral head in the treatment of COVID-19-experience and lessons from the SARS Epidemic // Drug Des Devel Ther. 2021. № 15. P. 983–995. doi: 10.2147/dddt.s298691
- **7.** Docter S., Philpott H.T., Godkin L., et al. Comparison of intra and post-operative complication rates among surgical approaches in Total Hip Arthroplasty: A systematic review and meta-analysis // J Orthop. 2020. № 20. P. 310–325. doi: 10.1016/j.jor.2020.05.008
- **8.** Realyvasquez J., Singh V., Shah A.K., et al. The direct anterior approach to the hip: a useful tool in experienced hands or just another approach? // Arthroplasty. 2022. Vol. 4,  $N^{\circ}$  1. P. 1. doi: 10.1186%2Fs42836-021-00104-5
- **9.** Gulbrandsen T.R., Muffly S.A., Shamrock A., et al. Total hip arthroplasty: direct anterior approach versus posterior approach in the first year of practice // lowa Orthop J. 2022. Vol. 42,  $N^{o}$  1. P. 127–136.
- **10.** Van der Sijp M.P.L., van Delft D., Krijnen P., et al. Surgical approaches and hemiarthroplasty outcomes for femoral neck fractures: A meta-analysis // J Arthroplasty. 2018. Vol. 33, № 5. P. 1617–1627. doi: 10.1016/j.arth.2017.12.029
- **11.** Wang Z., Hou J.-Z., Wu C.-H., et al. A systematic review and meta-analysis of direct anterior approach versus posterior approach in total hip arthroplasty // J Orthop Surg Res. 2018. Vol. 13,  $N^{\circ}$  1. P. 229. doi: 10.1186/s13018-018-0929-4
- **12.** Zhou Z., Li Y., Peng Y., et al. Clinical efficacy of direct anterior approach vs. other surgical approaches for total hip arthroplasty: A systematic review and meta-analysis based on RCTs // Front Surg. 2022. № 9. P. 1022937. doi: 10.3389/fsurg.2022.1022937
- **13.** Kucukdurmaz F., Sukeik M., Parvizi J. A meta-analysis comparing the direct anterior with other approaches in primary total hip arthroplasty // Surgeon. 2019. Vol. 17, № 5. P. 291–299. doi: 10.1016/j.surge.2018.09.001
- **14.** Stone A.H., Sibia U.S., Atkinson R., et al. Evaluation of the learning curve when transitioning from posterolateral to Direct Anterior Hip Arthroplasty: a consecutive series of 1000 cases // J Arthroplasty. 2018. Vol. 33, № 8. P. 2530–2534. doi: 10.1016/j.arth.2018.02.086

- **15.** Ponzio D.Y., Poultsides L.A., Salvatore A., et al. In-hospital morbidity and postoperative revisions after direct anterior vs posterior Total hip Arthroplasty // J Arthroplast. 2018. № 33. P. 1421–1425.e1. doi: 10.1016/j.arth.2017.11.053
- **16.** Garbarino L., Gold P., Sodhi N., et al. Does structured postgraduate training affect the learning curve in direct anterior total hip arthroplasty? A single surgeon's first 200 cases // Arthroplast Today. 2021. No 7. P. 98–104. doi: 10.1016/j.artd.2020.11.019
- **17.** De Steiger R.N., Lorimer M., Solomon M. What is the learning curve for the anterior approach for total hip arthroplasty? // Clin Orthop Relat Res. 2015. Vol. 473,  $N^{\circ}$  12. P. 3860–6. doi: 10.1007/s11999-015-4565-6
- **18.** Petis S., Howard J.L., Lanting B.L., et al. Surgical approach in primary total hip arthroplasty: anatomy, technique and clinical outcomes // Can J Surg. 2015. Vol. 58,  $N^2$  2. P. 128–39. doi: 10.1503/cjs.007214
- **19.** Galakatos G.R. Direct anterior total hip arthroplasty // Mo Med. 2018. Vol. 115,  $N^{o}$  6. P. 537–541.
- **20.** Post Z.D., Orozco F., Diaz-Ledezma C., et al. Direct anterior approach for total hip arthroplasty: indications, technique, and results // J Am Acad Orthop Surg. 2014. Vol. 22,  $N^{\circ}$  9. P. 595–603. doi: 10.5435/jaaos-22-09-595
- 21. LROI report // Annual report Dutch Arthroplasty Register. 2021.
- **22.** Khan I.A., Magnuson J.A., Arshi A., et al. Direct anterior approach in hip hemiarthroplasty for femoral neck fractures: do short-term outcomes differ with approach?: a systematic review and meta-analysis // JBJS Rev. 2022. Vol. 10, Nº 9. doi: 10.2106/jbjs.rvw.21.00202
- **23.** Gazendam A., Bozzo A., Ekhtiari S., et al. Short-term outcomes vary by surgical approach in total hip arthroplasty: a network meta-analysis // Arch Orthop Trauma Surg. 2022. Vol. 142, № 10. P. 2893—2902. doi: 10.1007/s00402-021-04131-4
- **24.** Martusiewicz A., Delagrammaticas D., Harold R.E., et al. Anterior versus posterior approach total hip arthroplasty: patient-reported and functional outcomes in the early postoperative period // Hip Int. 2020. № 30. P. 695–702. doi: 10.1177/1120700019881413
- **25.** Gofton W.T., Ibrahim M.M., Kreviazuk C.J., et al. Ten-Year experience with the anterior approach to total hip arthroplasty at a Tertiary Care Center // J Arthroplasty. 2020. Vol. 35, № 5. P. 1281–1289.e1. doi: 10.1016/j.arth.2019.12.025
- **26.** Xu Z., Zhang J., Li J., et al. Direct anterior approach in total hip arthroplasty: more indications and advantages than we found // Arthroplasty. 2022. Vol. 4,  $N^{\circ}$  1. P. 29. doi: 10.1186/s42836-022-00130-x
- **27.** Liu Z., Bell C.D., Ong A.C., et al. Direct anterior approach total hip arthroplasty for Crowe III and IV dysplasia // Arthroplast Today. 2020. Vol. 6, № 2. P. 251–256. doi: 10.1016/j.artd.2020.02.008
- **28.** Liu Z.Y., Li Z.Q., Wu S.T., et al. Subtrochanteric osteotomy in direct anterior approach total hip arthroplasty // Orthop Surg. 2020. Vol. 12,  $N^{\circ}$  6. P. 2041–2047. doi: 10.1111/os.12744
- **29.** Huerfano E., Bautista M., Huerfano M., et al. Use of surgical approach is not associated with instability after primary total hip arthroplasty: a meta-analysis comparing direct anterior and posterolateral approaches // J Am Acad Orthop Surg. 2021. Vol. 29,  $N^{\circ}$  22. P. e1126–e1140. doi: 10.5435/jaaos-d-20-00861
- **30.** Zijlstra W.P., De Hartog B., Van Steenbergen L.N., et al. Effect of femoral head size and surgical approach on risk of revision for

- dislocation after total hip arthroplasty // Acta Orthop. 2017. Vol. 88,  $\mathbb{N}^9$  4. P. 395–401. doi: 10.1080/17453674.2017.1317515
- **31.** Rykov K., Meys T.W.G.M., Knobben B.A.S., et al. MRI assessment of muscle damage after the posterolateral versus direct anterior approach for THA (Polada Trial). A randomized controlled trial // J Arthroplasty. 2021. Vol. 36, № 9. P. 3248–3258.e1. doi: 10.1016/j.arth.2021.05.009
- **32.** Patel N., Golwala P. Approaches for total hip arthroplasty: a systematic review // Cureus. 2023. Vol. 15, № 2. P. e34829. doi: 10.7759/cureus.34829
- **33.** Zhao H.Y., Kang P.D., Xia Y.Y., et al. Comparison of early functional recovery after total hip arthroplasty using a direct anterior or posterolateral approach: a randomized controlled trial // J Arthroplasty. 2017. Vol. 32, № 11. P. 3421–3428. doi: 10.1016/j.arth.2017.05.056
- **34.** Agten C.A., Sutter R., Dora C., et al. MR imaging of soft tissue alterations after total hip arthroplasty: comparison of classic surgical approaches // Eur Radiol. 2017. Vol. 27,  $N^{\circ}$  3. P. 1312–1321. doi: 10.1007/s00330-016-4455-7

## REFERENCES

- **1.** Sloan M, Premkumar A, Sheth NP. Projected volume of primary total joint arthroplasty in the U.S., 2014 to 2030. *J Bone Joint Surg Am.* 2018;100(17):1455–1460. doi: 10.2106/jbjs.17.01617
- 2. Injuries, orthopedic morbidity, the state of trauma and orthopedic care for the population of Russia in 2018: an annual statistical collection. Moscow: CITO; 2019. Available from: http://kbf.cito-priorov.ru/#s/9NnN-glg (In Russ).
- **3.** Injuries, orthopedic morbidity, the state of trauma and orthopedic care for the population of Russia in 2019: an annual statistical collection. Moscow: CITO; 2020. Available from: https://www.cito-priorov.ru/science/ezhegodnyy-statisticheskiy-sbornik-travmatizm-ortopedicheskaya-zabolevaemost-organizatsiya-travmatol/2019/ (In Russ).
- **4.** Allen KD, Thoma LM, Golightly YM. Epidemiology of osteoarthritis. *Osteoarthritis Cartilage*. 2022;30(2):184–195. doi: 10.1016/j.joca.2021.04.020
- **5.** Agarwala SR, Vijayvargiya M, Pandey P. Avascular necrosis as a part of 'long COVID-19'. *BMJ Case Rep.* 2021;14(7):e242101. doi: 10.1136/bcr-2021-242101
- **6.** Zhang S, Wang C, Shi L, et al. Beware of steroid-induced avascular necrosis of the femoral head in the treatment of COVID-19-experience and lessons from the SARS Epidemic. *Drug Des Devel Ther.* 2021;(15):983–995. doi: 10.2147/dddt.s298691
- **7.** Docter S, Philpott HT, Godkin L, et al. Comparison of intra and post-operative complication rates among surgical approaches in Total Hip Arthroplasty: A systematic review and meta-analysis. *J Orthop.* 2020;(20):310–325. doi: 10.1016/j.jor.2020.05.008
- **8.** Realyvasquez J, Singh V, Shah AK, et al. The direct anterior approach to the hip: a useful tool in experienced hands or just another approach? *Arthroplasty*. 2022;4(1):1. doi: 10.1186%2Fs42836-021-00104-5
- **9.** Gulbrandsen TR, Muffly SA, Shamrock A, et al. Total hip arthroplasty: direct anterior approach versus posterior approach in the first year of practice. *Iowa Orthop J.* 2022;42(1):127–136.
- **10.** Van der Sijp MPL, van Delft D, Krijnen P, et al. Surgical approaches and hemiarthroplasty outcomes for femoral neck fractures: A meta-analysis. *J Arthroplasty.* 2018;33(5):1617–1627. doi: 10.1016/j.arth.2017.12.029
- **11.** Wang Z, Hou J-Z, Wu C-H, et al. A systematic review and metaanalysis of direct anterior approach versus posterior approach in total hip arthroplasty. *J Orthop Surg Res.* 2018;13(1):229. doi: 10.1186/s13018-018-0929-4
- **12.** Zhou Z, Li Y, Peng Y, et al. Clinical efficacy of direct anterior approach vs. other surgical approaches for total hip arthroplasty:

- A systematic review and meta-analysis based on RCTs. *Front Surg.* 2022;(9):1022937. doi: 10.3389/fsurg.2022.1022937
- **13.** Kucukdurmaz F, Sukeik M, Parvizi J. A meta-analysis comparing the direct anterior with other approaches in primary total hip arthroplasty. *Surgeon.* 2019;17(5):291–299. doi: 10.1016/j.surge.2018.09.001
- **14.** Stone AH, Sibia US, Atkinson R, et al. Evaluation of the learning curve when transitioning from posterolateral to Direct Anterior Hip Arthroplasty: a consecutive series of 1000 cases. *J Arthroplasty*. 2018;33(8):2530–2534. doi: 10.1016/j.arth.2018.02.086
- **15.** Ponzio DY, Poultsides LA, Salvatore A, et al. In-hospital morbidity and postoperative revisions after direct anterior vs posterior Total hip Arthroplasty. *J Arthroplast*. 2018;(33):1421–1425.e1. doi: 10.1016/j.arth.2017.11.053
- **16.** Garbarino L, Gold P, Sodhi N, et al. Does structured postgraduate training affect the learning curve in direct anterior total hip arthroplasty? A single surgeon's first 200 cases. *Arthroplast Today.* 2021;(7):98–104. doi: 10.1016/j.artd.2020.11.019
- **17.** De Steiger RN, Lorimer M, Solomon M. What is the learning curve for the anterior approach for total hip arthroplasty? *Clin Orthop Relat Res.* 2015;473(12):3860–6. doi: 10.1007/s11999-015-4565-6
- **18.** Petis S, Howard JL, Lanting BL, et al. Surgical approach in primary total hip arthroplasty: anatomy, technique and clinical outcomes. *Can J Surg.* 2015;58(2):128–39. doi: 10.1503/cjs.007214
- **19.** Galakatos GR. Direct anterior total hip arthroplasty. *Mo Med.* 2018;115(6):537–541.
- **20.** Post ZD, Orozco F, Diaz-Ledezma C, et al. Direct anterior approach for total hip arthroplasty: indications, technique, and results. *J Am Acad Orthop Surg.* 2014;22(9):595–603. doi: 10.5435/jaaos-22-09-595
- **21.** LROI report. *Annual report Dutch Arthroplasty Register*; 2021.
- **22.** Khan IA, Magnuson JA, Arshi A, et al. Direct anterior approach in hip hemiarthroplasty for femoral neck fractures: do short-term outcomes differ with approach?: a systematic review and meta-analysis. *JBJS Rev.* 2022;10(9). doi: 10.2106/jbjs.rvw.21.00202
- **23.** Gazendam A, Bozzo A, Ekhtiari S, et al. Short-term outcomes vary by surgical approach in total hip arthroplasty: a network meta-analysis. *Arch Orthop Trauma Surg.* 2022;142(10):2893–2902. doi: 10.1007/s00402-021-04131-4
- **24.** Martusiewicz A, Delagrammaticas D, Harold RE, et al. Anterior versus posterior approach total hip arthroplasty: patient-reported and functional outcomes in the early postoperative period. *Hip Int.* 2020;(30):695–702. doi: 10.1177/1120700019881413
- **25.** Gofton WT, Ibrahim MM, Kreviazuk CJ, et al. Ten-Year experience with the anterior approach to total hip arthroplasty at

- a Tertiary Care Center. *J Arthroplasty.* 2020;35(5):1281–1289.e1. doi: 10.1016/j.arth.2019.12.025
- **26.** Xu Z, Zhang J, Li J, et al. Direct anterior approach in total hip arthroplasty: more indications and advantages than we found. *Arthroplasty*. 2022;4(1):29. doi: 10.1186/s42836-022-00130-x
- **27.** Liu Z, Bell CD, Ong AC, et al. Direct anterior approach total hip arthroplasty for Crowe III and IV dysplasia. *Arthroplast Today*. 2020;6(2):251–256. doi: 10.1016/i.artd.2020.02.008
- **28.** Liu ZY, Li ZQ, Wu ST, et al. Subtrochanteric osteotomy in direct anterior approach total hip arthroplasty. *Orthop Surg.* 2020;12(6):2041–2047. doi: 10.1111/os.12744
- **29.** Huerfano E, Bautista M, Huerfano M, et al. Use of surgical approach is not associated with instability after primary total hip arthroplasty: a meta-analysis comparing direct anterior and posterolateral approaches. *J Am Acad Orthop Surg.* 2021;29(22):e1126–e1140. doi: 10.5435/jaaos-d-20-00861
- **30.** Zijlstra WP, De Hartog B, Van Steenbergen LN, et al. Effect of femoral head size and surgical approach on risk of revision for

- dislocation after total hip arthroplasty. *Acta Orthop.* 2017;88(4):395–401. doi: 10.1080/17453674.2017.1317515
- **31.** Rykov K, Meys TWGM, Knobben BAS, et al. MRI assessment of muscle damage after the posterolateral versus direct anterior approach for THA (Polada Trial). A randomized controlled trial. *J Arthroplasty*. 2021;36(9):3248–3258.e1. doi: 10.1016/j.arth.2021.05.009
- **32.** Patel N, Golwala P. Approaches for total hip arthroplasty: a systematic review. *Cureus*. 2023;15(2):e34829. doi: 10.7759/cureus.34829 **33.** Zhao HY, Kang PD, Xia YY, et al. Comparison of early functional recovery after total hip arthroplasty using a direct anterior or posterolateral approach: a randomized controlled trial. *J Arthroplasty*. 2017;32(11):3421–3428. doi: 10.1016/j.arth.2017.05.056
- **34.** Agten CA, Sutter R, Dora C, et al. MR imaging of soft tissue alterations after total hip arthroplasty: comparison of classic surgical approaches. *Eur Radiol.* 2017;27(3):1312–1321. doi: 10.1007/s00330-016-4455-7

## ОБ АВТОРАХ

## Ерёмин Иван Константинович,

врач травматолог-ортопед; ORCID: 0000-0002-0992-0706; eLibrary SPIN: 9019-4184; e-mail: eremindoctor@yandex.ru

## Огарёв Егор Витальевич, к.м.н.,

врач-рентгенолог, старший научный сотрудник; ORCID: 0000-0003-0621-1047;

e-mail: evogarev@yandex.ru

#### \* Данильянц Армен Альбертович, студент;

адрес: Россия, 117997, г. Москва, ул. Островитянова, дом 1;

ORCID: 0000-0001-6692-0975; e-mail: armendts@mail.ru

#### Жандаров Кирилл Александрович, к.м.н., доцент;

ORCID: 0000-0002-2908-6990; eLibrary SPIN: 5846-8200;

e-mail: zhandarov\_k\_a@staff.sechenov.ru

#### Загородний Николай Васильевич, д.м.н., профессор,

член-корреспондент РАН, врач травматолог-ортопед;

ORCID: 0000-0002-6736-9772; eLibrary SPIN: 6889-8166; e-mail: zagorodniy51@mail.ru

## **AUTHORS' INFO**

#### Ivan K. Eremin,

orthopedic traumatologist; ORCID: 0000-0002-0992-0706; eLibrary SPIN: 9019-4184; e-mail: eremindoctor@yandex.ru

Egor V. Ogarev, MD, Cand. Sci. (Med.),

radiologist, senior researcher; ORCID: 0000-0003-0621-1047; e-mail: evogarev@yandex.ru

#### \* Armen A. Daniliyants, student;

address: 1 Ostrovityanova str., Moscow, 117997, Russia;

ORCID: 0000-0001-6692-0975; e-mail: armendts@mail.ru

Kirill A. Zhandarov, MD, Cand. Sci. (Med.), assistant professor;

ORCID: 0000-0002-2908-6990; eLibrary SPIN: 5846-8200;

e-mail: zhandarov\_k\_a@staff.sechenov.ru

Nikolay V. Zagorodniy, MD, Dr. Sci. (Med.), Professor,

Corresponding member of RAS, traumatologist-orthopedist;

ORCID: 0000-0002-6736-9772; eLibrary SPIN: 6889-8166; e-mail: zagorodniy51@mail.ru

<sup>\*</sup> Автор, ответственный за переписку / Corresponding author

DOI: https://doi.org/10.17816/vto430259

## Анализ среднесрочных результатов коррекции вальгусной деформации первого пальца стопы

А.В. Скребцов<sup>2</sup>, В.К. Никитина<sup>2</sup>, В.Г. Процко<sup>1,2</sup>, С.К. Тамоев<sup>2</sup>, В.В. Скребцов<sup>2</sup>, Д.С. Якушев<sup>3</sup>

- 1 Российский университет дружбы народов, Москва, Российская Федерация;
- <sup>2</sup> Городская клиническая больница им. С.С. Юдина, Москва, Российская Федерация;
- <sup>3</sup> Федеральный научно-клинический центр специализированных видов медицинской помощи и медицинских технологий, Москва, Российская Федерация

## **RNJATOHHA**

**Обоснование.** Вальгусная деформация первого пальца стопы является одной из наиболее часто встречаемых деформаций стопы. На сегодняшний день для коррекции данной деформации предложено множество методик, но одной из наиболее часто используемых является остеотомия Scarf первой плюсневой кости, которая дополняется остеотомией Akin проксимальной фаланги первого пальца. В данной публикации приводится анализ среднесрочных результатов коррекции деформации первого пальца стопы.

Цель. Анализ среднесрочных результатов коррекции вальгусного отклонения первого пальца стопы при использовании остеотомии Scarf и комбинации остеотомий Scarf и Akin и сравнение их с результатами, описанными в литературе. Методы. Данное исследование является обсервационным одномоментным. В исследование были включены 129 пациентов (147 стоп), которым была выполнена коррекция деформаций переднего отдела стопы в период с января по декабрь 2017 года. Исследовались клинические, рентгенологические показатели с помощью шкал AOFAS, FFI, визуально-аналоговой шкалы ВАШ и вопросов, касающихся субъективной оценки пациентами проведённого лечения. Результаты. Результаты исследования отобразили увеличение показателей шкалы AOFAS с 59,0 (16-88, SD=18,6) до оперативного вмешательства до 85,0 (53–100, SD=13,3) (p <0,001) через 5 лет после проведённой коррекции. Показатели ВАШ снизились с 5.7 (0–10. SD=2.2) до 2.4 (0–5. SD=1.4) (p <0.001). Показатели шкалы FFI также изменились с 40,9 (10–78, SD=18,1) до 11,3 (0–19, SD=5,0) (p <0,001) после хирургического лечения. Согласно проведённому анкетированию, 96,7% пациентов согласились бы на повторное проведение операции, 96,9% прооперированных посоветовали бы данное хирургическое вмешательство родственникам, а 94,6% были довольны эстетическим результатом операции. 95,4% пациентов были удовлетворены проведённым лечением с точки зрения исчезновения болевого синдрома и дискомфорта. 98,4% проконсультированных пациентов были довольны функциональными результатами проведённого хирургического вмешательства. Рентгенологические показатели углов HVA, IMA и положение сесамовидных костей по шкале Hardy and Clapham также свидетельствуют о хороших среднесрочных результатах с минимальным числом рецидивов. Ограничение подвижности в первом плюснефаланговом суставе отмечалось в 68 случаях (46,3%). В 4 случаях (2,7%) имело место осложнение в виде поверхностного воспаления мягких тканей. В 1 случае отмечалось ятрогенное варусное отклонение первого пальца стопы. В 34 случаях (23,1%) у пациентов было выполнено удаление металлофиксаторов. В 17 случаях (11,6%) удаление было произведено в течение 1 года.

**Заключение.** Остеотомия Scarf, как отдельно, так и в сочетании с остеотомией Akin, является эффективным способом коррекции вальгусной деформации первого пальца стопы.

Ключевые слова: hallux valgus; остеотомия Scarf; остеотомия Akin; вальгусная деформация первого пальца.

## Как цитировать:

Скребцов А.В., Никитина В.К., Процко В.Г., Тамоев С.К., Скребцов В.В., Якушев Д.С. Анализ среднесрочных результатов коррекции вальгусной деформации первого пальца стопы // Вестник травматологии и ортопедии им. Н.Н. Приорова. 2023. Т. 30, № 3. С. 315–324. DOI: https://doi.org/10.17816/vto430259

Рукопись получена: 24.05.2023 Рукопись одобрена: 05.09.2023 Опубликована: 14.09.2023



DOI: https://doi.org/10.17816/vto430259

# Analysis of medium-term outcomes after surgical correction hallux valgus deformity

Alexander V. Skrebtsov<sup>2</sup>, Victoria K. Nikitina<sup>2</sup>, Victor G. Protsko<sup>1,2</sup>, Sargon K. Tamoev<sup>2</sup>, Vladimir V. Skrebtsov<sup>2</sup>, Denis S. Yakushev<sup>3</sup>

#### **ABSTRACT**

**BACKGROUND:** One of the most prevalent foot abnormalities is valgus deformity of the first toe. Many procedures have been proposed to correct this deformity, but one of the most Scarf osteotomy of the first metatarsal bone, which is complemented by the Akin osteotomy of the proximal phalanx of the first finger, is one of the most widely used. This publication analyzes the mid-term effect of repairing the deformity of the first toe using the methods described above.

**AIMS:** To evaluate the mid-term outcomes of hallux valgus correction using Scarf osteotomy and the combination of Scarf and Akin osteotomies to the literature.

**MATERIALS AND METHODS:** This is a cross-sectional, observational study. From January to December 2017, 129 patients (147 ft.) received forefoot deformity. Clinical and radiographic parameters were studied using the AOFAS, FFI, and VAS scales and questions related to the subjective assessment of patients by the treatment.

**RESULTS:** The study's findings revealed an increase in AOFAS scores from 59.0 (16–88, SD=18.6) before surgery to 85.0 (53–100, SD=13.3; p <0.001) 5 yr later. The VAS scores fell from 5.7 (0–10, SD=2.2) to 2.4 (0–5, SD=1.4; p <0.001). After surgery, the FFI scale score decreased from 40.9 (10–78, SD=18.1) to 11.3 (0–19, SD=5.0; p <0.001). According to the survey, 96.7% of patients would agree to a second operation, 96.9% of those who had surgery would recommend it to their relatives, and 94.6% were satisfied with the aesthetic result of the operation. Most patients (95.4%) were satisfied with the treatment in terms of the disappearance of pain and discomfort. The functional results of the surgical surgery were satisfactory to 98.4% of the patients who were consulted. Radiographic HVA, IMA angle, and Hardy and Clapham sesamoid position scores all indicated favorable mid-term outcomes with no deformity recurrence. In 46.3% of patients (68 patients), there was limited mobility in the first metatarsophalangeal joint. A complication in superficial soft tissue irritation occurred in four patients (2.7%). latrogenic varus deviation of one toe was observed in one patient. Metal fixators were removed from patients in 34 patients (23.1%). The removal was completed within a year in 17 cases (11.6%).

**CONCLUSIONS:** Scarf osteotomy, alone or in combination with Akin osteotomy, is a successful treatment for hallux valgus.

Keywords: hallux valgus; Scarf osteotomy; Akin osteotomy; valgus deformity of the great toe.

#### To cite this article:

Skrebtsov AV, Nikitina VK, Protsko VG, Tamoev SK, Skrebtsov VV, Yakushev DS. Analysis of medium-term outcomes after surgical correction hallux valgus deformity. N.N. Priorov Journal of Traumatology and Orthopedics. 2023;30(3):315–324. DOI: https://doi.org/10.17816/vto430259

Received: 24.05.2023 Accepted: 05.09.2023 Published: 14.09.2023



<sup>&</sup>lt;sup>1</sup> Russian Peoples' Friendship University, Moscow, Russian Federation;

<sup>&</sup>lt;sup>2</sup> Yudin City Clinical Hospital, Moscow, Russian Federation;

<sup>&</sup>lt;sup>3</sup> Federal Scientific and Clinical Center of Specialized Types of Medical Care and Medical Technologies, Moscow, Russian Federation

## ОБОСНОВАНИЕ

Hallux valgus является одной из наиболее частых деформаций переднего отдела стопы и представляет собой латеральную девиацию основной фаланги первого пальца с медиальным отклонением первой плюсневой кости [1] (рис. 1). Согласно данным литературы, вальгусное отклонение первого пальца стопы встречается у 3-4% от всей популяции [2, 3]. Результаты других авторов свидетельствуют о том, что данная деформация отмечается у 23-44% всех половозрелых женщин [4]. Основными жалобами пациентов являются косметический дефект, болевой синдром и ухудшение качества жизни в целом [5]. В настоящее время остеотомия Scarf является наиболее часто применяемой хирургической техникой для коррекции вальгусного отклонения первого пальца стопы. Данная методика используется как изолированно, так и при применении остеотомии Akin. Однако на сегодняшний день только остеотомия Akin используется редко [6]. В большинстве случаев как краткосрочные, так и более длительные результаты показали сравнимую эффективность применения комбинации данных методик [7, 8]. При этом чётких рекомендаций к применению остеотомии Akin нет [9, 10]. Исходя из этого, в данном исследовании нами было принято решение не разделять пациентов с проведёнными остеотомиями Scarf и Scarf в комбинации с Akin на разные группы.

**Цель исследования** — анализ среднесрочных результатов коррекции вальгусного отклонения первого пальца стопы при использовании остеотомии Scarf и комбинации остеотомий Scarf и Akin и сравнение их с результатами, описанными в литературе.

## **МАТЕРИАЛЫ И МЕТОДЫ**

## Дизайн исследования

Проведено обсервационное одномоментное исследование.



Рис. 1. Вальгусная деформация первого пальца обеих стоп.

Fig. 1. Valgus deformity of the first ray of both feet.

## Критерии соответствия

Критерии включения:

- возраст от 18 лет;
- вальгусная деформация первого пальца стопы (угол HVA >16 и <45 градусов, M1–M2 >10 градусов);
- подпись пациентом информированного согласия на участие в исследовании.

#### Критерии исключения:

- тяжёлые деформации переднего отдела стопы, требующие дополнительных хирургических вмешательств;
- артродезы смежных суставов;
- наличие ожирения;
- наличие ранее перенесённых вмешательств на переднем отделе стопы;
- возраст младше 18 лет, так как ювенильная деформация hallux valgus выделяется в отдельную патологию;
- отсутствие полного комплекта рентгенологического обследования;
- сопутствующие хронические заболевания (сахарный диабет, заболевания ревматологического профиля);
- отказ пациента от участия в исследовании.

## Условия проведения

Исследование проведено в период с декабря 2022 по апрель 2023 года, когда были осуществлены консультативные осмотры 129 пациентов, которым выполнили 147 оперативных вмешательств, направленных на коррекцию вальгусной деформации первого пальца. Хирургическое лечение было проведено в период с января по декабрь 2017 г. в Городской клинической больнице им. С.С. Юдина Департамента здравоохранения города Москвы.

#### Описание медицинского вмешательства

Все операции выполняли под комбинированной спинально-эпидуральной анестезией. После наложения жгута Мартенса применяли медиально-боковой доступ в положении пациента лёжа на спине. Выполняли капсулотомию первого плюснефалангового сустава. При помощи осцилляторной пилы выполняли фигурную Z-образную остеотомию первой плюсневой кости. После коррекции положения производилась фиксация 2 спонгиозными винтами Герберта. При интраоперационной недостаточной коррекции положения первого пальца или неправильной ротации первого пальца выполняли остеотомию Akin. Профилактику инфекционных осложнений осуществляли с помощью интраоперационного введения антибактериальных препаратов (цефалоспорины I поколения).

Послеоперационное ведение пациентов осуществлялось по единому протоколу. На вторые сутки после оперативного вмешательства пациента активизировали в специализированной обуви с разгрузкой переднего отдела стопы (обувь Барука). Перевязка послеоперационных ран выполнялась через 1 день с применением растворов антисептиков. В послеоперационном периоде пациент передвигался в обуви Барука на протяжении 6 недель.

## Основной исход исследования

В исследовании проведён анализ среднесрочных результатов. За границы наблюдения нами были приняты следующие сроки: краткосрочные наблюдения — от 30 до 60 месяцев, среднесрочные — 60—150 месяцев, долгосрочные — более 150 месяцев [11].

## Дополнительные исходы исследования

Анализ в подгруппах

Дополнительный анализ в подгруппах не проводился.

Методы регистрации исходов

Контрольные осмотры проводились сотрудниками, не принимавшими участие в лечении пациентов. Оценивались такие рентгенологические параметры, как плюснефаланговый угол HVA (англ. Hallux valgus angle), межплюсневый угол IMA (англ. Intermetatarsal angle), положения сесамовидных костей по шкале Hardy and Clapham, а также результаты анкетирования по визуально-аналоговой шкале ВАШ, шкалам AOFAS (англ. American Orthopaedic Foot & Ankle Society) для переднего отдела стопы и FFI (англ. Foot Function Index). Производился опрос пациентов для оценки их удовлетворённости проведённым лечением — с точки зрения исчезновения боли и дискомфорта, эстетики и внешнего вида стопы в послеоперационном периоде, функциональных результатов лечения. Также пациентам были заданы следующие вопросы: «Посоветовали ли бы вы данное лечение вашим родственникам?» и «Согласились ли бы вы на проведение данного вмешательства снова?»

За норму объёма движений в первом плюснефаланговом суставе принимался объём движения 120 градусов (диапазон — 45 градусов сгибания и 75 градусов разгибания) [12]. За умеренное ограничение движения — диапазон движений в пределах 30–74 градусов. За грубое нарушение движения — объём движения менее 30 градусов.

#### Этическая экспертиза

Этическую экспертизу не проводили. Все пациенты, участвовавшие в исследовании, подписали письменное информированное добровольное согласие на медицинское вмешательство и публикацию результатов исследования.

## Статистический анализ

Полученные в процессе выполнения работы клинические результаты анализировали посредством программной системы Jamovi 2.2.5 Проводилась проверка нормальности распределения при помощи критерия

Шапиро—Уилка. Оценка внутригрупповой динамики количественных признаков проводилась при помощи критерия Вилкоксона и парного критерия Стьюдента. Критерий Вилкоксона использовался при анализе показателей HVA, IMA, ВАШ, шкалы AOFAS. Парный критерий Стьюдента применялся для анализа результатов шкалы FFI (критерий Шапиро—Уилка, p=0,199). Использовался коэффициент ранговой корреляции Спирмена. Различия принимали за статистически значимые при p <0,05. Размер выборки пациентов предварительно не рассчитывался.

## РЕЗУЛЬТАТЫ

## Объекты (участники) исследования

В исследование включены 129 пациентов, из них 120 (93%) женщин и 9 (7%) мужчин. Возраст пациентов в группе наблюдения варьировал от 29 до 73 лет. Средний возраст составил 49,2 года. Все 18 двусторонних оперативных вмешательств по коррекции вальгусной деформации первого пальца стопы были проведены у женщин.

## Основные результаты исследования

Согласно проведённому анкетированию, 96,7% пациентов согласились бы на повторное проведение операции, 96,9% прооперированных посоветовали бы данное хирургическое вмешательство родственникам, а 94,6% были довольны эстетическим результатом операции. Большая часть пациентов, а именно 95,4%, были удовлетворены проведённым лечением с точки зрения исчезновения болевого синдрома и дискомфорта. 98,4% проконсультированных пациентов были довольны функциональными результатами проведённого хирургического вмешательства.

Показатели шкалы AOFAS возросли с 59,0 (16–88, SD=18,6) до оперативного вмешательства до 85,0 (53–100, SD=13,3) (p <0,001) спустя 5 лет после проведённого лечения, направленного на коррекцию вальгусного отклонения первого пальца стопы.

Показатели ВАШ снизились с 5,7 (0–10, SD=2,2) до 2,4 (0–5, SD=1,4) (p <0,001).

Результаты тестирования по индексу FFI также показали снижение с 40,9 (10–78, SD=18,1) до 11,3 (0–19, SD=5,0) (p <0,001) после хирургического вмешательства.

Рентгенологические результаты исследования продемонстрировали значимую коррекцию показателей межплюсневого угла, плюснефалангового угла и положения сесамовидных костей по шкале Hardy and Clapham.

Среднее значение HVA до оперативного вмешательства составляло 29 градусов (17–44, SD=7,4), сразу после оперативного вмешательства анализ послеоперационных рентгенограмм позволил определить среднее значение HVA равным 9 градусам (2–14, SD=2,4) (p <0,001), на момент консультативного приёма через 5 лет среднее значение HVA было равно 10 градусам (0–20, SD=3,8) (p=0,588). Межплюсневый угол IMA в группе пациентов до хирургической коррекции был равен 14 градусам (10–17, SD=2,4),

Таблица 1. Положение сесамовидных костей по шкале Hardy and Clapham

**Table 1.** Position of sesamoid bones according to the Hardy and Clapham scale

Положение сесамовидных костей	До оперативного вмешательства, стоп (%)	Сразу после оперативного вмешательства, стоп (%)	На момент консультативного приёма, стоп (%)
1	0 (0,0)	70 (47,6)	42 (28,6)
II	0 (0,0)	63 (42,9)	84 (57,1)
III	15 (10,2)	14 (9,5)	21 (14,3)
IV	92 (62,6)	0 (0,0)	0 (0,0)
٧	34 (23,1)	0 (0,0)	0 (0,0)
VI	6 (4,1)	0 (0,0)	0 (0,0)
VII	0 (0,0)	0 (0,0)	0 (0,0)

сразу после оперативного вмешательства — 7 градусам (4–10, SD=1,7) (p <0,001), на момент консультативного приёма — 7 градусам (1–22, SD=3,53) (p=0,085).

Анализ положения сесамовидных костей по шкале Hardy and Clapham до и после оперативного вмешательства показал значимые изменения в выборке (*p* <0,001). При анализе положения сесамовидных костей на рентгенограммах, выполненных сразу после хирургической коррекции и накануне контрольного осмотра через 5 лет после проведённого лечения, обнаружены слабые различия положения сесамовидных костей, что отображает устойчивость его коррекции (табл. 1).

## Дополнительные результаты исследования

Нежелательные явления

Нами не было отмечено случаев остеонекроза головок первых плюсневых костей.

На контрольном осмотре в 68 случаях (46,3%) отмечалось ограничение подвижности первого плюснефалангового сустава. В 51 случае (34,7%) наблюдалось умеренное ограничение движений, на 9 стопах (6%) отмечалось грубое ограничение движений (объём движений <30 градусов).

Проанализировав истории болезни пациентов, мы обнаружили, что в 4 случаях (2,7%) имело место осложнение в виде поверхностного воспаления мягких тканей. Пациентам были назначены антибактериальные препараты — цефалоспорины 2-го поколения, ежедневные перевязки с антисептиками. После проведённого консервативного лечения явления воспаления были купированы.

Ятрогенное варусное отклонение первого пальца стопы наблюдалось в 1 случае. Однако данная деформация не сопровождалась болевым синдромом, жалобами на затруднения в подборе обуви и нарушение качества жизни в целом.

Случаев периимплантных переломов выявлено не было. Также не потребовалось проведения ревизионных оперативных вмешательств.

В 17 случаях (11,6%) в течение первого года потребовалось удаление винтов ввиду их миграции. На момент осмотра в 34 случаях (23,1%) было выполнено удаление металлофиксаторов. После проведённого контрольного

осмотра 5 пациентам — 5 стоп (3,4%) — было запланировано хирургическое вмешательство для удаления металлофиксаторов (рис. 2).

## ОБСУЖДЕНИЕ

## Резюме основного результата исследования

Среднесрочные рентгенологические и клинические результаты проведённого лечения пациентов, которым была выполнена остеотомия Scarf, как изолированно, так и в совокупности с остеотомией Akin, показали высокую эффективность коррекции вальгусной деформации первого пальца стопы. Данные результаты сопровождались минимальным количеством осложнений и рецидивов.

## Обсуждение основного результата исследования

Анализ рентгенологических и клинических результатов проведённого лечения свидетельствует об эффективности



**Рис. 2.** Рентгенограмма стоп через 5 лет после оперативного вмешательства. Удалённые металлофиксаторы первой плюсневой кости обеих стоп.

**Fig. 2.** Radiographs of feet 5 years after the surgical treatment. Screws removed from the 1<sup>st</sup> metatarsal bones of both feet.

метода остеотомии Scarf — как изолированно, так и в сочетании с остеотомией Akin. Одной из задач этого исследования было рассмотреть наличие рецидива у пациентов после хирургического вмешательства. Рецидив вальгусной деформации первого пальца стопы является серьёзным осложнением проведённого хирургического вмешательства [13]. Частота рецидивов, согласно данным литературы, при использовании традиционной методики остеотомии Scarf составляет от 11 до 33% [14, 15]. Рецидив вальгусной деформации чаще всего наблюдается в сроки от 1,5 до 2,8 года.

В литературе не существует единого мнения о том, что считать рецидивом вальгусной деформации первого пальца. Имеются данные как о 15, так и о 20 градусах деформации в первом плюснефаланговом суставе [16, 17]. При этом также не имеется однозначного мнения, представляет ли безболевая форма рецидива вальгусной деформации патологию и является ли это абсолютным показанием к повторному оперативному вмешательству. Fuhrmann с соавт. для безболевой формы рецидива вальгусной деформации первого пальца стопы был предложен термин «revalgisation» («ревальгизация») [18]. В нашем исследовании за понятие «рецидив» был принят рентгенологический показатель HVA более 20 градусов. При анализе рентгенологических снимков, сделанных непосредственно перед консультативным приёмом, в 7 случаях (4,8%) определялись показатели HVA, соответствующие понятию «рецидив». При этом болевой синдром наблюдался у 6 пациентов (4%). Данные показатели соответствуют результатам, описанным в литературе [9, 19]. В единственном случае рецидив клинически не проявлялся и не вызывал у пациентов дискомфорта или болевых ощущений. Также имеются данные о том, что конгруэнтность суставных поверхностей, а не показатель вальгусной деформации первого пальца стопы является определяющим фактором в возникновении рецидива [14]. Ещё одной особенностью рентгенологической оценки вальгусной деформации первого пальца стопы является значимое межэкспертное расхождение результатов при рентгенологическом анализе [20]. Несмотря на имеющиеся публикации о высоких как предоперационных, так и постоперационных рисках, результаты нашего анализа свидетельствуют о высоком уровне коррекции при использовании методики остеотомии Scarf, как отдельно, так и в совокупности с остеотомией Akin [4].

Ещё одним осложнением после вальгусной деформации первого пальца стопы является ограничение подвижности в первом плюснефаланговом суставе [21]. В нашем исследовании снижение объёма движений наблюдалось при обследовании 68 стоп (46,2%). Также установлена высокая корреляция между возрастом и ограничением подвижности в первом плюснефаланговом суставе (p < 0,001; rho=0,726). Однако в большинстве случаев пациенты не предъявляли жалоб на снижение объема движений и были удовлетворены проведённым хирургическим

вмешательством. Это подтверждается 98,4% пациентов, которых устраивает функциональный результат проведённых оперативных вмешательств на момент контрольного осмотра. С увеличением количества выполняемых хирургических вмешательств на переднем отделе стопы вопрос тугоподвижности в первом плюснефаланговом суставе становится актуальным, и данному вопросу в последнее время в литературе уделяется большое внимание [22]. Примером альтернативы классической хирургической методики может послужить малоинвазивная хирургия. Считается, что малоинвазивная хирургия снижает частоту осложнений за счёт бережного отношения к мягким тканям и уменьшения образования рубцов в области оперативного вмешательства в послеоперационном периоде [23]. Однако данная методика имеет как положительные, так и отрицательные результаты и принимается не всеми хирургами [24, 25]. Также для предотвращения тугоподвижности в первом плюснефаланговом суставе немаловажной является послеоперационная реабилитация. Реабилитация после оперативных вмешательств на переднем отделе стопы включает широкий перечень мер, применение которых обеспечивает восстановление объёма движений, функции сустава и профилактику тугоподвижности [26]. Отдельно обсуждается использование обуви для разгрузки переднего отдела стопы. Это позволяет активизировать пациента в максимально ранние сроки и снижает риск переломов и смещения фрагментов [27]. Только 4 пациента, включённые в наше исследование, прошли реабилитационный курс в специализированном центре. При этом их функциональные результаты являются удовлетворительными. Однако данной группы недостаточно, чтобы можно было сделать статистически значимые выводы. В остальных случаях послеоперационный период проводился согласно нашим рекомендациям и под наблюдением врача-травматолога в травмпункте по месту жительства, где не всегда имеется возможность получать физиотерапевтическое лечение. Данное направление нуждается в широком внедрении в практику специалистов, занимающихся хирургией стопы, как один из главных помощников для достижения хороших послеоперационных результатов.

В послеоперационном периоде, согласно рентгенологической классификации остеоартроза мелких суставов стопы, в нашем исследовании отмечается прогрессирование рентгенологических признаков остеоартроза [28]. В предоперационном периоде в 4 случаях (2,7%), включённых в исследование, отмечался остеоартроз, соответствующий 1-й стадии активности процесса. В 61 случае (41,5%) наблюдались явления остеоартроза 2-й стадии. В 70 случаях (47,6%) отмечались рентгенологические признаки остеоартроза 3-й стадии. В 12 (8,2%) случаях наблюдались изменения в 1-м плюснефаланговом суставе, соответствующие 4-й стадии остеоартроза. В послеоперационном периоде отмечались следующие показатели: 1-я стадия — 2 случая (1,4%), 2-я стадия — 53 случая

(36%), 3-я стадия — 81 случай (55,1%), 4-я стадия — 11 случаев (7,5%). При этом болезненность отмечалась в 22 случаях (14,9%) после оперативного вмешательства. У остальных пациентов с рентгенологическими признаками остеоартроза после оперативного вмешательства клинической симптоматики не наблюдалось. Прогрессирование остеоартроза первого плюснефалангового сустава отмечается не только после остеотомии Scarf. Имеются также публикации об остеоартрозе суставов стопы после других хирургических вмешательств для коррекции деформаций стопы [29].

Согласно проведённому анализу, в 23,1% случаев было выполнено удаление металлофиксаторов. В 17 (11,6%) случаях в течение первого года потребовалось удаление винтов ввиду их миграции. На момент осмотра в 34 случаях (23,1%) было выполнено удаление имплантатов. После проведённого контрольного осмотра 5 пациентам (3,4%) было запланировано хирургическое вмешательство для удаления имплантатов. Удаление имплантатов несёт в себе возможные периоперационные риски и дополнительные расходы. В литературе описана безвинтовая фиксация фигурной остеотомии плюсневой кости, которая, согласно исследованиям, показала хорошие результаты [30, 31]. Несмотря на хорошие результаты, данная методика пока не является широко распространённой. Основной причиной поиска альтернатив фиксации винтами, помимо возможных осложнений, также являются экономические аспекты [32].

В нашей выборке пациентов частота удаления металлофиксаторов выше, чем в литературе [33]. Во многих публикациях, освещающих результаты проведённого лечения, как среднесрочные, так и отдалённые, миграция металлоконструкций не упоминается как осложнение после хирургического вмешательства [13, 33]. В литературе описаны схожие результаты удаления винтов, однако они встречаются в долгосрочных наблюдениях [8]. Ввиду нарушения качества жизни пациентов результаты данного исследования рекомендуют плановое удаление металлофиксаторов у пациентов после хирургических вмешательств на стопе и голеностопном суставе [34]. Однако данная гипотеза требует дальнейшего изучения.

## Ограничения исследования

Переднезадняя рентгенография не отображает истинную ротацию проксимальной фаланги первой плюсневой кости, что не позволяет достоверно определить показания для остеотомии Akin. Ввиду того, что единственным возможным способом измерить истинную ротацию основной фаланги первого пальца является компьютерная томография стоп с нагрузкой, одним из условий

предоперационного планирования может являться предоперационное проведение данного исследования. Компьютерная томография стоп с нагрузкой в будущем позволит сформулировать показания для остеотомии Akin на основании не только вальгусного отклонения первого пальца, но и ротационного компонента деформации.

## ЗАКЛЮЧЕНИЕ

На основании проведённого анализа можно утверждать, что остеотомия Scarf, как изолированно, так и в совокупности с остеотомией Akin, является эффективным методом коррекции вальгусной деформации первого пальца стопы. Данная методика позволяет добиться физиологичного положения анатомической оси первого пальца стопы с удовлетворительными результатами в среднесрочном периоде.

## **ДОПОЛНИТЕЛЬНО**

Вклад авторов. Все авторы подтверждают соответствие своего авторства международным критериям ICMJE (все авторы внесли существенный вклад в разработку концепции, проведение исследования и подготовку статьи, прочли и одобрили финальную версию перед публикацией). Наибольший вклад распределён следующим образом: А.В. Скребцов, В.К. Никитина, В.В. Скребцов, Д.С. Якушев — написание текста и редактирование статьи; В.Г. Процко, С.К. Тамоев — хирургическое лечение пациентов, написание текста и редактирование статьи.

**Источник финансирования.** Авторы заявляют об отсутствии внешнего финансирования при проведении исследования и подготовке публикации.

**Конфликт интересов.** Авторы декларируют отсутствие явных и потенциальных конфликтов интересов, связанных с проведённым исследованием и публикацией настоящей статьи.

## ADDITIONAL INFO

**Author contribution.** All authors made a substantial contribution to the conception of the work, acquisition, analysis, interpretation of data for the work, drafting and revising the work, final approval of the version to be published and agree to be accountable for all aspects of the work. A.V. Skrebtsov, V.K. Nikitina, V.V. Skrebtsov, D.S. Yakushev — writing the text and editing the article; V.G. Protsko, S.K. Tamoev — surgical treatment of patients, writing the text and editing the article.

**Funding source.** This study was not supported by any external sources of funding.

**Competing interests.** The authors declare that they have no competing interests.

## СПИСОК ЛИТЕРАТУРЫ

1. Nix S., Smith M., Vicenzino B. Prevalence of hallux valgus in the general population: A systematic review and meta-analysis // Journal

of Foot and Ankle Research. 2010. Vol. 3, Nº 1. P. 21. doi: 10.1186/1757-1146-3-21

- **2.** Dufour A.B., Casey V.A., Golightly Y.M., Hannan M.T. Characteristics associated with hallux valgus in a population-based foot study of older adults // Arthritis care & research. 2014. Vol. 66,  $N^2$  12. P. 1880–1886. doi: 10.1002/ACR.22391
- **3.** Smyth N.A., Aiyer A.A. Introduction: Why Are There so Many Different Surgeries for Hallux Valgus? // Foot and ankle clinics. 2018. Vol. 23, № 2. P. 171–182. doi: 10.1016/J.FCL.2018.01.001
- **4.** Coughlin M.J., Jones C.P. Hallux valgus: demographics, etiology, and radiographic assessment // Foot & ankle international. 2007. Vol. 28,  $\mathbb{N}^9$  7. P. 759–777. doi: 10.3113/FAI.2007.0759
- **5.** Easley M.E., Trnka H.J. Current concepts review: hallux valgus part 1: pathomechanics, clinical assessment, and nonoperative management // Foot & ankle international. 2007. Vol. 28, № 5. P. 654–659. doi: 10.3113/FAI.2007.0654
- **6.** Kaufmann G., Hofmann M., Ulmer H., Putzer D., Hofer P., Dammerer D. Outcomes after scarf osteotomy with and without Akin osteotomy a retrospective comparative study // Journal of orthopaedic surgery and research. 2019. Vol. 14, № 1. P. 193. doi: 10.1186/S13018-019-1241-7
- **7.** Kerr H.L., Jackson R., Kothari P. Scarf-Akin osteotomy correction for hallux valgus: short-term results from a district general hospital // The Journal of foot and ankle surgery. 2010. Vol. 49, № 1. P. 16–19. doi: 10.1053/J.JFAS.2009.07.024
- **8.** Kilmartin T.E., O'Kane C. Combined rotation scarf and Akin osteotomies for hallux valgus: a patient focussed 9 year follow up of 50 patients // Journal of foot and ankle research. 2010. № 3. P. 2. doi: 10.1186/1757-1146-3-2
- **9.** Okuda R., Kinoshita M., Yasuda T., Jotoku T., Shima H., Takamura M. Hallux valgus angle as a predictor of recurrence following proximal metatarsal osteotomy // Journal of orthopaedic science. 2011. Vol. 16,  $N^{\circ}$  6. P. 760–764. doi: 10.1007/S00776-011-0136-1
- **10.** Park J.Y., Jung H.G., Kim T.H., Kang M.S. Intraoperative incidence of hallux valgus interphalangeus following basilar first metatarsal osteotomy and distal soft tissue realignment // Foot & ankle international. 2011. Vol. 32, № 11. P. 1058–1062. doi: 10.3113/FAI.2011.1058
- **11.** Ahmad S.S., Hoos L., Perka C., Stöckle U., Braun K.F., Konrads C. Follow-up definitions in clinical orthopaedic research: a systematic review // Bone Jt Open. 2021. Vol. 2, № 5. P. 344–350. doi: 10.1302/2633-1462.25.BJO-2021-0007.R1
- **12.** Buckup K., Buckup J. Clinical Tests for the Musculoskeletal System. 3<sup>rd</sup> edition. Thieme, 2016.
- **13.** Faroug R., Bagshaw O., Conway L., Ballester J.S. Increased recurrence in Scarf osteotomy for mild & moderate hallux valgus with Meary's line disruption // Foot and ankle surgery. 2019. Vol. 25,  $N^{\circ}$  5. P. 608–611. doi: 10.1016/J.FAS.2018.06.002
- **14.** Castioni D., Fanelli D., Gasparini G., Iannò B., Galasso O. Scarf osteotomy for the treatment of moderate to severe hallux valgus: Analysis of predictors for midterm outcomes and recurrence // Foot and ankle surgery. 2020. Vol. 26, Nº 4. P. 439–444. doi: 10.1016/J.FAS.2019.05.013
- **15.** Deveci A., Firat A., Yilmaz S., et al. Short-term clinical and radiologic results of the scarf osteotomy: what factors contribute to recurrence? // The Journal of foot and ankle surgery. 2013. Vol. 52,  $N^{\circ}$  6. P. 771–775. doi: 10.1053/J.JFAS.2013.04.003
- **16.** Jeuken R.M., Schotanus M.G.M., Kort N.P., Deenik A., Jong B., Hendrickx R.P.M. Long-term Follow-up of a Randomized Controlled Trial Comparing Scarf to Chevron Osteotomy in Hallux Valgus

- Correction // Foot & ankle international. 2016. Vol. 37, № 7. P. 687–695. doi: 10.1177/1071100716639574
- **17.** Bock P., Kluger R., Kristen K.H., Mittlbock M., Schuh R., Trnka H.J. The Scarf Osteotomy with Minimally Invasive Lateral Release for Treatment of Hallux Valgus Deformity: Intermediate and Long-Term Results // The Journal of bone and joint surgery American volume. 2015. Vol. 97, № 15. P. 1238–1245. doi: 10.2106/JBJS.N.00971
- **18.** Fuhrmann R.A., Zollinger-Kies H., Kundert H.P. Mid-term results of Scarf osteotomy in hallux valgus // International orthopaedics. 2010. Vol. 34, № 7. P. 981–989. doi: 10.1007/S00264-010-0958-Z
- **19.** Adam S.P., Choung S.C., Gu Y., O'Malley M.J. Outcomes after scarf osteotomy for treatment of adult hallux valgus deformity // Clinical orthopaedics and related research. 2011. Vol. 469,  $N^{\circ}$  3. P. 854–859. doi: 10.1007/S11999-010-1510-6
- **20.** Farber D.C., DeOrio J.K., Steel M.W. Goniometric versus computerized angle measurement in assessing hallux valgus // Foot & ankle international. 2005. Vol. 26,  $N^{\circ}$  3. P. 234–238. doi: 10.1177/107110070502600309
- **21.** Frigg A., Zaugg S., Maquieira G., Pellegrino A. Stiffness and Range of Motion After Minimally Invasive Chevron-Akin and Open Scarf-Akin Procedures // Foot & ankle international. 2019. Vol. 40,  $N^{\circ}$  5. P. 515–525. doi: 10.1177/1071100718818577
- **22.** Arbab D., Wingenfeld C., Frank D., Bouillon B., König D.P. Distal soft-tissue procedure in hallux valgus deformity // Operative Orthopadie und Traumatologie. 2016. Vol. 28,  $N^{\circ}$  2. P. 128–137. doi: 10.1007/S00064-015-0406-8
- **23.** Altenberger S., Kriegelstein S., Gottschalk O., et al. The minimally invasive Chevron and Akin osteotomy (MICA) // Operative Orthopadie und Traumatologie. 2018. Vol. 30, № 3. P. 148–160. doi: 10.1007/S00064-018-0541-0
- **24.** Neufeld S.K., Dean D., Hussaini S. Outcomes and Surgical Strategies of Minimally Invasive Chevron/Akin Procedures // Foot & ankle international. 2021. Vol. 42,  $N^{\circ}$  6. P. 676–688. doi: 10.1177/1071100720982967
- **25.** Hawson S.T. Physical therapy post-hallux abducto valgus correction // Clinics in podiatric medicine and surgery. 2014. Vol. 31,  $N^{\circ}$  2. P. 309–322. doi: 10.1016/J.CPM.2014.01.002
- **26.** Ling S.K.K., Wu Y.M., Li C., Lui T.H., Yung P.S.H. Randomised control trial on the optimal duration of non-weight-bearing walking after hallux valgus surgery // Journal of orthopaedic translation. 2020. № 23. P. 61–66. doi: 10.1016/J.JOT.2020.04.009
- **27.** Menz H.B., Munteanu S.E., Landorf K.B., Zammit G.V., Cicuttini F.M. Radiographic evaluation of foot osteoarthritis: sensitivity of radiographic variables and relationship to symptoms // Osteoarthritis and cartilage. 2009. Vol. 17,  $N^{o}$  3. P. 298–303. doi: 10.1016/J.JOCA.2008.07.011
- **28.** Faour-Martín O., Martín-Ferrero M.Á., Valverde García J.A., Vega-Castrillo A., de La Red-Gallego M.Á. Long-term results of the retrocapital metatarsal percutaneous osteotomy for hallux valgus // International Orthopaedics. 2013. Vol. 37, № 9. P. 1799—1803. doi: 10.1007/s00264-013-1934-1
- **29.** Liszka H., Gądek A. Results of Scarf Osteotomy Without Implant Fixation in the Treatment of Hallux Valgus // Foot Ankle Int. 2018. Vol. 39, № 11. P. 1320–1327. doi: 10.1177/1071100718786498
- **30.** Albert A., Zribi M., Christophe A., Leemrijse T. Fifth metatarsal scarf osteotomy without implant fixation // Orthop Traumatol Surg Res. 2021. Vol. 107,  $N^{\circ}$  6. P. 102960. doi: 10.1016/j.otsr.2021.102960

- **31.** Molloy A., Heyes G. Cost-Effectiveness of Surgical Techniques in Hallux Valgus // Foot Ankle Clin. 2020. Vol. 25, № 1. P. 19–29. doi: 10.1016/j.fcl.2019.10.005
- **32.** Jäger M., Schmidt M., Wild A., et al. Z-osteotomy in hallux valgus: clinical and radiological outcome after Scarf osteotomy // Orthop Rev (Pavia). 2009. Vol. 1. № 1. P. e4. doi: 10.4081/or.2009.e4
- **33.** Lipscombe S., Molloy A., Sirikonda S., Hennessy M.S. Scarf osteotomy for the correction of hallux valgus: midterm clinical outcome // J Foot Ankle Surg. 2008. Vol. 47, № 4. P. 273–277. doi: 10.1053/j.jfas.2008.02.021
- **34.** Williams A.A., Witten D.M., Duester R., Chou L.B. The benefits of implant removal from the foot and ankle // J Bone Joint Surg Am. 2012. Vol. 94, № 14. P. 1316–1320. doi: 10.2106/JBJS.J.01756

## REFERENCES

- 1. Nix S, Smith M, Vicenzino B. Prevalence of hallux valgus in the general population: A systematic review and meta-analysis. *Journal of Foot and Ankle Research.* 2010;3(1):21. doi: 10.1186/1757-1146-3-21
- 2. Dufour AB, Casey VA, Golightly YM, Hannan MT. Characteristics associated with hallux valgus in a population-based foot study of older adults. *Arthritis care & research.* 2014;66(12):1880–1886. doi: 10.1002/ACR.22391
- **3.** Smyth NA, Aiyer AA. Introduction: Why Are There so Many Different Surgeries for Hallux Valgus? *Foot and ankle clinics*. 2018;23(2):171–182. doi: 10.1016/J.FCL.2018.01.001
- **4.** Coughlin MJ, Jones CP. Hallux valgus: demographics, etiology, and radiographic assessment. *Foot & ankle international.* 2007;28(7):759–777. doi: 10.3113/FAI.2007.0759
- **5.** Easley ME, Trnka HJ. Current concepts review: hallux valgus part 1: pathomechanics, clinical assessment, and nonoperative management. *Foot & ankle international*. 2007;28(5):654–659. doi: 10.3113/FAI.2007.0654
- **6.** Kaufmann G, Hofmann M, Ulmer H, Putzer D, Hofer P, Dammerer D. Outcomes after scarf osteotomy with and without Akin osteotomy a retrospective comparative study. *Journal of orthopaedic surgery and research*. 2019;14(1):193. doi: 10.1186/S13018-019-1241-7
- **7.** Kerr HL, Jackson R, Kothari P. Scarf-Akin osteotomy correction for hallux valgus: short-term results from a district general hospital. *The Journal of foot and ankle surgery.* 2010;49(1):16–19. doi: 10.1053/J.JFAS.2009.07.024
- **8.** Kilmartin TE, O'Kane C. Combined rotation scarf and Akin osteotomies for hallux valgus: a patient focussed 9 year follow up of 50 patients. *Journal of foot and ankle research.* 2010;(3):2. doi: 10.1186/1757-1146-3-2
- **9.** Okuda R, Kinoshita M, Yasuda T, Jotoku T, Shima H, Takamura M. Hallux valgus angle as a predictor of recurrence following proximal metatarsal osteotomy. *Journal of orthopaedic science*. 2011;16(6):760–764. doi: 10.1007/S00776-011-0136-1
- **10.** Park JY, Jung HG, Kim TH, Kang MS. Intraoperative incidence of hallux valgus interphalangeus following basilar first metatarsal osteotomy and distal soft tissue realignment. *Foot & ankle international*. 2011;32(11):1058–1062. doi: 10.3113/FAI.2011.1058
- **11.** Ahmad SS, Hoos L, Perka C, Stöckle U, Braun KF, Konrads C. Follow-up definitions in clinical orthopaedic research: a systematic review. *Bone Jt Open.* 2021;2(5):344–350. doi: 10.1302/2633-1462.25.BJO-2021-0007.R1
- **12.** Buckup K, Buckup J. *Clinical Tests for the Musculoskeletal System*. 3<sup>rd</sup> edition. Thieme; 2016.
- **13.** Faroug R, Bagshaw O, Conway L, Ballester JS. Increased recurrence in Scarf osteotomy for mild & moderate hallux valgus with Meary's line disruption. *Foot and ankle surgery.* 2019;25(5):608–611. doi: 10.1016/J.FAS.2018.06.002
- **14.** Castioni D, Fanelli D, Gasparini G, Iannò B, Galasso O. Scarf osteotomy for the treatment of moderate to severe hallux valgus:

- Analysis of predictors for midterm outcomes and recurrence. Foot and ankle surgery. 2020;26(4):439–444. doi: 10.1016/J.FAS.2019.05.013
- **15.** Deveci A, Firat A, Yilmaz S, et al. Short-term clinical and radiologic results of the scarf osteotomy: what factors contribute to recurrence? *The Journal of foot and ankle surgery.* 2013;52(6):771–775. doi: 10.1053/J.JFAS.2013.04.003
- **16.** Jeuken RM, Schotanus MGM, Kort NP, Deenik A, Jong B, Hendrickx RPM. Long-term Follow-up of a Randomized Controlled Trial Comparing Scarf to Chevron Osteotomy in Hallux Valgus Correction. *Foot & ankle international*. 2016;37(7):687–695. doi: 10.1177/1071100716639574
- **17.** Bock P, Kluger R, Kristen KH, Mittlbock M, Schuh R, Trnka HJ. The Scarf Osteotomy with Minimally Invasive Lateral Release for Treatment of Hallux Valgus Deformity: Intermediate and Long-Term Results. *The Journal of bone and joint surgery American volume*. 2015;97(15):1238–1245. doi: 10.2106/JBJS.N.00971
- **18.** Fuhrmann RA, Zollinger-Kies H, Kundert HP. Mid-term results of Scarf osteotomy in hallux valgus. *International orthopaedics*. 2010;34(7):981–989. doi: 10.1007/S00264-010-0958-Z
- **19.** Adam SP, Choung SC, Gu Y, O'Malley MJ. Outcomes after scarf osteotomy for treatment of adult hallux valgus deformity. *Clinical orthopaedics and related research.* 2011;469(3):854–859. doi: 10.1007/S11999-010-1510-6
- **20.** Farber DC, DeOrio JK, Steel MW. Goniometric versus computerized angle measurement in assessing hallux valgus. *Foot & ankle international*. 2005;26(3):234–238. doi: 10.1177/107110070502600309
- **21.** Frigg A, Zaugg S, Maquieira G, Pellegrino A. Stiffness and Range of Motion After Minimally Invasive Chevron-Akin and Open Scarf-Akin Procedures. *Foot & ankle international.* 2019;40(5):515–525. doi: 10.1177/1071100718818577
- **22.** Arbab D, Wingenfeld C, Frank D, Bouillon B, König DP. Distal soft-tissue procedure in hallux valgus deformity. *Operative Orthopadie und Traumatologie*. 2016;28(2):128–137. doi: 10.1007/S00064-015-0406-8
- **23.** Altenberger S, Kriegelstein S, Gottschalk O, et al. The minimally invasive Chevron and Akin osteotomy (MICA). *Operative Orthopadie und Traumatologie.* 2018;30(3):148–160. doi: 10.1007/S00064-018-0541-0
- **24.** Neufeld SK, Dean D, Hussaini S. Outcomes and Surgical Strategies of Minimally Invasive Chevron/Akin Procedures. *Foot & ankle international*. 2021;42(6):676–688. doi: 10.1177/1071100720982967
- **25.** Hawson ST. Physical therapy post-hallux abducto valgus correction. *Clinics in podiatric medicine and surgery.* 2014;31(2):309–322. doi: 10.1016/J.CPM.2014.01.002
- **26.** Ling SKK, Wu YM, Li C, Lui TH, Yung PSH. Randomised control trial on the optimal duration of non-weight-bearing walking after hallux valgus surgery. *Journal of orthopaedic translation*. 2020;(23):61–66. doi: 10.1016/J.JOT.2020.04.009
- **27.** Menz HB, Munteanu SE, Landorf KB, Zammit GV, Cicuttini FM. Radiographic evaluation of foot osteoarthritis: sensitivity of

radiographic variables and relationship to symptoms. *Osteoarthritis and cartilage*. 2009;17(3):298–303. doi: 10.1016/J.JOCA.2008.07.011 **28.** Faour-Martín O, Martín-Ferrero MÁ, Valverde García JA, Vega-Castrillo A, de La Red-Gallego MÁ. Long-term results of the retrocapital metatarsal percutaneous osteotomy for hallux valgus. *International Orthopaedics*. 2013:37(9):1799–1803.

doi: 10.1007/s00264-013-1934-1

**29.** Liszka H, Gądek A. Results of Scarf Osteotomy Without Implant Fixation in the Treatment of Hallux Valgus. *Foot Ankle Int.* 2018;39(11):1320-1327. doi: 10.1177/1071100718786498

**30.** Albert A, Zribi M, Christophe A, Leemrijse T. Fifth metatarsal scarf osteotomy without implant fixation. *Orthop Traumatol Surg Res.* 2021;107(6):102960. doi: 10.1016/j.otsr.2021.102960

## **31.** Molloy A, Heyes G. Cost-Effectiveness of Surgical Techniques in Hallux Valgus. *Foot Ankle Clin.* 2020;25(1):19–29. doi: 10.1016/j.fcl.2019.10.005

- **32.** Jäger M, Schmidt M, Wild A, et al. Z-osteotomy in hallux valgus: clinical and radiological outcome after Scarf osteotomy. *Orthop Rev (Pavia)*. 2009:1(1):e4. doi: 10.4081/or.2009.e4
- **33.** Lipscombe S, Molloy A, Sirikonda S, Hennessy MS. Scarf osteotomy for the correction of hallux valgus: midterm clinical outcome. *J Foot Ankle Surg.* 2008;47(4):273–277. doi: 10.1053/j.jfas.2008.02.021
- **34.** Williams AA, Witten DM, Duester R, Chou LB. The benefits of implant removal from the foot and ankle. *J Bone Joint Surg Am.* 2012;94(14):1316–1320. doi: 10.2106/JBJS.J.01756

## ОБ АВТОРАХ

#### \* Скребцов Александр Владимирович,

врач травматолог-ортопед;

адрес: Россия. 115446. Москва. Коломенский проезд. 4:

ORCID: 0000-0002-1418-3368; eLibrary SPIN: 3682-4569; e-mail: Skrebtsovalex@mail.ru

#### Никитина Виктория Константиновна,

врач травматолог-ортопед; ORCID: 0000-0002-0064-3175; eLibrary SPIN: 9868-0332; e-mail: vcnikitina@gmail.com

## Процко Виктор Геннадьевич, д.м.н., профессор кафедры,

врач травматолог-ортопед; ORCID: 0000-0002-5077-2186; eLibrary SPIN: 4628-7919; e-mail: 89035586679@mail.ru

#### Тамоев Саргон Константинович, к.м.н.,

врач травматолог-ортопед; ORCID: 0000-0001-8748-0059; eLibrary SPIN: 2986-1390; e-mail: Sargonik@mail.ru

## Скребцов Владимир Владимирович, к.м.н.;

ORCID: 0000-0003-0833-6628; eLibrary SPIN: 6002-7102; e-mail: Skrebtsov@mail.ru

## Якушев Денис Сергеевич,

врач травматолог-ортопед; ORCID: 0000-0002-6268-9734; eLibrary SPIN: 3242-0683; e-mail: Orthoped.1@mail.ru

## **AUTHORS' INFO**

#### \* Alexander V. Skrebtsov.

traumatologist-orthopedist;

address: 4 Kolomenskiy passage, 115446, Moscow, Russia;

ORCID: 0000-0002-1418-3368; eLibrary SPIN: 3682-4569; e-mail: Skrebtsovalex@mail.ru

#### Victoria K. Nikitina,

traumatologist-orthopedist; ORCID: 0000-0002-0064-3175; eLibrary SPIN: 9868-0332; e-mail: vcnikitina@gmail.com

Viktor G. Protsko, MD, Dr. Sci. (Med.), Professor

of the Department, traumatologist-orthopedist;

ORCID: 0000-0002-5077-2186; eLibrary SPIN: 4628-7919; e-mail: 89035586679@mail.ru

## Sargon K. Tamoev, MD, Cand. Sci. (Med.);

traumatologist-orthopedist; ORCID: 0000-0001-8748-0059; eLibrary SPIN: 2986-1390; e-mail: Sargonik@mail.ru

## Vladimir V. Skrebtsov, MD, Cand. Sci. (Med.);

ORCID: 0000-0003-0833-6628; eLibrary SPIN: 6002-7102; e-mail: Skrebtsov@mail.ru

#### Denis S. Yakushev,

traumatologist-orthopedist; ORCID: 0000-0002-6268-9734; eLibrary SPIN: 3242-0683; e-mail: Orthoped.1@mail.ru

<sup>\*</sup> Автор, ответственный за переписку / Corresponding author

DOI: https://doi.org/10.17816/vto568156

# Скрининговое обследование шейного отдела позвоночника у пациентов с синдромом Дауна

А.А. Кулешов<sup>1</sup>, А.В. Губин<sup>2</sup>, В.А. Шаров<sup>1</sup>, М.С. Ветрилэ<sup>1</sup>, И.Н. Лисянский<sup>1</sup>, С.Н. Макаров<sup>1</sup>

## *RNJATOHHA*

**Обоснование.** Среди всего многообразия ортопедических патологий, характерных для пациентов с синдромом Дауна, патология шейного отдела позвоночника, на наш взгляд, является наиболее значимой. Различные варианты атланто-аксиальных дислокаций могут приводить к выраженному неврологическому дефициту и, в свою очередь, значительно снизить качество жизни этой группы пациентов.

**Цель.** Анализ результатов скринингового обследования пациентов с синдромом Дауна на предмет наличия патологии шейного отдела позвоночника.

**Материалы и методы.** Проанализированы функциональные рентгенограммы шейного отдела позвоночника в боковой проекции у 60 пациентов с синдромом Дауна в рамках скринингового обследования на базе НМИЦ ТО им. Н.Н. Приорова с мая 2021 по январь 2023 года.

**Результаты.** Из 60 пациентов, прошедших обследование, у 9 была обнаружена патология краниовертебральной области. Зубовидная кость позвонка C2 присутствовала у 3 пациентов. Различные варианты ротационных атлантоаксиальных смещений определялись у 5 пациентов, и у 1 пациентки была выявлена гипоплазия мыщелков затылочной кости в сочетании с базилярной инвагинацией зуба позвонка C2.

**Заключение.** Нестабильность верхнего шейного отдела позвоночника — потенциально самое опасное проявление ортопедической патологии при синдроме Дауна. Следовательно, прохождение скринингового обследования с выполнением функциональных рентгенограмм шейного отдела позвоночника в боковой проекции является рекомендованным для данной группы пациентов.

**Ключевые слова:** синдром Дауна; шейный отдел позвоночника; атлантоаксиальная дислокация; зубовидная кость; краниовертебральная область.

#### Как цитировать:

Кулешов А.А., Губин А.В., Шаров В.А., Ветрилэ М.С., Лисянский И.Н., Макаров С.Н. Скрининговое обследование шейного отдела позвоночника у пациентов с синдромом Дауна // Вестник травматологии и ортопедии им. Н.Н. Приорова. 2023. Т. 30, № 3. С. 325–334. DOI: https://doi.org/10.17816/vto568156

Рукопись получена: 08.08.2023 Рукопись одобрена: 26.09.2023 Опубликована: 28.09.2023



<sup>&</sup>lt;sup>1</sup> Национальный медицинский исследовательский центр травматологии и ортопедии им. Н.Н. Приорова, Москва. Российская Федерация:

<sup>&</sup>lt;sup>2</sup> Санкт-Петербургский государственный университет, клиника высоких медицинских технологий им. Н.И. Пирогова, Санкт-Петербург, Российская Федерация

DOI: https://doi.org/10.17816/vto568156

# Screening examination of the cervical spine in patients with Down syndrome

Alexander A. Kuleshov<sup>1</sup>, Alexander V. Gubin<sup>2</sup>, Vladislav A. Sharov<sup>1</sup>, Marchel S. Vetrile<sup>1</sup>, Igor N. Lisyansky<sup>1</sup>, Sergey N. Makarov<sup>1</sup>

#### **ABSTRACT**

**BACKGROUND:** Among all the variety of orthopedic pathologies typical for patients with Down syndrome, pathology of the cervical spine, in our opinion, is the most important. Various types of atlantoaxial dislocations can cause significant neurological deficits and decrease patients' quality of life.

**OBJECTIVE:** To analyze the results of screening examination of patients with Down syndrome for the presence of cervical spine pathology.

**MATERIALS AND METHODS:** As part of the screening examination, functional radiographs of the cervical spine in the lateral projection of 60 patients with Down syndrome were evaluated. Priorov NMIC will operate from May 2021 to January 2023.

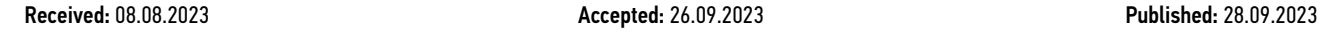
**RESULTS:** Nine of the 60 patients tested exhibited craniovertebral pathology. Three patients have 0s odontoideum of the C2 vertebra. In five patients, different types of rotational atlantoaxial displacements were found, and one patient had hypoplasia of the occipital condyles associated with basilar invagination of the C2 vertebral dentition.

**CONCLUSION:** The instability of the upper cervical spine is potentially the most dangerous manifestation of orthopedic pathology in Down syndrome. A screening examination with functional cervical spine lateral projection radiographs is recommended for this group of patients.

Keywords: Down syndrome; cervical spine; atlantoaxial dislocation; os odontoideum; craniovertebral region.

#### To cite this article:

Kuleshov AA, Gubin AV, Sharov VA, Vetrile MS, Lisyansky IN, Makarov SN. Screening examination of the cervical spine in patients with Down syndrome. *N.N. Priorov Journal of Traumatology and Orthopedics*. 2023;30(3):325–334. DOI: https://doi.org/10.17816/vto568156





<sup>&</sup>lt;sup>1</sup> Priorov National Medical Research Center of Traumatology and Orthopedics, Moscow, Russian Federation;

<sup>&</sup>lt;sup>2</sup> St. Petersburg State University's N.I. Pirogov Clinic of High Medical Technologies, Saint-Petersburg, Russian Federation

## **ВВЕДЕНИЕ**

Дети с синдромом Дауна являются особой группой пациентов для врачей любого профиля, поскольку для них, как правило, характерно наличие ряда ассоциированных клинических состояний, которые могут иметь широкий спектр проявлений. С точки зрения врача травматологарортопеда, данная группа пациентов также заслуживает пристального внимания, поскольку ортопедическая патология присутствует у значительной их части [1].

Большинство ортопедических нарушений связано с мышечной гипотонией, гипермобильностью суставов, слабостью связочного аппарата, а также со снижением минеральной плотности кости [2, 3]. Такие проявления ортопедической патологии, как сколиоз, нестабильность тазобедренного сустава, смещение эпифиза головки бедренной кости, нестабильность надколенника и деформация стопы, наиболее часто встречаются у пациентов с синдромом Дауна [4].

Наряду с данными заболеваниями у трети пациентов с трисомией 21-й хромосомы отмечается та или иная патология краниовертебрального перехода [4]. В 1961 г. R. Spitzer, J.Y. Rabinowitch с соавт. описали атлантоокципитальную дислокацию и гипоплазию атланта при синдроме Дауна [5].

Позднее множеством исследователей было доказано, что атлантоокципитальная и атлантоаксиальная гипермобильность, так же как и аномалии развития позвонков шейного отдела позвоночника, является фактором, предрасполагающим к развитию атлантоокципитальной и атлантоаксиальной нестабильности соответственно [6, 7].

Нестабильность краниовертебрального перехода у пациентов с синдромом Дауна может быть вызвана слабостью поперечной связки атланта, сниженным мышечным тонусом, чрезмерной подвижностью суставов, гипоплазией зубовидного отростка и наличием зубовидной кости [4].

Зубовидная кость, на наш взгляд, является самым опасным проявлением краниовертебральной патологии, поскольку часто сопровождается развитием шейной миелопатии. Соответствующая клиническая манифестация в виде различных проявлений неврологического дефицита в тяжёлых случаях может быть жизнеугрожающей. Всё вышесказанное подтолкнуло нас к проведению скринингового исследования краниовертебральной области у пациентов с синдромом Дауна на базе НМИЦ ТО им. Н.Н. Приорова. В представленной статье описаны алгоритм скринингового обследования шейного отдела позвоночника у детей с синдромом Дауна и его результаты. Также описан клинический случай оперативного лечения пациентки с грубой атлантоаксиальной дислокацией и выраженным неврологическим дефицитом.

**Цель исследования** — анализ результатов скринингового обследования пациентов с синдромом Дауна на предмет наличия патологии шейного отдела позвоночника.

## МАТЕРИАЛЫ И МЕТОДЫ

## Дизайн исследования

Выполнено клиническое моноцентровое наблюдательное открытое когортное исследование.

## Условия проведения

Скрининговое обследование шейного отдела позвоночника у детей с синдромом Дауна проходило с мая 2021 по январь 2023 года на базе НМИЦ ТО им. Н.Н. Приорова.

## Критерии соответствия

За указанный период обследование прошли 60 пациентов с синдромом Дауна в возрасте от 4 до 17 лет включительно. Средний возраст пациентов — 10,06 года. Распределение по полу: 28 мальчиков и 32 девочки.

Критерии включения:

- генетически подтверждённый синдром Дауна у пациентов вне зависимости от формы;
- возраст пациента от 4 до 17 лет включительно;
- способность пациента самостоятельно сохранять вертикальное положение тела;
- успешное выполнение функциональных рентгенограмм позвоночника в боковой проекции.

Критерии невключения:

- пациенты с иными генетическими синдромами, отличными от синдрома Дауна, либо несиндромальные;
- возраст пациентов младше 4 и старше 17 лет.

## Методы оценки целевых показателей

Все пациенты с синдромом Дауна обследовались по строгому алгоритму с применением клинического и лучевого методов обследования. На первом этапе они проходили клинический осмотр с описанием жалоб при их наличии. Проводилась оценка активных и пассивных движений в шейном отделе позвоночника, конечностях; оценка положения головы и оценка неврологического статуса.

При отсутствии у пациентов признаков неврологического дефицита выполнялись функциональные рентгенограммы шейного отдела позвоночника в боковой проекции в положении максимального сгибания, разгибания и в нейтральном положении. Данный метод лучевой диагностики позволяет в полной мере оценить наличие нестабильности в области краниовертебрального перехода, а также косвенно судить о величине стеноза позвоночного канала и аномалиях развития шейного отдела позвоночника [8, 9] (рис. 1).

Пациентам с исходным неврологическим дефицитом или с подозрением на патологию краниовертебральной области, которая требует дальнейшего хирургического вмешательства, выполнялись компьютерная томография (КТ) и магнитно-резонансная томография (МРТ) шейного отдела позвоночника. Целью этих исследований являлись







**Рис. 1.** Функциональная рентгенография шейного отдела позвоночника в боковой проекции: a — в положении сгибания, b — в нейтральном положении, c — в положении разгибания.

Fig. 1. Functional radiography of the cervical spine in lateral projection: a — in flexion position, b — in neutral position, c — in extension position.

более детальное изучение краниовертебральных соотношений и костной патологии, оценка степени стеноза позвоночного канала и наличия миелопатии.

Всем пациентам после проведения клинико-рентгенологического обследования были даны рекомендации по ортопедическому режиму. Пациентам с патологией краниовертебральной области, требующей оперативного лечения, были предложены варианты хирургических декомпрессивно-стабилизирующих операций.

## Статистический анализ

Размер выборок предварительно не рассчитывался. Описательная статистика качественных данных — в виде абсолютных (n) и относительных (%) частот.

## Этическая экспертиза

Все манипуляции, выполненные в исследовании с участием людей, соответствовали стандартам локального этического комитета, а также Хельсинкской декларации 1964 г. и более поздним поправкам к ней или сопоставимым этическим стандартам. Все пациенты (или их представители) подписывали информированное согласие.

## **РЕЗУЛЬТАТЫ**

Большинство пациентов (*n*=47) поступили без жалоб на опорно-двигательный аппарат с целью исключения патологии краниовертебральной области и получения рекомендаций по возможности занятий активными видами спорта.

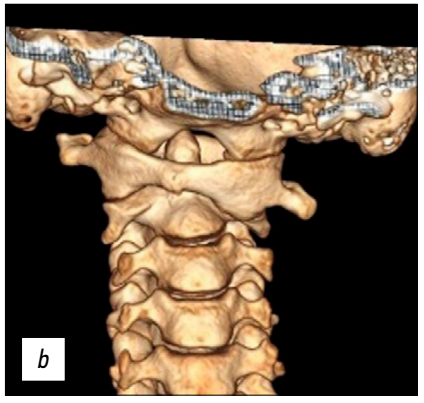
Из 60 обследованных детей с синдромом Дауна у 9 человек (15%) присутствовала патология краниовертебральной области, причём 2 из них явились на скрининговое обследование, не предъявляя никаких жалоб.

По результатам обследования были выявлены 5 пациентов с различными видами атлантоаксиальных ротационных смещений. У 2 пациентов присутствовали ротационные атлантоаксиальные дислокации без клиники

кривошеи, с полным объёмом движений в шейном отделе позвоночника и без угрозы компрессии спинного мозга, соответствующие I типу по классификации Fielding-Hawkins. Этим пациентам было рекомендовано дальнейшее динамическое наблюдение с коррекцией ортопедического режима в виде ограничения осевых нагрузок на шейный отдел позвоночника. У 3 оставшихся пациентов атлантоаксиальные дислокации соответствовали II и III типу по классификации Fielding-Hawkins с клиникой кривошеи, значительным ограничением ротации в шейном отделе позвоночника и стенозом позвоночного канала на уровне С1-С2. Этим пациентам было проведено оперативное лечение с вправлением подвывиха позвонка С1 в гало-аппарате и дальнейшей стабилизацией С1-С2 винтовой системой по методике Harms. Осложнений не было отмечено. В послеоперационном периоде у всех пациентов положение головы было нейтральным.

Были выявлены 3 пациента с зубовидной костью второго шейного позвонка. Все пациенты с зубовидной костью имели выраженный неврологический дефицит: Frankel A — 1 пациент, Frankel C — 2 пациента. Этой группе пациентов были выполнены декомпрессивно-стабилизирующие операции с интраоперационным восстановлением краниовертебральных соотношений с помощью гало-тракции и дорсальной стабилизацией металлоконструкцией. У 2 пациентов выполнялся окципитоспондилодез СО-С2 с использованием индивидуальной окципитальной пластины и направителей для проведения винтов в позвонок С2. У 1 пациента — фиксация С1-С2 винтами по методике Harms с использованием 3D-модели краниовертебральной области с визуализацией сосудов и спинного мозга и направителей для проведения винтов в позвонки С1 и С2. Осложнений отмечено не было. В послеоперационном периоде у всех пациентов отмечалась положительная динамика в виде уменьшения степени проявления неврологического дефицита: Frankel A до B, Frankel C — до D и E.







**Рис. 2.** Данные инструментальных методов обследования: *а* — МРТ-картина транслигаментозного подвывиха со стенозом позвоночного канала и миелопатией на уровне C1-C2, *b* — 3D-реконструкция КТ, *c* — КТ шейного отдела позвоночника, сагиттальный срез с визуализацией нарушенных краниовертебральных соотношений. МРТ — магнитно-резонансная томография, КТ — компьютерная томография.

Fig. 2. Instrumental methods of examination: a — MRI picture of transligamentous subluxation with spinal canal stenosis and myelopathy at the level of C1-C2, b — 3D CT reconstruction, c — CT scan of the cervical spine, sagittal slice with visualization of disturbed cranio-vertebral relations. MRI — magnetic resonance imaging, CT — computed tomography.

У 1 пациентки после выполнения рентгенографии, КТ и МРТ шейного отдела позвоночника была выявлена гипоплазия мыщелков затылочной кости в сочетании с базилярной инвагинацией зуба второго шейного позвонка. У ребёнка отмечался исходный неврологический дефицит Frankel C. Было предложено оперативное лечение, однако родители пациентки отказались от его проведения.

## Клинический пример

Пациентка, 14 лет, поступила на скрининговое обследование шейного отдела позвоночника у лиц с синдромом Дауна с жалобами на прогрессирующую слабость в верхних и нижних конечностях, вынужденное положение головы с ротацией вправо в течение последних 3 месяцев.

Пациентке были выполнены КТ и МРТ шейного отдела позвоночника, по результатам которых был выставлен диагноз: синдром Дауна; ротационное атлантоаксиальное блокирование; левосторонний застарелый транслигаментозный подвывих позвонка С1 со стенозом позвоночного канала (Fielding—Hawkins, тип II); шейная миелопатия; глубокий тетрапарез (группа С по Frankel) (рис. 2).

При визуализации КТ были выявлены грубые нарушения краниовертебральных соотношений: щель сустава Крювелье (ADI) — 1,06 см, величина резервного пространства для спинного мозга на уровне С1 (SAC C1) — 5,17 мм. Данные изменения указывают на грубый стеноз позвоночного канала. Также было отмечено формирование костного блока в области левого латерального атлантоаксиального сустава (рис. 3)

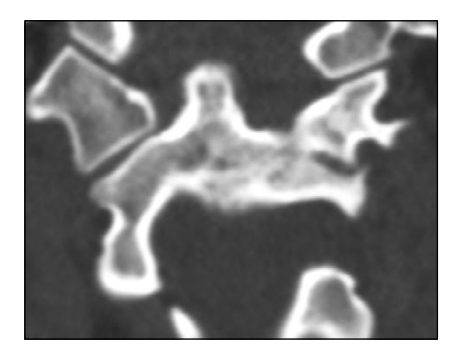
С учётом грубой атлантоаксиальной дислокации со стенозом позвоночного канала и компрессией спинного мозга, а также наличием костного блока в области левого латерального атлантоаксиального сустава было принято решение о вправлении подвывиха позвонка С1

в условиях интраоперационной гало-тракции с выполнением релиза левого латерального атлантоаксиального сустава. Для повышения качества предоперационного планирования и снижения рисков повреждения а. vertebralis при релизе латерального атлантоаксиального сустава пациентке были выполнены КТ-, миело- и ангиография шейного отдела позвоночника (рис. 4).

Было принято решение об изготовлении для пациентки индивидуальной 3D-модели краниовертебральной области с отображением позвоночных артерий и спинного мозга на основе КТ-миелографии и КТ-ангиографии (рис. 5).

Пациентке было выполнено оперативное лечение в следующем объёме: релиз левого латерального атлантоаксиального сустава из дорсального доступа; вправление подвывиха позвонка С1 в условиях интраоперационной гало-тракции; непрямая декомпрессия спинного мозга на уровне С1-С2; дорсальная фиксация С1-С2 металлоконструкцией методом Harms.

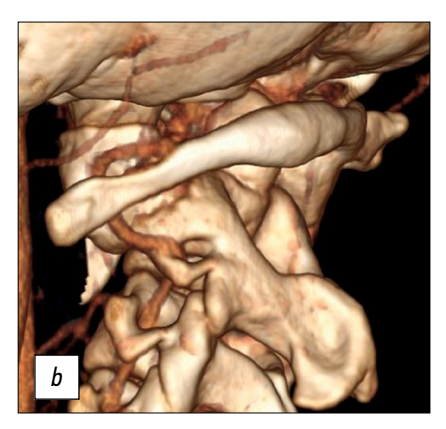
Осуществлено полное вправление подвывиха позвонка С1 с восстановлением всех краниовертебральных



**Рис. 3.** Костное сращение в области левого бокового атлантоаксиального сустава.

Fig. 3. Bone fusion in the region of the left lateral atlantoaxial joint.

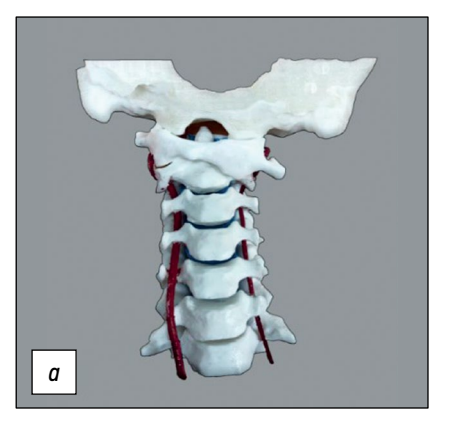




**Рис. 4.** Данные КТ- миело- и ангиографии: *а* — сагиттальный срез КТ-миелографии, *b* — 3D-реконструкция КТ-ангиографии. КТ — компьютерная томография.

Vol. 30 (3) 2023

**Fig. 4.** CT myelography and angiography: *a* — sagittal slice of CT myelography, *b* — 3D reconstruction of CT angiography. CT — computed tomography.







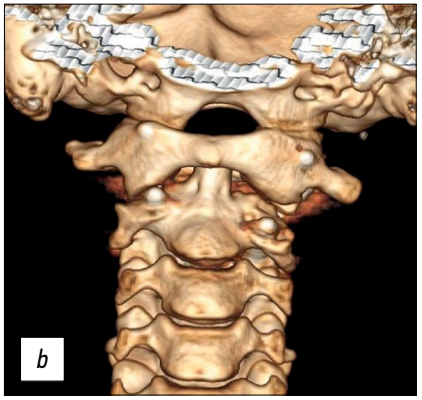
**Рис. 5.** 3D-модель шейного отдела позвоночника пациентки с визуализацией а. vertebralis и спинного мозга: a — вид спереди, b — вид сбоку, c — вид сзади с удалёнными дугами шейных позвонков.

**Fig. 5.** 3D model of the patient's cervical spine with visualization of the a. vertebralis and spinal cord: a — anterior view, b — lateral view, c — posterior view with the cervical vertebral arches removed.

соотношений: ADI — 2,82 мм, SAC C1 — 1,72 см. Стеноз позвоночного канала на уровне C1-C2 устранён полностью. Положение фиксирующих элементов корректное (рис. 6).

В раннем послеоперационном периоде у пациентки отмечалась положительная динамика в неврологическом статусе в виде увеличения мышечной силы в верхних конечностях. Рана зажила первичным натяжением.







**Рис. 6.** Данные лучевых методов обследования после операции: a — сагиттальный срез КТ, b — 3D-реконструкция КТ шейного отдела, c — сагиттальный срез МРТ с устранением стеноза позвоночного канала и остаточными явлениями миелопатии. КТ — компьютерная томография, МРТ — магнитно-резонансная томография.

Fig. 6. Postoperative radiology examination: a — CT sagittal slice, b — 3D reconstruction of cervical CT, c — MRI sagittal slice with elimination of spinal canal stenosis and residual myelopathy. CT — computed tomography, MRI — magnetic resonance imaging.

Осложнений не было. На 7-е сутки пациентка в удовлетворительном состоянии была выписана на амбулаторный контроль.

В течение периода наблюдения, равного 6 месяцам, у пациентки отмечалась явная положительная динамика в неврологическом статусе в виде уменьшения проявлений шейной миелопатии, тетрапареза. Пациентка стала самостоятельно ходить. Мышечная сила в верхних конечностях восстановилась полностью. Сохраняется легкий спастический нижний парапарез 4 б. (по Frankel: до операции — группа С, через 6 месяцев после операции — группа Е).

## ОБСУЖДЕНИЕ

У значительной части пациентов с синдромом Дауна различные варианты патологии краниовертебральной области могут длительное время или даже всю жизнь носить асимптоматический характер [8]. Отчасти именно поэтому мы рекомендуем проходить скрининговое обследование всем пациентам с синдромом Дауна, поскольку нестабильные пороки краниоцервикального перехода часто являются случайной рентгенологической находкой или проявляются манифестацией неврологической симптоматики. Таким образом, даже бессимптомные потенциально нестабильные пороки, такие как аплазия зубовидного отростка и зубовидная кость, могут потребовать профилактической инструментальной стабилизации [10].

Болевой синдром и деформация шеи, по данным современной литературы, встречаются в 40% случаев подтверждённой патологии верхнешейного отдела позвоночника. Наиболее часто у пациентов присутствует болевой синдром в области шеи и затылка. Боль может значительно усиливаться при осевой нагрузке [11, 12]. Также распространённым признаком является вынужденная установка головы с наклоном вправо или влево. Этот симптом обычно указывает на наличие той или иной ротационной атлантоаксиальной дислокации [13].

Неврологический дефицит у пациентов с краниовертебральной патологией встречается достаточно часто, и его наличие, как правило, зависит от конкретной нозологии. Установлено, что частота развития неврологического дефицита при зубовидной кости стремится к 80%. Однако ротационные атлантоаксиальные смещения, особенно сочетающиеся с переднезадними дислокациями, также являются опасными с точки зрения возникновения стеноза позвоночного канала и, как следствие, развития миелопатии. Развивающаяся миелопатия на уровне шейного отдела позвоночника начинает проявлять себя слабостью в верхних конечностях, а при длительной компрессии спинного мозга возникают нарушение походки и слабость в нижних конечностях. В самых неблагополучных ситуациях развивается клиника глубокого тетрапареза либо тетраплегии с полной утратой возможности активных движений [8, 14].

Исходя из вышесказанного, врачам травматологамортопедам следует обращать пристальное внимание на жалобы родителей детей с синдромом Дауна, отражающие изменения в привычном поведении ребёнка. Необоснованная общая слабость, нарушения походки, частые спотыкания и падения могут быть грозными предвестниками развития шейной миелопатии.

Видимые глазу нарушения, такие как вынужденное положение головы, ограничение движений в шейном отделе позвоночника и боли в этой области, также должны отмечаться как родителями, так и врачами травматологами-ортопедами.

Таким образом, на наш взгляд, скрининговое обследование пациентов с синдромом Дауна на предмет наличия патологии шейного отдела позвоночника может явиться важным инструментом в практике врача травматологаортопеда, поскольку позволяет достоверно убедиться в отсутствии либо наличии той или иной патологии шейного отдела позвоночника у этой когорты пациентов.

Выполнения функциональной рентгенографии шейного отдела позвоночника в боковой проекции может быть достаточно для визуализации выраженных атлантоаксиальных смещений.

Важно отметить, что если у ребёнка при клиническом осмотре определяется явный неврологический дефицит, то проведение функциональной рентгенографии шейного отдела позвоночника может быть опасно с точки зрения усугубления неврологического дефицита. В этом случае необходимо отказаться от данного метода в пользу КТ и МРТ шейного отдела позвоночника.

## ЗАКЛЮЧЕНИЕ

Примерно у 20% от общего числа пациентов с синдромом Дауна присутствуют те или иные патологии костномышечной системы [1].

Не вызывает сомнения тот факт, что нестабильность верхнего шейного отдела позвоночника — потенциально самое опасное ортопедическое проявление синдрома Дауна, способное вызвать множество неврологических симптомов и нести угрозу жизни. Около 1,3—3% пациентов с синдромом Дауна имеют зубовидную кость, которая может являться причиной нестабильности верхнего шейного отдела позвоночника [4, 15, 16].

Вместе с тем у детей с синдромом Дауна часто встречаются и различные варианты дислокаций, обусловленные несовершенством связочного аппарата, стабилизирующего атлантоаксиальный комплекс [17]. Следовательно, пациентам данной категории рекомендовано прохождение комплексного скринингового обследования, включающего функциональную рентгенографию шейного отдела позвоночника, а при обнаружении той или иной патологии краниоцервикального перехода — КТ- и МРТ-исследование для оценки возможной компрессии спинного мозга и определения дальнейшей тактики лечения [13, 17].

## **ДОПОЛНИТЕЛЬНО**

Вклад авторов. Все авторы подтверждают соответствие своего авторства международным критериям ICMJE (все авторы внесли существенный вклад в разработку концепции и подготовку статьи, прочли и одобрили финальную версию перед публикацией). Наибольший вклад распределён следующим образом: В.А. Шаров — написание текста статьи, сбор и анализ литературных источников; А.А. Кулешов, А.В. Губин — редактирование и написание текста статьи; М.С. Ветрилэ, И.Н. Лисянский, С.Н. Макаров — редактирование текста статьи.

Источник финансирования. Не указан.

**Конфликт интересов.** Авторы декларируют отсутствие явных и потенциальных конфликтов интересов, связанных с публикацией настоящей статьи.

**Информированное согласие на публикацию.** Авторы получили письменное согласие пациентов или их представителей на публикацию медицинских данных и фотографий.

## СПИСОК ЛИТЕРАТУРЫ

- 1. Caird M.S., Wills B.P., Dormans J.P. Down syndrome in children: the role of the orthopaedic surgeon // J Am Acad Orthop Surg. 2006. Vol. 14,  $N^{\circ}$  11. P. 610–9. doi: 10.5435/00124635-200610000-00003
- **2.** Carfi A., Liperoti R., Fusco D., Giovannini S., Brandi V., Vetrano D.L., Meloni E., Mascia D., Villani E.R., Manes Gravina E., Bernabei R., Onder G. Bone mineral density in adults with Down syndrome // Osteoporos Int. 2017. Vol. 28, № 10. P. 2929–2934. doi: 10.1007/s00198-017-4133-x
- **3.** McKelvey K.D., Fowler T.W., Akel N.S., Kelsay J.A., Gaddy D., Wenger G.R., Suva L.J. Low bone turnover and low bone density in a cohort of adults with Down syndrome // Osteoporos Int. 2013. Vol. 24,  $N^{\circ}$  4, P. 1333–8. doi: 10.1007/s00198-012-2109-4
- **4.** Sergeenko O.M., Dyachkov K.A., Ryabykh S.O., Burtsev A.V., Gubin A.V. Atlantoaxial dislocation due to os odontoideum in patients with Down's syndrome: literature review and case reports // Childs Nerv Syst. 2020. Vol. 36,  $N^{\circ}$  1. P. 19–26. doi: 10.1007/s00381-019-04401-y
- **5.** Spitzer R., Rabinowitch J.Y., Wybar K.C. A Study of the Abnormalities of the Skull, Teeth and Lenses in Mongolism // Can Med Assoc J. 1961. Vol. 84, № 11. P. 567–72.
- **6.** Луцик А.А., Раткин И.К., Никитин М.Н. Краниовертебральные повреждения и заболевания: монография. Новосибирск: Издатель, 1998. 551 с.
- 7. Caird M.S., Wills B.P., Dormans J.P. Down syndrome in children: the role of the orthopaedic surgeon // J Am Acad Orthop Surg. 2006. Vol. 14,  $N^{\circ}$  11. P. 610–9. doi: 10.5435/00124635-200610000-00003
- **8.** Arvin B., Fournier-Gosselin M.P., Fehlings M.G. Os odontoideum: etiology and surgical management // Neurosurgery. 2010. Vol. 66,  $N^{\circ}$  3 (Suppl). P. 22–31. doi: 10.1227/01.NEU.0000366113.15248.07
- **9.** Khusainov N.O., Vissarionov S.V., Kokushin D.N. Craniocervical instability in children with Down's syndrome // Pediatric Traumatology Orthopaedics and Reconstructive Surgery. 2016. Vol. 4,  $N^{\circ}$  3. P. 71. doi: 10.17816/PTORS4371-77

## **ADDITIONAL INFO**

**Author's contribution.** Thereby, all authors made a substantial contribution to the conception of the work, drafting and revising the work, final approval of the version to be published and agree to be accountable for all aspects of the work. V.A. Sharov — writing the text of the article, collection and analysis of literary sources; A.A. Kuleshov, A.V. Gubin — editing and writing the text of the article; M.S. Vetrile, I.N. Lisyansky, S.N. Makarov — editing the text of the article.

Funding source. Not specified.

**Competing interests.** The authors declare that they have no competing interests.

**Consent for publication.** Written consent was obtained from the patient for publication of relevant medical information and all of accompanying images within the manuscript.

- **10.** Кулешов А.А., Шкарубо А.Н., Громов И.С., Ветрилэ М.С., Лисянский И.Н., Макаров С.Н., Чернов И.В., Митрофанова Е.В., Пономаренко Г.П. Хирургическое лечение неопухолевых заболеваний краниовертебральной области // Вестник травматологии и ортопедии им. Н.Н. Приорова. 2018. Т. 25, № 1. С. 36—41. doi: 10.17816/vto201825136-41
- **11.** Klimo P.Jr, Coon V., Brockmeyer D. Incidental os odontoideum: current management strategies // Neurosurg Focus. 2011. Vol. 31,  $N^{o}$  6. P. E10. doi: 10.3171/2011.9
- **12.** Rowland L.P., Shapiro J.H., Jacobson H.G. Neurological syndromes associated with congenital absence of the odontoid process // AMA Arch Neurol Psychiatry. 1958. Vol. 80, Nº 3. P. 286–91. doi: 10.1001/archneurpsyc.1958.02340090022002
- **13.** Губин А.В., Ульрих Э.В. Синдромальный подход к ведению детей с пороками развития шейного отдела позвоночника // Хирургия позвоночника. 2010. № 3. С. 14—19. doi: 10.14531/ss2010.3.14-19
- **14.** McGoldrick J.M., Marx J.A. Traumatic central cord syndrome in a patient with 0s odontoideum // Ann Emerg Med. 1989. Vol. 18,  $\mathbb{N}^2$  12. P. 1358–61. doi: 10.1016/s0196-0644(89)80276-8
- **15.** French H.G., Burke S.W., Roberts J.M., Johnston C.E. II, Whitecloud T., Edmunds J.O. Upper cervical ossicles in Down syndrome // J Pediatr Orthop. 1987. Vol. 7,  $N^{\circ}$  1. P. 69–71. doi: 10.1097/01241398-198701000-00014
- **16.** Cros T., Linares R., Castro A., Mansilla F. Estudio radiológico de las alteraciones cervicales en el síndrome de Down. Nuevos hallazgos mediante tomografía computarizada y reconstrucciones tridimensionales // Rev Neurol. 2000. Vol. 30, № 12. P. 1101–7.
- **17.** Hengartner A.C., Whelan R., Maj R., Wolter-Warmerdam K., Hickey F., Hankinson T.C. Evaluation of 2011 AAP cervical spine screening guidelines for children with Down Syndrome // Childs Nerv Syst. 2020. Vol. 36, N 11. P. 2609–2614. doi: 10.1007/s00381-020-04855-5

## **REFERENCES**

- **1.** Caird MS, Wills BP, Dormans JP. Down syndrome in children: the role of the orthopaedic surgeon. *J Am Acad Orthop Surg.* 2006;14(11):610–9. doi: 10.5435/00124635-200610000-00003
- **2.** Carfi A, Liperoti R, Fusco D, Giovannini S, Brandi V, Vetrano DL, Meloni E, Mascia D, Villani ER, Manes Gravina E, Bernabei R, Onder G. Bone mineral density in adults with Down syndrome. *Osteoporos Int.* 2017;28(10):2929–2934. doi: 10.1007/s00198-017-4133-x
- **3.** McKelvey KD, Fowler TW, Akel NS, Kelsay JA, Gaddy D, Wenger GR, Suva LJ. Low bone turnover and low bone density in a cohort of adults with Down syndrome. *Osteoporos Int.* 2013;24(4):1333–8. doi: 10.1007/s00198-012-2109-4
- **4.** Sergeenko OM, Dyachkov KA, Ryabykh SO, Burtsev AV, Gubin AV. Atlantoaxial dislocation due to os odontoideum in patients with Down's syndrome: literature review and case reports. *Childs Nerv Syst.* 2020;36(1):19–26. doi: 10.1007/s00381-019-04401-y
- **5.** Spitzer R, Rabinowitch JY, Wybar KC. A Study of the Abnormalities of the Skull, Teeth and Lenses in Mongolism. *Can Med Assoc J.* 1961;84(11):567–72.
- **6.** Lutsik AA, Ratkin IK, Nikitin MN. *Kraniovertebral'nye povrezhdeniya i zabolevaniya: monografiya*. Novosibirsk: Izdatel'; 1998. 551 p. (In Russ).
- **7.** Caird MS, Wills BP, Dormans JP. Down syndrome in children: the role of the orthopaedic surgeon. *J Am Acad Orthop Surg.* 2006;14(11):610–9. doi: 10.5435/00124635-200610000-00003
- **8.** Arvin B, Fournier-Gosselin MP, Fehlings MG. Os odontoideum: etiology and surgical management. *Neurosurgery.* 2010;66(3 Suppl):22–31. doi: 10.1227/01.NEU.0000366113.15248.07
- **9.** Khusainov N, Vissarionov SV, Kokushin D. Craniocervical instability in children with Down's syndrome. *Pediatric Traumatology Orthopaedics and Reconstructive Surgery.* 2016;4(3):71. doi: 10.17816/PTORS4371-77

## ОБ АВТОРАХ

## \* Шаров Владислав Андреевич,

врач травматолог-ортопед;

адрес: Россия, 127299, Москва, ул. Приорова, д. 10;

ORCID: 0000-0002-0801-0639; eLibrary SPIN: 8062-9216;

e-mail: sharov.vlad397@gmail.com

#### Кулешов Александр Алексеевич, д.м.н.;

ORCID: 0000-0002-9526-8274; eLibrary SPIN: 7052-0220; e-mail: cito-spine@mail.ru

## Губин Александр Вадимович, д.м.н.;

ORCID: 0000-0003-3234-8936; eLibrary SPIN: 2014-6518; e-mail: shugu19@gubin.spb.ru

## Ветрилэ Марчел Степанович, к.м.н.;

ORCID: 0000-0001-6689-5220; eLibrary SPIN: 9690-5117; e-mail: vetrilams@cito-priorov.ru

\* Автор, ответственный за переписку / Corresponding author

- **10.** Kuleshov AA, Shkarubo AN, Gromov IS, Vetrile MS, Lisyanskiy IN, Makarov SN, Chernov IV, Mitrofanova EV, Ponomarenko GP. Surgical treatment for nontumorous diseases of craniovertebral region. *N.N. Priorov Journal of Traumatology and Orthopedics*. 2018;25(1):36–41. (In Russ). doi: 10.17816/vto201825136-41
- **11.** Klimo PJr, Coon V, Brockmeyer D. Incidental os odontoideum: current management strategies. *Neurosurg Focus.* 2011;31(6):E10. doi: 10.3171/2011.9
- **12.** Rowland LP, Shapiro JH, Jacobson HG. Neurological syndromes associated with congenital absence of the odontoid process. *AMA Arch Neurol Psychiatry*. 1958;80(3):286–91. doi: 10.1001/archneurpsyc.1958.02340090022002
- **13.** Gubin AV, Ul'rih EV. Sindromal'nyj podhod k vedeniyu detej s porokami razvitiya shejnogo otdela pozvonochnika. *Hirurgiya pozvonochnika*. 2010;(3):14–19. (In Russ). doi: 10.14531/ss2010.3.14-19
- **14.** McGoldrick JM, Marx JA. Traumatic central cord syndrome in a patient with 0s odontoideum. *Ann Emerg Med.* 1989;18(12):1358–61. doi: 10.1016/s0196-0644(89)80276-8
- **15.** French HG, Burke SW, Roberts JM, Johnston CE II, Whitecloud T, Edmunds JO. Upper cervical ossicles in Down syndrome. *J Pediatr Orthop.* 1987;7(1):69–71. doi: 10.1097/01241398-198701000-00014
- **16.** Cros T, Linares R, Castro A, Mansilla F. Estudio radiológico de las alteraciones cervicales en el síndrome de Down. Nuevos hallazgos mediante tomografía computarizada y reconstrucciones tridimensionales. *Rev Neurol.* 2000;30(12):1101–7. (In Spanish).
- **17.** Hengartner AC, Whelan R, Maj R, Wolter-Warmerdam K, Hickey F, Hankinson TC. Evaluation of 2011 AAP cervical spine screening guidelines for children with Down Syndrome. *Childs Nerv Syst.* 2020;36(11):2609–2614. doi: 10.1007/s00381-020-04855-5

## **AUTHORS' INFO**

## \* Vladislav A. Sharov,

traumatologist-orthopedist;

address: 10 Priorova str., 127299, Moscow, Russia;

ORCID: 0000-0002-0801-0639; eLibrary SPIN: 8062-9216; e-mail: sharov.vlad397@gmail.com

Alamandan A. Kalashan MD. Do Cal (A)

Alexander A. Kuleshov, MD, Dr. Sci. (Med.);

ORCID: 0000-0002-9526-8274; eLibrary SPIN: 7052-0220; e-mail: cito-spine@mail.ru

Alexander V. Gubin, MD, Dr. Sci. (Med.);

ORCID: 0000-0003-3234-8936; eLibrary SPIN: 2014-6518; e-mail: shugu19@gubin.spb.ru

Marchel S. Vetrile, MD, Cand. Sci. (Med.);

ORCID: 0000-0001-6689-5220; eLibrary SPIN: 9690-5117; e-mail: vetrilams@cito-priorov.ru

## Лисянский Игорь Николаевич, к.м.н.;

ORCID: 0000-0002-2479-4381; eLibrary SPIN: 9845-1251; e-mail: lisigornik@list.ru

## Макаров Сергей Николаевич, к.м.н.;

ORCID: 0000-0003-0406-1997; eLibrary SPIN: 2767-2429;

e-mail: moscow.makarov@gmail.com

Igor N. Lisyansky, MD, Cand. Sci. (Med.);

ORCID: 0000-0002-2479-4381; eLibrary SPIN: 9845-1251; e-mail: lisigornik@list.ru

Sergey N. Makarov, MD, Cand. Sci. (Med.);

ORCID: 0000-0003-0406-1997; eLibrary SPIN: 2767-2429;

e-mail: moscow.makarov@gmail.com

DOI: https://doi.org/10.17816/vto321307

# Медицинский симулятор для подготовки рентген-лаборантов: экспериментальная работа

И.В. Маркин $^1$ , К.С. Александров $^1$ , Н.В. Варламова $^1$ , П.К. Потапов $^1$ , Е.А. Журбин $^1$ , А.Н. Матыцин $^1$ , А.В. Ширшин $^2$ , Е.С. Щелканова $^1$ 

## **RNJATOHHA**

**Обоснование.** Травмы голеностопа различной природы — ушибы, растяжения, разрывы, вывихи и подвывихи, переломы — составляют 20–30% от всех возможных травм опорно-двигательного аппарата. Наиболее часто встречающимися травмами голеностопа являются разрыв и растяжение связок. Сложность лечения переломов данной локализации обусловлена необходимостью точной репозиции суставной поверхности и стабильной фиксации отломков. Актуальной задачей является практическая подготовка рентген-лаборантов. Внедрение в учебный процесс подготовки медицинских кадров на всех этапах обучающих симуляционных курсов способствует снижению ошибок, уменьшению осложнений и повышению качества оказания медицинской помощи населению.

**Цель.** Разработка и изготовление симулятора, имитирующего костную структуру и мягкие ткани человека и дающего возможность всесторонне подготовить и обучить рентген-лаборантов для выполнения рентгенологических исследований голеностопного сустава и стопы.

Материалы и методы. В процессе создания тренажёра выполнены следующие этапы: получение образцов костей голеностопа, изготовление формы для отливки и сборка тренажёра. Для создания образцов костей использовались результаты компьютерной и магнитно-резонансной томографии, на основе которых получена цифровая 3D-модель костей стопы и голеностопного сустава. Методом аддитивных технологий изготовлены анатомически точные копии костей стопы и голеностопного сустава человека. На следующем этапе разработана трёхмерная цифровая модель и изготовлена форма для отливки готового изделия. Внутри формы размещались образцы костей, собранные в единую структуру. Далее проводилось поэтапное заполнение формы мягким гелеподобным материалом. В данном случае выбран самовулканизирующийся состав на основе силиконового каучука, который после затвердевания имитирует мягкие ткани человека.

**Результаты.** В ходе работы изготовлен опытный образец медицинского симулятора, имитирующий костную структуру и мягкие ткани человека и позволяющий рентген-лаборантам получать практические навыки при выполнении рентгеновских снимков голеностопного сустава и стопы.

**Заключение.** Изготовленный симулятор может широко применяться в процессе подготовки и обучения рентген-лаборантов благодаря своей высокой анатомической точности, простоте использования и хорошему потенциалу для массового производства.

**Ключевые слова**: медицинский симулятор; аддитивные технологии; голеностопный сустав; стопа; рентгенология; тренажёр.

#### Как цитировать:

Маркин И.В., Александров К.С., Варламова Н.В., Потапов П.К., Журбин Е.А., Матыцин А.Н., Ширшин А.В., Щелканова Е.С. Медицинский симулятор для подготовки рентген-лаборантов: экспериментальная работа // Вестник травматологии и ортопедии им. Н.Н. Приорова. 2023. Т. 30, № 3. С. 335–346. DOI: https://doi.org/10.17816/vto321307

Рукопись получена: 13.04.2023 Рукопись одобрена: 11.09.2023 Опубликована: 19.09.2023



<sup>&</sup>lt;sup>1</sup> Военный инновационный технополис «ЭРА», Анапа, Российская Федерация;

<sup>&</sup>lt;sup>2</sup> Военно-медицинская академия им. С.М. Кирова, Санкт-Петербург, Российская Федерация

DOI: https://doi.org/10.17816/vto321307

# Medical simulator for the training of radiologists: experimental work

Ilya V. Markin<sup>1</sup>, Konstantin S. Alexandrov<sup>1</sup>, Natalya V. Varlamova<sup>1</sup>, Petr K. Potapov<sup>1</sup>, Evgeniy A. Zhurbin<sup>1</sup>, Anton N. Matytsin<sup>1</sup>, Alexandr V. Shirshin<sup>2</sup>, Elena S. Shchelkanova<sup>1</sup>

- <sup>1</sup> Military Innovation Technopolis «ERA», Anapa, Russian Federation;
- <sup>2</sup> Kirov Military Medical Academy, Saint Petersburg, Russian Federation

#### **ABSTRACT**

**BACKGROUND:** Ankle injuries of various nature — bruises, sprains, tears, dislocations and subluxations, and fractures — account for 20–30% of all musculoskeletal system injuries. The most common ankle injuries are a tear and sprain. The difficulty in treating fractures in this location is due to the need for accurate repositioning of the articular surface and stable fixation of fragments. The actual task is to train roentgenologists in the field. The inclusion of medical personnel in the educational process at all levels of training simulation courses aids in the reduction of errors, reduction of problems, and the improvement of the quality of medical treatment provided to the public.

**OBJECTIVE:** This study aims to develop and create a simulator that simulates human bone structure and soft tissues and allows roentgenologists to get through training and instruction radiological examinations of an ankle joint and a foot.

MATERIALS AND METHODS: The following stages of the simulator's development have been completed: acquiring ankle bone samples, creating a mold for casting, and constructing the simulator. The results of computer and magnetic resonance imaging were used to construct bone samples, from which a computerized 3D model of the bones of the foot and ankle joint was obtained. Using additive technologies, anatomically correct reproductions of human foot and ankle bones were made. At the next stage, a three-dimensional digital model was developed, and a mold for casting the finished product was made. Bone samples collected in a single structure were placed inside the mold. Next, a step-by-step filling of the form with a soft gel-like material was performed. In this case, a self-vulcanizing silicone rubber composition is selected, which, after solidification, imitates human soft tissues.

**RESULTS:** During the course of the study, a prototype medical simulator was created that models human bone structure and soft tissues and allows roentgenologists to practice performing ankle joint and foot roentgenography.

**CONCLUSION:** Because of its high anatomical accuracy, ease of use, and mass production potential, the developed simulator can be widely employed in the teaching of roentgenologists.

Keywords: medical simulator; additive technologies; ankle joint; foot; roentgenology; simulator.

#### To cite this article:

Markin IV, Alexandrov KS, Varlamova NV, Potapov PK, Zhurbin EA, Matytsin AN, Shirshin AV, Shchelkanova ES. Medical simulator for the training of radiologists: experimental work. *N.N. Priorov Journal of Traumatology and Orthopedics*. 2023;30(3):335–346. DOI: https://doi.org/10.17816/vto321307

Received: 13.04.2023 Accepted: 11.09.2023 Published: 19.09.2023



## ОБОСНОВАНИЕ

Травмы голеностопа различной природы — ушибы, растяжения, разрывы, вывихи и подвывихи, переломы — составляют 20–30% от всех возможных травм опорно-двигательного аппарата [1–4]. Наиболее часто встречающимися травмами голеностопа являются разрыв и растяжение связок, в некоторых случаях сопровождающиеся переломом костей [5] и отёком мягких тканей.

Кости и связки голени образуют кольцо, соединяющее большеберцовую, малоберцовую, таранную и пяточную кости. Переломы, нарушающие целостность кольца в одном месте, как правило, приводят к возникновению повреждений в другом месте. Сложность лечения переломов данной локализации обусловлена необходимостью точной репозиции суставной поверхности и стабильной фиксации отломков.

Не менее актуальной задачей является практическая подготовка рентген-лаборантов. Внедрение в учебный процесс подготовки медицинских кадров на всех этапах обучающих симуляционных курсов способствует снижению числа ошибок, уменьшению количества осложнений и повышению качества оказания медицинской помощи населению [6]. Включение в образовательные программы тренингов с применением симуляторов и электронных обучающих программ целесообразно при подготовке медицинского персонала [7–9].

За время профессиональной переподготовки по специальности «рентгенология» зачастую не все специалисты среднего звена овладевают достаточными практическими навыками для выполнения в дальнейшей клинической практике качественных рентгенологических исследований, в том числе при повреждениях и заболеваниях голеностопного сустава и стопы. Для обучения или повышения квалификации специалистов требуется более серьёзная практическая подготовка, которая малопродуктивна без качественных учебных тренажёров и моделей [10, 11].

Обучение медицинского персонала с использованием манекенов и тренажёров под наблюдением преподавателя предоставляет возможность делать ошибки в безопасной среде, что улучшает качество освоений практических навыков [12].

В настоящее время существует медицинский фантом X-Ray Phantom Foot Erler Zimmer (Erler Zimmer, Германия), использующийся при обучении рентген-лаборантов и врачей-рентгенологов работе с рентгеновскими аппаратами. Материал фантома, имитирующий мягкие ткани, не обладает гибкостью, что не позволяет изгибать изделие для имитации различных положений нижней конечности [13]. В качестве костной структуры используются натуральные человеческие кости, что может вызвать проблемы морально-этического характера. К тому же изделие характеризуется высокой ценой — порядка 400 тысяч рублей. Внешний вид фантома представлен на рис. 1.



**Рис. 1.** Медицинский рентгеновский фантом нижней конечности фирмы Erler Zimmer.

Fig. 1. Medical X-ray phantom of the lower limb from Erler Zimmer.

В результате анализа отечественных и зарубежных литературных источников выявлено, что существующие медицинские рентгенологические симуляторы предназначены для калибровки и настройки оборудования, в то время как обучающие симуляторы для рентгенологов присутствуют на рынке в малом количестве и, как правило, характеризуются высокой стоимостью [13, 14]. Очевидна актуальность разработки, создания и внедрения тренажёра для отработки практических навыков рентген-лаборантов при выполнении рентгенологических исследований голеностопного сустава и стопы.

**Цель исследования** — разработка технологии и создание простой в изготовлении и применении модели медицинского симулятора, имитирующего кости и мягкие ткани нижней трети берцовых костей и стопы человека. Костная система симулятора должна быть выполнена из рентгеноконтрастного материала с целью подготовки и обучения рентген-лаборантов проведению исследований стопы и голеностопного сустава в различных проекциях.

## МАТЕРИАЛЫ И МЕТОДЫ

#### Дизайн исследования

Выполнена экспериментальная работа по созданию опытного образца медицинского симулятора для подготовки рентген-лаборантов к проведению рентгеновских исследований дистальных отделов нижних конечностей. Разработка симулятора основывается на результатах опубликованной экспериментальной работы «Медицинский симулятор для подготовки врачей-травматологов: экспериментальная работа» [15] и является её продолжением. Опыт, полученный при создании тренажёра наложения КСТ, развит и расширен при выполнении данной работы.

## Условия проведения

Работа проводилась в военном инновационном технополисе «ЗРА» (г. Анапа) в период с октября 2022 по январь 2023 г.

## Методы оценки целевых показателей

Процесс изготовления симулятора для подготовки рентген-лаборантов к выполнению рентгеновских исследований голеностопного сустава и стопы разделён на несколько основных этапов:

- 3D-моделирование костей нижней трети голени и стопы, подложки для анатомически верной сборки костей стопы и формы для отливки;
- изготовление анатомически точных копий костей нижней трети голени и стопы;
- изготовление подложки для анатомически верной сборки костей нижней трети голени и стопы;
- сборка всей костной системы с использованием подложки;
- изготовление формы для отливки;
- поэтапная заливка силиконового состава и экспозиция с последующей обработкой готового изделия.

В качестве исходных данных использовалась серия компьютерных томограмм дистального отдела нижних конечностей в формате DICOM, исследование выполнено в Военно-медицинской академии имени С.М. Кирова. Снимки обрабатывались в программе 3D Slicer с целью получения 3D-моделей костей и внутренней поверхности формы для отливки. В программе SolidWorks 2018 на основе полученных данных создавалась трёхмерная цифровая модель формы для отливки. Далее файлы загружались в программное обеспечение ideaMaker, где производилась генерация управляющих команд для 3D-принтера на основе созданных 3D-моделей (слайсинг). Для печати моделей костей и формы для отливки использовался принтер Raise 3D Pro2 Plus (Raise3D Pioneering Flexible Manufacturing, Китай), основанный на технологии печати FDM (от англ. fused deposition modeling — моделирование методом послойного наплавления). В качестве материала для печати костей применялся полилактид (полимеризованная молочная кислота; англ. PoliLactide Acid, PLA) (BestFilament, Россия). Материал для печати костей выбран исходя из более высокого значения механической прочности, чем у акрилонитрил-бутадиен-стирола (англ. Acrylonitrile Butadiene Styrene, ABS): прочность на изгиб — 55,3 МПа, прочность на разрыв — 57,8 МПа, модуль упругости при растяжении — 3,3 ГПа. Эти показатели позволяют ему с большей достоверностью имитировать натуральные кости человека по сравнению с другими доступными для 3D-печати видами пластиков.

В качестве материала для печати формы для отливки применялась нить из ABS диаметром 1,75 мм (BestFilament, Россия).

Условия печати: форма для отливки — температура экструдера 230 °C, температура стола 100 °C, скорость печати 60 мм/с, толщина слоя 0,2 мм, заполнение 75%; кости — температура экструдера 205 °C, температура стола 60 °C, скорость печати 40 мм/с, толщина слоя 0,2 мм, заполнение 75%. Выбор материала формы для отливки

обусловлен тем, что данный пластик легко поддаётся механической обработке, обладает высокой прочностью на изгиб — 41 МПа, предел его прочности на разрыв — 22 МПа, модуль упругости при растяжении — 1627 МПа.

Для анатомически верной сборки костной системы спроектирована и распечатана специальная подложка, позволяющая соблюсти необходимые углы между отдельными костями и верные размеры суставных щелей. При размещении костей стопы в предназначенных для них нишах складывается анатомически верная модель костной системы стопы.

Постобработка выполнялась механическим методом — отделение деталей от подложек и поддерживающих конструкций, обрезка и шлифование мелких дефектов печати. На следующей стадии распечатанные модели костей обрабатывались хлористым метиленом (ТУ 2631-019-44493179-98 с изм. 1, 2) для достижения гладкости внешних поверхностей и скреплялись между собой при помощи силиконового герметика («Монолит», Россия), а части формы — с помощью болтов (М6) и силиконового герметика.

После сборки формы на внутреннюю поверхность наносился вазелин, внутри размещались образцы костей и производилась поэтапная заливка формы силиконовой смесью, имитирующей мягкие ткани.

Заливка силиконового состава проводилась в лабораторных условиях при комнатной температуре (23-25 °C). Двухкомпонентный силиконовый состав производства SP-Polymer (Россия), отверждаемый катализатором на основе олова, обладает низкой вязкостью, коротким временем полного формования и длительным сроком эксплуатации. Для максимально достоверной имитации мягких тканей человека выбран силиконовый состав с твёрдостью по Шору А 30 единиц. Более мягкие и твёрдые образцы состава признаны неудовлетворительно передающими плотностные показатели мягких тканей. Компонент А перемешивался до однородности, переносился в лабораторный мерный стаканчик и точно дозировался (до 3-го знака после запятой) при помощи лабораторных весов. В массу компонента А (около 150 г) при помощи лабораторного дозатора вносился компонент Б — катализатор отверждения на основе олова — в соотношении 100:2. Смесь перемешивалась до однородности и заливалась в подготовленную форму.

Изделие заливалось поэтапно, после затвердевания силиконовой смеси собирался следующий ярус формы и проводилась заливка очередной порции смеси. Каждый ярус затвердевал в течение 15–20 часов при температуре 23–25 °С. Для предотвращения расслоения изделия на месте стыка ярусов формы заливка каждого яруса смеси осуществлялась до уровня в 2–3 сантиметра до верхнего среза яруса формы. С целью улучшения адгезии между слоями силиконовой смеси перед заливкой очередного слоя поверхность предыдущего затвердевшего слоя протиралась 70% раствором уксусной кислоты.

Такая обработка разрушает образующуюся на поверхности смеси оксидную плёнку и улучшает склеивание между слоями.

С целью точного и анатомически верного размещения костной структуры в толще мягких тканей использованы проволочные стяжки. Такой подход даёт возможность зафиксировать модели костей в нужном положении на время затвердевания силиконового состава. После затвердевания состава костная система оказывалась прочно и надёжно зафиксированной в правильном положении. При окончании работы с текущим ярусом формы оттяжки демонтировались и устанавливались на следующий, продолжая обеспечивать верное размещение костной системы. Общий вид поэтапной заливки силиконового состава представлен на рис. 2.

После затвердевания смеси выполнялись разборка и отделение готового изделия от формы.

Далее с помощью рентгеновского аппарата проводили рентгенографию изготовленного медицинского симулятора в прямой, боковой и косой проекциях при тех же параметрах исследования, с которыми выполняются стандартные рентгеновские снимки стопы и голеностопного сустава у пациентов.

## Этическая экспертиза

Серия компьютерных томограмм получена в обезличенном виде, поэтому согласования с этическим комитетом не требовалось.

## Статистический анализ

Не проводился.

## РЕЗУЛЬТАТЫ

Для достижения поставленной цели процесс создания симулятора разбит на 4 этапа, каждый из которых включает несколько стадий. Принципиальная

технологическая схема изготовления симулятора представлена на рис. 3.

## Стадия 1. Изготовление анатомически точных копий костей голеностопа

Для упрощения процесса печати и обеспечения более высокого качества получаемых деталей модель костной системы разделили на 6 сегментов, которые печатались раздельно.

Полученные модели костей сохраняли в формате STL (от англ. Standard Triangulation Language — стандартный язык триангуляции) и загружали в слайсер ideaMaker с целью преобразования модели в набор управляющих инструкций и проверки целостности слоёв моделей при рассмотрении послойного печатания. По окончании проверки файл сохраняли в формате управляющих инструкций для 3D-принтера G-code и загружали в принтер.

Для печати 3D-модели применяли принтер Raise 3D Pro2 Plus и технологию печати FDM.

После снятия детали с печати проведены удаление элементов, поддерживающих конструкцию, устранение мелких артефактов и шероховатостей, шлифовка поверхностей и обработка хлористым метиленом. Данные методы используются для удаления с поверхности модели крупных неровностей, образовавшихся в ходе печати, а также для удаления дефектов печати и сглаживания текстуры модели.

## Стадия 2. Изготовление подложки для анатомически верной сборки костей стопы

С целью обеспечения анатомически верной сборки костной системы стопы разработана и создана подложка для сборки медицинского симулятора. Изделие спроектировано в программе для трёхмерного моделирования ZBrush. На нижней стороне модели костной системы стопы создана сплошная поверхность, повторяющая





Рис. 2. Поэтапная заливка силиконового состава с установленными проволочными оттяжками.

Fig. 2. Step-by-step pouring of silicone compound with installed wire ties.

### 1) Создание костной системы



2) Создание подложки для сборки



4) Создание формы для отливки

5) Размещение костной системы в форме, поэтапная заливка состава

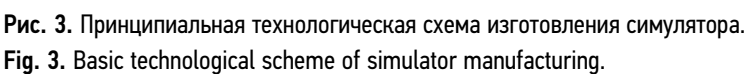


3) Сборка костной системы воедино



6) Разбор формы, готовое изделие





геометрические формы нижней поверхности костей. В программе ZBrush размер полученной сплошной криволинейной поверхности увеличен на 5%. Затем при помощи функции булевой операции выполнен отпечаток нижней поверхности стопы. Полученная модель представляет собой пластину, повторяющую по контуру стопу человека, ограниченную с нижней стороны опорной плоскостью, а с верхней — углублениями для размещения костей стопы. При установке костей стопы в предназначенные для них ниши получилась анатомически верная модель костной системы стопы.

Изделие производится на 3D-принтере из филамента PLA.



# Стадия 3. Сборка костной системы с использованием подложки

На данной стадии осуществлялась сборка костной системы в единое целое. Сборка начиналась с фаланг пальцев стопы. Модели костей устанавливались в соответствующих им углублениях на подложке для сборки. После расположения соседних костей их края скреплялись временной перемычкой из пластика при помощи 3D-ручки. Для этих временных связей использовался филамент ABS. После остывания пластика зафиксированное расстояние суставной щели заполнялось силиконовым герметиком. По прошествии времени, необходимого для полного отвердевания герметика, временная







Рис. 4. 3D-модель подложки для анатомически верной сборки костей стопы.

Fig. 4. 3D substrate model for anatomically correct assembly of the foot bones.

перемычка из пластика удалялась. Трёхмерная модель подложки и способ размещения в ней костей представлены на рис. 4.

В результате постепенной сборки костей получена целостная костная система голеностопа. Костная система анатомически верна за счёт использования подложки для сборки костей стопы, фиксации размера суставной щели пластиковыми перемычками и заполнения этой щели силиконовым герметиком. Готовая система скрепляется воедино только при помощи силикона в суставных щелях, что обусловливает достаточную гибкость и подвижность конструкции.

### Стадия 4. Изготовление формы для отливки

На данной стадии осуществляли изготовление формы для отливки симулятора. Моделирование и печать формы выполнялись по той же технологии, что и создание моделей костей. Ввиду ограниченности печатного пространства принтера (300×300×600 мм), а также для упрощения разборки и извлечения готового симулятора из формы модель разделили на 8 сегментов. Масса готовой формы составила 800 г без учёта болтов. Трёхмерная модель собранной формы для отливки представлена на рис. 5.

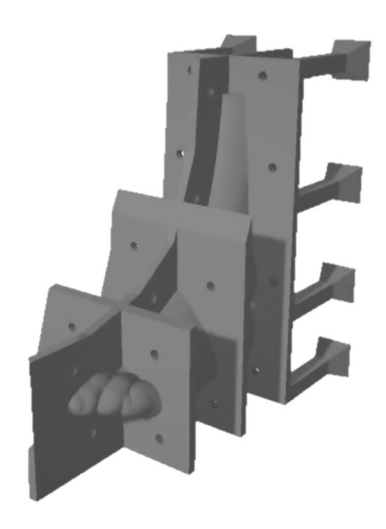


Рис. 5. Отливочная форма на этапе моделирования.

Fig. 5. Casting mould in the modelling phase.

# Стадия 5. Поэтапная заливка силиконового состава

На данном этапе производилась заливка мягкой части симулятора — имитации мягких тканей конечности. Первым этапом осуществляли подбор наиболее оптимального состава материала для заливки. На основании предыдущего опыта разработки и создания медицинского симулятора при нестабильных переломах таза выбраны два вида состава. Критерием оптимальности выступала схожесть основных физико-механических характеристик затвердевшего состава с соответствующими усреднёнными характеристиками мягких тканей человека (упругость, прочность, твёрдость и т.д.). В результате сравнения использующихся и доступных к приобретению пластичных составов выбран силиконовый каучук (ГОСТ 13835-73) двухкомпонентный состав производства SP Polymer (Pocсия) с отвердителем на основе олова. Состав основного компонента: диметилсилоксан — 35%, полидиметилсилоксан — 30%, мелкодисперсный порошок диоксида кремния (аэросил) — 35%.

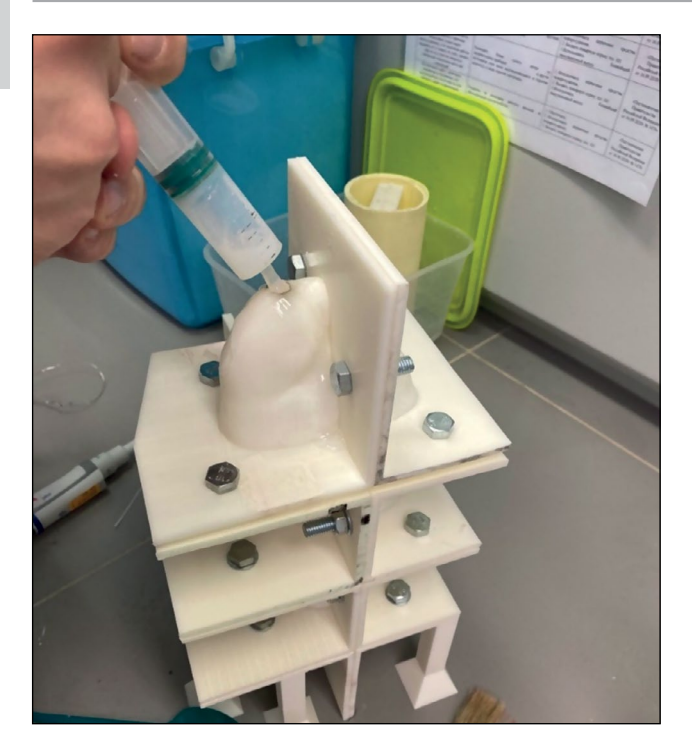
В линейке товаров данного производителя присутствуют 4 вида силиконовых составов, отличающихся цветом, прозрачностью и твёрдостью по Шору А. Использование окрашенных видов силикона не рассматривалось, так как необходимо достичь некоторой прозрачности изделия для видимости расположения костей стопы.

Неокрашенные составы присутствуют в двух видах — с твёрдостью по Шору А 10 и 30 единиц. Выбран состав с плотностью 30 единиц, так как состав с твёрдостью 10 единиц признан излишне мягким для достоверной имитации тканей организма.

Исполнение в силиконе имеет ряд преимуществ, таких как больший срок службы, отсутствие неприятного запаха, меньшее число оборудования при производстве, но стоимость используемого материала более высокая.

Далее осуществлялась заливка имитации мягких тканей путём посегментного перенесения состава в форму с размещённой внутри костной системой и производилась постобработка полученного изделия.

На внутреннюю поверхность формы наносился вазелин для облегчения последующего отделения симулятора, места стыковки заполнены силиконовым герметиком для предотвращения вытекания смеси.



**Рис. 6.** Заполнение формы силиконовым составом. **Fig. 6.** Filling the mould with silicone compound.

Для осуществления заливки в последний ярус просверлено отверстие в самой высокой точке формы. Через отверстие при помощи шприца форма заполнялась силиконовым составом до конца. Процесс заполнения последнего яруса силиконовой смесью представлен на рис. 6.

После того как заливочный состав принимал однородную структуру, удалялись крепления, осуществлялись разборка формы и отделение её от макета, а также постобработка изделия. В результате был получен готовый медицинский симулятор голеностопа для подготовки и обучения рентген-лаборантов со следующими параметрами: силиконовое исполнение — масса изделия 1,2 кг, длина 25,5 см, ширина 10 см, высота 23 см. Общий вид готового симулятора представлен на рис. 7.



Рис. 7. Симулятор голеностопа после снятия отливочной формы.

Fig. 7. An ankle simulator after casting mould removal.

В процессе моделирования и производства медицинского симулятора выявлен ряд замечаний и подготовлены рекомендации для улучшения качества готового изделия и повышения его долговечности.

Ввиду того, что по мере заполнения давление на стенки и дно формы увеличивается, необходимо пересмотреть конструкцию заливочной формы, повысить плотность заполнения и количество слоёв стенки, особенно для первого яруса, на который приходится максимальная нагрузка. Аналогично — укрепить и увеличить толщину дна формы во избежание её деформации. Для улучшения показателя надёжности и безопасности формы следует дополнить количество рёбер жесткости — время изготовления увеличится примерно на 25–30%.

При применении технологии заливки силиконовой смеси в форму критически важным является неполное разовое заполнение ярусов формы. В процессе изготовления выявлено, что оптимальное заполнение яруса — не более 75%, так как смеси необходимо отстояться и затвердеть. В противном случае из-за высокого гидростатического давления смеси в форме увеличивается вероятность протекания состава между стыками ярусов и частей формы.

Перед заливкой очередного яруса поверхность затвердевшего силиконового состава обрабатывалась раствором уксусной кислоты (70%) для улучшения адгезии слоёв друг с другом и разрушения оксидного слоя на его поверхности.

В ходе постепенного наращивания числа залитых ярусов симулятора обнаружено, что фаланги пальцев костной системы упираются в верхнюю часть формы. Для обеспечения правильности размещения костной системы в толще мягких тканей напечатан дополнительный ярус формы толщиной 7 мм, что позволило увеличить общую высоту формы и анатомически верно расположить костную систему относительно поверхности симулятора.

По мере затвердевания состава необходимо осуществлять постепенное ослабление крепёжных элементов для снижения риска разрушения стенок, так как со временем фантом расширяется и возникает высокая нагрузка на форму.

На последней стадии заливки опалубки обнаружено, что после отливки и затвердевания состава в мягких тканях симулятора сохранились мелкие пузырьки воздуха, что некритично снижает плотность и анатомическую схожесть мягких тканей с тканями человека. Для устранения данной проблемы необходимо добавить стадию вибрационной обработки (простукивания формы) для упрощения и ускорения выхода пузырьков газа из плотной среды.

# ОБСУЖДЕНИЕ

После завершения всех этапов сборки проводили рентгенографию медицинского симулятора левой стопы и голеностопного сустава (рис. 8) по аналогии с выполнением обзорных рентгеновских снимков стопы и голеностопного







Рис. 8. Рентгенограммы медицинского симулятора левой стопы и голеностопного сустава в прямой и боковой проекциях.

Fig. 8. Medical simulator radiographs of the left foot and ankle joint in straight and lateral projections.

сустава у пациентов. На полученных цифровых рентгеновских снимках определяются костные и мягкотканные структуры стопы и голеностопного сустава, соответствующие нормальной анатомии человека. Контуры костей медицинского симулятора ровные, чёткие. Суставные поверхности конгруэнтны, рентгеновские суставные щели прослеживаются.

Однако рентгенологическая картина медицинского симулятора всё же отличается от стандартных снимков стопы и голеностопного сустава. Кости медицинского симулятора однородны, высокой плотности, типичная костная структура не прослеживается, отсутствует дифференциация на кортикальную и губчатую кости. Мягкие ткани тренажёра также отличаются от визуализации мягких тканей при выполнении стандартной рентгенографии голеностопного сустава и стопы: отсутствует какая-либо дифференциация, ткани представлены однородной структурой с низкой плотностью. В толще мягких тканей визуализируются незначительные по размерам скопления воздуха в виде пузырьков, которые, вероятно, образовались в процессе заливки симулятора силиконом. Результаты рентгенологического исследования симулятора в виде рентгеновских снимков представлены на рис. 8.

Также несмотря на то, что у разработанного симулятора тактильное восприятие имеет относительное сходство с мягкими тканями человека, изделие не позволяет имитировать различные положения при рентгенографии.

Несмотря на имеющиеся недостатки и некоторое несоответствие в рентгенологической картине симулятора и настоящих рентгеновских снимков стопы, данный тренажёр всё же позволит повысить качество обучения рентген-лаборантов в период их профессиональной переподготовки за счёт освоения практических навыков проведения рентгенографии в разных проекциях на различных режимах аппарата и с изменением других параметров рентгенологического исследования.

Для ценового сравнения разработанного симулятора с зарубежными аналогами проведён ориентировочный расчёт стоимости основных компонентов и комплектующих

симулятора. Таким образом, ориентировочная стоимость всех основных компонентов и комплектующих симуляторов может составить 5300 рублей (в нашем случае).

Следует также отметить, что форма для отливки может быть многоразовой и использоваться при повторной заливке силиконом. Соответственно, изготовление последующих симуляторов с учётом имеющейся формы для отливки будет обходиться в 1300 рублей. Для сравнения: цена ранее представленного зарубежного аналога [13] составляет 5117 евро.

Производство разработанного симулятора является технологически простым, поэтому изготовлением данной продукции могут заниматься предприятия, владеющие технологией 3D-печати. В связи с развитием аддитивных технологий в Российской Федерации и их внедрением в повседневную деятельность медицинских организаций предложенную технологию разработки симуляторов целесообразно использовать непосредственно в медицинских учреждениях. Изготовление изделий на базе медицинских учреждений позволит воспроизводить симуляторы с учётом особенностей и задач, которые стоят перед медицинским персоналом.

Несомненным плюсом реализации данной технологии является использование доступных FDM 3D-принтеров начального уровня.

В отечественных реалиях производства и изготовления симуляторов особое место занимает импортозамещение исходных компонентов и расходных материалов. В данной экспериментальной работе разработан симулятор полностью из отечественных материалов.

Таким образом, медицинский симулятор целесообразно использовать для проведения учебно-тренировочных рентгенологических исследований, так как он позволяет рентген-лаборантам отрабатывать навыки выполнения рентгеновских снимков стопы и голеностопного сустава, правильно подбирать параметры исследования, накапливать опыт позиционирования пациента и рентгеновской трубки с целью получения качественных прицельных рентгенограмм отдельных анатомических структур.

### ЗАКЛЮЧЕНИЕ

Разработан и изготовлен медицинский симулятор для отработки навыков выполнения рентгенологических исследований стопы и голеностопного сустава рентген-лаборантами. Полученное изделие имеет ряд недоработок и конструктивных недостатков, однако отличается низкой себестоимостью и может применяться в процессе подготовки и обучения рентген-лаборантов.

# **ДОПОЛНИТЕЛЬНО**

**Вклад авторов.** Все авторы подтверждают соответствие своего авторства международным критериям ICMJE (все авторы внесли существенный вклад в разработку концепции и подготовку

статьи, прочли и одобрили финальную версию перед публи-кацией)

Источник финансирования. Не указан.

**Конфликт интересов.** Авторы декларируют отсутствие явных и потенциальных конфликтов интересов, связанных с публикацией настоящей статьи.

# **ADDITIONAL INFO**

**Author's contribution.** Thereby, all authors made a substantial contribution to the conception of the work, drafting and revising the work, final approval of the version to be published and agree to be accountable for all aspects of the work.

Funding source. Not specified.

**Competing interests.** The authors declare that they have no competing interests.

### СПИСОК ЛИТЕРАТУРЫ

- **1.** Кондратенко И.В. Биомеханическое исследование состояния структур ступни при переломе наружной лодыжки // Наука настоящего и будущего. 2018. № 1. С. 418–421.
- **2.** Li Y., Guo R., Wang Y., Ma J., Miao X., Yang J., Zhang Z., Wu X., Ren T., Jiang D. Shoe-Integrated Sensor System for Diagnosis of the Concomitant Syndesmotic Injury in Chronic Lateral Ankle Instability: A Prospective Double-Blind Diagnostic Test // Nanomaterials (Basel). 2023. Vol. 13, № 9. P. 1539. doi: 10.3390/nano13091539
- **3.** Koh D., Chandrakumara D., Kon Kam King C. Incidence of Injuries Associated with Anterior Talofibular Ligament Injury Based on the Reporting of Magnetic Resonance Imaging // Cureus. 2023. Vol. 15,  $N^{\circ}$  7. P. e41738. doi: 10.7759/cureus.41738
- **4.** Zeng J., Xu C., Xu G., Wang D., et al. The Global Status of Research in Ankle Fracture: A Bibliometric and Visualized Study // Front Surg. 2022. Vol. 14, № 9. P. 853101. doi: 10.3389/fsurg.2022.853101
- **5.** Солод Э.И., Загородний Н.В., Лазарев А.Ф., и др. Возможности оперативного лечения переломов лодыжек при проблемах кожных покровов области голеностопного сустава // Уральский медицинский журнал. 2019. № 12. С. 96—101.
- **6.** Самохвалов И.М., Борисов М.Б., Магомедов Н.Б., Ганин Е.В. Опыт 3D-моделирования в травматологии и ортопедии // Клиническая патофизиология. 2020. Т. 26, № 1. С. 52–58.
- **7.** Карлова Н.А., Бойцова М.Г., Зорин Я.П. Организация самостоятельной работы ординаторов по специальности «Рентгенология» с элементами симуляционного обучения // Визуализация в медицине. 2020. Т. 2, № 4. С. 3–6.
- **8.** Венцерова Н.В., Потлов А.Ю., Тымчук Т.М. Тканеимитирующие фантомы в медицине и биологии // V Международная научнопрактическая конференция «Виртуальное моделирование, прототипирование и промышленный дизайн»; 2018; Тамбов. Режим

доступа: https://www.elibrary.ru/ip\_restricted.asp?rpage=https%3A %2F%2Fwww%2Eelibrary%2Eru%2Fitem%2Easp%3Fid%3D37068545

- **9.** Солдатов Ю.П. Симуляторы собственной конструкции в обучении врачей травматологов-ортопедов // Виртуальные технологии в медицине. 2019. № 2. С. 63. doi:  $10.46594/2687-0037\_2019\_2\_63$
- **10.** Кушнарев С.В., Железняк И.С., Кравчук В.Н., и др. Применение 3D-моделей сердца, созданных на основе DICOM-изображений, в медицинской практике // Лучевая диагностика и терапия. 2020. Т. 11, № 3. С. 7—13. doi: 10.22328/2079-5343-2020-11-3-7-13
- **11.** Ramos S.M.O., Thomas S., Berdeguez M.B.T., et al. Anthropomorphic phantoms-potential for more studies and training in radiology // Int J Radiol Radiat Ther. 2017. Vol. 2,  $N^{\circ}$  4. P. 101–104. doi: 10.15406/ijrrt.2017.02.00033
- **12.** Бондаренко Е.В., Хоронько Л.Я. Симуляционное обучение как ведущее направление развития медицины // Мир науки. Педагогика и психология. 2022. Т. 10, № 3. С. 1–7.
- **13.** X-Ray Phantom Foot, transparent [Internet] [дата обращения 19.02.2023]. Доступ по ссылке: www.erler-zimmer.de/shop/en/9318?c=2241
- **14.** Громов А.И., Низовцова Л.А., Петряйкин А.В., и др. Симуляционные модули в обучении и квалификационной оценке врачей и средних медработников по специальности «Рентгенология» // Виртуальные технологии в медицине. 2015. Т. 2, № 14. С. 43–44.
- **15.** Парамонов Т.А., Маркин И.В., Ан В.Р., и др. Медицинский симулятор для подготовки врачей-травматологов: экспериментальная работа // Вестник травматологии и ортопедии им. Н.Н. Приорова. 2022. Т. 29, № 3. С. 279—288. doi: 10.17816/vto110979

# **REFERENCES**

- **1.** Kondratenko IV. Biomekhanicheskoe issledovanie sostoyaniya struktur stupni pri perelome naruzhnoj lodyzhki. *Nauka nastoyashchego i budushchego*. 2018;(1):418–421. (In Russ).
- 2. Li Y, Guo R, Wang Y, Ma J, Miao X, Yang J, Zhang Z, Wu X, Ren T, Jiang D. Shoe-Integrated Sensor System for Diagnosis of the
- Concomitant Syndesmotic Injury in Chronic Lateral Ankle Instability: A Prospective Double-Blind Diagnostic Test. *Nanomaterials (Basel)*. 2023;13(9):1539. doi: 10.3390/nano13091539
- **3.** Koh D, Chandrakumara D, Kon Kam King C. Incidence of Injuries Associated with Anterior Talofibular Ligament Injury

Based on the Reporting of Magnetic Resonance Imaging. *Cureus*. 2023;15(7):e41738. doi: 10.7759/cureus.41738

- **4.** Zeng J, Xu C, Xu G, Wang D, et al. The Global Status of Research in Ankle Fracture: A Bibliometric and Visualized Study. *Front Surg.* 2022;14(9):853101. doi: 10.3389/fsurg.2022.853101
- **5.** Solod EI, Zagorodnij NV, Lazarev AF, i dr. Vozmozhnosti operativnogo lecheniya perelomov lodyzhek pri problemah kozhnyh pokrovov oblasti golenostopnogo sustava. *Ural'skij medicinskij zhurnal*. 2019;(12):96–101. (In Russ).
- **6.** Samohvalov IM, Borisov MB, Magomedov NB, Ganin EV. Opyt 3D-modelirovaniya v travmatologii i ortopedii. *Klinicheskaya patofiziologiya*. 2020;26(1):52–58. (In Russ).
- **7.** Karlova NA, Bojcova MG, Zorin YaP. Organizaciya samostoyatel'noj raboty ordinatorov po special'nosti «Rentgenologiya» s elementami simulyacionnogo obucheniya. *Vizualizaciya v medicine*. 2020;2(4):3—6. (In Russ).
- **8.** Vencerova NV, Potlov AYu, Tymchuk TM. Tkaneimitiruyushchie fantomy v medicine i biologii. V Mezhdunarodnaya nauchno-prakticheskaya konferenciya «Virtual'noe modelirovanie, prototipirovanie i promyshlennyj dizajn»; 2018; Tambov. Available from: https://www.elibrary.ru/ip\_restricted.asp?rpage=https%3A% 2F%2Fwww%2Eelibrary%2Eru%2Fitem%2Easp%3Fid%3D37068545 (In Russ).

# **9.** Soldatov YuP. Simulyatory sobstvennoj konstrukcii v obuchenii vrachej travmatologov-ortopedov. *Virtual'nye tekhnologii v medicine*. 2019;(2):63. (In Russ). doi: 10.46594/2687-0037\_2019\_2\_63

- **10.** Kushnarev SV, Zheleznyak IS, Kravchuk VN, i dr. Primenenie 3D-modelej serdca, sozdannyh na osnove DICOM-izobrazhenij, v medicinskoj praktike. *Luchevaya diagnostika i terapiya*. 2020;11(3):7–13. (In Russ). doi: 10.22328/2079-5343-2020-11-3-7-13
- **11.** Ramos SMO, Thomas S, Berdeguez MBT, et al. Anthropomorphic phantoms-potential for more studies and training in radiology. *Int J Radiol Radiat Ther*. 2017;2(4):101–104. doi: 10.15406/ijrrt.2017.02.00033
- **12.** Bondarenko EV, Khoronko LYa. Simulation training as a leading direction in the development of medicine. *Mir nauki. Pedagogika i psihologiya*. 2022;10(3):1–7. (In Russ).
- **13.** X-Ray Phantom Foot, transparent [Internet] [cited 2023 February 19]. Available from: www.erler-zimmer.de/shop/en/9318?c=2241
- **14.** Gromov AI, Nizovcova LA, Petryajkin AV, i dr. Simulyacionnye moduli v obuchenii i kvalifikacionnoj ocenke vrachej i srednih medrabotnikov po special'nosti «Rentgenologiya». *Virtual'nye tekhnologii v medicine*. 2015;2(14):43–44. (In Russ).
- **15.** Paramonov TA, Markin IV, An VR, i dr. Medicinskij simulyator dlya podgotovki vrachej-travmatologov: eksperimental'naya rabota. *Vestnik travmatologii i ortopedii im. N.N. Priorova.* 2022;29(3):279–288. (In Russ). doi: 10.17816/vto110979

### ОБ АВТОРАХ

### \* Маркин Илья Владимирович, к.т.н.;

адрес: Россия, Анапа, 353456, Пионерский пр., 41;

ORCID: 0000-0002-9334-910X; eLibrary SPIN: 6021-7645; e-mail: ilya.markin.92@bk.ru

### Александров Константин Сумбатович, ефрейтор,

старший оператор 3-й научной роты; e-mail: aleksandrov.97@mail.ru

#### Варламова Наталья Валерьевна, д.т.н.,

старший научный сотрудник; ORCID: 0000-0002-6100-2427; eLibrary SPIN: 9139-6019; e-mail: varlamova@tpu.ru

### Потапов Пётр Кириллович, к.м.н.;

eLibrary SPIN: 5979-4490; e-mail: forwardspb@mail.ru

### Журбин Евгений Александрович, к.м.н.;

ORCID: 0000-0002-0867-3838; eLibrary SPIN: 8426-1354; e-mail: zhurbin-90@mail.ru

### Матыцин Антон Николаевич, ефрейтор,

старший оператор 3-й научной роты;

e-mail: an.matysin@gmail.com

\* Ilya V. Markin, Cand. Sci. (Tech.);

address: 41 Pionerskiy prospect, Anapa, 353456, Russia;

ORCID: 0000-0002-9334-910X; eLibrary SPIN: 6021-7645; e-mail: ilya.markin.92@bk.ru

### Konstantin S. Alexandrov, corporal,

senior operator of the 3<sup>rd</sup> scientific company;

e-mail: aleksandrov.97@mail.ru

### Natalya V. Varlamova, Dr. Sci. (Tech.),

senior researcher;

ORCID: 0000-0002-6100-2427;

eLibrary SPIN: 9139-6019;

e-mail: varlamova@tpu.ru

### Petr K. Potapov, MD, Cand. Sci. (Med.);

eLibrary SPIN: 5979-4490; e-mail: forwardspb@mail.ru

### Evgeniy A. Zhurbin, MD, Cand. Sci. (Med.);

ORCID: 0000-0002-0867-3838; eLibrary SPIN: 8426-1354; e-mail: zhurbin-90@mail.ru

### Anton N. Matytsin, corporal,

senior operator of the 3<sup>rd</sup> scientific company;

e-mail: an.matysin@gmail.com

**AUTHORS' INFO** 

<sup>\*</sup> Автор, ответственный за переписку / Corresponding author

### Ширшин Александр Вадимович, аспирант,

врач-рентгенолог;

ORCID: 0000-0002-1494-9626; eLibrary SPIN: 4412-0498; e-mail: asmdot@gmail.com

### Щелканова Елена Сергеевна, к.б.н.;

ORCID: 0000-0003-0672-8820; eLibrary SPIN: 8396-0602; e-mail: shchelkanova\_el@mail.ru Alexandr V. Shirshin, post-graduate student,

radiologist;

ORCID: 0000-0002-1494-9626; eLibrary SPIN: 4412-0498; e-mail: asmdot@gmail.com

Elena S. Shchelkanova, Cand. Sci. (Biol.);

ORCID: 0000-0003-0672-8820; eLibrary SPIN: 8396-0602; e-mail: shchelkanova\_el@mail.ru

# Лечение пациентки с хронической каузалгией после хирургического удаления невромы второго межплюсневого промежутка

Д.А. Большакова $^{1,2}$ , А.А. Карданов $^{1}$ , М.Н. Майсигов $^{1}$ , А.В. Королёв $^{1,2}$ 

### *RN*ШАТОННА

Обоснование. Неврома Мортона — распространённая патология, затрагивающая передний отдел стопы. Этиопатогенетически данное заболевание можно отнести к фиброзу нерва, а не опухоли. Несмотря на множество вариантов лечения невромы, наиболее распространённым хирургическим методом является тракционная невротомия. До 35% пациентов, получивших невротомию, испытывают рецидивирующие боли, в трети случаев выявляют неврому культи, вызванную разрастанием волокнистой рубцовой ткани вокруг оставшихся элементов нерва. Для лечения рецидивирующих невром и остаточных болей чаще используют консервативную тактику, однако некоторые пациенты нуждаются в хирургическом лечении. Несмотря на большое количество лиц с данной патологией, лечение таких пациентов представляет сложную задачу для врачей травматологов-ортопедов.

Описание клинического случая. Представлен успешный опыт комбинации консервативного и двухэтапного хирургического лечения пациентки с невромой культи второго межпальцевого промежутка и первичной невромой Мортона. Первым этапом выполнены транспозиция нерва второго межпальцевого промежутка и рассечение межплюсневой связки третьего межпальцевого промежутка. Вторым этапом — иссечение чувствительного подошвенного рубца, резекция подошвенного нерва третьего межпальцевого промежутка, остеотомия Weil второй плюсневой кости.

**Заключение.** Последовательное применение комбинации консервативных и хирургических техник, адекватная ревизия подошвенного нерва, иссечение чувствительного рубца позволяют добиться удовлетворительного результата лечения, купирования болевого синдрома, возможности носить нормальную обувь.

**Ключевые слова:** каузалгия; неврома Мортона; хронический болевой синдром; подошвенный пальцевой нерв; неврома культи нерва.

### Как цитировать:

Большакова Д.А., Карданов А.А., Майсигов М.Н., Королёв А.В. Лечение пациентки с хронической каузалгией после хирургического удаления невромы второго межплюсневого промежутка // Вестник травматологии и ортопедии им. Н.Н. Приорова. 2023. Т. 30, № 3. С. 347–356. DOI: https://doi.org/10.17816/vto528219

Рукопись получена: 26.07.2023 Рукопись одобрена: 23.08.2023 Опубликована: 04.09.2023



<sup>&</sup>lt;sup>1</sup> Европейская клиника спортивной травматологии и ортопедии ECSTO, Москва, Российская Федерация;

<sup>&</sup>lt;sup>2</sup> Российский университет дружбы народов, Москва, Российская Федерация

# Treatment of a patient with chronic causalgia after surgical removal of the neuroma in the second interdigital space

Daria A. Bolshakova<sup>1,2</sup>, Andrey A. Kardanov<sup>1</sup>, Musa N. Maysigov<sup>1</sup>, Andrey V. Korolev<sup>1,2</sup>

- <sup>1</sup> European Clinic of Sports Traumatology and Orthopedics ECSTO, Moscow, Russian Federation;
- <sup>2</sup> Russian University of Peoples' Friendship, Moscow, Russian Federation

### **ABSTRACT**

**BACKGROUND:** Morton's neuroma is a common pathology of the forefoot. Etiopathologically, this disease can be attributed to nerve fibrosis, not a tumor. We now have various therapeutic options for neuromas, the most frequent of which is traction neurectomy. Recurrent pain affects up to 35% of patients with traction neurectomy, and one-third have recurrent stump neuroma produced by the proliferation of fibrous scar tissue around the remaining nerve elements. Conservative treatment methods are more commonly used to treat recurrent neuromas and residual pain, but surgical therapy is required in some cases. Despite the relatively high prevalence, the treatment of such patients is a challenging task for orthopedic traumatologists.

**CLINICAL CASE DESCRIPTION:** We show the effective treatment of a patient with stump neuroma and primary Morton's neuroma in two stages. The second interdigital space nerve was transposed, and the deep, transverse metatarsal ligament of the third interdigital space was dissected in the first stage. The second stage consists of removing the sensitive scar, resecting the plantar nerve of the third interdigital space, and performing a Weil osteotomy.

**CONCLUSION:** Consistent use of conservative surgical procedures, appropriate revision of the subcutaneous nerve, and excision of a sensitive scar allows for a successful therapeutic outcome, pain alleviation, and the ability to wear normal shoes.

Keywords: causalgia; Morton's neuroma; chronic pain syndrome; plantar nerve; neuroma; case report.

#### To cite this article:

Bolshakova DA, Kardanov AA, Maysigov MN, Korolev AV. Treatment of a patient with chronic causalgia after surgical removal of the neuroma in the second interdigital space. *N.N. Priorov Journal of Traumatology and Orthopedics*. 2023;30(3):347–356. DOI: https://doi.org/10.17816/vto528219

Received: 26.07.2023 Accepted: 23.08.2023 Published: 04.09.2023



### ОБОСНОВАНИЕ

Неврома Мортона — это компрессионная невропатия, вызванная периневральным фиброзом общего подошвенного межпальцевого нерва, который возникает в результате сжатия и постоянного раздражения нерва подошвенной частью поперечной межплюсневой связки, главным образом в третьем межпальцевом промежутке [1].

По данным Zanetti с соавт., распространённость невромы Мортона варьирует от 30 до 33%. Столь высокий показатель в популяции авторы объясняют значительной частотой бессимптомного утолщения нерва [2–4]. Женщины страдают невромой Мортона в 8–18 раз чаще мужчин [5–8].

Клинически неврома Мортона обычно вызывает боль в передней части стопы, которая может иррадиировать в пальцы ног, а иногда и в тыльную сторону стопы или даже в голень. Эта боль обычно усиливается при ношении нефизиологичной обуви и часто облегчается, если снять обувь и помассировать болезненную переднюю часть стопы [8, 9].

Существует ряд консервативных методов лечения пациентов с невромой Мортона: использование ортопедических стелек и правильно подобранной физиологичной обуви, инъекции кортикостероидов, инъекции этанола, ударно-волновая терапия, радиочастотная абляция, криоабляция, инъекции капсаицина, инъекции ботулинического токсина, лазерная терапия [10—14].

Хирургические методы лечения применяются как самостоятельно, так и при неэффективности консервативной терапии. По данным литературы можно выделить разные подходы к хирургической тактике: от резекции или тракционной невротомии поражённого нерва до устранения биомеханической причины — уменьшения избыточной длины плюсневой кости — или сочетание этих методов [9, 15, 16].

Несмотря на большое количество предложенных методов лечения, зачастую они оказываются безуспешными. При проведении статистического анализа, описанного Thomson с соавт., одним из самых успешных методов оказались инъекции кортикостероидов, приводящие к долгосрочному удовлетворительному результату в 50% случаев [14].

Частота неудачных операций у пациентов с невромой Мортона, по некоторым данным, достигает 30%. Основными причинами боли после хирургического лечения являются: неверно определённая первичная локализация невромы и как следствие — ревизия неверного межпальцевого промежутка, неполная резекция, сложный регионарный болевой синдром или рецидив невромы (неврома культи нерва) [10].

# ОПИСАНИЕ КЛИНИЧЕСКОГО СЛУЧАЯ

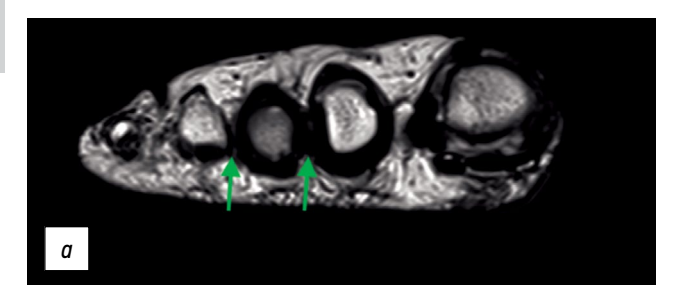
Мы представляем клинический случай каузалгии переднего отдела стопы у пациентки с двумя невромами

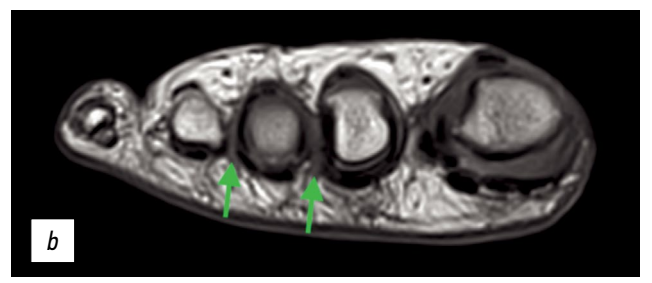
и длительным анамнезом безуспешного консервативного и хирургического лечения.

Пациентка С. обратилась к нам в клинику в 2018 году с жалобами на жгучую, стреляющую боль во втором и третьем межпальцевых промежутках правой стопы после хирургического лечения, проведённого в сторонней клинике. Со слов пациентки и по данным медицинской документации, боль во втором межпальцевом промежутке манифестировала в 2018 году на фоне повышенных нагрузок на ноги и ношения узкой обуви. По данным ультразвукового исследования (УЗИ) выявлены неврома Мортона и неврома Хаузера. В августе 2018 года в сторонней клинике пациентке были выполнены тракционная неврэктомия во втором межпальцевом промежутке, рассечение межплюсневой связки в третьем межпальцевом промежутке с выраженным отрицательным эффектом в раннем послеоперационном периоде: стреляющие боли в проекции хирургического вмешательства, онемение второго пальца, чувство перекатывания шарика под кожей в зоне невромы. Оперировавшим хирургом и нами была рекомендована выжидательная тактика.

В 2020 году пациентке было выполнено УЗИ, на котором выявлены рубцовые изменения во втором межпальцевом промежутке, невринома культи нерва, неврома Мортона в третьем межпальцевом промежутке. Пациентка проходила консервативное лечение: блокады с гидрокортизоном с временным положительным эффектом (не более недели). Учитывая хронический болевой синдром, врачом-неврологом была назначена системная терапия габапентином — без положительного эффекта. На исследовании методом магнитно-резонансной томографии (МРТ) в сентябре 2020 года (рис. 1а) выявлены два гипоинтенсивных образования во втором и третьем межпальцевых промежутках. В декабре 2020 года пациентке выполнена радиочастотная термодеструкция постхирургической культи нерва и кожного нерва правой стопы во втором межпальцевом промежутке с временным (не более двух недель) положительным эффектом. Для уточнения диагноза и определения тактики дальнейшего лечения пациентка повторно выполнила УЗИ правой стопы (медицинская документация предоставлена). Были выявлены УЗ-признаки гипоэхогенного образования в третьем межплюсневом промежутке, признаки постоперационных изменений во втором межплюсневом промежутке, признаков асимметрии строения подошвенных нервов между правой и левой нижними конечностями не обнаружено.

В марте 2021 года пациентке было выполнено введение в поражённые межплюсневые промежутки препарата ксеомин 50 ед с умеренным положительным эффектом. В декабре 2021 года пациентке осуществлена радиочастотная ризотомия культи нерва и кожного нерва правой стопы во втором и третьем межпальцевых промежутках без положительного эффекта. В качестве консервативной терапии для облегчения болей пациентка принимала





**Рис. 1.** Этапные магнитно-резонансные томографии MPT пациентки С.: *а* — сентябрь 2020 г.: два гипоинтенсивных образования во втором и третьем межпальцевых промежутках; *b* — сентябрь 2021 г.: два гипоинтенсивных образования во втором и третьем межпальцевых промежутках. При сравнении с MPT от 2020 года — увеличение интенсивности сигнала (уменьшение плотности фиброза).

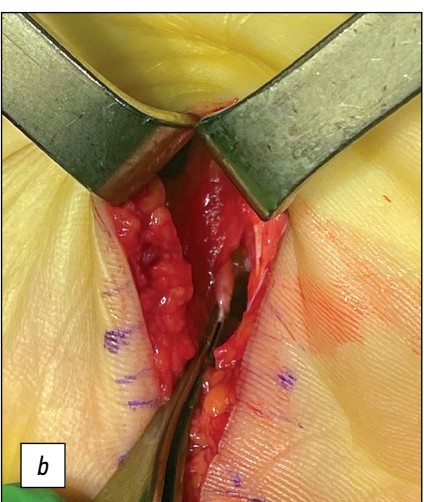
Fig. 1. Staged magnetic resonance imaging MRI of patient S.: *a* — september 2020: two hypointensive lesion in the second and third interdigital spaces; *b* — september 2021: two hypointensive lesion in the second and third interdigital spaces. When compared with MRI from 2020, an increase in signal intensity (decrease fibrosis density).

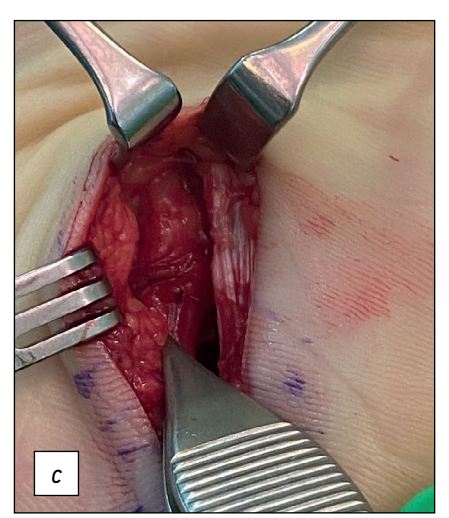
лирику (прегабалин) 150 мг с умеренным положительным эффектом. На MPT-исследовании (рис. 1b) отмечена слабоположительная динамика — уменьшение плотности рубцовой ткани во втором межпальцевом промежутке.

В апреле 2022 года пациентка повторно была проконсультирована врачом травматологом-ортопедом нашей клиники. Запланировано хирургическое лечение, для купирования болевого синдрома выполнено введение препарата кеналог (триамцинолон) 40 мг (1 мл) во второй и третий межпальцевые промежутки с умеренным положительным эффектом. В мае 2022 года пациентке было выполнено хирургическое вмешательство в следующем объёме: ревизия второго и третьего подошвенных нервов правой стопы, релиз, транспозиция второго нерва и иссечение рубцовой ткани. Операция выполнялась из подошвенного доступа в положении больной лёжа на животе.

В ходе ревизии были обнаружены второй подошвенный нерв с признаками отрыва, выраженный рубцово-спаечный процесс. Дистальный конец культи резецирован, сформирован и заложен в толщу поперечной головки M. adductor hallucis, фиксирован рассасывающейся нитью PDS 5/0 (рис. 2). По желанию пациентки неврома в области третьего межпальцевого промежутка не была удалена, однако были произведены релиз нерва, рассечение спаек. В раннем послеоперационном периоде пациентка была удовлетворена проведённым лечением, однако боль в третьем межпальцевом промежутке сохранилась. Для улучшения реабилитации и учитывая необходимость пациентки выйти на работу была выполнена инъекция лидокаина на 14-е сутки с момента операции в третий межпальцевый промежуток с умеренным положительным эффектом. Послеоперационная рана зажила первичным

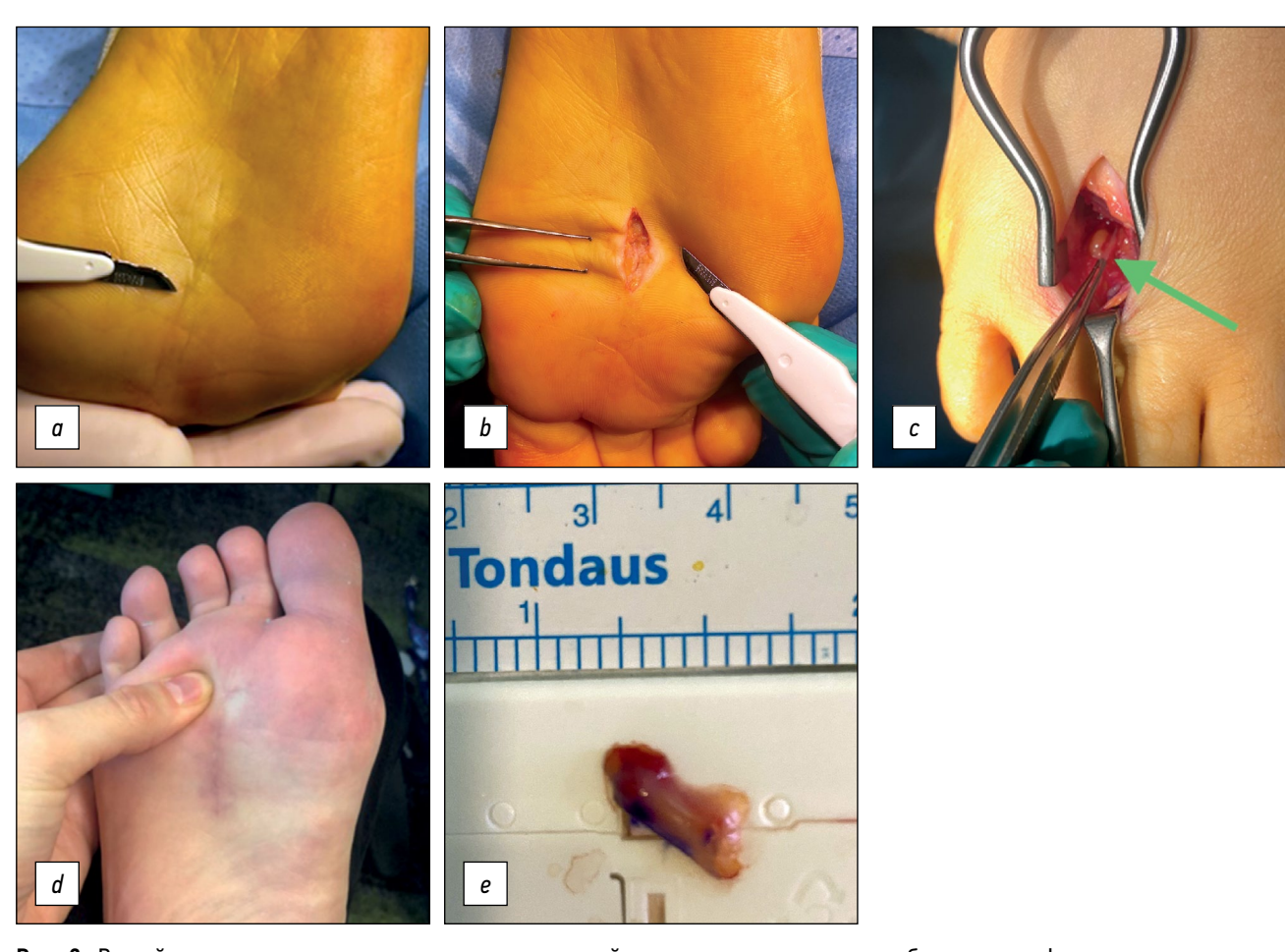






**Рис. 2.** Первый этап хирургического лечения: *а* — этап ревизии второго подошвенного нерва: отрыв культи, выраженный спаечный процесс; *b* — культя нерва после повторной резекции, остро сформирован конец нерва, в толщу нервного ствола введён 2% раствор лидокаина; *c* — сформированная культя нерва заложена в толщу поперечной головки M. adductor hallucis, зафиксирована рассасывающейся нитью PDS 5/0.

Fig. 2. The first stage of surgical treatment: a — revision of the second plantar nerve: separation of the stump, pronounced adhesive process; b — nerve stump after resection, the end of the nerve is acutely formed, a 2% lidocaine solution is injected into of the nerve trunk; c — the formed nerve stump is integrated in the transverse head of M. adductor hallucis, fixed by the absorbable thread PDS 5/0.



**Рис. 3.** Второй этап хирургического лечения: a — внешний вид послеоперационного рубца, гипертрофированные участки соединительной ткани; b — малый подошвенный доступ для ревизии только гипертрофированного рубца; c — тыльный доступ, стрелкой показана неврома Мортона; d — внешний вид подошвенного рубца через 3 месяца после операции; e — полученный нами резецированный участок третьего межпальцевого нерва, направленный на гистологическое исследование.

Fig. 3. The second stage of surgical treatment: a — the appearance of the postoperative scar, hypertrophied areas of connective tissue; b — small plantar approach for revision the hypertrophied scar; c — dorsal approach, the arrow shows Morton's neuroma; d — the appearance of the plantar scar 3 months after surgery; e — the resected section of the third interdigital nerve obtained by us, directed at histological examination.

натяжением без особенностей. Через два месяца после операции пациентка обратилась в стороннюю ортопедическую клинику за рубежом, где ей было выполнено введение глюкокортикостероидов (медицинская документация не предоставлена) с кратковременным улучшением, а затем резким ухудшением через две недели. Была выполнена МРТ, обнаружены признаки дегенерации подкожно-жировой клетчатки в области подошвы в зоне головок второй и третьей плюсневых костей. При ходьбе пациентка начала отмечать, что «ходит будто на костях». Для оценки изменений в динамике пациентка повторно выполнила МРТ. Проконсультирована в нашей клинике, рекомендовано хирургическое лечение в следующем объёме: иссечение послеоперационного рубца, удаление невромы Мортона, релиз третьего подошвенного нерва, остеотомия Weil третьей плюсневой кости правой стопы. В январе 2023 года было выполнено хирургическое лечение (рис. 3). Ранний послеоперационный период протекал без осложнений, боль полностью регрессировала.

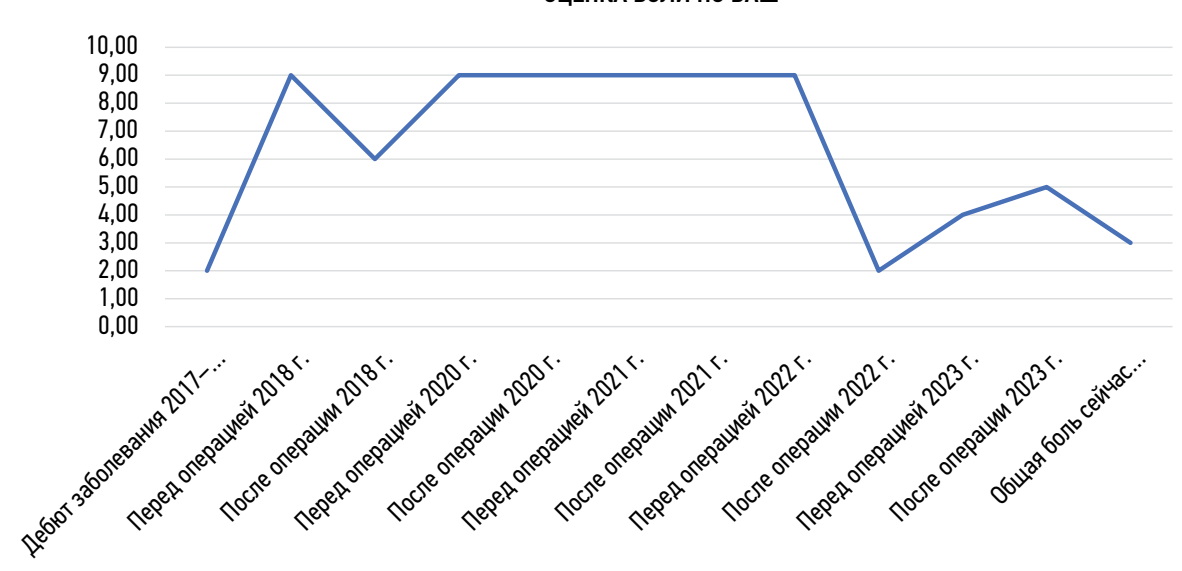
Период реабилитации в послеоперационной обуви Барука составил 6 недель, далее пациентка смогла ходить в собственной обуви. Клинический результат оценён через 3 и 6 месяцев после операции: послеоперационный рубец состоятельный, без признаков гипертрофии. Однако сохранились остаточные боли в области головок плюсневых костей при нагрузке (до 3 баллов по визуально-аналоговой шкале ВАШ). Динамика болевого синдрома по ВАШ представлена на рис. 4.

# ОБСУЖДЕНИЕ

Неудовлетворительные результаты как консервативного, так и хирургического лечения пациентов с межпальцевой невромой встречаются относительно часто.

Colò с соавт. указывают, что положительные результаты лечения мягкой обувью и стельками могут наблюдаться у пациентов с невромами до 5–6 мм [11]. Широкое распространение именно этого консервативного метода

### ОЦЕНКА БОЛИ ПО ВАШ



**Рис. 4.** График динамики боли, субъективно оценённой пациенткой по визуально-аналоговой шкале ВАШ, с момента дебюта заболевания до шести месяцев после финального этапа хирургического лечения.

Fig. 4. The graph of the pain assessed by the patient on a visual analog scale VAS, from the debut moment of the disease to six months after the final stage of surgical treatment.

мы объясняем тем, что он единственный абсолютно безопасен.

Несмотря на то, что в зарубежной литературе все инъекционные методы традиционно относят к группе «non-surgical» (нехирургические), большинство из них достаточно инвазивны и могут приводить к серьёзным побочным эффектам. Атрофия подкожно-жировой клетчатки и подошвенной жировой подушечки, изменение цвета кожи и разрушение суставной капсулы, прилегающей к месту инъекции, что вызывает деформацию пальца стопы, являются некоторыми из зарегистрированных побочных эффектов инъекций кортикостероидов [17, 18]. В рандомизированном исследовании, опубликованном в 2017 году, не было выявлено статистически значимой разницы между инъекциями местного анестетика и его же в сочетании с кортикостероидами [19].

Инъекция спирта была впервые предложена Dockery в 1999 году для достижения химического невролиза поражённого нерва [20]. В литературе описаны противоречивые результаты применения данного метода: от 72,3 % положительных результатов до 71% отрицательных [21, 22]. Такой разброс данных можно объяснить разными периодами наблюдения.

Исследования с ботулотоксином и капсаицином проводились в течение очень короткого периода наблюдения (3 и 1 месяц соответственно), положительные результаты инъекций с капсаицином составили 46,3%, ботулотоксином — 70,6 % [5, 23].

В исследовании Chuter с соавт. 85% исследуемых оценили свой результат радиочастотной абляции как удовлетворительный через 6 месяцев после лечения, 10% удалили неврому хирургическим путём [24].

Несмотря на облегчение клинических симптомов, неуспешность консервативного лечения, по мнению Mann с соавт., в долгосрочной перспективе составляет около 70–80% [7].

Опубликованные результаты удовлетворённости хирургическим лечением разнятся и составляют от 50 до 85% [25–27].

Описано множество различных хирургических методик удаления невромы, из них ведущими являются резекция поражённой части нерва, тракционная невротомия, рассечение межплюсневой связки [17, 28].

Частота рецидивов после первичного удаления межпальцевой невромы составляет от 14 до 21%. По данным Adnan с соавт., рецидив симптомов после межпальцевой неврэктомии обусловлен неправильным диагнозом, другим межпальцевым промежутком, неразделённой поперечной межплюсневой связкой, слишком дистальным пересечением общего подошвенного пальцевого нерва и неполным удалением первичной невромы [29].

Изучая гистологические предпосылки к образованию невромы культи нерва, ряд авторов заключили, что после повреждения нерва или его резекции неорганизованное прорастание аксонов может привести к болезненному образованию невромы культи из-за нарушения целостности и повреждений в периферической нервной ткани [1, 28]. Гистопатологические изменения в нерве могут проявляться фиброзом внутри нерва и вокруг него, сопровождающимся разрушением аксонов и пролиферацией шванновских клеток и фибробластов [17].

При ревизии рецидивирующих невром Frush с соавт. выявили, что 19% являются первичными невромами, 22% — культевыми невромами, 44% — комбинацией

двух видов невром и 15% — патологией, не связанной с невромами [25].

Консервативное лечение рецидивирующих невром возможно и отдельно обсуждается с пациентом. Используют модификации обуви, специальные вкладыши, инъекции лидокаина, в том числе для дополнительной дифференциальной диагностики [27].

Хирургическое лечение включает декомпрессию, тыльную ревизию и резекцию, подошвенную ревизию и резекцию, транспозицию нерва в межмышечное пространство или брюшко мышцы, использование защитной тканевой матрицы нервной ткани на нерв [1, 25, 27].

Применение стандартных нехирургических (габапентин, прегабалин) и хирургических (радиочастотная абляция) методов лечения в рассматриваемом случае не дало стойкого положительного результата. Однако временный положительный эффект наблюдался при использовании регионарных блокад с применением препарата кеналог и растворов лидокаина. Невриномы культи — это частое явление, возникающее после повреждения или рассечения нерва. При неуспешном лечении с помощью консервативных методов стоит обратиться к хирургической ревизии невриномы культи.

По нашему мнению, использование подошвенного доступа при ревизионных операциях является методом выбора, обеспечивающим лучшую визуализацию, возможность адекватной ревизии всех структур, окружающих подошвенный нерв. Однако минусы его применения при первичной операции — более тяжёлая реабилитация, риск раневых осложнений и чувствительности рубца — ограничивают использование данной тактики и требуют дополнительного обсуждения с пациентом [1, 10].

### ЗАКЛЮЧЕНИЕ

Несмотря на кажущуюся простоту диагностики и лечения пациентов с межпальцевой невромой, отсутствие единого диагностического алгоритма, слабая подготовленность врачей первичного профиля приводят к большому количеству осложнений и неправильному лечению, высокой частоте рецидива невропатических болей. На сегодняшний день отсутствует единый подход к лечению

рецидивирующей каузалгии переднего отдела стопы. Обилие консервативных и хирургических техник приводят к непоследовательному лечению, неудовлетворительному результату. Недостаточное понимание этиопатогенеза невромы культи нерва порождает большое количество промежуточных этапов лечения, которые не дают результата, а зачастую лишь усугубляют повреждение нерва, психологическое состояние пациента. Последовательное применение как инъекционных методик, так и хирургии, адекватная ревизия и транспозиция подошвенного нерва, иссечение чувствительного рубца позволяют добиться удовлетворительного результата лечения, купирования болевого синдрома, дают возможность носить нормальную обувь.

# ДОПОЛНИТЕЛЬНО

**Вклад авторов.** Все авторы подтверждают соответствие своего авторства международным критериям ICMJE (все авторы внесли существенный вклад в разработку концепции, проведение исследования и подготовку статьи, прочли и одобрили финальную версию перед публикацией).

Источник финансирования. Не указан.

**Конфликт интересов.** Авторы декларируют отсутствие явных и потенциальных конфликтов интересов, связанных с публикацией настоящей статьи.

**Информированное согласие на публикацию.** Пациентка дала своё письменное согласие на публикацию её медицинских данных и фотографий.

# **ADDITIONAL INFO**

**Author contribution.** All authors made a substantial contribution to the conception of the work, acquisition, analysis, interpretation of data for the work, drafting and revising the work, final approval of the version to be published and agree to be accountable for all aspects of the work.

Funding source. Not specified.

**Competing interests.** The authors declare that they have no competing interests.

**Consent for publication.** The patient gave consent to the publication of her medical data and images.

# СПИСОК ЛИТЕРАТУРЫ

- 1. Thomajan C.H. A Method for Entubulating Exposed Nerve Ends Following Neurectomy Using a Porcine Extracellular Matrix Nerve Cap // Foot & Ankle Specialist. 2022. Vol. 15, № 6. P. 579–585. doi: 10.1177/19386400221106642
- **2.** Bencardino J., Rosenberg Z.S., Beltran J., Liu X., Marty-Delfaut E. Morton's neuroma: is it always symptomatic? // American journal of roentgenology. 2000. Vol. 175,  $N^{\circ}$  3. P. 649–653. doi: 10.2214/ajr.175.3.1750649
- 3. Zanetti M., Ledermann T., Zollinger H., Hodler J. Efficacy of MR imaging in patients suspected of having Morton's
- neuroma // American Journal of Roentgenology. 1997. Vol. 168, Nº 2. P. 529–532. doi: 10.2214/ajr.168.2.9016241
- **4.** Zanetti M., Weishaupt D. MR Imaging of the Forefoot: Morton Neuroma and Differential Diagnoses // Seminars in Musculoskeletal Radiology. 2005. Vol. 9, № 3. P. 175–186. doi: 10.1055/s-2005-921938
- **5.** Climent J.M., Mondéjar-Gómez F., Rodríguez-Ruiz C., Díaz-Llopis I., Gómez-Gallego D., Martín-Medina P. Treatment of Morton Neuroma with Botulinum Toxin A: A Pilot Study // Clinical Drug Investigation. 2013. Vol. 33, № 7. P. 497–503. doi: 10.1007/s40261-013-0090-0

- **6.** Goud A., Khurana B., Chiodo C., Weissman B.N. Women's Musculoskeletal Foot Conditions Exacerbated by Shoe Wear: An Imaging Perspective // Am J Orthop (Belle Mead NJ). 2011. Vol. 40,  $N^{\circ}$  4. P. 183–91.
- **7.** Mann R.A., Reynolds J.C. Interdigital Neuroma A Critical Clinical Analysis // Foot & Ankle. 1983. Vol. 3,  $N^0$  4. P. 238–243. doi: 10.1177/107110078300300411
- **8.** Wu K.K. Morton's interdigital neuroma: A clinical review of its etiology, treatment, and results // The Journal of Foot and Ankle Surgery. 1996. Vol. 35, № 2. P. 112–119. doi: 10.1016/s1067-2516(96)80027-5
- **9.** Jain S., Mannan K. The Diagnosis and Management of Morton's Neuroma: A Literature Review // Foot & Ankle Specialist. 2013. Vol. 6. № 4. P. 307–317. doi: 10.1177/1938640013493464
- **10.** Bhatia M., Thomson L. Morton's neuroma Current concepts review // J Clin Orthop Trauma. 2020. Vol. 11, № 3. P. 406–409. doi: 10.1016/j.jcot.2020.03.024
- **11.** Colò G., Rava A., Samaila E.M., Palazzolo A., Talesa G., Schiraldi M., Magnan B., Ferracini R., Felli L. The effectiveness of shoe modifications and orthotics in the conservative treatment of Civinini-Morton syndrome: state of art // Acta Bio Medica Atenei Parmensis. 2020. Vol. 91, № 4-S. P. 60–68. doi: 10.23750/abm.v91i4-S.9713
- **12.** Park C.H., Chang M.C. Forefoot disorders and conservative treatment // Yeungnam University Journal of Medicine. 2019. Vol. 36,  $\mathbb{N}^2$  2. P. 92–98. doi: 10.12701/yujm.2019.00185
- **13.** Saygi B., Yildirim Y., Saygi E.K., Kara H., Esemenli T. Morton neuroma: comparative results of two conservative methods // Foot & Ankle International. 2005. Vol. 26, № 7. P. 556–559. doi: 10.1177/107110070502600711
- **14.** Thomson L., Aujla R., Divall P., Bhatia M. Non-surgical treatments for Morton's neuroma: A systematic review // Foot and Ankle Surgery. 2020. Vol. 26, № 7. P. 736–743. doi: 10.1016/j.fas.2019.09.009
- **15.** Di Caprio F., Meringolo R., Eddine M.S., Ponziani L. Morton's interdigital neuroma of the foot: A literature review // Foot and Ankle Surgery. 2018. Vol. 24,  $N^{\circ}$  2. P. 92–98. doi: 10.1016/j.fas.2017.01.007
- **16.** Gougoulias N., Lampridis V., Sakellariou A. Morton's interdigital neuroma: instructional review // EFORT Open Reviews. 2019. Vol. 4,  $N^{\circ}$  1. P. 14–24. doi: 10.1302/2058-5241.4.180025
- **17.** Munir U., Tafti D., Morgan S. Morton Neuroma. In: StatPearls [Internet]. Treasure Island (FL): StatPearls Publishing, 2023.
- **18.** Ruiz S.F., Olleta N.P., Muñoz P.T., Álvarez L.G., Martínez A.M. Short term comparison between blind and ultrasound guided injection in morton neuroma // European Radiology. 2019. Vol. 29,  $N^{\circ}$  2. P. 620–627. doi: 10.1007/s00330-018-5670-1

- **19.** Lizano-Díez X., Ginés-Cespedosa A., Alentorn-Geli E., Pérez-Prieto D., González-Lucena G., Gamba C., de Zabala S., Solano-López A., Rigol-Ramón P. Corticosteroid Injection for the Treatment of Morton's Neuroma: A Prospective, Double-Blinded, Randomized, Placebo-Controlled Trial // Foot & Ankle International. 2017. Vol. 38,  $N^9$  9. P. 944–951. doi: 10.1177/1071100717709569
- **20.** Dockery G.L. The treatment of intermetatarsal neuromas with 4% alcohol sclerosing injections // The Journal of Foot and Ankle Surgery. 1999. Vol. 38, № 6. P. 403–408. doi: 10.1016/s1067-2516(99)80040-4
- **21.** Gurdezi S., White T., Ramesh P. Alcohol Injection for Morton's Neuroma: A Five-Year Follow-Up // Foot & Ankle International. 2013. Vol. 34,  $\mathbb{N}^9$  8. P. 1064–1067. doi: 10.1177/1071100713489555
- **22.** Perini L., Perini C., Tagliapietra M., Varotto D., Valcarenghi A., Postorino A., Volpe A. Percutaneous alcohol injection under sonographic guidance in Morton's neuroma: follow-up in 220 treated lesions // La radiologia medica. 2016. Vol. 121, № 7. P. 597–604. doi: 10.1007/s11547-016-0622-9
- **23.** Campbell C.M., Diamond E., Schmidt W.K., Kelly M., Allen R., Houghton W., Brady K.L., Campbell J.N. A randomized, doubleblind, placebo-controlled trial of injected capsaicin for pain in Morton's neuroma // Pain. 2016. Vol. 157, № 6. P. 1297–1304. doi: 10.1097/j.pain.00000000000000044
- **24.** Chuter G.S.J., Chua Y.P., Connell D.A., Blackney M.C. Ultrasound-guided radiofrequency ablation in the management of interdigital (Morton's) neuroma // Skeletal Radiology. 2013. Vol. 42,  $N^{o}$  1. P. 107–111. doi: 10.1007/s00256-012-1527-x
- **25.** Frush K., Niester A. Revision of Recurrent Neuromas // Clinics in Podiatric Medicine and Surgery. 2020. Vol. 37, № 3. P. 521–532. doi: 10.1016/j.cpm.2020.03.007
- **26.** Lee K.T., Kim J.B., Young K.W., Park Y.U., Kim J.S., Jegal H. Long-Term Results of Neurectomy in the Treatment of Morton's Neuroma: More Than 10 Years' Follow-up // Foot & Ankle Specialist. 2011. Vol. 4,  $N^{o}$  6. P. 349–353. doi: 10.1177/1938640011428510
- **27.** Richardson D.R., Dean E.M. The Recurrent Morton Neuroma: what now? // Foot and Ankle Clinics. 2014. Vol. 19,  $\mathbb{N}^2$  3. P. 437–449. doi: 10.1016/j.fcl.2014.06.006
- **28.** Pereira R., Dauphinee D., Frania S., Garrett A. Clinical evaluation of an innovative nerve termination cap for treatment and prevention of stump neuroma pain: Results from a prospective pilot clinical study // Foot & Ankle Surgery: Techniques, Reports & Cases. 2022. Vol. 2, Nº 2. P. 100179. doi: 10.1016/j.fastrc.2022.100179
- **29.** Adnan F.A., Acuth H. The outcome after using two different approaches for excision of Morton's neuroma // Chinese Medical Journal. 2010. Vol. 123,  $N^0$  16. P. 2195.

### REFERENCES

- **1.** Thomajan CH. A Method for Entubulating Exposed Nerve Ends Following Neurectomy Using a Porcine Extracellular Matrix Nerve Cap. *Foot & Ankle Specialist.* 2022;15(6):579–585. doi: 10.1177/19386400221106642
- **2.** Bencardino J, Rosenberg ZS, Beltran J, Liu X, Marty-Delfaut E. Morton's neuroma: is it always symptomatic? *American journal of roentgenology.* 2000;175(3):649–653. doi: 10.2214/ajr.175.3.1750649
- **3.** Zanetti M, Ledermann T, Zollinger H, Hodler J. Efficacy of MR imaging in patients suspected of having Morton's neuroma. *American Journal of Roentgenology.* 1997;168(2):529–532. doi: 10.2214/ajr.168.2.9016241
- **4.** Zanetti M, Weishaupt D. MR Imaging of the Forefoot: Morton Neuroma and Differential Diagnoses. *Seminars in Musculoskeletal Radiology*. 2005;9(3):175–186. doi: 10.1055/s-2005-921938

- **5.** Climent JM, Mondéjar-Gómez F, Rodríguez-Ruiz C, Díaz-Llopis I, Gómez-Gallego D, Martín-Medina P. Treatment of Morton Neuroma with Botulinum Toxin A: A Pilot Study. *Clinical Drug Investigation*. 2013;33(7):497–503. doi: 10.1007/s40261-013-0090-0
- **6.** Goud A, Khurana B, Chiodo C, Weissman BN. Women's Musculoskeletal Foot Conditions Exacerbated by Shoe Wear: An Imaging Perspective. *Am J Orthop (Belle Mead NJ)*. 2011;40(4):183–91.
- **7.** Mann RA, Reynolds JC. Interdigital Neuroma A Critical Clinical Analysis. *Foot & Ankle.* 1983;3(4):238–243. doi: 10.1177/107110078300300411
- **8.** Wu KK. Morton's interdigital neuroma: A clinical review of its etiology, treatment, and results. *The Journal of Foot and Ankle Surgery*. 1996;35(2):112–119. doi: 10.1016/s1067-2516(96)80027-5
- **9.** Jain S, Mannan K. The Diagnosis and Management of Morton's Neuroma: A Literature Review. *Foot & Ankle Specialist*. 2013;6(4):307–317. doi: 10.1177/1938640013493464
- **10.** Bhatia M, Thomson L. Morton's neuroma Current concepts review. *J Clin Orthop Trauma*. 2020;11(3):406–409. doi: 10.1016/j.jcot.2020.03.024
- **11.** Colò G, Rava A, Samaila EM, Palazzolo A, Talesa G, Schiraldi M, Magnan B, Ferracini R, Felli L. The effectiveness of shoe modifications and orthotics in the conservative treatment of Civinini–Morton syndrome: state of art. *Acta Bio Medica Atenei Parmensis*. 2020;91(4–S):60–68. doi: 10.23750/abm.v91i4–S.9713
- **12.** Park CH, Chang MC. Forefoot disorders and conservative treatment. *Yeungnam University Journal of Medicine*. 2019;36(2):92–98. doi: 10.12701/yujm.2019.00185
- **13.** Saygi B, Yildirim Y, Saygi EK, Kara H, Esemenli T. Morton neuroma: comparative results of two conservative methods. *Foot & Ankle International*. 2005;26(7):556–559. doi: 10.1177/107110070502600711
- **14.** Thomson L, Aujla R, Divall P, Bhatia M. Non-surgical treatments for Morton's neuroma: A systematic review. *Foot and Ankle Surgery.* 2020;26(7):736–743. doi: 10.1016/j.fas.2019.09.009
- **15.** Di Caprio F, Meringolo R, Eddine MS, Ponziani L. Morton's interdigital neuroma of the foot: A literature review. *Foot and Ankle Surgery.* 2018;24(2):92–98. doi: 10.1016/j.fas.2017.01.007
- **16.** Gougoulias N, Lampridis V, Sakellariou A. Morton's interdigital neuroma: instructional review. *EFORT Open Reviews*. 2019;4(1):14–24. doi: 10.1302/2058-5241.4.180025
- **17.** Munir U, Tafti D, Morgan S. *Morton Neuroma*. In: StatPearls [Internet]. Treasure Island (FL): StatPearls Publishing; 2023.
- **18.** Ruiz SF, Olleta NP, Muñoz PT, Álvarez LG, Martínez AM. Short term comparison between blind and ultrasound guided injection

- in morton neuroma. *European Radiology*. 2019;29(2):620–627. doi: 10.1007/s00330-018-5670-1
- **19.** Lizano-Díez X, Ginés-Cespedosa A, Alentorn-Geli E, Pérez-Prieto D, González-Lucena G, Gamba C, de Zabala S, Solano-López A, Rigol-Ramón P. Corticosteroid Injection for the Treatment of Morton's Neuroma: A Prospective, Double-Blinded, Randomized, Placebo-Controlled Trial. *Foot & Ankle International*. 2017;38(9):944–951. doi: 10.1177/1071100717709569
- **20.** Dockery GL. The treatment of intermetatarsal neuromas with 4% alcohol sclerosing injections. *The Journal of Foot and Ankle Surgery*. 1999;38(6):403–408. doi: 10.1016/s1067-2516(99)80040-4
- **21.** Gurdezi S, White T, Ramesh P. Alcohol Injection for Morton's Neuroma: A Five-Year Follow-Up. *Foot & Ankle International.* 2013;34(8):1064–1067. doi: 10.1177/1071100713489555
- **22.** Perini L, Perini C, Tagliapietra M, Varotto D, Valcarenghi A, Postorino A, Volpe A. Percutaneous alcohol injection under sonographic guidance in Morton's neuroma: follow-up in 220 treated lesions. *La radiologia medica*. 2016;121(7):597–604. doi: 10.1007/s11547-016-0622-9
- **23.** Campbell CM, Diamond E, Schmidt WK, Kelly M, Allen R, Houghton W, Brady KL, Campbell JN. A randomized, double-blind, placebocontrolled trial of injected capsaicin for pain in Morton's neuroma. *Pain*. 2016;157(6):1297–1304. doi: 10.1097/j.pain.00000000000000544
- **24.** Chuter GSJ, Chua YP, Connell DA, Blackney MC. Ultrasound-guided radiofrequency ablation in the management of interdigital (Morton's) neuroma. *Skeletal Radiology*. 2013;42(1):107–111. doi: 10.1007/s00256-012-1527-x
- **25.** Frush K, Niester A. Revision of Recurrent Neuromas. *Clinics in Podiatric Medicine and Surgery.* 2020;37(3):521–532. doi: 10.1016/j.cpm.2020.03.007
- **26.** Lee KT, Kim JB, Young KW, Park YU, Kim JS, Jegal H. Long-Term Results of Neurectomy in the Treatment of Morton's Neuroma: More Than 10 Years' Follow-up. *Foot & Ankle Specialist.* 2011;4(6):349–353. doi: 10.1177/1938640011428510
- **27.** Richardson DR, Dean EM. The Recurrent Morton Neuroma: what now? *Foot and Ankle Clinics*. 2014;19(3):437–449. doi: 10.1016/j.fcl.2014.06.006
- **28.** Pereira R, Dauphinee D, Frania S, Garrett A. Clinical evaluation of an innovative nerve termination cap for treatment and prevention of stump neuroma pain: Results from a prospective pilot clinical study. *Foot & Ankle Surgery: Techniques, Reports & Cases.* 2022;2(2):100179. doi: 10.1016/j.fastrc.2022.100179
- **29.** Adnan FA, Acuth H. The outcome after using two different approaches for excision of Morton's neuroma. *Chinese Medical Journal*. 2010;123(16):2195.

### ОБ АВТОРАХ

\* Большакова Дарья Артуровна, аспирант, врач травматолог-ортопед; ORCID: 0009-0003-3332-9267;

e-mail: dasha.bolsh@gmail.com

### \* Автор, ответственный за переписку / Corresponding author

### **AUTHORS' INFO**

\* Daria A. Bolshakova, post-graduate student, traumatologist-orthopedist; ORCID: 0009-0003-3332-9267; e-mail: dasha.bolsh@gmail.com

### Карданов Андрей Асланович, д.м.н.,

врач травматолог-ортопед; ORCID: 0000-0003-2866-2295; eLibrary SPIN: 5134-8123; e-mail: akardanov@emcmos.ru

### Майсигов Муса Назирович, к.м.н.;

врач травматолог-ортопед; ORCID: 0000-0002-2096-5876; e-mail: mmaysigov@emcmos.ru

### Королёв Андрей Вадимович, д.м.н.,

врач травматолог-ортопед; ORCID: 0000-0002-8769-9963; eLibrary SPIN: 6980-6109; e-mail: korolev.andrey.prof@gmail.com Andrey A. Kardanov, MD, Dr. Sci. (Med.),

traumatologist-orthopedist; ORCID: 0000-0003-2866-2295; eLibrary SPIN: 5134-8123; e-mail: akardanov@emcmos.ru

Musa N. Maysigov, MD, Cand. Sci. (Med.),

traumatologist-orthopedist; ORCID: 0000-0002-2096-5876; e-mail: mmaysigov@emcmos.ru

Andrey V. Korolev, MD, Dr. Sci. (Med.), traumatologist-orthopedist; ORCID: 0000-0002-8769-9963; eLibrary SPIN: 6980-6109; e-mail: korolev.andrey.prof@gmail.com

# Клинико-патогенетическое значение микрососудистого компонента костной ткани

А.А. Агафонова, А.И. Крупаткин, А.И. Дорохин

НМИЦ травматологии и ортопедии им. Н.Н. Приорова, Москва, Российская Федерация

### *RNПАТОННА*

Кровообращение и микроциркуляция костной ткани являются неотъемлемыми компонентами поддержания её обменных и репаративных процессов. Газообмен, транспорт питательных веществ и выведение продуктов метаболизма невозможны без участия костной микроциркуляторно-тканевой системы. Для регенерации костной ткани характерна спаренность ангиогенеза и остеогенеза, что позволяет применять показатели микроциркуляции в качестве дополнительных критериев состояния репаративных процессов. В клинике наиболее целесообразно использование неинвазивных методов диагностики состояния периферического кровообращения и микроциркуляции, которые позволяют оценить динамику сосудистого фактора при патологии кости, в том числе после переломов.

**Ключевые слова:** микроциркуляция; костная ткань; регенерация; лазерная допплеровская флоуметрия; оптические системы; высокочастотная допплерография.

#### Как цитировать:

Агафонова А.А., Крупаткин А.И., Дорохин А.И. Клинико-патогенетическое значение микрососудистого компонента костной ткани // Вестник травматологии и ортопедии им. Н.Н. Приорова. 2023. Т. 30, № 3. С. 357–366. DOI: https://doi.org/10.17816/vto466576

Рукопись получена: 30.05.2023 Рукопись одобрена: 21.07.2023 Опубликована: 06.09.2023



# Clinical and pathogenetic significance of the microvascular component of bone tissue

Anastasia A. Agafonova, Alexandr I. Krupatkin, Alexandr I. Dorokhin

Priorov National Medical Research Center for Traumatology and Orthopedics, Moscow, Russian Federation

### **ABSTRACT**

Bone tissue's blood circulation and microcirculation are critical to its metabolic and reparative processes. Without the participation of the bone microcirculatory tissue system, it is difficult to exchange oxygen and carbon dioxide, transport of nutrients, and excrete metabolic products. The regeneration of bone tissue is characterized by the pairing of angiogenesis and osteogenesis, which allows the use of microcirculation indicators as additional criteria for the state of reparative processes. Non-invasive approaches for detecting the state of peripheral circulation and microcirculation, which would enable assessing the dynamics of the vascular factor in bone pathology, including after fractures, are most practical in the clinic.

Keywords: microcirculation; bone tissue; regeneration; laser Doppler flowmetry; optical systems; high-frequency dopplerography.

### To cite this article:

Agafonova AA, Krupatkin AI, Dorokhin AI. Clinical and pathogenetic significance of the microvascular component of bone tissue. *N.N. Priorov Journal of Traumatology and Orthopedics*. 2023;30(3):357–366. DOI: https://doi.org/10.17816/vto466576

Received: 30.05.2023 Accepted: 21.07.2023 Published: 06.09.2023



# **ВВЕДЕНИЕ**

Кровообращение и микроциркуляция костной ткани являются важными компонентами поддержания и активации её обменных и регенеративных процессов. Газообмен, транспорт питательных веществ и выведение продуктов метаболизма невозможны без участия костной микроциркуляторно-тканевой системы. Синтез коллагена и экспрессия факторов роста инициируют ферменты гидроксилазу и циклооксигеназу, работу которых обеспечивает непрерывное поступление кислорода из микроциркуляторного русла [1, 2]. Эндотелиальные клетки сосудистой стенки функционально взаимосвязаны с клетками костной ткани: клетки костной ткани секретируют ангиогенные факторы, тогда как эндотелиальные клетки продуцируют ангиокринные факторы, регулирующие метаболические процессы в кости [2]. Костный мозг также обладает развитым микроциркуляторным руслом, обеспечивающим жизнедеятельность стволовых клеток и клеток-предшественников [1, 3].

# МЕТОДОЛОГИЯ ПОИСКА ИСТОЧНИКОВ

Авторами был проведён обширный поиск и анализ научных отечественных и зарубежных статей с использованием таких баз данных, как PubMed, Web of Science, Scopus, Google Scholar и eLibrary.Ru. Данный обзор литературы отражает современные подходы в диагностике состояния периферического кровообращения и микроциркуляции костной ткани, а также его клинико-патогенетическое значение в процессах регенерации кости.

# ОБСУЖДЕНИЕ

### Микроциркуляция костной ткани

Питающие артерии и высоковаскуляризированная надкостница являются основными источниками кровоснабжения кости [5]. При этом система кровообращения распределена в кости неоднородно — в эпифизарной области длинных костей кровоток интенсивнее, чем в диафизарной [6]. Система фолькмановских каналов обеспечивает приток артериальной крови к микрососудистой системе костного мозга, сосуды внутри гаверсовых каналов распределяют потоки для кортикального кровоснабжения кости. Однако незрелая костная ткань у детей имеет неорганизованную систему гаверсовых и фолькмановских каналов, дифференциация которых происходит только после окончательного созревания кости [7].

Сосудистые сети длинных костей имеют два типа капилляров — Н и L. В метафизарной области в непосредственной близости к зоне роста содержатся капилляры типа Н, в диафизарной области — капилляры типа L. Сосуды типа Н играют решающую роль в замещении хрящевого матрикса костной тканью во время развития и регенерации кости [8]. Эмиссарные вены и вены надкостничного сплетения отвечают за венозный отток крови от кости [9].

Кроме того, между надкостницей и костным мозгом существуют дополнительные внутрикостные сосудистые сети, транскортикальные капилляры, обеспечивающие непосредственную связь между микроциркуляторной системой надкостницы и костным мозгом [10]. На экспериментальных моделях было доказано, что 80% артериального кровотока и 59% венозного составляют систему транскортикальных капилляров. У человека наличие такого типа капилляров было выявлено путём магнитно-резонансной томографии в сверхвысоком поле и дополнительного гистологического исследования.

# Спаренность кровообращения и остеогенеза в процессе регенерации костной ткани

В процессе остеогенеза существует тесная взаимосвязь динамики кровотока и активности регенерации костной ткани. Без достаточного трофического обеспечения и прежде всего сосудистого компонента трофики, доставки оптимального количества кислорода и питательных веществ невозможно обеспечение адекватной тканевой регенерации. Для адекватного обеспечения потребностей остеогенеза восстановление кровотока в зоне регенерации костной ткани должно по времени предшествовать ей и модулироваться восстановительными процессами [11, 12].

Регенерация костной ткани имеет определённые фазы, в реализации каждой из которых микроциркуляторное русло играет существенную роль. Формирование гематомы и стаз крови между отломками являются компонентами первой фазы регенерации. В области перелома возникает некротический процесс, гипоксия тканей. Гипоксия активирует работу остеокластов и инициирует образование грануляционной ткани. В среднем начиная со второй недели происходит формирование сосудистой сети за счёт активации ангиогенеза и прорастания из сосудов мягких тканей, окружающих кость. В гематоме между отломками содержатся ангиогенные факторы, необходимые для формирования сосудистой сети, обеспечивающей восстановление нормальной циркуляции, и удаления некротизированных очагов [13, 14]. При удалении гематомы из места перелома происходит нарушение восстановления костной ткани, однако её трансплантация активирует регенеративный процесс [15]. Проангиогенные факторы роста, высвобожденные из гематомы, участвуют в транспорте фибробластов, воспалительных клеток, клеток-предшественников остеобластов и стимуляции ангиогенеза из костного мозга, надкостницы и кортикального слоя. Окончательное ремоделирование кости сопровождается полным восстановлением сосудистой сети.

Один из основных медиаторов ангиогенеза — фактор роста эндотелия сосудов — отвечает, кроме прочего, за хемотаксис остеобластов. Ангиопоэтин, тромбин,

фактор роста фибробластов вместе с морфогенетическими белками участвуют в процессе дифференцировки и пролиферации остеобластов, в результате чего формируется костная мозоль [16, 17]. Введение фактора роста эндотелия сосудов стимулирует ангиогенез в месте перелома и ускоряет формирование костной мозоли [18]. Индукция синтеза фактора роста эндотелия сосудов осуществляется в условиях острой гипоксии участков повреждённой костной ткани. Остеоциты под влиянием гипоксии синтезируют сигнальную молекулу, гипоксией индуцированный фактор, отвечающую за ангиогенез [19]. Гипоксией индуцированный фактор дополнительно блокирует синтез и пролиферацию остеокластов, исключая угнетение костной массы [20]. При ингибировании фактора роста эндотелия сосудов образование костной ткани и инвазия сосудистой сети снижались; в свою очередь, запуск процесса ангиогенеза и репаративной регенерации кости происходили при контролируемом высвобождении фактора роста эндотелия сосудов [20]. Кроме того, данный фактор действует синергично с костными морфогенетическими белками, что способствует образованию костной ткани [21]. Таким образом, в настоящее время чётко доказано, что неотъемлемым условием регенерации кости является временная и пространственная спаренность процессов ангио- и остеогенеза, а при их разобщении полноценное восстановление костной ткани невозможно [22].

Ввиду вышесказанного в клинике с целью прогнозирования репаративной регенерации кости и выбора оптимальной тактики лечения проводилось одновременное исследование микроциркуляторного русла и регенерации костной ткани. Так, в работах С.П. Миронова с соавт. было показано, что показатели микроциркуляции, измеренные с помощью лазерной допплеровской флоуметрии (ЛДФ) кожи в проекции ложного сустава, эффективны для дооперационной оценки и прогнозирования течения репаративного остеогенеза. В случаях, когда величины общего показателя микроциркуляции (М) и нутритивного кровотока (М<sub>нутр.</sub>) соответствовали контрольным значениям или превышали их, коэффициент вариации показателя микроциркуляции (Kv) не превышал контрольные значения, параметры нелинейной динамики кровотока (фрактальная размерность Хаусдорфа, корреляционная размерность фазового портрета поведения микрокровотока D2) не опускались ниже контрольных величин, что позволяло до операции по показателям микрогемоциркуляции прогнозировать адекватный репаративный остеогенез, не требующий дополнительной биологической стимуляции. В случаях, когда величины М и М<sub>нуто.</sub> были снижены, Kv — повышены, а значения D0 и D2 снижены, это позволяло прогнозировать дефицит репаративного остеогенеза. У таких пациентов требуется дополнительная стимуляция костеобразования или применение свободных васкуляризированных аутотрансплантатов [23]. Таким образом, показатели микроциркуляции могут выступать в качестве

дополнительных критериев состояния репаративных процессов костной ткани.

# Неинвазивные подходы к диагностике состояния кровообращения кости

В клинике наиболее целесообразно применять неинвазивные методы исследования кровообращения и микроциркуляции костной ткани, позволяющие, в отличие от малодоступных радиоизотопных методик, в режиме реального времени оценить параметры кровотока. Ультразвуковые методики дают возможность эффективно исследовать артерии и вены, но в силу физических особенностей ультразвукового сканирования не могут в полной мере оценить функционирование более мелкого микроциркуляторного звена. Для оценки костного кровотока применяется ультразвуковая высокочастотная допплерография с использованием датчиков на 20 и 25 МГц. В нашей стране применяют специальные работающие на этой частоте датчики, разработанные фирмой «Минимакс» (Санкт-Петербург). При помощи ультразвуковой высокочастотной допплерографии измерялась линейная скорость кровотока в костном регенерате при переломах длинных костей в условиях внеочагового остеосинтеза по методу Г.А. Илизарова на разных сроках консолидации. В ходе исследования было выявлено, что скорость кровотока в области перелома избыточно возрастает преимущественно в первые 2 недели после травмы с дальнейшим снижением прироста. Кроме того, скорость кровотока увеличивалась также при наличии и постепенном увеличении осевой нагрузки на конечность, что подтверждает положительное влияние осевой нагрузки на консолидацию костных отломков [24].

В отдельных работах применялась другая разновидность ультразвуковых методик — ультразвуковое дуплексное сканирование в В-режиме для исследования показателей кровотока надкостницы в зоне костного регенерата. Было показано, что через месяц после переломов костей голени в условиях остеосинтеза количество сосудов на единицу площади в области перелома возрастало на 84% по сравнению с результатами измерений на 10-е сутки, через 2 месяца определено значимое увеличение количества сосудов на единицу площади. Диастаз между отломками через 3 месяца после травмы не визуализировался, происходило снижение количества лоцируемых сосудов на фоне повышения их периферического сопротивления. При замедленной консолидации было зарегистрировано более низкое количество сосудов на единицу площади на всех сроках исследования [24]. Если сохранялся низкий прирост васкуляризации на протяжении 2 месяцев при переломах костей голени, то это свидетельствовало о нарушении процессов регенерации костной ткани и формировании ложного сустава [25].

Наиболее подробно исследовать микроциркуляторное русло с широким набором показателей, адаптированных для физиологических и клинических целей, возможно

при помощи методов, использующих оптические системы ближнего инфракрасного диапазона [26]. Эти методы имеют разные физические свойства и прикладное применение. Наибольший интерес для травматологии и ортопедии представляют лазерная допплеровская флоуметрия, фотоплетизмография, инфракрасная спектроскопия и др. [20]. Данные методы диагностики основаны на передаче и приёме оптических волн определённой длины (600-1200 нм). Оптические системы ближнего инфракрасного диапазона направлены на определение таких параметров микроциркуляторно-тканевых систем, как скорость потока эритроцитов, уровень оксигенации тканей, объёмные характеристики кровотока. Наиболее широкие возможности предоставляет метод лазерной допплеровской флоуметрии, позволяя провести также расчёт нутритивного и шунтового кровотока, определить количественные параметры регуляции кровотока со стороны эндотелиальных, нейрогенных, миогенных факторов, венулярного звена и перфузионного давления, показатели окислительного метаболизма. Вследствие модульного характера регуляции кровообращения конечности показано, что величины кровотока кожи в проекции перелома или патологического очага кости прямо коррелируют с характеристиками костной гемодинамики. Основными преимуществами оптических систем являются их безопасность и неинвазивность [27].

В травматологии и ортопедии оптические системы ближнего инфракрасного диапазона многократно использовались для оценки динамики консолидации перелома при травме, восстановления микроциркуляции после эндопротезирования, костнопластических операций с применением трансплантата, мониторинга степени активности патологического процесса при остеомиелите, при артрозах и артритах различной этиологии, диспластических заболеваниях скелета, остеопорозе [22, 23, 26–28, 30–35]. Основное прикладное значение данных методов в травматологии и ортопедии состоит в оценке гемодинамических процессов в костной ткани в норме и в патологических условиях.

Лазерная допплеровская флоуметрия является одним из самых широко используемых методов. В основе данного метода лежит зондирование ткани монохроматическим излучением с длинами волн 632, 780, 785 или 830 нм, которое отражается от движущихся эритроцитов. Измеряемый показатель микроциркуляции содержит информацию о концентрации движущихся эритроцитов и скорости их движения в данном объёме зондируемой ткани [18, 34, 35]. Метод ЛДФ успешно применяется для исследования микроциркуляции в условиях переломов, после реконструктивных вмешательств, при патологических образованиях костной ткани [42-44]. В работе С.П. Миронова с соавт. продемонстрирована эффективность оценки микроциркуляции в проекции костного очага с помощью лазерной допплеровской флоуметрии для определения метаболической зрелости гетеротопических оссификатов перед их хирургическим лечением. Для этого использовали значения показателя микроциркуляции М и амплитуды миогенных осцилляций в вейвлет-спектре колебаний кровотока. В случаях, когда величина М не превышает контрольные величины, а в вейвлет-спектре отсутствуют миогенные осцилляции или их амплитуда снижена по сравнению с контрольными величинами, устанавливается факт завершённости процесса образования остеоида и его минерализации, достаточная метаболическая зрелость оссификата и целесообразность хирургического этапа лечения. При высоких величинах М и амплитуд миогенных осцилляций, которые доминируют в вейвлет-спектре, определяются высокая активность регенераторного процесса, незавершённость образования остеоида и его минерализации, а значит, преждевременность хирургического лечения оссификата [36].

В исследовании А.А. Вековцева с соавт. методом ЛДФ оценивался ранний этап ангиогенеза в непосредственной близости к кости у детей после закрытой ручной репозиции на 3-и, 8-е и 16-е сутки [39]. Поздний этап ангиогенеза как фактор успешного течения репаративной регенерации кости у детей при переломах костей голени изучался в работе А.И. Дорохина с соавт. [40]. Активность микрососудистого кровотока методом ЛДФ исследовалась у детей через 4-6 недель после перелома при наличии рентгенографических признаков консолидации, что позволило более точно определить индивидуальные особенности микрогемоциркуляции.

Спектроскопия в ближнем инфракрасном диапазоне основана на пространственно разрешённых или модифицированных алгоритмах закона Beer-Lambert. Применяется не менее 2-3 дискретных длин волн (600-1200 нм) для обнаружения изменений концентрации оксигенированного и дезоксигенированного гемоглобина [39, 40]. Данный метод применялся для исследования оксигенации в пяточной кости, проксимальном и дистальных отделах лучевой кости, большом вертеле бедренной кости и показал свою эффективность. Кроме того, возможности данного подхода связаны с тем, что внедрение широкополосного зондирования позволяет исследовать не только оксигенацию и микроциркуляцию кости, но и особенности биохимического молекулярного состава костной ткани (липидов, коллагена и других компонентов). Это представляет особый интерес, в частности, при остеопорозе [41, 42].

Фотоплетизмография позволяет оценить интегральную макро- и микроциркуляторную активность в коже, мышцах и костной ткани, но её недостатком является ограниченный набор количественных параметров [42–45]. Так, для исследования гемодинамики в костной ткани надколенника был разработан накожный фотоплетизмографический датчик, располагающийся на коже надколенника. С его помощью оценивались особенности перфузии кости при пателлофеморальном болевом синдроме, было

выявлено значительное уменьшение кровотока в костной ткани [46]. J.H. Siamwala с соавт. применяли фотоплетизмографию для оценки перфузионной способности костей голени в условиях микрогравитации [47]. В некоторых испытаниях использовали оборудование для раздельного фотоплетизмографического исследования кровотока кожи и кости [48].

### ЗАКЛЮЧЕНИЕ

Микроциркуляторное русло, обеспечивающее кровоснабжение и метаболизм костной ткани, играет важную роль в жизнедеятельности и репаративной регенерации кости. Для регенерации костной ткани характерна тесная временная и пространственная спаренность ангиогенеза и остеогенеза, что позволяет применять показатели микроциркуляции в качестве дополнительных критериев состояния репаративных процессов. В клинике наиболее целесообразно использование неинвазивных методов диагностики состояния периферического кровообращения, которые позволяют оценить динамику сосудистого фактора при патологии кости, в том числе после переломов. Безопасность и неинвазивность этих методов являются их основными преимуществами. Наибольший интерес представляют методики, в основе которых лежат оптические системы ближнего инфракрасного диапазона

и ультразвуковые подходы. Необходимы дальнейшее совершенствование и разработка неинвазивных методов, высокоселективных для регистрации костного кровообращения.

# **ДОПОЛНИТЕЛЬНО**

**Вклад авторов.** Все авторы подтверждают соответствие своего авторства международным критериям ICMJE (все авторы внесли существенный вклад в разработку концепции и подготовку статьи, прочли и одобрили финальную версию перед публикацией).

Источник финансирования. Не указан.

**Конфликт интересов.** Авторы декларируют отсутствие явных и потенциальных конфликтов интересов, связанных с публикацией настоящей статьи.

### ADDITIONAL INFO

**Author's contribution.** Thereby, all authors made a substantial contribution to the conception of the work, drafting and revising the work, final approval of the version to be published and agree to be accountable for all aspects of the work.

Funding source. Not specified.

**Competing interests.** The authors declare that they have no competing interests.

### СПИСОК ЛИТЕРАТУРЫ

- **1.** Prisby R.D. Bone Marrow Microvasculature // Compr Physiol. 2020. Vol. 10, № 3. P. 1009–1046. doi: 10.1002/cphy.c190009
- **2.** Abboud C. Human bone marrow microvascular endothelial cells: Elusive cells with unique structural and functional properties // Exp Hematol. 1995. Vol. 23,  $\mathbb{N}^{\circ}$  1. P. 1–3.
- **3.** Morikawa T., Tamaki S., Fujita S., Suematsu M., Takubo K. Identification and local manipulation of bone marrow vasculature during intravital imaging // Scientific Reports. 2020. Vol. 10,  $N^{\circ}$  1. P. 6422. doi: 10.1038/s41598-020-63533-3
- **4.** Acar M., Kocherlakota K.S., Murphy M.M., Peyer J.G., Oguro H., Inra C.N., Zhao Z., Luby-Phelps K., Morrison S.J. Deep imaging of bone marrow shows non-dividing stem cells are mainly perisinusoidal // Nature. 2015. Vol. 526, № 7571. P. 126–130. doi: 10.1038/nature15250
- **5.** De Saint-Georges L., Miller S.C. The microcirculation of bone and marrow in the diaphysis of the rat hemopoietic long bones // Anat Rec. 1992. Vol. 233, № 2. P. 169–177. doi: 10.1002/ar.1092330202
- **6.** Kusumbe A.P., Ramasamy S.K., Adams R.H. Coupling of angiogenesis and osteogenesis by a specific vessel subtype in bone // Nature. 2014. Vol. 507,  $N^{\circ}$  7492. P. 323–328. doi: 10.1038/nature13145
- 7. Asghar A., Kumar A., Narayan R.K., Naaz S. Is the cortical capillary renamed as the transcortical vessel in diaphyseal vascularity? // Anat Rec (Hoboken). 2020. Vol. 303,  $N^{\circ}$  11. P. 2774–2784. doi: 10.1002/ar.24461
- **8.** Xu Z., Kusumbe A.P., Cai H., Wan Q., Chen J. Type H blood vessels in coupling angiogenesis-osteogenesis and its application in bone

- tissue engineering // Theranostics. 2020. Vol. 10,  $N^{o}$  1. P. 426–436. doi: 10.7150/thno.34126.eCollection 2020
- **9.** Ramasamy S.K., Kusumbe A.P., Itkin T., Gur-Cohen S., Lapidot T., Adams R.H. Regulation of hematopoiesis and osteogenesis by blood vessel-derivedsignals // Annu Rev Cell Dev Biol. 2016. № 32. P. 649–675. doi: 10.1146/annurev-cellbio-111315-124936
- **10.** Grüneboom A., Hawwari I., Weidner D., Culemann S., Müller S., Henneberg S., Gunzer M. A network of trans-cortical capillaries as mainstay for blood circulation in long bones // Nat Metab. 2019. Vol. 1,  $\mathbb{N}^2$  2. P. 236–250. doi: 10.1038/s42255-018-0016-5
- **11.** Qin Q., Lee S., Patel N., Walden K., Gomes-Salazar M., Levi B., James A.W. Neurovascular coupling in bone regeneration // Exp Mol Med. 2022. Vol. 54, № 11. P. 1844–1849. doi: 10.1038/s12276-022-00899-6
- **12.** Панин М.А., Загородний Н.В., Абакиров М.Д., Бойко А.В., Ананьин Д.А. Декомпрессия очага некроза головки бедренной кости. Обзор литературы // Вестник травматологии и ортопедии им. Н.Н. Приорова. 2021. Т. 28, № 1. С. 65–76. doi: 10.17816/vto59746
- **13.** Stegen S., Carmeliet G. The skeletal vascular system Breathing life into bone tissue // Bone. 2018. № 115. P. 50–58. doi: 10.1016/j.bone.2017.08.022
- **14.** Schindeler A., McDonald M.M., Bokko P., Little D.G. Bone remodeling during fracture repair: the cellular picture // Semin Cell Dev Biol. 2008. Vol. 19, № 5. P. 459–466. doi: 10.1016/j.semcdb.2008.07.004
- **15.** Street J., Winter D., Wang J.H., Wakai A., McGuinness A., Redmond H.P. Is human fracture hematoma inherently

- angiogenic? // Clin Orthop Relat Res. 2000.  $N^{\circ}$  378. P. 224–237. doi: 10.1097/00003086-200009000-00033
- **16.** Sivaraj K.K., Adams R.H. Blood vessel formation and function in bone // Development. 2016. Vol. 143,  $N^{o}$  15. P. 2706–2715. doi: 10.1242/dev.136861
- **17.** Chim S.M., Tickner J., Chow S.T., Kuek V., Guo B., Zhang G., Xu J. Angiogenic factors in bone local environment // Cytokine and Growth Factor Reviews. 2013. Vol. 24, № 3. P. 297–310. doi: 10.1016/j.cytogfr.2013.03.008
- **18.** Street J., Bao M., Guzman L., Bunting S., Peale F.V., Ferrara N. Vascular endothelial growth factor stimulates bone repair by promoting angiogenesis and bone turnover // Proc Natl Acad Sci U. S. A. 2002. Vol. 99, № 15. P. 9656–9661. doi: 10.1073/pnas.152324099
- **19.** Maes C., Carmeliet G., Schipani E. Hypoxia-driven pathways in bone development, regeneration and disease // Nat Rev Rheumatol. 2012. Vol. 8. № 6. P. 358–366. doi: 10.1038/nrrheum.2012.3
- **20.** Meertens R., Casanova F., Knapp K.M., Thorn C., Strain W.D. Use of near-infrared systems for investigations of hemodynamics in human *in vivo* bone tissue: A systematic review // J Orthop Res. 2018. Vol. 36. № 10. P. 2595–2603. doi: 10.1002/jor.24035
- **21.** Peng H., Wright V., Usas A., Gearhart B., Shen H., Cummin J., Huard J. Synergistic enhancement of bone formation and healing by stem cell-expressed VEGF and bone morphogenetic protein-4 // J Clin Invest. 2002. Vol. 110, № 6. P. 751–759. doi: 10.1172/JCI15153
- **22.** Батпенов Н.Д., Рахимов С.К., Степанов А.А., Оразбаев Д.А., Манекенова К.Б., Смайлова Г.К. Морфофункциональная перестройка костной ткани при перипротезных переломах в зоне бедренного компонента эндопротеза // Вестник травматологии и ортопедии им. Н.Н. Приорова. 2020. Т. 27, № 2. С. 24—29. doi: 10.17816/vto202027224-29
- **23.** Миронов С.П., Еськин Н.А., Крупаткин А.И., Кесян Г.А., Уразгильдеев Р.З., Арсеньев И.Г. Патофизиологические аспекты микрогемоциркуляции мягких тканей в проекции ложных суставов длинных костей // Вестник травматологии и ортопедии им. Н.Н. Приорова. 2012. № 4. С. 22–26.
- 24. Патент РФ на изобретение № 2501526/20.12.2013. Миронов С.П., Еськин Н.А., Крупаткин А.И., Кесян Г.А., Уразгильдеев Р.З., Арсеньев И.Г. Способ прогнозирования течения репаративного остеогенеза при хирургическом лечении ложных суставов длинных трубчатых костей. Режим доступа: http://allpatents.ru/patent/2501526.html?ysclid=lloy82reqc265613020
- **25.** Щуров В.А. Динамика скорости кровотока по артериям костного регенерата конечностей и мозгового кровотока при выполнении функциональных проб и изменении режима лечения // Регионарное кровообращение и микроциркуляция. 2018. Т. 17, № 4. С. 51–56. doi: 10.24884/1682-6655-2018-17-4-51-56
- **26.** Писарев В.В., Львов С.Е., Васин И.В. Показатели регионарной гемодинамики раннего послеоперационного периода при остеосинтезе переломов костей голени // Вестник Ивановской медицинской академии. 2012. Т. 17,  $\mathbb{N}^{2}$  4. С. 34–37.
- **27.** Aziz S.M., Khambatta F., Vaithianathan T., Thomas J.C., Clark J.M., Marshall R. A near infrared instrument to monitor relative hemoglobin concentrations of human bone tissue *in vitro* and *in vivo* // Rev Sci Instrum. 2010. Vol. 81,  $N^{o}$  4. P. 043111. doi: 10.1063/1.3398450
- **28.** Ganse B., Bohle F., Pastor T., Gueorguiev B., Altgassen S., Gradl G., Kim B., Modabber A., Nebelung S. Hildebrand F., Knobe M. Microcirculation after trochanteric femur fractures: a prospective cohort study using non-invasive laser-doppler

- spectrophotometry // Front Physiol. 2019. № 10. P. 236. doi: 10.3389/fphys.2019.00236
- **29.** Hughes S.S., Cammarata A., Steinmann S.P., Pellegrini V.D. Effect of standard total knee arthroplasty surgical dissection on human patellar blood flow *in vivo*: an investigation using laser doppler flowmetry // J South Orthop Assoc. 1998. Vol. 7,  $N^{\circ}$  3. P. 198–204.
- **30.** Nicholls R.L., Green D., Kuster M.S. Patella intraosseous blood flow disturbance during a medial or lateral arthrotomy in total knee arthroplasty: a laser Doppler flowmetry study // Knee Surg Sports Traumatol Arthrosc. 2006. Vol. 14, № 5. P. 411–416. doi: 10.1007/s00167-005-0703-0
- **31.** Cai Z.G., Zhang J., Zhang J.G., Zhao F.Y., Yu G.Y., Li Y., Ding H.S. Evaluation of near infrared spectroscopy in monitoring postoperative regional tissue oxygen saturation for fibular flaps // J Plast Reconstr Aesthet Surg. 2008. Vol. 61, № 3. P. 289–96. doi: 10.1016/j.bjps.2007.10.047
- **32.** Duwelius P.J., Schmidt A.H. Assessment of bone viability in patients with osteomyelitis: preliminary clinical experience with laser Doppler flowmetry // J Orthop Trauma. 1992. Vol. 6, № 3. P. 327—332. doi: 10.1097/00005131-199209000-00010
- **33.** Beaule P.E., Campbell P., Shim P. Femoral head blood flow during hip resurfacing // Clin Orthop Relat Res. 2007.  $N^{\circ}$  456. P. 148–152. doi: 10.1097/01.blo.0000238865.77109.af
- **34.** Bassett G.S., Barton K.L., Skaggs D.L. Laser Doppler flowmetry during open reduction for developmental dysplasia of the hip // Clin Orthop Relat Res. 1997. № 340. P. 158–164. doi: 10.1097/00003086-199707000-00020
- **35.** Meertens R., Knapp K., Strain D., Casanova F., Ball S., Fulford J., Thorn C. *In vivo* Measurement of Intraosseous Vascular Haemodynamic Markers in Human Bone Tissue Utilising Near Infrared Spectroscopy // Front Physiol. 2021. № 12. P. 738239. doi: 10.3389/fphys.2021.738239
- **36.** Крупаткин А.И. Колебательные процессы и диагностика состояния микроциркуляторно-тканевых систем // Регионарное кровообращение и микроциркуляция. 2018. Т. 17, № 3. С. 4.
- **37.** Крупаткин А.И. Колебания кровотока новый диагностический язык в исследовании микроциркуляции // Регионарное кровообращение и микроциркуляция. 2014. Т. 13, № 1. С. 83–99. doi: 10.24884/1682-6655-2014-13-1-83-99
- **38.** Патент РФ на изобретение № 2514110/27.04.2014. Миронов С.П., Крупаткин А.И., Кесян Г.А., Уразгильдеев Р.З., Дан И.М., Арсеньев И.Г. Способ определения степени метаболической зрелости гетеротопических оссификатов перед их хирургическим лечением. Режим доступа: https://yandex.ru/patents/doc/RU2514110C1\_20140427?ysclid=lloz22zi55248599167
- **39.** Вековцев А.А., Тохириён Б., Слизовский Г.В., Позняковский В.М. Клинические испытания витаминно-минерального комплекса для лечения детей с травматологическим профилем // Вестник ВГУИТ. 2019. Т. 81, № 2. С. 147—153. doi: 10.20914/2310-1202-2019-2-147-153
- 40. Дорохин А.И., Крупаткин А.И., Адрианова А.А., Худик В.И., Сорокин Д.С., Курышев Д.А., Букчин Л.Б. Закрытые переломы дистального отдела костей голени. Разнообразие форм и лечения (на примере старших возрастных групп). Ближайшие результаты // Физическая и реабилитационная медицина, медицинская реабилитация. 2021. Т. 3, № 1. С. 11—23. doi: 10.36425/rehab63615

- **41.** Baker W.B., Parthasarathy A.B., Busch D.R., Mesquita R.C., Greenberg J.H., Yodh A.G. Modified Beer-Lambert law for blood flow // Biomed Opt Express. 2014. Vol. 5, № 11. P. 4053–75. doi: 10.1364/B0E.5.004053
- **42.** Bläsius F.M., Link B.C., Beeres F.J., Iselin L.D., Leu B.M., Gueorguiev B., Knobe M. Impact of surgical procedures on soft tissue microcirculation in calcaneal fractures: a prospective longitudinal cohort study // Injury. 2019. Vol. 50, № 12. P. 2332—2338. doi: 10.1016/j.injury.2019.10.004
- **43.** Becker R.L., Siamwala J.H., Macias B.R., Hargens A.R. Tibia Bone Microvascular Flow Dynamics as Compared to Anterior Tibial Artery Flow During Body Tilt // Aerospace Medicine and Human Performance. 2018. Vol. 89, № 4. P. 357–364. doi: 10.3357/amhp.4928.2018
- **44.** Pifferi A., Torricelli A., Taroni P., Bassi A., Chikoidze E., Giambattistelli E., Cubeddu R. Optical biopsy of bone tissue: a step toward the diagnosis of bone pathologies // J Biomed Opt. 2004. Vol. 9,  $\mathbb{N}^{0}$  3. P. 474–80. doi: 10.1117/1.1691029

- **45.** Sekar S.V., Pagliazzi M., Negredo E., Martelli F., Farina A., Dalla Mora A., Lindner C., Farzam P., Perez-Alvarez N., Puig J., Taroni P., Pifferi A., Durduran T. *In vivo*, non-invasive characterization of human bone by hybrid broadband (600-1200 nm) diffuse optical and correlation spectroscopies // PLoS One. 2016. Vol. 11, Nº 12. P. e0168426. doi: 10.1371/journal.pone.0168426
- **46.** Naslund J., Pettersson J., Lundeberg T., Linnarsson D., Lindberg L.G. Noninvasive continuous estimation of blood flow changes in human patellar bone // Med Biol Eng Comput. 2006. Vol. 44,  $N^{\circ}$  6. P. 501–9. doi: 10.1007/s11517-006-0070-0
- **47.** Siamwala J.H., Lee P.C., Macias B.R., Hargens A.R. Lower-body negative pressure restores leg bone microvascular flow to supine levels during head-down tilt // J Appl Physiol. 2015. Vol. 119,  $N^{\circ}$  2. P. 101–9. doi: 10.1152/japplphysiol.00028.2015
- **48.** Mateus J., Hargens A.R. Photoplethysmography for non-invasive *in vivo* measurement of bone hemodynamics // Physiol Meas. 2012. Vol. 33, № 6. P. 1027–1042. doi: 10.1088/0967-3334/33/6/1027

# REFERENCES

- **1.** Prisby RD. Bone Marrow Microvasculature. *Compr Physiol.* 2020;10(3):1009–1046. doi: 10.1002/cphy.c190009
- **2.** Abboud C. Human bone marrow microvascular endothelial cells: Elusive cells with unique structural and functional properties. *Exp Hematol.* 1995;23(1):1–3.
- **3.** Morikawa T, Tamaki S, Fujita S, Suematsu M, Takubo K. Identification and local manipulation of bone marrow vasculature during intravital imaging. *Scientific Reports*. 2020;10(1):6422. doi: 10.1038/s41598-020-63533-3
- **4.** Acar M, Kocherlakota KS, Murphy MM, Peyer JG, Oguro H, Inra CN, Zhao Z, Luby-Phelps K, Morrison SJ. Deep imaging of bone marrow shows non-dividing stem cells are mainly perisinusoidal. *Nature*. 2015;526(7571):126–130. doi: 10.1038/nature15250
- **5.** De Saint-Georges L, Miller SC. The microcirculation of bone and marrow in the diaphysis of the rat hemopoietic long bones. *Anat Rec.* 1992;233(2):169–177. doi: 10.1002/ar.1092330202
- **6.** Kusumbe AP, Ramasamy SK, Adams RH. Coupling of angiogenesis and osteogenesis by a specific vessel subtype in bone. *Nature*. 2014;507(7492):323–328. doi: 10.1038/nature13145
- **7.** Asghar A, Kumar A, Narayan RK, Naaz S. Is the cortical capillary renamed as the transcortical vessel in diaphyseal vascularity? *Anat Rec (Hoboken)*. 2020;303(11):2774–2784. doi: 10.1002/ar.24461
- **8.** Xu Z, Kusumbe AP, Cai H, Wan Q, Chen J. Type H blood vessels in coupling angiogenesis-osteogenesis and its application in bone tissue engineering. *Theranostics*. 2020;10(1):426–436. doi: 10.7150/thno.34126.eCollection 2020
- **9.** Ramasamy SK, Kusumbe AP, Itkin T, Gur-Cohen S, Lapidot T, Adams RH. Regulation of hematopoiesis and osteogenesis by blood vessel-derivedsignals. *Annu Rev Cell Dev Biol.* 2016;(32):649–675. doi: 10.1146/annurev-cellbio-111315-124936
- **10.** Grüneboom A, Hawwari I, Weidner D, Culemann S, Müller S, Henneberg S, Gunzer M. A network of trans-cortical capillaries as mainstay for blood circulation in long bones. *Nat Metab.* 2019;1(2):236–250. doi: 10.1038/s42255-018-0016-5
- **11.** Qin Q, Lee S, Patel N, Walden K, Gomes-Salazar M, Levi B, James AW. Neurovascular coupling in bone regeneration. *Exp Mol Med.* 2022;54(11):1844–1849. doi: 10.1038/s12276-022-00899-6

- **12.** Panin MA, Zagorodny NV, Abakirov MD, Boyko AV, Ananyin DA. Decompression of the femoral head necrosis focus. Literature review. *N.N. Priorov Journal of Traumatology and Orthopedics*. 2021;28(1):65–76. (In Russ). doi: 10.17816/vto59746
- **13.** Stegen S, Carmeliet G. The skeletal vascular system Breathing life into bone tissue. *Bone.* 2018;(115):50–58. doi: 10.1016/j.bone.2017.08.022
- **14.** Schindeler A, McDonald MM, Bokko P, Little DG. Bone remodeling during fracture repair: the cellular picture. *Semin. Cell Dev. Biol.* 2008;19(5):459–466. doi: 10.1016/j.semcdb.2008.07.004
- **15.** Street J, Winter D, Wang JH, Wakai A, McGuinness A, Redmond HP. Is human fracture hematoma inherently angiogenic? *Clin. Orthop. Relat. Res.* 2000;(378):224–237. doi: 10.1097/00003086-200009000-00033
- **16.** Sivaraj KK, Adams RH. Blood vessel formation and function in bone. *Development*. 2016;143(15):2706–2715. doi: 10.1242/dev.136861
- **17.** Chim SM, Tickner J, Chow ST, Kuek V, Guo B, Zhang G, Xu J. Angiogenic factors in bone local environment. *Cytokine and Growth Factor Reviews*. 2013;24(3):297–310. doi: 10.1016/j.cytogfr.2013.03.008
- **18.** Street J, Bao M, Guzman L, Bunting S, Peale FV, Ferrara N. Vascular endothelial growth factor stimulates bone repair by promoting angiogenesis and bone turnover. *Proc Natl Acad Sci U. S. A.* 2002;99(15):9656–9661. doi: 10.1073/pnas.152324099
- **19.** Maes C, Carmeliet G, Schipani E. Hypoxia-driven pathways in bone development,regeneration and disease. *Nat Rev Rheumatol.* 2012;8(6):358–366. doi: 10.1038/nrrheum.2012.3
- **20.** Meertens R, Casanova F, Knapp KM, Thorn C, Strain WD. Use of near-infrared systems for investigations of hemodynamics in human in vivo bone tissue: A systematic review. *J Orthop Res.* 2018;36(10):2595–2603. doi: 10.1002/jor.24035
- **21.** Peng H, Wright V, Usas A, Gearhart B, Shen H, Cummin J, Huard J. Synergistic enhancement of bone formation and healing by stem cell-expressed VEGF and bone morphogenetic protein-4. *J Clin Invest.* 2002;110(6):751–759. doi: 10.1172/JCI15153
- **22.** Batpenov ND, Rakhimov SK, Stepanov AA, Orazbaev DA, Manekenova KB, Smilova GK. Morphofunctional bone tissue reconstruction in periprosthetic fractures in the area of the femoral component of the endoprosthesis. *N.N. Priorov Journal*

- of Traumatology and Orthopedics. 2020;27(2):24–29. (In Russ). doi: 10.17816/vto202027224-29
- **23.** Mironov SP, Eskin NA, Krupatkin AI, Kesyan GA, Urazgildeev RZ, Arsenyev IG. Pathophysiological aspects of soft tissue microhemocirculation in the projection of false joints of long bones. *N.N. Priorov Journal of Traumatology and Orthopedics*. 2012;(4):22–26. (In Russ).
- **24.** Patent RUS № 2501526/20.12.2013. Mironov SP, Eskin NA, Krupatkin AI, Kesyan GA, Urazgildeev RZ, Arsenyev IG. *Sposob prognozirovaniya techeniya reparativnogo osteogeneza pri hirurgicheskom lechenii lozhnyh sustavov dlinnyh trubchatyh kostej.* Available from: http://allpatents.ru/patent/2501526. html?ysclid=lloy82reqc265613020 (In Russ).
- **25.** Shchurov VA. Dynamics of blood flow velocity through the arteries of bone regenerate limbs and cerebral blood flow when performing functional tests and changing the treatment regimen. *Regional blood circulation and microcirculation*. 2018;17(4):51–56. (In Russ). doi: 10.24884/1682-6655-2018-17-4-51-56
- **26.** Pisarev VV, Lvov SE, Vasin IV. Indicators of regional hemodynamics of the early postoperative period in osteosynthesis of fractures of the lower leg bones. *Bulletin of the Ivanovo Medical Academy.* 2012;17(4):34–37. (In Russ).
- **27.** Aziz SM, Khambatta F, Vaithianathan T, Thomas JC, Clark JM, Marshall R. A near infrared instrument to monitor relative hemoglobin concentrations of human bone tissue in vitro and in vivo. *Rev Sci Instrum.* 2010;81(4):043111. doi: 10.1063/1.3398450
- **28.** Ganse B, Bohle F, Pastor T, Gueorguiev B, Altgassen S, Gradl G, Kim B, Modabber A, Nebelung S, Hildebrand F, Knobe M. Microcirculation after trochanteric femur fractures: a prospective cohort study using non-invasive laser-doppler spectrophotometry. *Front Physiol.* 2019;(10):236. doi: 10.3389/fphys.2019.00236
- **29.** Hughes SS, Cammarata A, Steinmann SP, Pellegrini VD. Effect of standard total knee arthroplasty surgical dissection on human patellar blood flow in vivo: an investigation using laser doppler flowmetry. *J South Orthop Assoc.* 1998;7(3):198–204.
- **30.** Nicholls RL, Green D, Kuster MS. Patella intraosseous blood flow disturbance during a medial or lateral arthrotomy in total knee arthroplasty: a laser Doppler flowmetry study. *Knee Surg Sports Traumatol Arthrosc.* 2006;14(5):411–416. doi: 10.1007/s00167-005-0703-0
- **31.** Cai ZG, Zhang J, Zhang JG, Zhao FY, Yu GY, Li Y, Ding HS. Evaluation of near infrared spectroscopy in monitoring postoperative regional tissue oxygen saturation for fibular flaps. *J Plast Reconstr Aesthet Surg.* 2008;61(3):289–96. doi: 10.1016/j.bjps.2007.10.047
- **32.** Duwelius PJ, Schmidt AH. Assessment of bone viability in patients with osteomyelitis: preliminary clinical experience with laser Doppler flowmetry. *J Orthop Trauma*. 1992;6(3):327–332. doi: 10.1097/00005131-199209000-00010
- **33.** Beaule PE, Campbell P, Shim P. Femoral head blood flow during hip resurfacing. *Clin Orthop Relat Res.* 2007;(456):148–152. doi: 10.1097/01.blo.0000238865.77109.af
- **34.** Bassett GS, Barton KL, Skaggs DL. Laser Doppler flowmetry during open reduction for developmental dysplasia of the hip. *Clin Orthop Relat Res.* 1997;(340):158–164. doi: 10.1097/00003086-199707000-00020
- **35.** Meertens R, Knapp K, Strain D, Casanova F, Ball S, Fulford J, Thorn C. In vivo Measurement of Intraosseous Vascular Haemodynamic

- Markers in Human Bone Tissue Utilising Near Infrared Spectroscopy. *Front Physiol.* 2021;(12):738239. doi: 10.3389/fphys.2021.738239
- **36.** Krupatkin Al. Oscillatory processes and diagnostics of the state of microcirculatory and tissue systems. *Regional blood circulation and microcirculation*. 2018;17(3):4. (In Russ).
- **37.** Krupatkin Al. Fluctuations of blood flow a new diagnostic language in the study of microcirculation. *Regional blood circulation and microcirculation*. 2014;13(1):83–99. (In Russ). doi: 10.24884/1682-6655-2014-13-1-83-99
- **38.** Patent RUS № 2514110/27.04.2014. Mironov SP, Krupatkin AI, Kesyan GA, Urazgildeev RZ, Dan IM, Arsenyev IG. *Sposob opredeleniya stepeni metabolicheskoj zrelosti geterotopicheskih ossifikatov pered ih hirurgicheskim lecheniem*. Available from: https://yandex.ru/patents/doc/RU2514110C1\_20140427?ysclid=ll oz22zi55248599167 (In Russ).
- **39.** Vekovtsev AA, Tohirien B, Slizovsky GV, Poznyakovsky VM. Clinical trials of vitamin and mineral complex for the treatment of children with a traumatological profile. *Bulletin of the VGUIT.* 2019;81(2):147–153. (In Russ). doi: 10.20914/2310-1202-2019-2-147-153
- **40.** Dorokhin Al, Krupatkin Al, Adrianova AA, Khudik VI, Sorokin DS, Kuryshev DA, Bukchin LB. Closed fractures of the distal tibia. A variety of forms and treatments (using the example of older age groups). Immediate results. *Physical and rehabilitation medicine, medical rehabilitation.* 2021;3(1):11–23. (In Russ). doi: 10.36425/rehab63615
- **41.** Baker WB, Parthasarathy AB, Busch DR, Mesquita RC, Greenberg JH, Yodh AG. Modified Beer-Lambert law for blood flow. *Biomed Opt Express*. 2014;5(11):4053–75. doi: 10.1364/B0E.5.004053
- **42.** Bläsius FM, Link BC, Beeres FJ, Iselin LD, Leu BM, Gueorguiev B, Knobe M. Impact of surgical procedures on soft tissue microcirculation in calcaneal fractures: a prospective longitudinal cohort study. *Injury.* 2019;50(12):2332–2338. doi: 10.1016/j.injury.2019.10.004
- **43.** Becker RL, Siamwala JH, Macias BR, Hargens AR. Tibia Bone Microvascular Flow Dynamics as Compared to Anterior Tibial Artery Flow During Body Tilt. *Aerospace Medicine and Human Performance*. 2018;89(4):357–364. doi: 10.3357/amhp.4928.2018
- **44.** Pifferi A, Torricelli A, Taroni P, Bassi A, Chikoidze E, Giambattistelli E, Cubeddu R. Optical biopsy of bone tissue: a step toward the diagnosis of bone pathologies. *J Biomed Opt.* 2004;9(3):474–80. doi: 10.1117/1.1691029
- **45.** Sekar SV, Pagliazzi M, Negredo E, Martelli F, Farina A, Dalla Mora A, Lindner C, Farzam P, Perez-Alvarez N, Puig J, Taroni P, Pifferi A, Durduran T. In vivo, non-invasive characterization of human bone by hybrid broadband (600–1200 nm) diffuse optical and correlation spectroscopies. *PLoS One.* 2016;11(12):e0168426. doi: 10.1371/journal.pone.0168426
- **46.** Naslund J, Pettersson J, Lundeberg T, Linnarsson D, Lindberg LG. Noninvasive continuous estimation of blood flow changes in human patellar bone. *Med Biol Eng Comput.* 2006;44(6):501–9. doi: 10.1007/s11517-006-0070-0
- **47.** Siamwala JH, Lee PC, Macias BR, Hargens AR. Lower-body negative pressure restores leg bone microvascular flow to supine levels during head-down tilt. *J Appl Physiol.* 2015;119(2):101–9. doi: 10.1152/japplphysiol.00028.2015
- **48.** Mateus J, Hargens AR. Photoplethysmography for non-invasive in vivo measurement of bone hemodynamics. *Physiol Meas*. 2012;33(6):1027–1042. doi: 10.1088/0967-3334/33/6/1027

# ОБ АВТОРАХ

\* Агафонова Анастасия Александровна, аспирант, врач травматолог-ортопед, врач ультразвуковой диагностики;

ORCID: 0000-0002-4675-4313; eLibrary SPIN: 8341-0713; e-mail: nastyaloseva@yandex.ru

Крупаткин Александр Ильич, д.м.н., профессор,

врач-невролог;

ORCID: 0000-0001-5582-5200; eLibrary SPIN: 3671-5540; e-mail: ale.ale02@yandex.ru

Дорохин Александр Иванович, д.м.н.,

врач травматолог-ортопед; ORCID: 0000-0003-3263-0755; eLibrary SPIN: 1306-1729; e-mail: a.i.dorokhin@mail.ru

# **AUTHORS' INFO**

\* Anastasia A. Agafonova, post-graduate student, traumatologist-orthopedist, ultrasound diagnostic;

ORCID: 0000-0002-4675-4313; eLibrary SPIN: 8341-0713; e-mail: nastyaloseva@yandex.ru

Alexander I. Krupatkin, MD, Dr. Sci. (Med.), professor,

neurologist;

ORCID: 0000-0001-5582-5200; eLibrary SPIN: 3671-5540; e-mail: ale.ale02@yandex.ru

Alexandr I. Dorokhin, MD, Dr. Sci. (Med.),

traumatologist-orthopedist; ORCID: 0000-0003-3263-0755; eLibrary SPIN: 1306-1729; e-mail: a.i.dorokhin@mail.ru

<sup>\*</sup> Автор, ответственный за переписку / Corresponding author

# Тело Гоффа, болезнь Гоффа, перелом Гоффа: история эпонимов

А.С. Золотов, Е.А. Зинькова, В.А. Атоян

Дальневосточный федеральный университет, Владивосток, Российская Федерация

### *RN*ШАТОННА

Имя немецкого хирурга Альберта Гоффа связано с тремя популярными эпонимическими терминами, а именно — поднадколенниковое жировое тело (тело Гоффа), патология этого анатомического образования (болезнь Гоффа), фронтальный перелом латерального мыщелка бедренной кости (перелом Гоффа). Вопросы приоритета в отношении упомянутых эпонимов продолжают дискутироваться. Авторами проведён поиск информации в отечественных и иностранных публикациях, руководствах по травматологии и ортопедии, периодических изданиях, интернет-ресурсах Scopus, WoS, Google Scholar и eLibrary с целью собрать достоверные данные об истории возникновения эпонимов «жировое тело Гоффа», «болезнь Гоффа», «перелом Гоффа», определить роль немецкого ортопеда и его приоритет в происхождении данных авторских названий. Одно из ранних упоминаний поднадколенникового жирового тела встречается в работе профессора Джона Гудсира 1855 года, но без раскрытия анатомии и морфологии самой структуры. Альберт Гоффа в 1904 году опубликовал статью, где подробно описал синтопию и макроскопическое строение жирового тела, а также заболевание, связанное с патологией поднадколенникового жирового тела. Описание фронтального перелома латерального мыщелка бедренной кости впервые опубликовал немецкий хирург Фридрих Буш в 1869 году. Альберт Гоффа описывает этот же перелом только в 1888 году в первом издании «Учебника переломов и вывихов для врачей и студентов». Приоритет Альберта Гоффа в описании жирового тела и его патологии признаётся представителями различных медицинских специальностей. Что касается фронтального перелома латерального мыщелка бедренной кости, то Альберта Гоффа можно считать только соавтором этого эпонима.

Ключевые слова: эпонимы; тело Гоффа; болезнь Гоффа; перелом Гоффа.

### Как цитировать:

Золотов А.С., Зинькова Е.А., Атоян В.А. Тело Гоффа, болезнь Гоффа, перелом Гоффа: история эпонимов // Вестник травматологии и ортопедии им. Н.Н. Приорова. 2023. Т. 30, № 3. С. 367–374. DOI: https://doi.org/10.17816/vto409584

Рукопись получена: 12.05.2023 Рукопись одобрена: 20.09.2023 Опубликована: 28.09.2023



# Hoffa's fat pad, Hoffa's disease, Hoffa's fracture: the history of eponyms

Aleksandr S. Zolotov, Ekaterina A. Zinkova, Varsik A. Atoian

Far Eastern Federal University, Vladivostok, Russian Federation

### **ABSTRACT**

Albert Hoffa's is associated with three popular eponymous terms: the infrapatellar fat pad (Hoffa's fat pad), the pathology of this anatomical development (Hoffa's disease), and a frontal fracture of the lateral condyle of the femur (Hoffa's fracture). Issues of priority about the mentioned eponyms continue to be debated. The authors searched for information in domestic and foreign publications, traumatology and orthopedics manuals, periodicals, and Internet resources — Scopus, WoS, Google Scholar, and eLibrary — to collect reliable data on the history of the emergence of the eponyms "Hoff's fatty body," "Hoff's disease," "Hoff's fracture" and to determine the role of the German orthopedist and his priority in the origin of these copyright names. Professor John Goodsir's paper in 1855 contains one of the earliest mentions of the infrapatellar fat pad but without revealing the anatomy and morphology of the structure itself. In 1904, Albert Hoffa published an article describing fully the syntopic and macroscopic anatomy of the infrapatellar fat pad and the disease associated with infrapatellar fat pad pathology. A German physician, Friedrich Busch, first described the frontal fracture of the lateral condyle of the femur in 1869. A similar was described by Albert Hoffa in the first edition of the "Textbook of Fractures and Dislocations for Doctors and Students" in 1888. Albert Hoffa's priority in describing the infrapatellar fat pad and its pathology is recognized by representatives of various medical specialties. As for the frontal fracture of the lateral condyle of the femur, Albert Hoffa may only be considered a coauthor of the frontal fracture of the lateral condyle of the femur.

Keywords: eponyms; Hoffa's fat pad; Hoffa's disease; Hoffa's fracture.

### To cite this article:

Zolotov AS, Zinkova EA, Atoian VA. Hoffa's fat pad, Hoffa's disease, Hoffa's fracture: the history of eponyms. *N.N. Priorov Journal of Traumatology and Orthopedics*. 2023;30(3):367–374. DOI: https://doi.org/10.17816/vto409584

Received: 12.05.2023 Accepted: 20.09.2023 Published: 28.09.2023



# **ВВЕДЕНИЕ**

В медицине насчитывается более 20 000 эпонимических терминов [1]. В течение нескольких столетий эпонимы являются удобным средством для общения врачейклиницистов [2, 3], а кроме того, они дают представление о том, как развивались различные разделы медицины и на плечи каких гигантов опираются современные врачи в своей каждодневной работе, новаторстве и творчестве. Некоторые выдающиеся хирурги являются авторами сразу нескольких эпонимов. Например, французский хирург Paul Ferdinand Segond описал особые типы переломов в области кисти и в области коленного сустава, а его соотечественник Joseph Francois Malgaigne является автором эпонимов нестабильного перелома таза, перелома дистального отдела плеча и переломовывиха в области локтевого сустава [2, 4]. Совсем редкой представляется история, когда один и тот же исследователь стал автором трёх эпонимов в одной анатомической области. Имя немецкого ортопеда Гоффа носят важное анатомическое образование коленного сустава, его патологическое состояние и внутрисуставной перелом в области коленного сустава.

**Цель исследования** — собрать максимально достоверную информацию об истории возникновения эпонимов «жировое тело Гоффа», «болезнь Гоффа», «перелом Гоффа»; определить роль немецкого ортопеда и его приоритет в происхождении данных авторских названий.

# **МАТЕРИАЛЫ И МЕТОДЫ**

Проведён поиск информации в отечественных и иностранных публикациях, руководствах по травматологии и ортопедии, периодических изданиях, интернет-ресурсах Scopus, WoS, Google Scholar и eLibrary.

# РЕЗУЛЬТАТЫ И ОБСУЖДЕНИЕ

Альберт Гоффа (Albert Hoffa; 1859–1907) — немецкий хирург-ортопед, профессор, директор университетского отделения ортопедической хирургии — внёс большой вклад в развитие хирургии и ортопедии. Альберт Гоффа родился в Ричмонде (Южная Африка). Он был сыном Морица Гоффа — первого в истории немецкого врача в Южной Африке [1]. Медицинское образование Альберт получил в Германии, стал известным хирургом, учёным и педагогом. По его инициативе в Германии была открыта первая частная ортопедическая клиника (Вюрцбург, Бавария), основан специализированный журнал "Zeitschrift fur orthopädische Chirurgie". Альберт Гоффа — автор нескольких мануалов для врачей и студентов по лечению переломов, ортопедических заболеваний, массажу. Благодаря его активной врачебной и научной деятельности ортопедия была признана врачебным сообществом немецкоязычных стран особенным и важным направлением [5, 6].

Безусловно, у А. Гоффа был авторитет не только среди хирургов в немецкоговорящих странах. В 1907 г. А. Гоффа, как один из наиболее авторитетных ортопедов Германии, был приглашён в Петербург для оценки деятельности недавно открывшегося ортопедического института. Учёный дал положительный отзыв об институте и высоко оценил работу его директора Романа Романовича Вредена, поддержав используемые им методики хирургического лечения [7]. Это событие сыграло определённую роль в развитии первой в России научно-клинической школы ортопедов-хирургов и становлении новой хирургической специальности [8].

### Жировое тело Гоффа

Одно из ранних упоминаний поднадколенникового жирового тела встречается в работе профессора Джона Гудсира. Этот термин автор использовал в публикации несколько раз, но без раскрытия анатомии и морфологии самой структуры [9]. Термин «поднадколенниковое жировое тело» встречается и в более поздних публикациях, но без подробного описания [10—12].

В 1904 году А. Гоффа в известном издании "Journal of the American Medical Association" опубликовал статью с описанием заболевания коленного сустава, связанного с патологией поднадколенникового жирового тела [13]. В этой работе автор привёл подробное описание синтопии жирового тела и его макроскопического строения. Жировое тело в форме клина лежит под собственной связкой надколенника в межмыщелковой ямке, верхней своей частью прикрепляется к связке надколенника, а нижней — к мениску и передней части большеберцовой кости. На срезе жирового тела А. Гоффа обнаружил обширную сеть тонких волокон и множество мелких ворсинок, увеличивающихся в количестве к периферии и состоящих из нежной волокнистой ткани, покрытой эндотелиальными сеточками, имеющими небольшую бугристость. Эти структуры перемежались жировыми дольками и были покрыты одним слоем эндотелиальных клеток. По мнению автора, жировое тело имеет такое расположение и форму с самого раннего возраста человека, а у астеников жировое тело иногда имеет больший размер, чем у полных людей. Интересно, что современные данные о взаимосвязи массы тела и размеров жирового тела достаточно противоречивы: одни авторы утверждают, что при ожирении у человека увеличиваются объём и масса жирового тела, другие исследователи подобной корреляции не выявили [14, 15].

На сегодняшний день известно, что поднадколенниковое жировое тело Гоффа является интракапсулярной, но экстрасиновиальной структурой, увеличивающей площадь синовиальной поверхности, способной к изменению своей конфигурации при движениях в коленном суставе, тем самым обеспечивающей механическую амортизацию и облегчающей распределение синовиальной жидкости. Кроме того, жировое тело обладает эндокринными свойствами и высвобождает многочисленные провоспалительные и проангиогенные факторы [16]. Поднадколенниковое жировое тело Гоффа состоит из жировой ткани, сходной с подкожно-жировой клетчаткой (ПЖК), с каркасом из фиброзных тяжей. Но в отличие от ПЖК жировое тело содержит плюрипотентные клетки, которые могут дифференцироваться в остеобласты и хондроциты [17]. Кроме того, отмечается богатая иннервация этого анатомического образования ветвями бедренного, общего малоберцового и подкожных нервов, поэтому любые изменения жирового тела могут являться источником возникновения болей в переднем отделе коленного сустава [18—20].

# Болезнь Гоффа

В упомянутой статье Альберт Гоффа описывает и патологическое состояние поднадколенникового жирового тела — гиперплазию и фиброз, с характерным клиническим проявлением, которое хирург наблюдал у 21 пациента. Все пациенты жаловались на боль в переднем отделе коленного сустава. Была установлена связь заболевания с повторными или, реже, единичными травмирующими эпизодами (падение на колено, внезапный рывок), которые приводили к кровоизлиянию в поднадколенниковом жировом теле, вслед за этим развивались воспалительный процесс и буйный рост ворсинок жирового тела. Это приводило к ущемлению разросшихся ворсинок между бедренной и большеберцовой костями, что вызывало острые боли в передней части колена и функциональные нарушения. Согласно наблюдениям А. Гоффа, через некоторое время возникали атрофия четырёхглавой мышцы бедра, типичный отёк коленного сустава с симптомом псевдофлюктуации.

Во время оперативных вмешательств А. Гоффа обнаружил, что в результате заболевания жировое тело меняет размеры, цвет и плотность. Оно увеличивается, плотность повышается за счёт упрочнения волокнистой ткани, встречаются сгустки крови и участки красно-жёлтого оттенка, указывающие на наличие кровоизлияний. Гистологические изменения жирового тела заключались в обнаружении очагов клеточной инфильтрации, фиброзной ткани, лейкоцитов, а на более поздней стадии отмечались воспалительные изменения с грануляциями, которые постепенно замещали жировую ткань, образуя волокна, а в некоторых случаях вызывали некроз.

В статье автор сообщил и о других возможных заболеваниях коленного сустава, вызванных патологией жирового тела, — солитарной липоме, описанной König, древовидной липоме, описанной J. Müller. Однако, по мнению А. Гоффа, не все случаи липом имеют опухолевую природу, скорее всего, их можно классифицировать как фиброзную гиперплазию суставной жировой ткани.

Сам Гоффа не называл своим именем жировое тело и описанное им заболевание коленного сустава. Это сделали последователи. В частности, термин «жировое тело

Гоффа» встречается в публикации F.G. Kautz в 1945 г. [21]. Данный термин используется и во втором издании известного анатомического атласа Неттера (1997) [22], хотя в первом издании (1989) термин «жировое тело Гоффа» отсутствует [23].

Наиболее раннее употребление термина «болезнь Гоффа» обнаружено в публикации Н. Friedman (1919) [24]. В русскоязычной литературе впервые данный термин встретился в публикации Г.А. Валяшко в 1932 году [25]. В классическом руководстве для врачей А.В. Каплана (1978) болезни Гоффа посвящена целая страница [26]. Само жировое тело автор называет парной крыловидной складкой с включением жировой ткани.

Термины «жировое тело Гоффа», «болезнь Гоффа» в настоящее время широко используют анатомы [27], специалисты по ультразвуковой диагностике [19], врачи МРТ-диагностики и рентгенологи [28, 29], а также хирурги, занимающиеся артроскопией коленного сустава [30—32].

В известном отечественном атласе по рентгенологии А.В. Руцкий и А.Н. Михайлов называют обсуждаемое заболевание «болезнью Гоффы» [33]. Можно ли и нужно ли склонять имя немецкого хирурга в русском языке — вопрос к лингвистам.

### Перелом Гоффа

Перелом Гоффа — редкое повреждение, фронтальный перелом латерального (реже медиального) мыщелка бедренной кости. Данный эпоним является общепринятым и достаточно устоявшимся. Однако вопрос о приоритете этого эпонима в настоящее время является предметом дискуссии.

Дело в том, что в 1869 году другой немецкий хирург, Фридрих Буш (1844—1916), в анатомических коллекциях Департамента хирургии (г. Берлин) обнаружил образец коленного сустава с трещиной на дистальном отделе бедренной кости, которая отделяла заднюю часть латерального мыщелка во фронтальной плоскости [34]. Хирург не только описал, но и зарисовал этот редкий перелом.

Позднее рисунок Ф. Буша, возможно (но не доказанно), был использован Альбертом Гоффа в 1888 году в первом издании «Учебника переломов и вывихов для врачей и студентов» ("Lehrbuch der Fracturen und Luxationen für Ärzte und Studierende") без ссылки на первоисточник [35, 36]. При этом сам перелом А. Гоффа описал достаточно кратко и весьма расплывчато как «трещины между мыщелками в продольном направлении кости, достигающие диафиза и ограничивающие большую часть одного из мыщелков», а «образуются эти трещины в результате воздействия силы в продольном направлении кости, например, при прямом падении» [35]. В последующих изданиях упомянутого мануала для студентов и врачей (1891, 1904) использовались те же иллюстрации фронтального перелома латерального мыщелка бедренной кости без ссылки на публикацию Ф. Буша. Благодаря нескольким изданиям популярного учебника А. Гоффа о редком переломе бедра

узнали многие студенты и врачи. В 1891 году этот вид перелома встретился в клинической практике Христиана Генриха Брауна. Перелом был обнаружен сразу после травмы и вынужденной ампутации конечности [37].

В последующие десятилетия фронтальный перелом латерального мыщелка бедренной кости неоднократно упоминался в ряде учебников по травматологии и ортопедии, но не связывался авторами с именем Гоффа. Термин «перелом Гоффа» стал появляться на рубеже 1970-х годов, преимущественно в немецкой и французской литературе [36].

Так, одной из важных публикаций того времени, касающейся фронтального перелома латерального мыщелка бедренной кости, является статья J. Letteneur под названием "Fractures de Hoffa", в которой автор описывает 20 случаев фронтальных переломов мыщелков бедра. J. Letteneur предложил сложную классификацию этих переломов: I тип — перелом на уровне заднего расширения дистального отдела бедренной кости; II тип — линия перелома находится ближе к задней части мыщелка с делением на подтипы A, B и C в зависимости от величины костного фрагмента; III тип — перелом косой, медиальный, латеральный, двухмыщелковый [38].

В 1996 году Ассоциацией травматологов и ортопедов (Orthopaedic Trauma Association, OTA) была принята классификация переломов (English version of AO Classification of Fractures), которая фактически «узаконила» эпоним «перелом Гоффа» [39]. Muller с соавт. (1990) причислили мыщелковые переломы во фронтальной плоскости Гоффа к группе ВЗ. Информацию о переломе Гоффа можно встретить в самых популярных международных изданиях по травматологии и ортопедии — "Rockwood and Green's Fractures in Adults" [40], "Campbell's operative orthopaedics" [41], "Apley's System of Orthopaedics and Fractures" [42].

Однако в последние годы появились убедительные публикации, указывающие на историческую несправедливость в отношении другого немецкого хирурга-ортопеда — Фридриха Буша [36, 43].

# **ЗАКЛЮЧЕНИЕ**

Таким образом, приоритет Альберта Гоффа в описании поднадколенникового жирового тела и его патологии признаётся анатомами и клиницистами. Что касается фронтального перелома латерального мыщелка бедренной кости, то Альберта Гоффа логично считать соавтором эпонима.

# **ДОПОЛНИТЕЛЬНО**

**Вклад авторов.** Все авторы подтверждают соответствие своего авторства международным критериям ICMJE (все авторы внесли существенный вклад в разработку концепции и подготовку статьи, прочли и одобрили финальную версию перед публикацией). **Источник финансирования.** Не указан.

**Конфликт интересов.** Авторы декларируют отсутствие явных и потенциальных конфликтов интересов, связанных с публикацией настоящей статьи.

### ADDITIONAL INFO

**Author's contribution.** Thereby, all authors made a substantial contribution to the conception of the work, drafting and revising the work, final approval of the version to be published and agree to be accountable for all aspects of the work.

Funding source. Not specified.

**Competing interests.** The authors declare that they have no competing interests.

# СПИСОК ЛИТЕРАТУРЫ

- 1. Somford M.P., Weme R.A.N., Hoornenborg D., Wiegerinck J.I., van Raay J.J.A.M., Brouwer R.W., Williams A. Biographical background and origin of common eponymous terms in orthopedic surgery: anatomy and fractures in knee surgery // Eur J Orthop Surg Traumatol. 2018. Vol. 28,  $N^{o}$  1. P. 79–84. doi: 10.1007/s00590-017-2005-x
- **2.** Золотов А.С., Березин П.А., Сидоренко И.С. Mallet fracture: перелом И.Ф. Буша, перелом W. Busch или перелом Р. Segond? // Травматология и ортопедия России. 2021. Т. 27, № 3. С. 143—148. doi: 10.21823/2311-2905-2021-27-3-143-148
- **3.** Schmitt R., Lanz U. Diagnostic imaging of the hand. Stuttgart, New York: Thieme, 2008. 608 p.
- **4.** Золотов А.С. Эпонимы переломов: имена собственные. Иркутск: Иркутский научный центр хирургии и травматологии, 2017. 98 с.
- **5.** Markwart M. Hoffa, Albert. Neue Deutsche Biographie. Berlin: Duncker & Humblot, 1972. 9 p.
- **6.** Paul U. Our surgical heritage. Albert Hoffa // Zentralbl Chir. 1981. Vol. 106, № 13. P. 901–903.

- **7.** Вайнштейн В.Г. Р.Р. Вреден (К истории отечественной ортопедии) // Ортопедия, травматология и протезирование. 1985. № 5. С. 64–66.
- **8.** Тихилов Р.М., Кочиш А.Ю. Роман Романович Вреден выдающийся отечественный хирург, учёный и педагог (к 150-летию со дня рождения) // Травматология и ортопедия России. 2017. Т. 23, № 4. С. 158–162.
- **9.** Goodsir J. On the Horizontal Curvature of the Internal Femoral Condyle: On the Movements and Relations of the Patella; Semilunar Cartilages; and Synovial Pads of the Human Knee-Joint // Edinburgh Medical Journal. 1855. Vol. 1,  $N^0$  1. P. 91–95.
- **10.** Benington R.C. Dissection of a Symelian Monster // J Anat Physiol. 1891. Vol. 25, № 2. P. 202–209.
- **11.** Ballantyne J.W. Sectional Anatomy of an Anencephalic Foetus // J Anat Physiol. 1892. Vol. 26, № 4. P. 516–529.
- **12.** Cotterill J.M., Edin F.R.O.S. Notes of 15 cases of operation for internal derangement of the knee-joint // The Lancet. 1902.  $N^{\circ}$  7. P. 510–512.

- **13.** Hoffa A. The influence of the adipose tissue with regard to the pathology of the knee joint // Journal Am Med Assoc. 1904.  $N^{\circ}$  42. P. 795.
- **14.** Burda B., Steidle-Kloc E., Dannhauer T., Wirth W., Ruhdorfer A., Eckstein F. Variance in infra-patellar fat pad volume: Does the body mass index matter? Data from osteoarthritis initiative participants without symptoms or signs of knee disease // Annals of Anatomy. 2017. № 213. P. 19–24. doi: 10.1016/j.aanat.2017.04.004
- **15.** Chuckpaiwong B., Charles H.C., Kraus V.B., Guilak F., Nunley J.A. Age-associated increases in the size of the infrapatellar fat pad in knee osteoarthritis as measured by 3T MRI // Journal of Orthopaedic Research. 2010. Vol. 28, Nº 9. P. 1149–1154. doi: 10.1002/jor.21125
- **16.** Clockaerts S., Bastiaansen-Jenniskens Y.M., Runhaar J., Van Osch G.J., Van Offel J.F., Verhaar J.A., et al. The infrapatellar fat pad should be considered as an active osteoarthritic joint tissue: a narrative review // Osteoarthritis Cartilage. 2010. Vol. 18,  $N^{\circ}$  7. P. 876–882. doi: 10.1016/j.joca.2010.03.014
- **17.** Wickham M.Q., Erickson G.R., Gimble J.M., Vail T.P., Guilak F. Multipotent stromal cells derived from the infrapatellar fat pad of the knee // Clin Orthop Relat Res. 2003. № 412. P. 196–212.
- **18.** Гумеров А.А. Клинико-морфологические аспекты болезни Гоффа, болезнь Гоффа у детей // Здравоохранение Башкоркостана. 2006. № 2. Р. 143–144.
- **19.** Гаврилюк В.В. Ультразвуковые признаки болезни Гоффа коленного сустава // Актуальные проблемы гуманитарных и естественных наук. 2012. № 2. С. 255–259.
- **20.** Saddik D., McNally E.G., Richardson M. MRI of Hoffa's fat pad // Skeletal Radiol. 2004. Vol. 33, № 8. P. 433–444. doi: 10.1007/s00256-003-0724-z
- **21.** Kautz F.G. Capsular Osteoma of the Knee Joint. Report of Four Cases // Radiology. 1945. Vol. 45, № 2.
- **22.** Netter F.H. Atlas of Human Anatomy. 2<sup>nd</sup> edition. Novartis, 1997. 525 p.
- **23.** Netter F.H. Atlas of Human Anatomy. 1<sup>st</sup> edition. Elsevier-Health Sciences Division, 1989. 592 p.
- **24.** Friedman H. Hringre of it ehiral Srientre // New York Medical Journal. 1919. Vol. 95, № 18. P. 749.
- **25.** Волков М.В. Некоторые врождённые заболевания коленного сустава и болезнь Гоффа // Руководство по ортопедии и травматологии: в 3 т. Москва: Медицина, 1968. Т. II (XXIV). С. 644–664.
- **26.** Каплан А.В. Повреждения костей и суставов. 3-е изд. Москва: Медицина, 1979. 568 с.
- **27.** Валиуллин Д.Р. Морфология жирового тела коленного сустава у людей зрелого возраста и его развитие в пренатальном онтогенезе: автореферат дис. ... канд. мед. наук. Уфа, 2003. 24 с.

- **28.** Imaging of the knee: Techniques and Applications / ed. by A.M. Davies, V.N. Cassar-Pullicino. Berlin, Heidelberg: Springer-Verlag, 2003. 336 p. doi: 10.1007/978-3-642-55912-9
- **29.** Subhawong T.K., Eng J., Carrino J.A., Chhabra A. Superolateral Hoffa's Fat Pad Edema: Association With Patellofemoral Maltracking and Impingement // American Journal of Roentgenology. 2010. Vol. 195, № 6. P. 1367–1373. doi: 10.2214/AJR.10.4668
- **30.** Ogilvie-Harris D.J., Giddens J. Hoffa's disease: arthroscopic resection of the infrapatellar fat pad // Arthroscopy. 1994. Vol. 10,  $N^{\circ}$  2. P. 184–187. doi: 10.1016/s0749-8063(05)80091-x
- **31.** Wu H., Xu Q., Zhou W. Hoffa disease: diagnosis and arthroscopic treatment // Zhonghua Wai Ke Za Zhi. 1995. Vol. 33, № 10. P. 581–583.
- **32.** Saha P., Bandyopadhyay U., Mukhopadhyay A.S., Kundu S., Mandal S. Ganglion Cyst of Knee from Hoffa's Fat Pad Protruding Anterolaterally Through Retinacular Rent: A Case Report // Journal of Orthopaedic Case Reports. 2015. Vol. 5, Nº 3. P. 69–71.
- **33.** Руцкий А.В., Михайлов А.Н. Рентгенодиагностический атлас. Ч. І. Болезни опорно-двигательного аппарата. Минск: Вышэйшая школа, 1987. 288 с.
- **34.** Busch F. Mehrere Fälle seltener Knochenverletzungen // Arch Klin Chir. 1869. № 10. P. 703–719.
- **35.** Hoffa A. Lehrbuch der Frakturen und Luxationen für Ärzte und Studierende. I<sup>th</sup> edition. Würzburg: Verlag der Stahel'schen Universitäts-Buch- & Kunsthandlung, 1888. 772 p.
- **36.** Bartoníček J., Rammelt S. History of femoral head fracture and coronal fracture of the femoral condyles // International Orthopaedics. 2015. Vol. 39, № 6. P. 1245–1250. doi: 10.1007/s00264-015-2730-x
- **37.** Braun H. Qaerbruch des hinteren Theiles des Condylus. In: Seltenere Fracture des Oberschenkels // Archiv für klinische chirurgie. 1891. № 42. P. 107–109.
- **38.** Letteneur J., Labour P.E., Rogez J.M., Lignon J., Bainvel J.V. Fractures de Hoffa A propos de 20 observations // Ann Chir. 1978. Vol. 32, № 3–4. P. 213–219.
- **39.** Müller M.E., Nazarian S., Koch P., Schatzker J. The comprehensive classification of fractures of long bones. Berlin: Springer, 1990. 208 p. doi: 10.1007/978-3-642-61261-9
- **40.** Court-Brown C.M., Heckman J.D., McQueen M.M., Ricci W., Tornetta III P. Rockwood and Green's Fractures in Adults. In two volumes edition. Eighth: LWW, 2015. 2814 p.
- **41.** Canale S.T., Beaty J.H. Campbell's operative orthopaedics.  $9^{th}$  edition. Mosby, 2007. 5512 p.
- **42.** Solomon L., Warwick D., Nayagam S. Apley's System of Orthopaedics and Fractures. 9<sup>th</sup> edition. CRC Press, 2010. 992 p. doi: 10.1201/b13422
- **43.** Patel P.B., Tejwani N.C. The Hoffa fracture: Coronal fracture of the femoral condyle a review of literature // J Orthop. 2018. Vol. 15,  $N^{\circ}$  2. P. 726–731. doi: 10.1016/j.jor.2018.05.027

# **REFERENCES**

1. Somford MP, Weme RAN, Hoornenborg D, Wiegerinck JI, van Raay JJAM, Brouwer RW, Williams A. Biographical background and origin of common eponymous terms in orthopedic surgery: anatomy and fractures in knee

surgery. *Eur J Orthop Surg Traumatol.* 2018;28(1):79–84. doi: 10.1007/s00590-017-2005-x

**2.** Zolotov AS, Berezin PA, Sidorenko IS. Mallet Fracture: I.F. Busch Fracture, W. Busch Fracture or P. Segond Fracture?

*Travmatologiya i ortopediya Rossii.* 2021;27(3):143–148. (In Russ). doi: 10.21823/2311-2905-2021-27-3-143-148

- **3.** Schmitt R, Lanz U. *Diagnostic imaging of the hand.* Stuttgart, New York: Thieme; 2008. 608 p.
- **4.** Zolotov AS. *Fracture eponyms: proper names*. Irkutsk: Irkutskij nauchnyj centr hirurgii i travmatologii; 2017. 98 p. (In Russ).
- **5.** Markwart M. *Hoffa, Albert. Neue Deutsche Biographie.* Berlin: Duncker & Humblot; 1972. 9 p.
- **6.** Paul U. Our surgical heritage. Albert Hoffa. *Zentralbl Chir.* 1981:106(13):901–903.
- 7. Vajnshtejn VG. R.R. Vreden (To the history of Russian orthopedics). *Ortopedija, travmatologija i protezirovanie*. 1985;(5):64–66. (In Russ).
- **8.** Tikhilov RM, Kochish AYu. Roman R. Vreden Outstanding Surgeon, Scientist and Teacher (150<sup>th</sup> Anniversary of the Birth). *Travmatologiya i ortopediya Rossii*. 2017;23(4):158–162. (In Russ).
- **9.** Goodsir J. On the Horizontal Curvature of the Internal Femoral Condyle: On the Movements and Relations of the Patella; Semilunar Cartilages; and Synovial Pads of the Human Knee-Joint. *Edinburgh Medical Journal*. 1855;1(1):91–95.
- **10.** Benington RC. Dissection of a Symelian Monster. *J Anat Physiol.* 1891;25(2):202–209.
- **11.** Ballantyne JW. Sectional Anatomy of an Anencephalic Foetus. *J Anat Physiol.* 1892;26(4):516–529.
- **12.** Cotterill JM, Edin FROS. Notes of 15 cases of operation for internal derangement of the knee-joint. *The Lancet.* 1902;(7):510–512.
- **13.** Hoffa A. The influence of the adipose tissue with regard to the pathology of the knee joint. *Journal Am Med Assoc.* 1904;(42):795.
- **14.** Burda B, Steidle-Kloc E, Dannhauer T, Wirth W, Ruhdorfer A, Eckstein F. Variance in infra-patellar fat pad volume: Does the body mass index matter? Data from osteoarthritis initiative participants without symptoms or signs of knee disease. *Annals of Anatomy*. 2017;(213):19–24. doi: 10.1016/j.aanat.2017.04.004
- **15.** Chuckpaiwong B, Charles HC, Kraus VB, Guilak F, Nunley JA. Age-associated increases in the size of the infrapatellar fat pad in knee osteoarthritis as measured by 3T MRI. *Journal of Orthopaedic Research*. 2010;28(9):1149–1154. doi: 10.1002/jor.21125
- **16.** Clockaerts S, Bastiaansen-Jenniskens YM, Runhaar J, Van Osch GJ, Van Offel JF, Verhaar JA, et al. The infrapatellar fat pad should be considered as an active osteoarthritic joint tissue: a narrative review. *Osteoarthritis Cartilage*. 2010;18(7):876–882. doi: 10.1016/j.joca.2010.03.014
- **17.** Wickham MQ, Erickson GR, Gimble JM, Vail TP, Guilak F. Multipotent stromal cells derived from the infrapatellar fat pad of the knee. *Clin Orthop Relat Res.* 2003;(412):196–212.
- **18.** Gumerov AA. Clinical and morphological aspects of Hoffa's disease, Hoffa's disease in children. *Zdravoohranenie Bashkorkostana*. 2006;(2):143–144. (In Russ).
- **19.** Gavrilyuk VV. Ultrasound signs of Hoffa disease of the knee. *Aktual'nye problemy gumanitarnykh i estestvennykh nauk*. 2012;(2):255–259. (In Russ).
- **20.** Saddik D, McNally EG, Richardson M. MRI of Hoffa's fat pad. *Skeletal Radiol.* 2004;33(8):433–444. doi: 10.1007/s00256-003-0724-z
- **21.** Kautz FG. Capsular Osteoma of the Knee Joint. Report of Four Cases. *Radiology*. 1945;45(2).

- **22.** Netter FH. *Atlas of Human Anatomy*. 2<sup>nd</sup> edition. Novartis; 1997. 525 p.
- **23.** Netter FH. *Atlas of Human Anatomy*. 1<sup>st</sup> edition. Elsevier-Health Sciences Division; 1989. 592 p.
- **24.** Friedman H. Hringre of it ehiral Srientre. *New York Medical Journal*. 1919;95(18):749.
- **25.** Volkov MV. Some congenital diseases of the knee joint and Hoffa's disease. In: *Rukovodstvo po ortopedii i travmatologii: v 3 t.* Moscow: Medicine; 1968. II(XXIV). 644–664. (In Russ).
- **26.** Kaplan AV. *Damage to bones and joints.* 3-e izd. Moscow: Medicina; 1979. 568 p. (In Russ).
- **27.** Valiullin DR. Morphology of the fat body of the knee joint in mature people and its development in prenatal ontogenesis [abstract of the dissertation]. Ufa; 2003. 24 p. (In Russ).
- **28.** Davies AM, Cassar-Pullicino VN, editors. *Imaging of the knee: Techniques and Applications*. Berlin, Heidelberg: Springer-Verlag; 2003. 336 p. doi: 10.1007/978-3-642-55912-9
- **29.** Subhawong TK, Eng J, Carrino JA, Chhabra A. Superolateral Hoffa's Fat Pad Edema: Association With Patellofemoral Maltracking and Impingement. *American Journal of Roentgenology*. 2010;195(6):1367–1373. doi: 10.2214/AJR.10.4668
- **30.** Ogilvie-Harris DJ, Giddens J. Hoffa's disease: arthroscopic resection of theinfrapatellar fat pad. *Arthroscopy.* 1994;10(2):184–187. doi: 10.1016/s0749-8063(05)80091-x
- **31.** Wu H, Xu Q, Zhou W. Hoffa disease: diagnosis and arthroscopic treatment. *Zhonghua Wai Ke Za Zhi*. 1995;33(10):581–583.
- **32.** Saha P, Bandyopadhyay U, Mukhopadhyay AS, Kundu S, Mandal S. Ganglion Cyst of Knee from Hoffa's Fat Pad Protruding Anterolaterally Through Retinacular Rent: A Case Report. *Journal of Orthopaedic Case Reports*. 2015;5(3):69–71.
- **33.** Ruckij AV, Mihajlov AN. *X-ray diagnostic atlas*. Part I. Diseases of the musculoskeletal system. Minsk: Higher school; 1987. 288 p. (In Russ).
- **34.** Busch F. Mehrere Fälle seltener Knochenverletzungen. *Arch Klin Chir.* 1869;(10):703–719. (In German).
- **35.** Hoffa A. *Lehrbuch der Frakturen und Luxationen für Ärzte und Studierende*. I<sup>th</sup> ed. Würzburg: Verlag der Stahel'schen Universitäts-Buch- & Kunsthandlung; 1888. 772 p. (In German).
- **36.** Bartoníček J, Rammelt S. History of femoral head fracture and coronal fracture of the femoral condyles. *International Orthopaedics*. 2015;39(6):1245–1250. doi: 10.1007/s00264-015-2730-x
- **37.** Braun H. Qaerbruch des hinteren Theiles des Condylus. In: Seltenere Fracture des Oberschenkels. *Archiv für klinische chirurgie*. 1891;(42):107–109.
- **38.** Letteneur J, Labour PE, Rogez JM, Lignon J, Bainvel JV. Fractures de Hoffa A propos de 20 observations. *Ann Chir.* 1978;32(3–4):213–219.
- **39.** Müller ME, Nazarian S, Koch P, Schatzker J. The comprehensive classification of fractures of long bones. Berlin: Springer; 1990. 208 p. doi: 10.1007/978-3-642-61261-9
- **40.** Court-Brown CM, Heckman JD, McQueen MM, Ricci W, Tornetta III P. *Rockwood and Green's Fractures in Adults.* In two volumes edition. Eighth: LWW; 2015. 2814 p.
- **41.** Canale ST, Beaty JH. *Campbell's operative orthopaedics*. 9th edition. Mosby; 2007. 5512 p.

**42.** Solomon L, Warwick D, Nayagam S. Apley's System of Orthopaedics and Fractures. 9<sup>th</sup> edition. CRC Press; 2010. 992 p. doi: 10.1201/b13422

**43.** Patel PB, Tejwani NC. The Hoffa fracture: Coronal fracture of the femoral condyle a review of literature. *J Orthop.* 2018;15(2):726–731. doi: 10.1016/j.jor.2018.05.027

### ОБ АВТОРАХ

\* Золотов Александр Сергеевич, д.м.н., профессор,

врач травматолог-ортопед;

адрес: Россия, Владивосток, 690920, остров Русский,

посёлок Аякс, д. 10;

ORCID: 0000-0002-0045-9319; eLibrary SPIN: 3925-9025; e-mail: dalexpk@gmail.com

Зинькова Екатерина Александровна, студент;

ORCID: 0000-0003-0873-1505; eLibrary SPIN: 1531-4964; e-mail: k762000@mail.ru

Атоян Варсик Арамовна, аспирант;

ORCID: 0000-0002-2259-8950; e-mail: atoian.va@dvfu.ru

# **AUTHORS' INFO**

\* Aleksandr S. Zolotov, MD, Dr. Sci. (Med.), professor,

traumatologist-orthopedist;

address: 10 Ajax settlement, Russky Island, Vladivostok,

690920, Russia;

ORCID: 0000-0002-0045-9319; eLibrary SPIN: 3925-9025; e-mail: dalexpk@gmail.com

Ekaterina A. Zinkova, student;

ORCID: 0000-0003-0873-1505; eLibrary SPIN: 1531-4964; e-mail: k762000@mail.ru

Varsik A. Atoian, post-graduate student;

ORCID: 0000-0002-2259-8950; e-mail: atoian.va@dvfu.ru

<sup>\*</sup> Автор, ответственный за переписку / Corresponding author

# Академик Российской академии наук Сергей Павлович Миронов (06.08.1948—14.08.2023)

### **РИПРИТАТИВЕТ**

Отечественное здравоохранение понесло невосполнимую потерю: 14 августа на 76-м году ушёл из жизни выдающийся учёный, отличный организатор, прекрасный клиницист, эрудированный педагог, замечательный общественный деятель, доктор медицинских наук, профессор, академик Российской академии наук Сергей Павлович Миронов. Ассоциация травматологов-ортопедов России, коллектив Национального медицинского исследовательского центра травматологии и ортопедии им. Н.Н. Приорова, редколлегия журнала «Вестник травматологии и ортопедии им. Н.Н. Приорова» глубоко скорбят о тяжёлой утрате.

**Ключевые слова:** Сергей Павлович Миронов; некролог; академик Российской академии наук; врач травматологортопед.

### Как цитировать:

Академик Российской академии наук Сергей Павлович Миронов (06.08.1948—14.08.2023) // Вестник травматологии и ортопедии им. Н.Н. Приорова. 2023. Т. 30, № 3. С. 375–378. DOI: https://doi.org/10.17816/vto595862

Рукопись получена: 25.09.2023 Рукопись одобрена: 26.09.2023 Опубликована: 28.09.2023



# Sergey Pavlovich Mironov, Academician of the Russian Academy of Sciences (06.08.1948–14.08.2023)

### **ABSTRACT**

The national health care has suffered an irreplaceable loss: on August 14, at the age of 76, Sergey Pavlovich Mironov, an outstanding scientist, excellent organisator, a great clinician, erudite teacher, a remarkable public figure, Doctor of Medical Sciences, Professor, Academician of the Russian Academy of Sciences, passed away. The Association of Traumatologists and Orthopaedists of Russia, the staff of the N.N. Priorov National Medical Research Center of Traumatology and Orthopedics, editorial board of the N.N. Priorov Journal of Traumatology and Orthopedics deeply grieve about the loss.

Keywords: Sergey Pavlovich Mironov; obituary; academician of the Russian Academy of Sciences; traumatologist-orthopedist.

### To cite this article:

Sergey Pavlovich Mironov, Academician of the Russian Academy of Sciences (06.08.1948–14.08.2023). N.N. Priorov Journal of Traumatology and Orthopedics. 2023;30(3):375–378. DOI: https://doi.org/10.17816/vto595862

Received: 25.09.2023 Accepted: 26.09.2023 Published: 28.09.2023





Отечественное здравоохранение понесло невосполнимую потерю: 14 августа на 76-м году ушёл из жизни выдающийся учёный, отличный организатор, прекрасный клиницист, эрудированный педагог, замечательный общественный деятель, доктор медицинских наук, профессор, академик Российской академии наук Сергей Павлович Миронов.

Сергей Павлович родился 6 августа 1948 года в Москве. Вся трудовая деятельность Сергея Павловича на протяжении 50 лет была неразрывно связана с Центральным институтом травматологии и ортопедии имени Н.Н. Приорова (ЦИТО). Ещё будучи студентом Первого Московского медицинского института, он начал работать в ЦИТО санитаром, а затем медбратом. После окончания института в 1973 году распределился в ЦИТО в отделение детской травматологии, где в 1979 году защитил кандидатскую диссертацию на тему «Оперативное лечение посттравматических контрактур и анкилозов локтевого сустава у детей». В 1983 году был избран по конкурсу заведующим отделением спортивной и балетной травмы, продолжая работу над докторской диссертацией «Посттравматические деформации и контрактуры крупных суставов у детей и подростков и их лечение», которую успешно защитил в 1984 году.

Научная деятельность Сергея Павловича была связана с разработкой и внедрением в практическое здравоохранение малоинвазивных артроскопических методов

лечения травм и заболеваний суставов, спинальной травмы, микрохирургии в травматологии и ортопедии.

С 1995 по 2011 год Сергей Павлович являлся заместителем управляющего делами Президента Российской Федерации, начальником Главного медицинского управления, а с 1998 по 2019 год — директором ЦИТО, где ярко проявил талант организатора. С 2019 года Сергей Павлович — почётный президент ЦИТО.

На протяжении 25 лет Сергей Павлович занимал должность главного внештатного специалиста травматолога-ортопеда Минздрава России, проводя огромную работу по развитию травматолого-ортопедической службы во всех регионах Российской Федерации.

Сергей Павлович длительное время руководил кафедрами травматологии и ортопедии МГУ им. М.В. Ломоносова, а затем — ФГБОУ ВО «МГМУ им. И.М. Сеченова» Минздрава России, где готовились травматологи-ортопеды не только для Российской Федерации, но и для стран СНГ.

С 1999 года Сергей Павлович был главным редактором журнала «Вестник травматологии и ортопедии им. Н.Н. Приорова» — одного из ведущих научных рецензируемых изданий по травматологии и ортопедии. Под руководством Сергея Павловича журнал на высоком научном уровне освещал актуальные организационные и клинические проблемы современной травматологии и ортопедии.

Общественная деятельность Сергея Павловича неразрывно связана с созданием в 1996 году профессиональной общественной организации «Российское артроскопическое общество» и в 2014 году Общероссийской общественной организации «Ассоциация травматологовортопедов России», президентом которых он являлся на протяжении длительного времени.

В памяти родных и близких, друзей и соратников, коллег в нашей стране и за рубежом Сергей Павлович

Миронов останется не только прекрасным специалистом, но и человеком высоких душевных и этических качеств. Глубоко скорбим и выражаем соболезнования родным и близким.

Ассоциация травматологов-ортопедов России, коллектив НМИЦ травматологии и ортопедии им. Н.Н. Приорова, редколлегия журнала «Вестник травматологии и ортопедии им. Н.Н. Приорова»